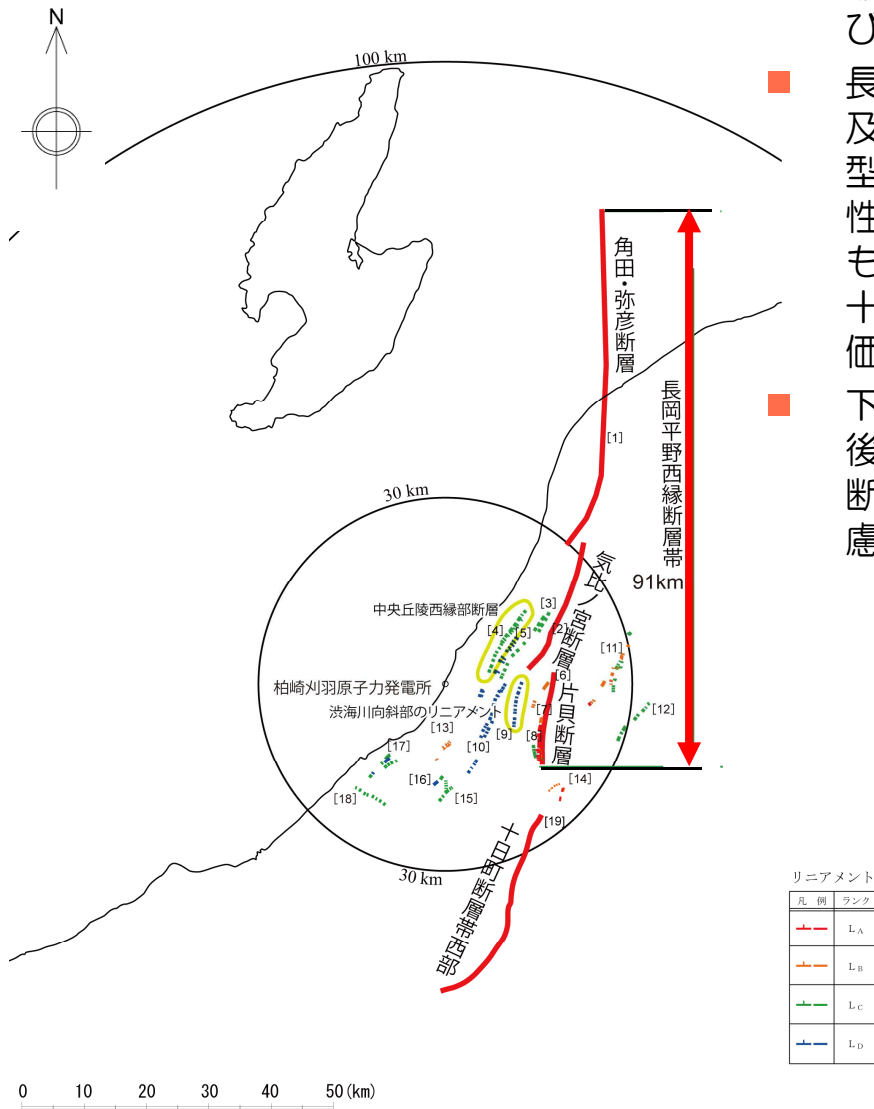


柏崎刈羽原子力発電所6号炉及び7号炉
敷地周辺陸域の地質・地質構造について

平成28年9月30日
東京電力ホールディングス株式会社

概要（地質・地質構造評価）

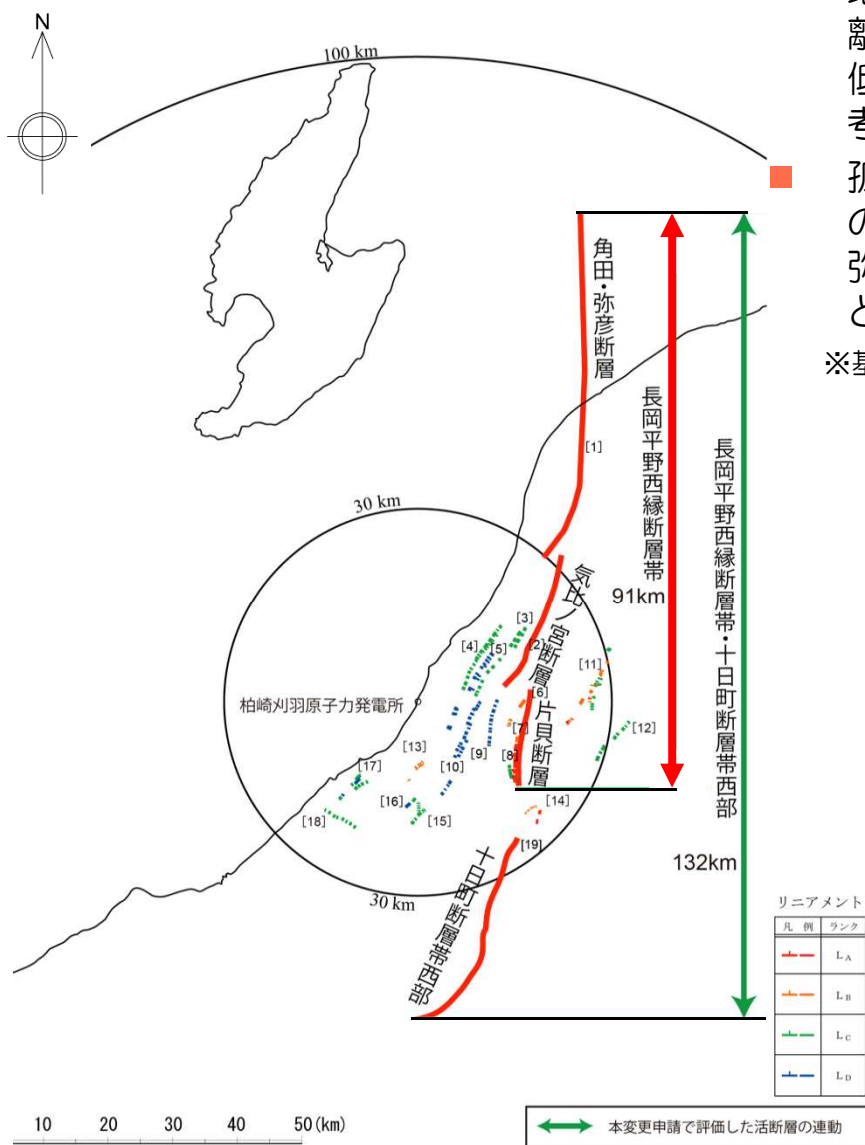
- 敷地を中心とする半径30km範囲の陸域における主要な断層及びリニアメントとしては、下表に示すものがある。
- 長岡平野西縁断層帯を構成する角田・弥彦断層、気比ノ宮断層及び片貝断層は基本的にはそれぞれが単独で活動する分割放出型の断層帯と判断されるが、適合性審査における活断層の連動性に関する議論を踏まえて、これら3断層の同時活動についても考慮することとし、その長さを約91kmと評価した。また、十日町盆地西縁断層帯については、地震調査研究推進本部の評価に基づき約33kmと評価した。
- 下表に示す [11] ~ [15] , [17] 及び [18] については、後期更新世の活動が認められる、あるいは後期更新世の活動や断層の存在を確実に否定できないことから、その活動性を考慮することとし、孤立した短い活断層として評価した。



敷地周辺における断層及びリニアメント分布図

地質・地質構造評価			
番号	断層・リニアメント名	長さ (km)	評価
[1]	角田・弥彦断層	54	91 活動性を考慮する
[2]	気比ノ宮断層	22	
[8]	片貝断層	16	
[3]	逆谷断層	-	リニアメントは侵食地形であり、対応する断層は認められない。
[4]	中央丘陵西縁部断層	-	長岡平野西縁断層帯の副次的な構造。
[5]	中央丘陵背斜軸部のリニアメント	-	リニアメントは侵食地形であり、対応する断層は認められない。
[6]	上富岡断層	-	片貝断層の副次的な構造。
[7]	親沢断層	-	片貝断層の副次的な構造。
[9]	渋海川向斜部のリニアメント	-	長岡平野西縁断層帯の副次的な構造。
[10]	鑄石川向斜部のリニアメント	-	リニアメントは侵食地形であり、対応する断層は認められない。
[11]	悠久山断層	13	孤立した短い活断層
[12]	半蔵金付近のリニアメント	10	孤立した短い活断層
[13]	柏崎平野南東縁のリニアメント	3.5	孤立した短い活断層
[14]	山本山断層	3.5	孤立した短い活断層
[15]	水上断層	4	孤立した短い活断層
[16]	細越断層	-	活動性を考慮しない
[17]	上米山断層	5.5	孤立した短い活断層
[18]	雁海断層	6	孤立した短い活断層
[19]	十日町盆地西縁断層	33	活動性を考慮する

概要（地震動策定における連動評価）



敷地周辺における断層及びリニアメント分布図

- 地質・地質構造から長岡平野西縁断層帯と十日町断層帯西部は、離隔距離や地質構造が異なることなどから、連動する可能性は低いと判断されるものの、地震動評価においては、不確かさの考慮として、両断層帯の同時活動について考慮する。
- 孤立した短い活断層※については、地震規模と敷地までの距離の関係から片貝断層で代表させる。なお、片貝断層は、角田・弥彦断層、気比ノ宮断層と一連で活動する長岡平野西縁断層帯として扱う。

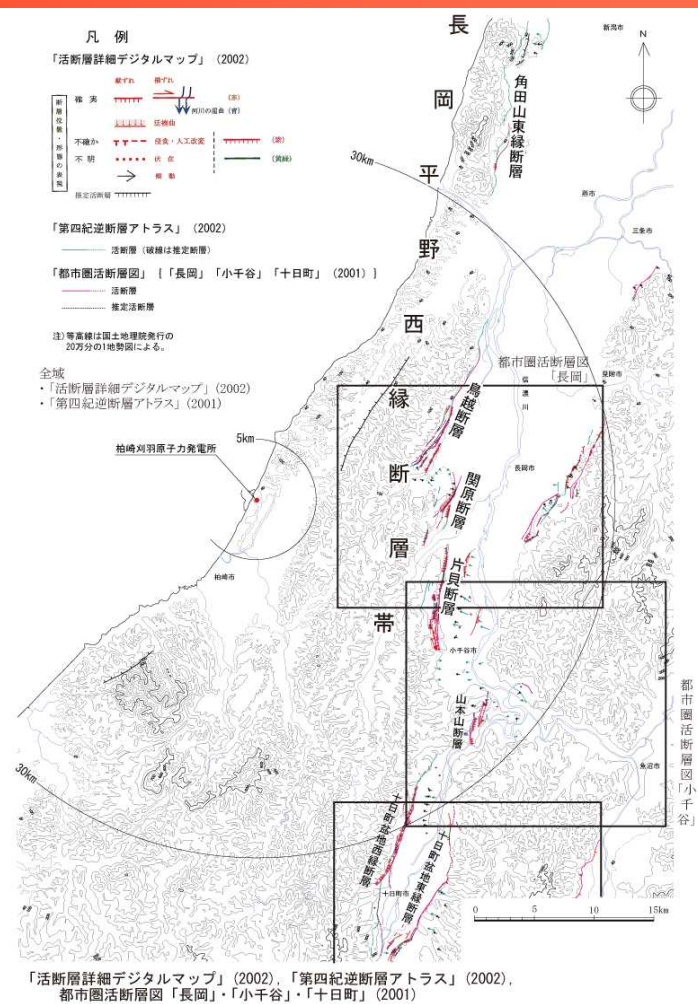
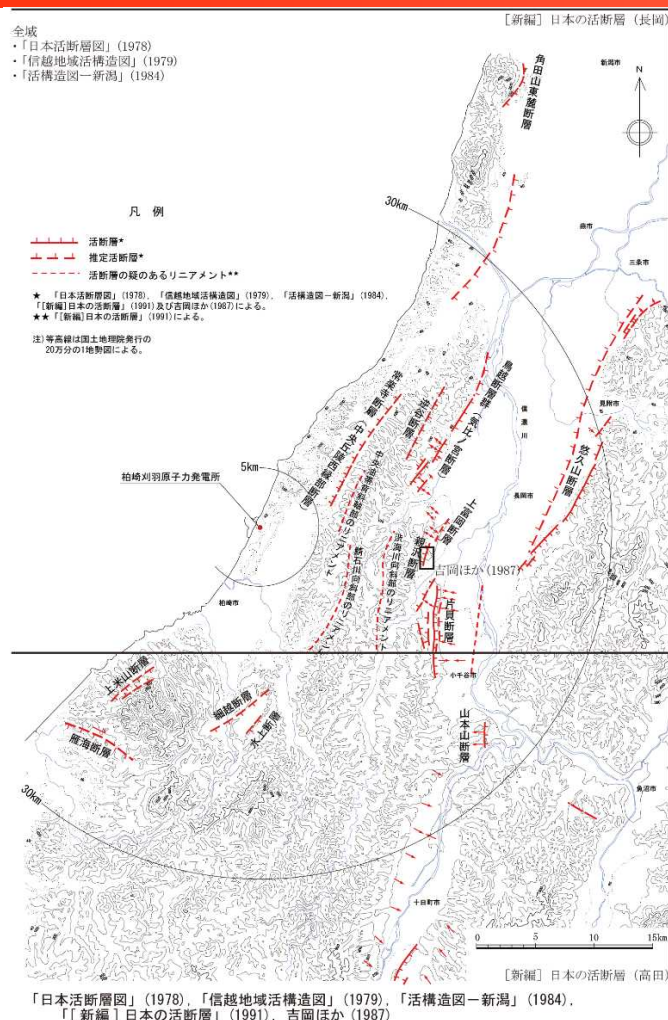
※基準地震動の策定について【補足説明資料】「2.1孤立した短い活断層」にて記載

地震動策定における連動評価				
番号	断層・リニアメント名	長さ (km)		連動評価
[1]	角田・弥彦断層	54	91	○
[2]	気比ノ宮断層	22		○
[8]	片貝断層	16		○
[3]	逆谷断層	-		
[4]	中央丘陵西縁部断層	-		
[5]	中央油帯背斜軸部のリニアメント	-		
[6]	上富岡断層	-		
[7]	親沢断層	-		
[9]	洪海川向斜部のリニアメント	-		
[10]	鯖石川向斜部のリニアメント	-		
[11]	悠久山断層	13		
[12]	半蔵金付近のリニアメント	10		
[13]	柏崎平野南東縁のリニアメント	3.5		
[14]	山本山断層	3.5		
[15]	水上断層	4		
[16]	細越断層	-		
[17]	上米山断層	5.5		
[18]	雁海断層	6		
[19]	十日町盆地西縁断層	33		○
		長さ (km)	132km	

1.	文献調査	• • •	4
2.	敷地周辺陸域の地形	• • •	7
3.	敷地周辺陸域の地質	• • •	9
4.	敷地周辺陸域の変動地形	• • •	11
5.	敷地周辺陸域の地質構造	• • •	14
6.	断層の評価	• • •	18
	6.1 概要	• • •	18
	6.2 活断層の評価	• • •	20
	6.2.1 角田・弥彦断層	• • •	20
	6.2.2 気比ノ宮断層	• • •	36
	6.2.3 上富岡断層・親沢断層・片貝断層	• • •	52
	6.3 副次的な構造に関する評価	• • •	81
	6.3.1 中央丘陵西縁部断層	• • •	83
	6.3.2 渋海川向斜部のリニアメント	• • •	98
	6.4 その他のリニアメント・断層に関する評価	• • •	103
7.	断層の連動可能性評価	• • •	176
	7.1 長岡平野西縁断層帯	• • •	176
	7.2 長岡平野西縁断層帯と十日町断層帯西部	• • •	183

1.	文献調査	• • •	4
2.	敷地周辺陸域の地形	• • •	7
3.	敷地周辺陸域の地質	• • •	9
4.	敷地周辺陸域の変動地形	• • •	11
5.	敷地周辺陸域の地質構造	• • •	14
6.	断層の評価		
6.1	概要	• • •	18
6.2	活断層の評価	• • •	20
6.2.1	角田・弥彦断層	• • •	20
6.2.2	気比ノ宮断層	• • •	36
6.2.3	上富岡断層・親沢断層・片貝断層	• • •	52
6.3	副次的な構造に関する評価	• • •	81
6.3.1	中央丘陵西縁部断層	• • •	83
6.3.2	渋海川向斜部のリニアメント	• • •	98
6.4	その他のリニアメント・断層に関する評価	• • •	103
7.	断層の連動可能性評価		
7.1	長岡平野西縁断層帯	• • •	176
7.2	長岡平野西縁断層帯と十日町断層帯西部	• • •	183

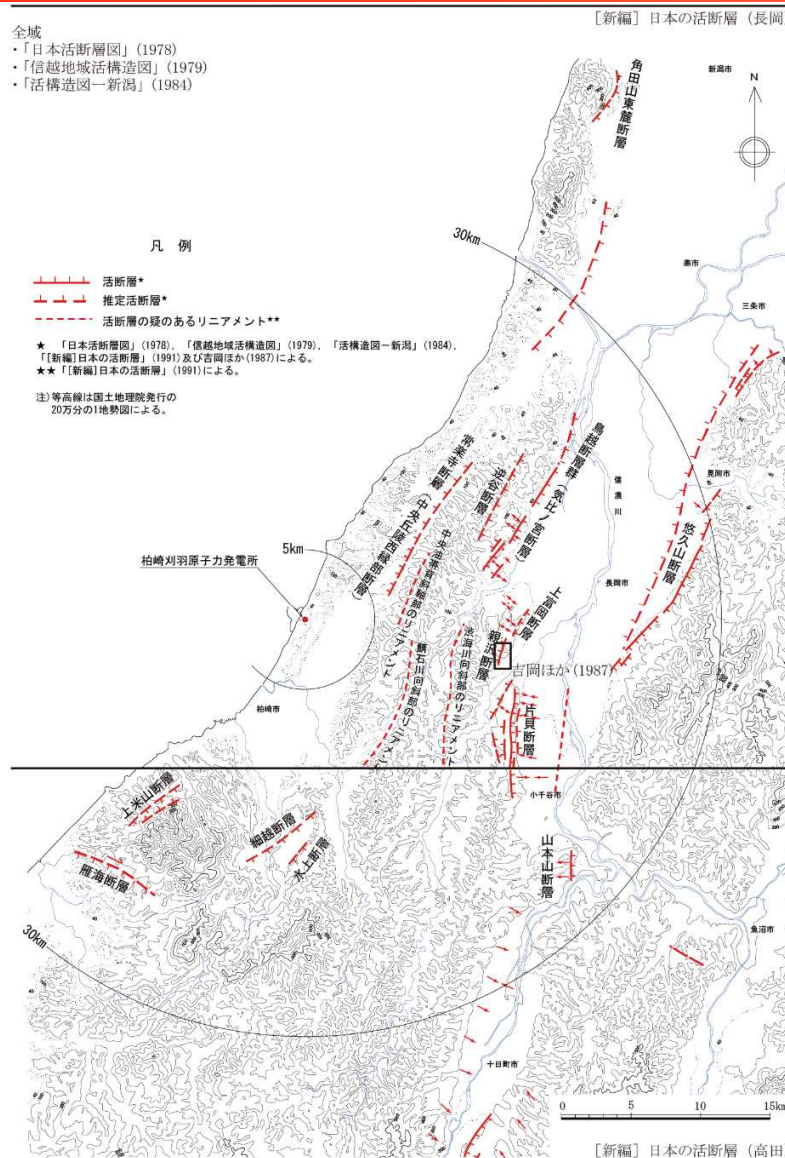
1. 文献調査 (1)



敷地周辺陸域の文献による活断層及びリニアメント分布図

- 「[新編] 日本の活断層」(1991)、「活断層詳細デジタルマップ」(2002)、「第四紀逆断層アトラス」(2002)等によると、信濃川左岸には北から角田山東縁断層(角田・弥彦断層)、鳥越断層群(気比ノ宮断層)、逆谷断層、関原断層(上富岡断層)、親沢断層及び片貝断層が示されており、これらの断層は、地震調査委員会(2004)により長岡平野西縁断層帯を構成するとされている。

1. 文献調査 (2)



「日本活断層図」(1978), 「信越地域活構造図」(1979), 「活構造図一新潟」(1984), 「[新編]日本の活断層」(1991), 吉岡ほか(1987)

敷地周辺陸域の文献による活断層及びリニアメント分布図

- 「[新編] 日本の活断層」(1991)等によると、前述の活断層以外にも、敷地周辺陸域には、以下の活断層等が示されている。
- 中央丘陵には、常楽寺断層(中央丘陵西縁部断層)及び中央油帯背斜軸部のリニアメント。
- 八石山丘陵北部には、鯖石川向斜部のリニアメント及び渋海川向斜部のリニアメント。
- 黒姫山丘陵北端部には、細越断層及び水上断層。
- 米山山塊には、上米山断層及び雁海断層。
- 東山丘陵西縁の信濃川右岸には、悠久山断層。

1.	文献調査	• • •	4
2.	敷地周辺陸域の地形	• • •	7
3.	敷地周辺陸域の地質	• • •	9
4.	敷地周辺陸域の変動地形	• • •	11
5.	敷地周辺陸域の地質構造	• • •	14
6.	断層の評価		
6.1	概要	• • •	18
6.2	活断層の評価	• • •	20
6.2.1	角田・弥彦断層	• • •	20
6.2.2	気比ノ宮断層	• • •	36
6.2.3	上富岡断層・親沢断層・片貝断層	• • •	52
6.3	副次的な構造に関する評価	• • •	81
6.3.1	中央丘陵西縁部断層	• • •	83
6.3.2	渋海川向斜部のリニアメント	• • •	98
6.4	その他のリニアメント・断層に関する評価	• • •	103
7.	断層の連動可能性評価		
7.1	長岡平野西縁断層帯	• • •	176
7.2	長岡平野西縁断層帯と十日町断層帯西部	• • •	183

2. 敷地周辺陸域の地形



敷地周辺陸域の地形図

- 敷地周辺陸域の地形は、東頸城丘陵、魚沼丘陵、米山山塊、長岡平野及び柏崎平野に大別される。
- 東頸城丘陵は、寺泊・西山丘陵、中央丘陵、八石山丘陵、黒姫山丘陵、塩沢・清水丘陵及び小国・川西丘陵の小丘陵に区分することができる。また、魚沼丘陵に属する小丘陵としては東山丘陵がある。
- 東頸城丘陵の各小丘陵は、いずれも長さ10km～30km程度、幅5km～10km程度の規模で、NNE-SSW～NE-SW方向に伸びる長細い長方形状を呈し、互いに平行あるいは雁行状に分布している。
- 敷地は、寺泊・西山丘陵南西部の日本海に面した荒浜砂丘に位置している。

1.	文献調査	• • •	4
2.	敷地周辺陸域の地形	• • •	7
3.	敷地周辺陸域の地質	• • •	9
4.	敷地周辺陸域の変動地形	• • •	11
5.	敷地周辺陸域の地質構造	• • •	14
6.	断層の評価		
6.1	概要	• • •	18
6.2	活断層の評価	• • •	20
6.2.1	角田・弥彦断層	• • •	20
6.2.2	気比ノ宮断層	• • •	36
6.2.3	上富岡断層・親沢断層・片貝断層	• • •	52
6.3	副次的な構造に関する評価	• • •	81
6.3.1	中央丘陵西縁部断層	• • •	83
6.3.2	渋海川向斜部のリニアメント	• • •	98
6.4	その他のリニアメント・断層に関する評価	• • •	103
7.	断層の連動可能性評価		
7.1	長岡平野西縁断層帯	• • •	176
7.2	長岡平野西縁断層帯と十日町断層帯西部	• • •	183

3. 敷地周辺陸域の地質（地質層序）

敷地周辺陸域の地質層序

時代		地層名	テフラ			
第四紀	完新世	新期砂層・沖積層	AT			
			DKP			
	後期	番神砂層	On-Kt			
			NG			
		大湊砂層 安田層	Ata-Th			
			Kkt			
	中期	古安田層 青海川層 脇野町層等	Pk(SK020)			
		久米層・大坪層	Zr(SK030)			
	前期	魚沼層	Iz(SK100)			
		灰爪層	Tz(Tzc)			
第三紀	鮮新世	西山層	Fup			
			Isb			
	後期	西山層	Az			
			Zn			
	前期	椎谷層	Km			
			Km			
	中新世	後期	寺泊層			
				中期	七谷層	
						グリーンタフ※2
	前期	グリーンタフ※2				
先新第三紀		基盤岩類				

※1 米山火山岩類（安山岩質火山噴出岩類）
 ※2 天然ガス鉱業界ほか編(1992)による
 *和南津層は、北部では灰爪層に、南部では魚沼層に含めた。

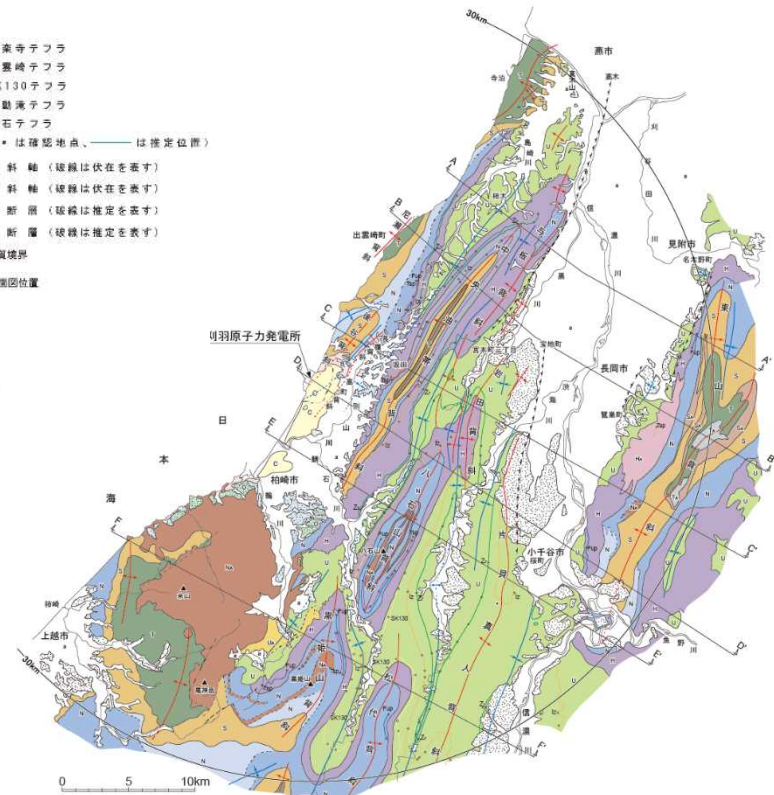
- 敷地周辺陸域には、先新第三系の基盤岩類、新第三系中新統～下部鮮新統のグリーンタフ※・七谷層・寺泊層・椎谷層、新第三系下部鮮新統～第四系下部更新統の西山層・米山火山岩類・灰爪層・魚沼層、第四系下部～中部更新統の久米層・大坪層・脇野町層等、第四系中部～上部更新統の青海川層・古安田層・安田層・大湊砂層・番神砂層・段丘堆積物、第四系完新統の沖積層・新期砂層が分布している。
- 地表部には、これらの地層のうち、寺泊層以上の地層が分布している。

凡例

新期砂層 C 砂	▲ 常楽寺テフラ
沖積層 a 砂、礫及びシルト	● 出雲崎テフラ
番神砂層 B 砂（大湊砂層を含む）	○ SK130テフラ
安田層・古安田層 粘土、シルト、砂及び礫	□ 不動滝テフラ
青海川層 粘土、シルト、砂	△ 武石テフラ
魚沼層 U 泥岩、砂岩及び礫層の互層	(● は確認地点、— は推定位置)
灰爪層 H 砂質泥岩及び粗粒砂岩	↖ 背斜軸（破線は伏在を表す）
西山層 N 泥岩、一部砂岩、泥岩互層	↗ 向斜軸（破線は伏在を表す）
椎谷層 S 砂岩、泥岩互層、一部泥岩	↕ 逆断層（破線は推定を表す）
寺泊層 T 黒色頁岩	↔ 地質境界
安山岩類 LA 安山岩質火山噴出岩類	⊥ 断層位置
安山岩質火山噴出岩類 MA 安山岩質～石英安山岩質火山噴出岩類	
安山岩質火山噴出岩類 SA 安山岩質～石英安山岩質火山噴出岩類	
安山岩質火山噴出岩類 TA 安山岩質火山噴出岩類	

(注) 脇野町層、大坪層などは分布が局所的であるため図示していない。

〰 示標テフラ
 ~ 不整合
 ≡ 同時異相

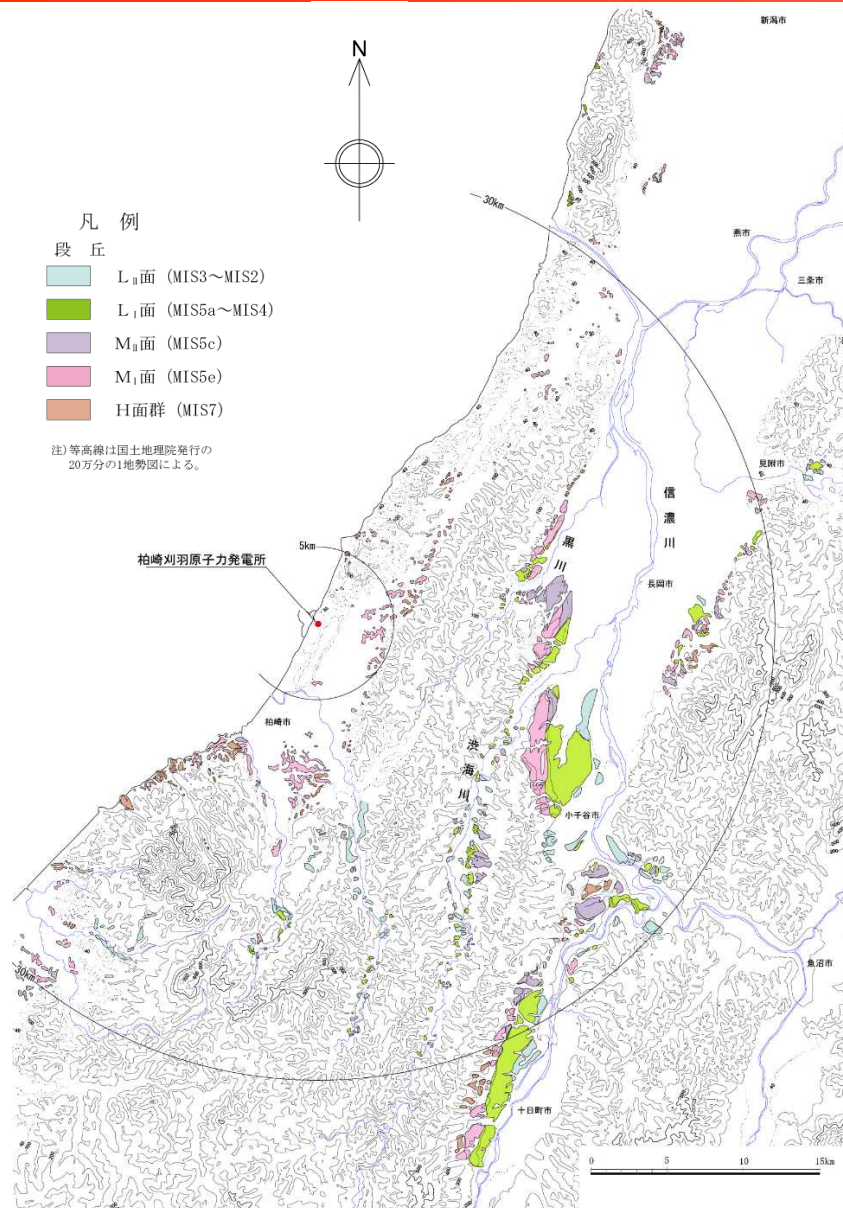


敷地周辺陸域の地質図

※天然ガス鉱業界ほか編(1992)による

1.	文献調査	• • •	4
2.	敷地周辺陸域の地形	• • •	7
3.	敷地周辺陸域の地質	• • •	9
4.	敷地周辺陸域の変動地形	• • •	11
5.	敷地周辺陸域の地質構造	• • •	14
6.	断層の評価		
6.1	概要	• • •	18
6.2	活断層の評価	• • •	20
6.2.1	角田・弥彦断層	• • •	20
6.2.2	気比ノ宮断層	• • •	36
6.2.3	上富岡断層・親沢断層・片貝断層	• • •	52
6.3	副次的な構造に関する評価	• • •	81
6.3.1	中央丘陵西縁部断層	• • •	83
6.3.2	渋海川向斜部のリニアメント	• • •	98
6.4	その他のリニアメント・断層に関する評価	• • •	103
7.	断層の連動可能性評価		
7.1	長岡平野西縁断層帯	• • •	176
7.2	長岡平野西縁断層帯と十日町断層帯西部	• • •	183

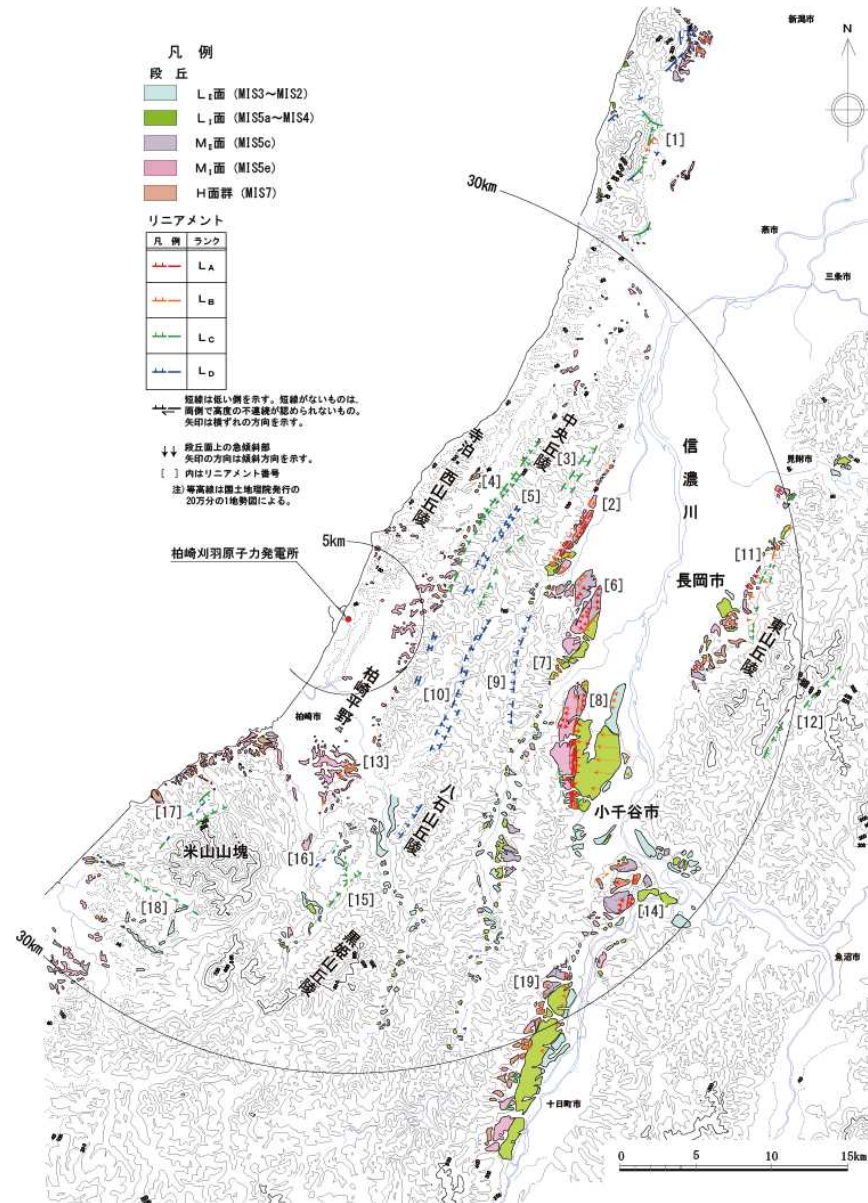
4. 敷地周辺陸域の変動地形（段丘面分布図）



- 空中写真判読，地表地質調査結果等に基づいて，段丘面の性状（分布，形態，面の保存状況等），堆積物の層相及びテフラとの関係から，高位よりH面群，M_I面，M_{II}面，L_I面，L_{II}面に区分した。

敷地周辺陸域の段丘面分布図

4. 敷地周辺陸域の変動地形（リニアメント分布図）



凡例

段丘	
L _I 面 (MIS3~MIS2)	■
L _{II} 面 (MIS5a~MIS4)	■
M _I 面 (MIS5c)	■
M _{II} 面 (MIS5e)	■
H面群 (MIS7)	■

リニアメント

凡例	ランク
—	L _A
—	L _B
—	L _C
—	L _D

短線は短い傾を示す。短線がないものは、両側で高度の不連続が認められないもの、矢印は傾斜方向を示す。

段丘面上の急傾斜部
矢印の方向は傾斜方向を示す。

[] 内はリニアメント番号

注) 等高線は国土院発行の20万分の1地形図による。

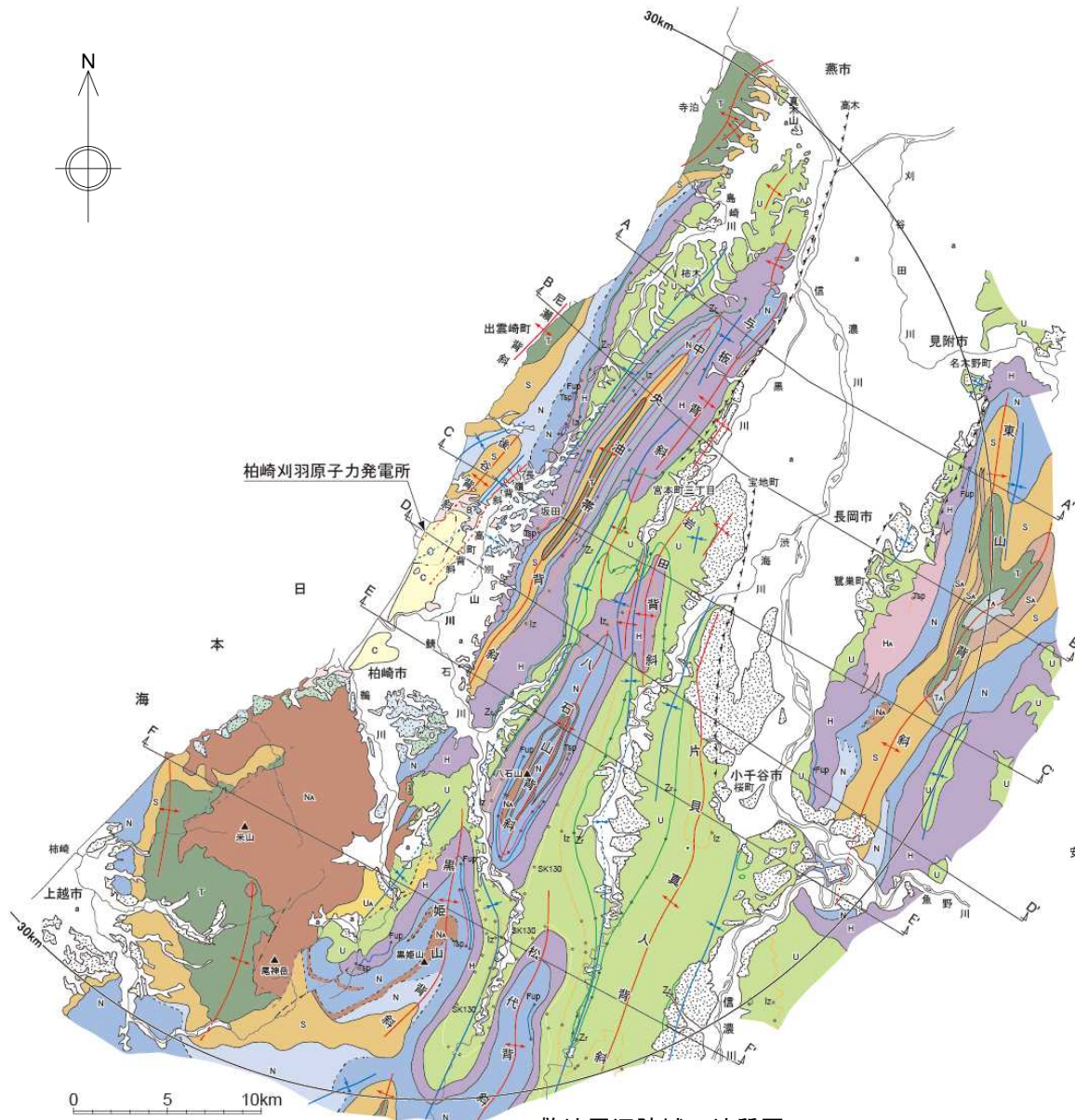
- [1] 角田・弥彦断層
- [8] 片貝断層
- [15] 水上断層
- [2] 気比ノ宮断層
- [9] 洪海川向斜部のリニアメント
- [16] 細越断層
- [3] 逆谷断層
- [10] 鯖石川向斜部のリニアメント
- [17] 上米山断層
- [4] 中央丘陵西縁部断層
- [11] 悠久山断層
- [18] 雁海断層
- [5] 中央油帯背斜軸部のリニアメント
- [12] 半蔵金付近のリニアメント
- [19] 十日町盆地西縁断層
- [6] 上富岡断層
- [13] 柏崎平野南東縁のリニアメント
- [7] 親沢断層
- [14] 山本山断層

- 長岡市から小千谷市に至る信濃川左岸では、NNE-SSW方向ないしNS方向のL_A及びL_Bリニアメント、一部L_Cリニアメントが判読され、M_I面、M_{II}面、L_I面及びL_{II}面の撓み、傾動等も認められる。
- 中央丘陵ではNNE-SSW方向のリニアメントが卓越しており、中央丘陵西縁部にはL_Cリニアメントが判読される。
- 東山丘陵西縁の信濃川右岸では、L_A~L_Cリニアメントが判読される。
- 八石山丘陵北部、黒姫山丘陵北端部、米山山塊等にも、L_C及びL_Dリニアメントが判読される。
- 柏崎平野南東縁では、延長の短いL_Bリニアメントが判読され、M_I面に撓み状の傾斜も認められる。
- 寺泊・西山丘陵においては、リニアメントは認められない。

敷地周辺陸域のリニアメント分布図

1.	文献調査	• • •	4
2.	敷地周辺陸域の地形	• • •	7
3.	敷地周辺陸域の地質	• • •	9
4.	敷地周辺陸域の変動地形	• • •	11
5.	敷地周辺陸域の地質構造	• • •	14
6.	断層の評価		
6.1	概要	• • •	18
6.2	活断層の評価	• • •	20
6.2.1	角田・弥彦断層	• • •	20
6.2.2	気比ノ宮断層	• • •	36
6.2.3	上富岡断層・親沢断層・片貝断層	• • •	52
6.3	副次的な構造に関する評価	• • •	81
6.3.1	中央丘陵西縁部断層	• • •	83
6.3.2	渋海川向斜部のリニアメント	• • •	98
6.4	その他のリニアメント・断層に関する評価	• • •	103
7.	断層の連動可能性評価		
7.1	長岡平野西縁断層帯	• • •	176
7.2	長岡平野西縁断層帯と十日町断層帯西部	• • •	183

5. 敷地周辺陸域の地質構造（地質図）



- 敷地周辺陸域の地層の分布は、丘陵の分水嶺付近に新第三系のうち古い地層が、その周りにより新しい地層が帯状に配列し、丘陵縁辺部及び河川沿いの平野部には第四系が分布している。
- 敷地周辺陸域における地質構造は、褶曲構造によって特徴付けられる。

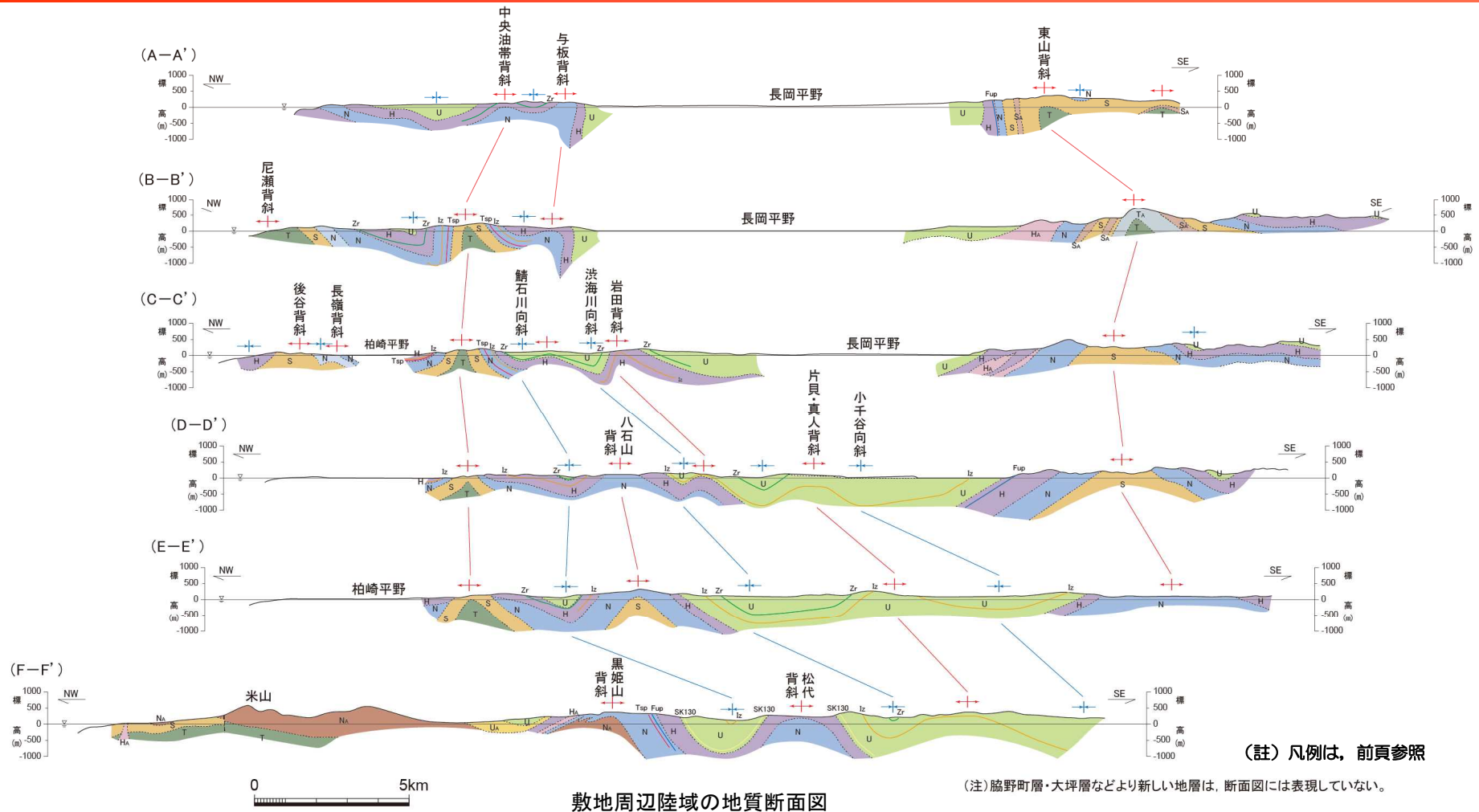
凡 例

新期砂層 C	砂	Zr	常楽寺テフラ
沖積層 a	砂、礫及びシルト	Iz	出雲崎テフラ
番神砂層 B	砂（大漢砂層を含む）	SK130	SK130テフラ
安田層・古安田層	粘土、シルト、砂及び礫	Fup	不動滝テフラ
青海川層	粘土、シルト、砂及び礫	Tsp	武石テフラ
魚沼層 U	泥岩、砂層及び礫層の互層		
灰爪層 H	砂質泥岩及び細粒砂岩		
西山層 N	泥岩、一部砂岩・泥岩互層		
椎谷層 S	砂岩・泥岩互層、一部泥岩		
寺泊層 T	黒色頁岩		
	段丘堆積物		
	UA	安山岩質火山噴出岩類	
	HA	安山岩質～石英安山岩質火山噴出岩類	
	NA	安山岩質～石英安山岩質火山噴出岩類	
	SA	安山岩質火山噴出岩類	
	TA	安山岩質火山噴出岩類	

(注) 脇野町層、大坪層などは分布が局所的であるため図示していない。

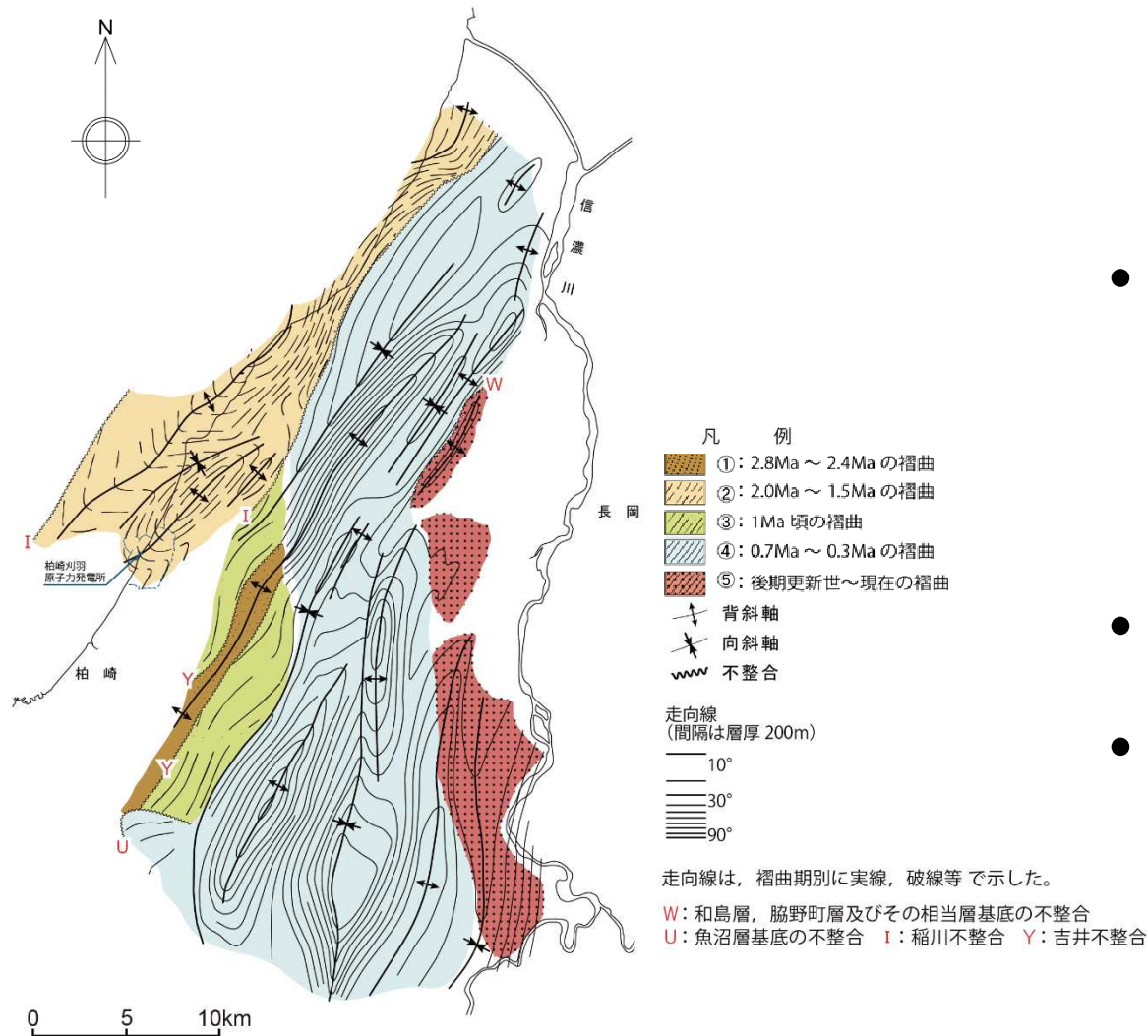
敷地周辺陸域の地質図

5. 敷地周辺陸域の地質構造（地質断面図）



- 褶曲構造は背斜構造が顕著であり、背斜構造の側方は緩傾斜の盆状の構造を示し、向斜構造は不明瞭となっている。規模の大きな背斜構造は箱型を示し、複合背斜構造となっている。
- これらの複合背斜構造の軸はNNE-SSW方向～NE-SW方向を示し、その長さは10km～30kmであり、平行ないし雁行状に配列している。また、褶曲構造は地形と調和しており、複合背斜部は丘陵に、向斜部は低地にそれぞれ対応している。

5. 敷地周辺陸域の地質構造（鮮新世～更新世の褶曲形成史）



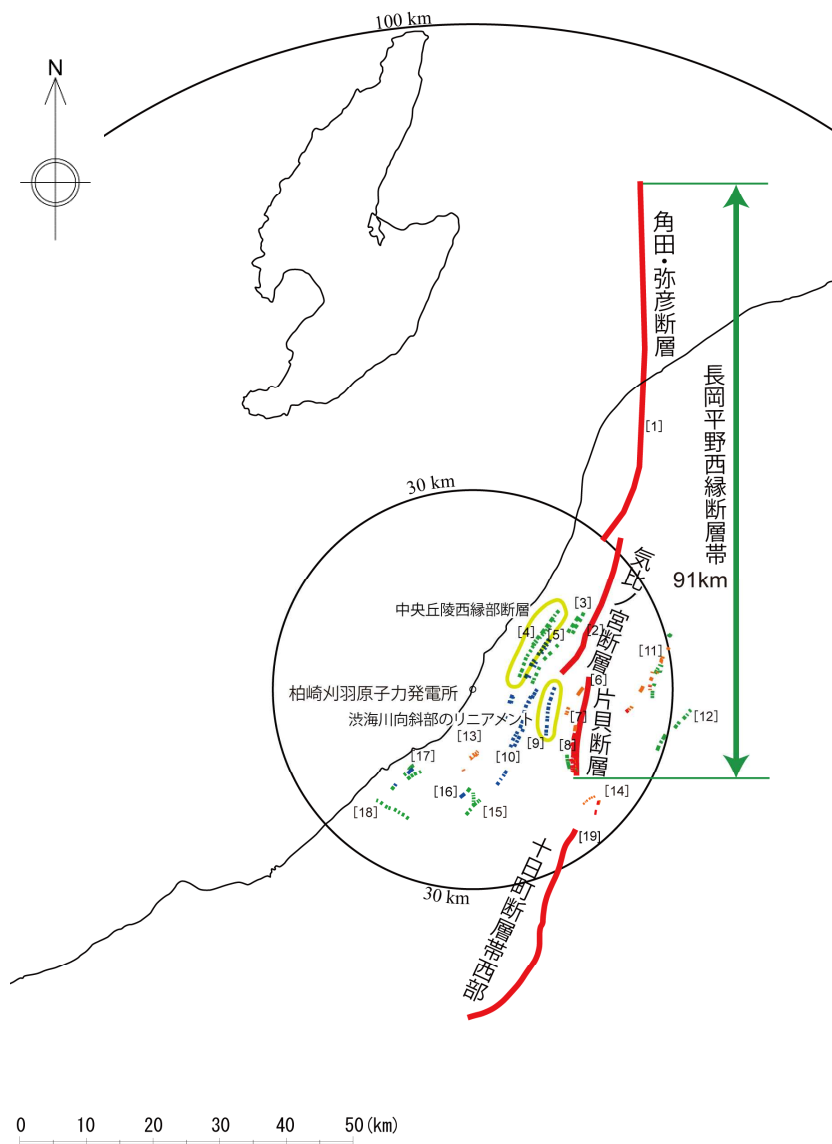
岸ほか（1996）による柏崎及び周辺地域の褶曲形成史

- 岸ほか（1996）は、約4Ma以降、鮮新世から中期更新世にかけての地層内に10層以上の示標テフラを設定し、その年代を明らかにした上で、これらの示標テフラを時間軸とし、地質構造、堆積層厚、堆積相から推定される古環境に基づき褶曲の形成史について検討を行い、以下のとおりとしている。
- 当地域において、①中央丘陵南部及びその南方地域では2.8Ma～2.4Maに、②寺泊・西山丘陵及びその前面の大陸棚では2.0Ma～1.5Maに、③中央丘陵南部では1Ma頃に、また、④中央丘陵の北部、八石丘陵等では0.7Ma～0.3Maにかけて、それぞれ褶曲が進行した。さらに、⑤信濃川左岸地域では後期更新世から現在にかけて褶曲（活褶曲）が進行している。
- これらの褶曲期の前後には、いずれも長期間にわたり褶曲が顕著に進行しない静穏な褶曲期が存在している。
- 褶曲の最盛期は場所ごとに異なっており、全域的には静穏な褶曲の中で、急速な褶曲が地域的かつ、断続的に発生している。これらの褶曲域はお互いに重複することはなく、褶曲運動は、鮮新世以降（新しい区分では前期更新世以降）では、新第三紀末以降における褶曲運動は、その最盛期を西から東へ移動しながら進行しているように見える。

1.	文献調査	・・・	4
2.	敷地周辺陸域の地形	・・・	7
3.	敷地周辺陸域の地質	・・・	9
4.	敷地周辺陸域の変動地形	・・・	11
5.	敷地周辺陸域の地質構造	・・・	14
6.	断層の評価		
6.1	概要	・・・	18
6.2	活断層の評価	・・・	20
6.2.1	角田・弥彦断層	・・・	20
6.2.2	気比ノ宮断層	・・・	36
6.2.3	上富岡断層・親沢断層・片貝断層	・・・	52
6.3	副次的な構造に関する評価	・・・	81
6.3.1	中央丘陵西縁部断層	・・・	83
6.3.2	渋海川向斜部のリニアメント	・・・	98
6.4	その他のリニアメント・断層に関する評価	・・・	103
7.	断層の連動可能性評価		
7.1	長岡平野西縁断層帯	・・・	176
7.2	長岡平野西縁断層帯と十日町断層帯西部	・・・	183

6.1 概要

- 文献調査結果及び変動地形学的調査結果に基づき、断層及びリニアメントの長さ、敷地からの距離等を検討した結果、敷地を中心とする半径30km範囲の陸域における主要な断層及びリニアメントとしては、下表に示すものがある。
- 長岡平野西縁断層帯を構成する断層については6.2に、これらの副次的な構造については6.3に、孤立した長さの短い活断層、侵食地形と判断されるリニアメント及び活動性を考慮しない細越断層については6.4にそれぞれ評価内容を示す。



敷地周辺陸域の文献による活断層及びリニアメント一覧

番号	断層・リニアメント名	長さ (km)	評価
[1]	角田・弥彦断層	54	活動性を考慮する
[2]	氣比ノ宮断層	22	活動性を考慮する
[3]	逆谷断層	-	リニアメントは侵食地形であり、対応する断層は認められない。
[4]	中央丘陵西縁部断層	-	長岡平野西縁断層帯の副次的な構造。
[5]	中央油帯背斜軸部のリニアメント	-	リニアメントは侵食地形であり、対応する断層は認められない。
[6]	上富岡断層	-	片貝断層の副次的な構造。
[7]	親沢断層	-	片貝断層の副次的な構造。
[8]	片貝断層	16	活動性を考慮する
[9]	洪海川向斜部のリニアメント	-	長岡平野西縁断層帯の副次的な構造。
[10]	鯖石川向斜部のリニアメント	-	リニアメントは侵食地形であり、対応する断層は認められない。
[11]	悠久山断層	13	孤立した短い活断層
[12]	半蔵金付近のリニアメント	9	孤立した短い活断層
[13]	柏崎平野南東縁のリニアメント	3.5	孤立した短い活断層
[14]	山本山断層	3.5	孤立した短い活断層
[15]	水上断層	4	孤立した短い活断層
[16]	細越断層	-	活動性を考慮しない
[17]	上米山断層	6	孤立した短い活断層
[18]	雁海断層	7	孤立した短い活断層
[19]	十日町盆地西縁断層	33	活動性を考慮する

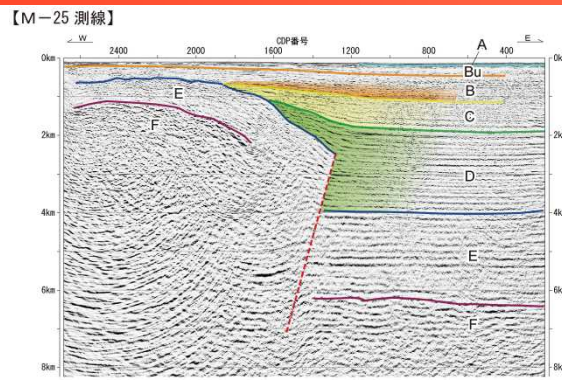
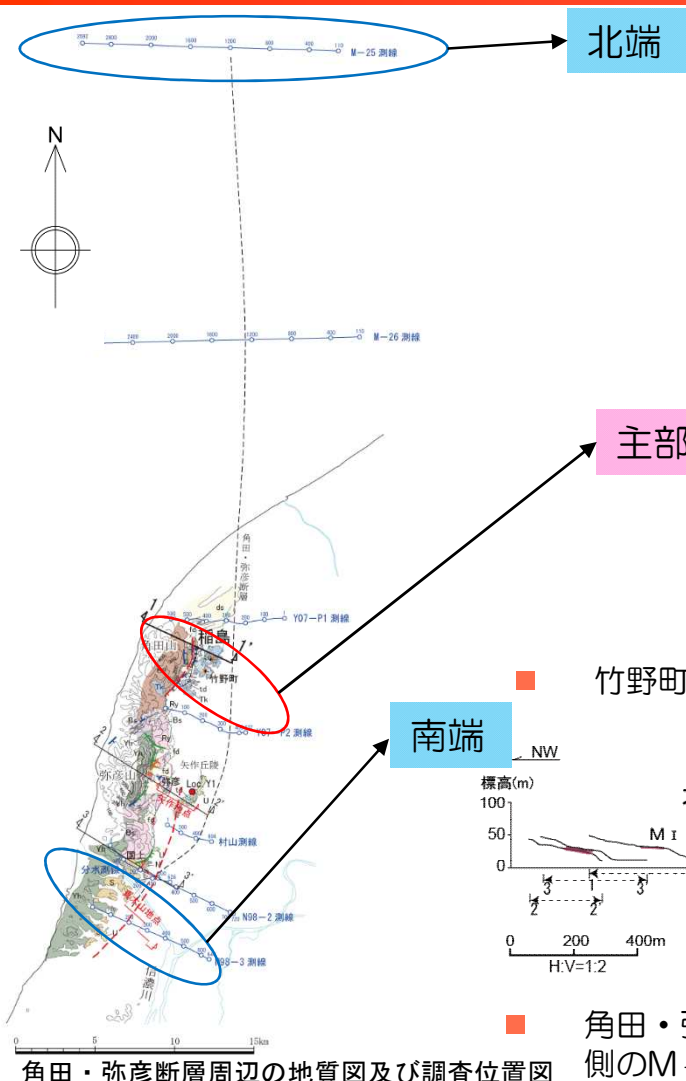
リニアメント

凡例	ランク
---	L _A
---	L _B
---	L _C
---	L _D

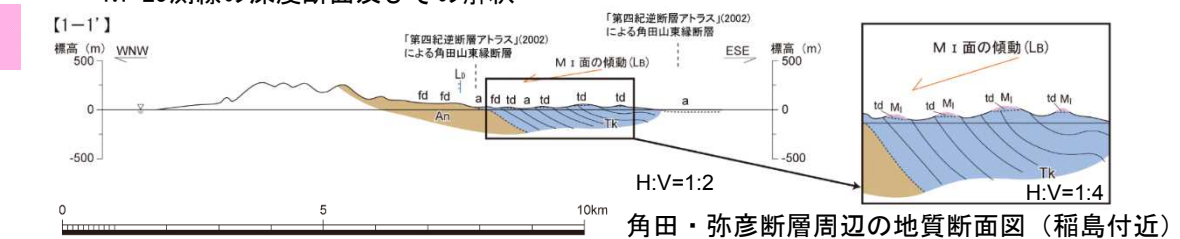
敷地周辺における断層及びリニアメント分布図

1.	文献調査	・・・	4
2.	敷地周辺陸域の地形	・・・	7
3.	敷地周辺陸域の地質	・・・	9
4.	敷地周辺陸域の変動地形	・・・	11
5.	敷地周辺陸域の地質構造	・・・	14
6.	断層の評価		
6.1	概要	・・・	18
6.2	活断層の評価	・・・	20
6.2.1	角田・弥彦断層	・・・	20
6.2.2	気比ノ宮断層	・・・	36
6.2.3	上富岡断層・親沢断層・片貝断層	・・・	52
6.3	副次的な構造に関する評価	・・・	81
6.3.1	中央丘陵西縁部断層	・・・	83
6.3.2	渋海川向斜部のリニアメント	・・・	98
6.4	その他のリニアメント・断層に関する評価	・・・	103
7.	断層の連動可能性評価		
7.1	長岡平野西縁断層帯	・・・	176
7.2	長岡平野西縁断層帯と十日町断層帯西部	・・・	183

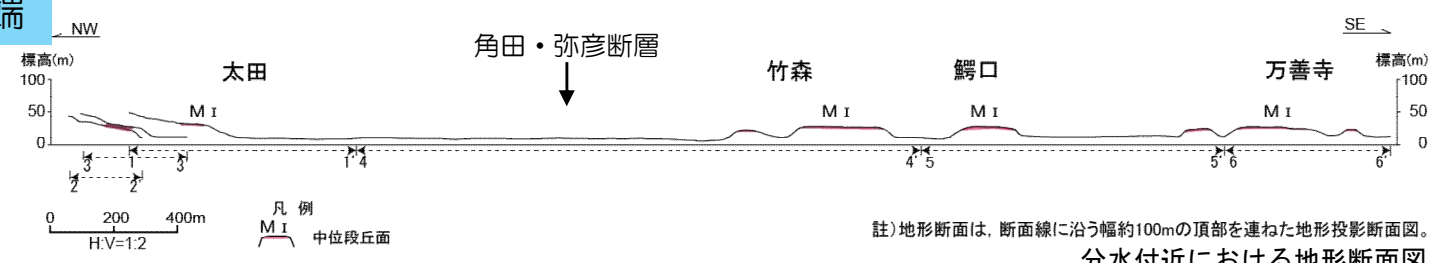
6.2.1 角田・弥彦断層（評価の概要）



■ M-25測線においては、D層中部以下の地層に西傾斜の逆断層が認められ、D層上部及びC層にも撓曲変形及び growth strataが認められるものの、B層上部以上の地層に変位・変形は認められない。



■ 竹野町層を覆って分布するM₁面は西方に逆傾斜を示しており、傾動している。

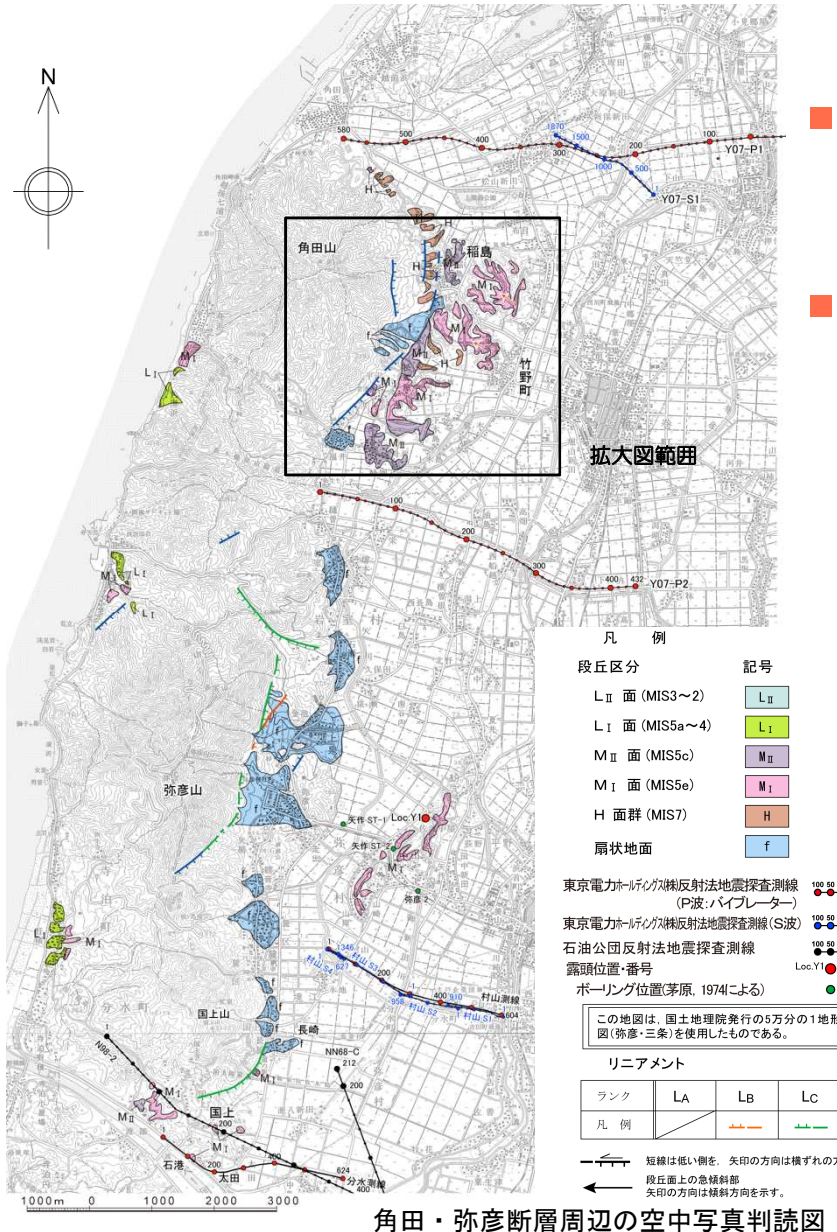


■ 角田・弥彦断層の西側隆起側に位置する太田付近等に分布するM₁面は、当断層の東低側側のM₁面とほぼ同一の高度を示している。

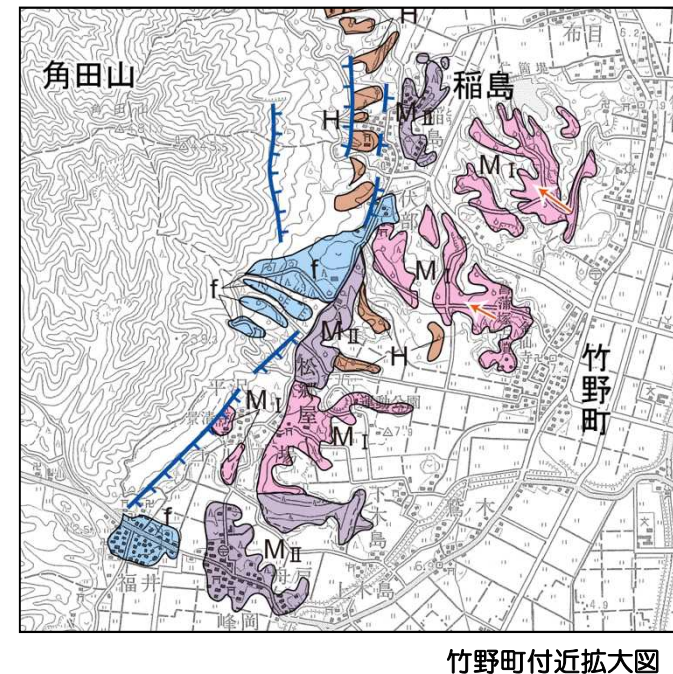
【評価】

■ 角田・弥彦断層は、後期更新世以降における活動が認められることから活動性を考慮し、その長さを新潟市沖のM-25測線から寺泊町真木山付近に至る間の約54kmと評価する。

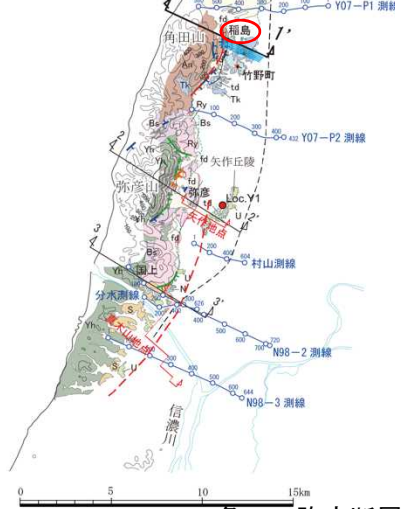
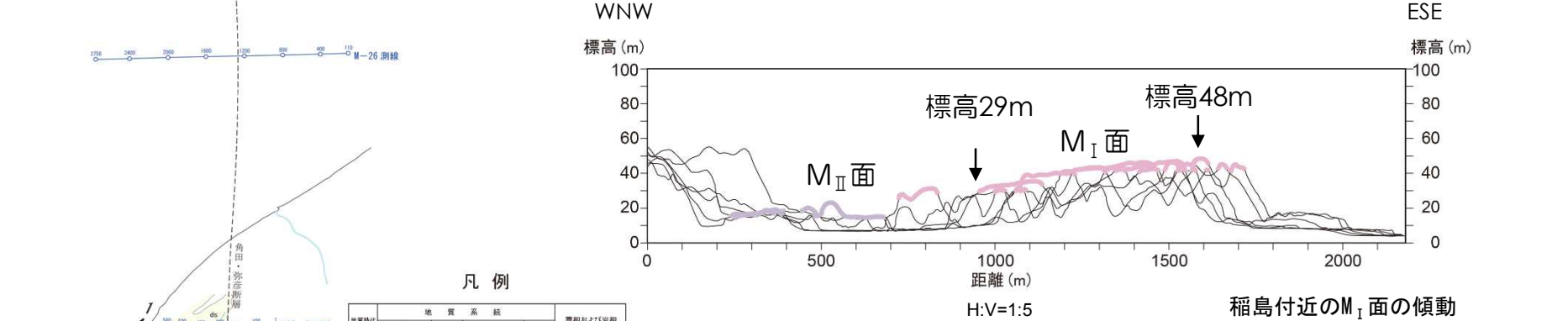
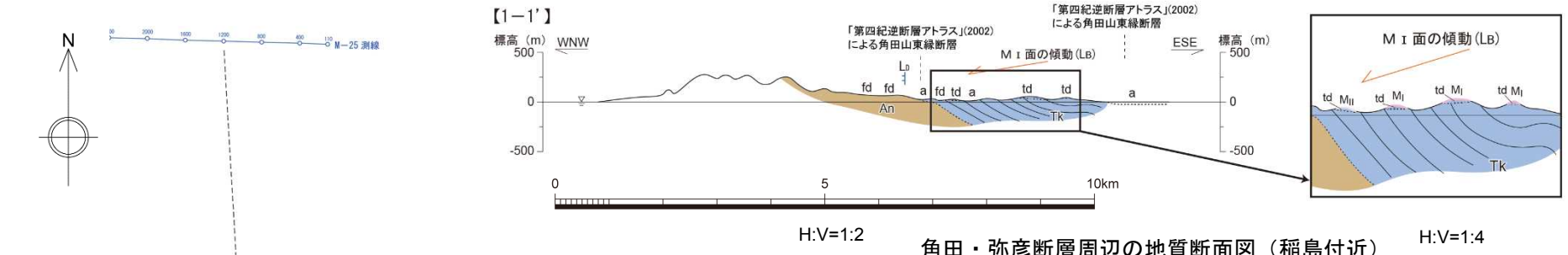
6.2.1 角田・弥彦断層（空中写真判読図）



- 角田山東麓の稲島付近から弥彦山東麓を経て、国上付近に至る約14km間において、主にN-S方向ないしNNE-SSW方向のL_C及びL_Dリニアメント、一部L_Bリニアメントが断続的に判読される。
- 竹野町西に比較的広く分布するM_I面は、全体的な地形の傾斜方向とは逆の西方に傾動している。



6.2.1 角田・弥彦断層（地表地質調査結果：稲島付近）

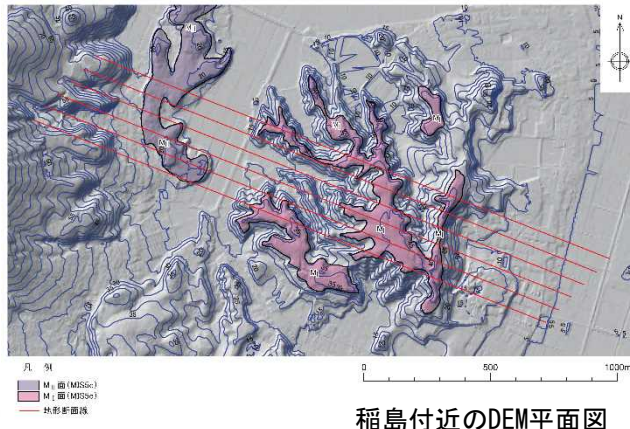


凡例

地質時代	地質系	記号	層相および岩種
第四紀	沖積層	a	砂、シルト
	段丘堆積物及び埋没堆積物	fd	砂、角礫、シルト
	段丘堆積物 (不整合)	td	砂、円礫
	魚沼層	U	砂、シルト
第三紀	灰爪層	H	砂質シルト岩、砂岩
	西山層	N	基岩～泥岩層
	稲谷層	S	砂岩～砂岩層
新第三紀	寺泊層	T	黒色頁岩
	新寺泊層	Yh	黒色頁岩
	新寺泊層	Yh	黒色頁岩

ランク	LA	LB	LC	LD
凡例				

短線は低い側を、矢印の方向は傾斜の方向を示す。
 段丘面上の急傾斜部
 矢印の方向は傾斜方向を示す。

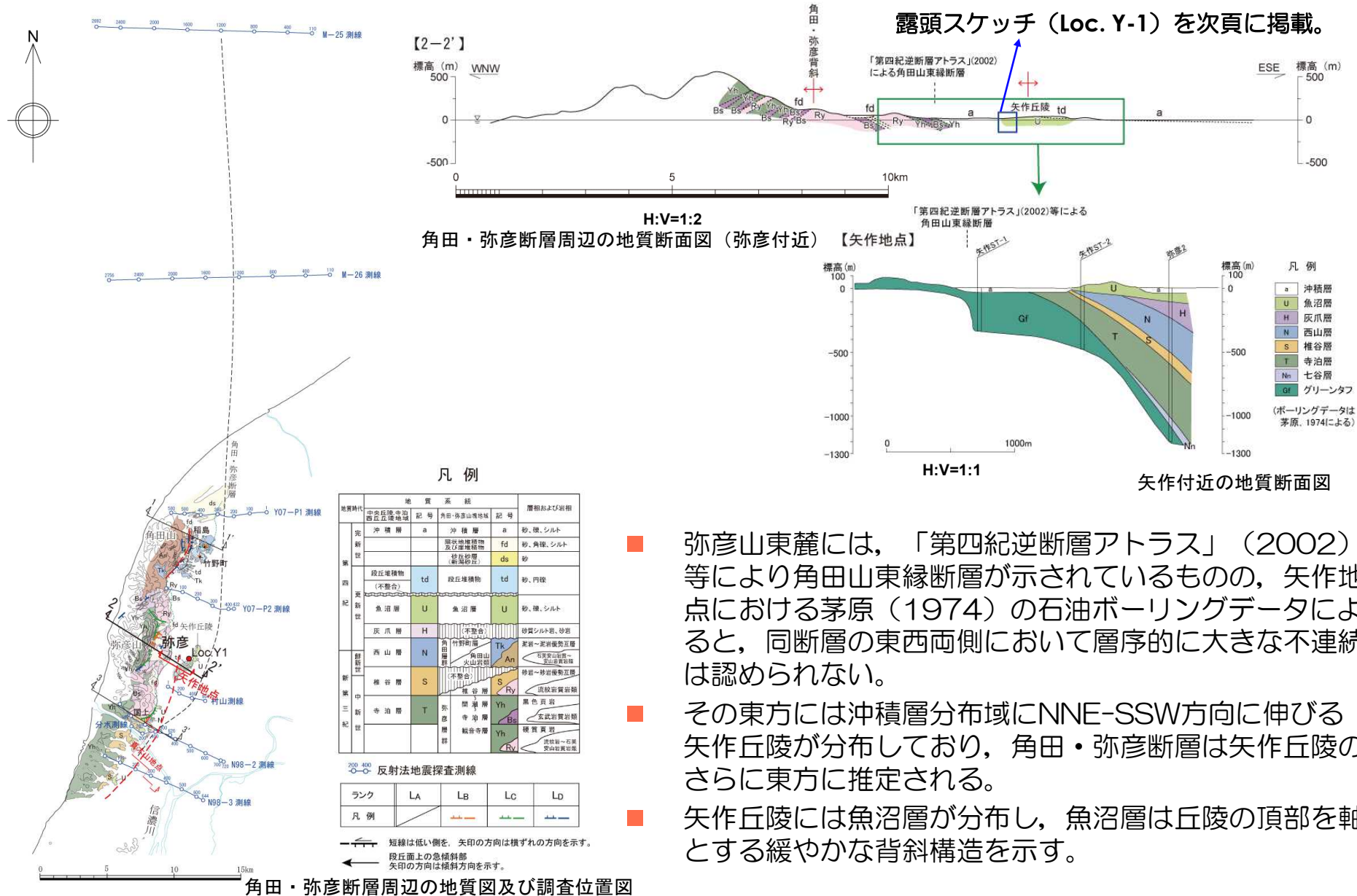


- 稲島付近の竹野町層は20°～30°程度東傾斜の同斜構造を示し、東側の沖積層分布域に接することから、角田・弥彦断層の位置は竹野町分布域東方の沖積層分布域に推定される。
- 竹野町層を覆って分布するM I 面は、西方に逆傾斜を示しており、傾動している。

角田・弥彦断層周辺の地質図及び調査位置図

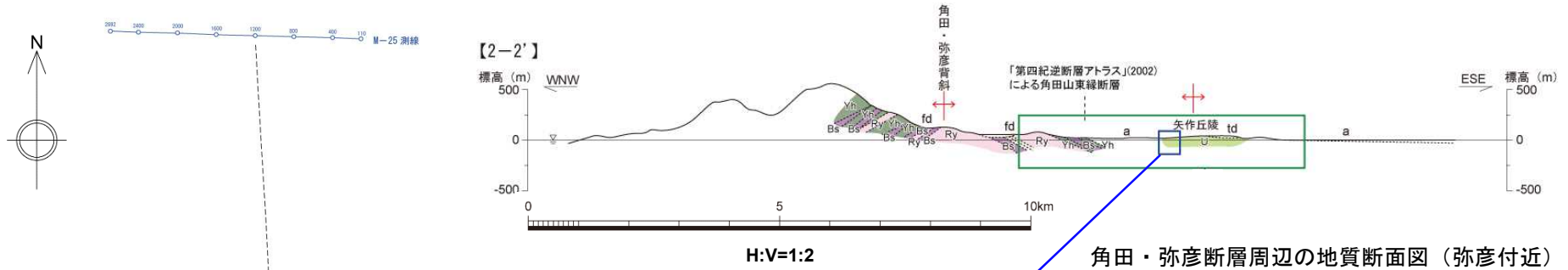


6.2.1 角田・弥彦断層（地表地質調査結果：弥彦付近）

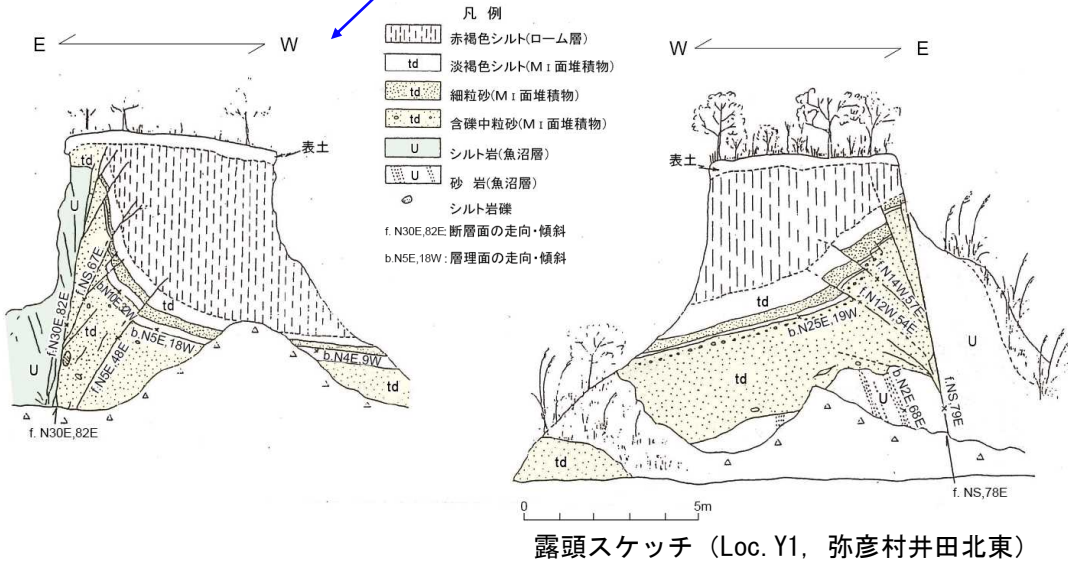
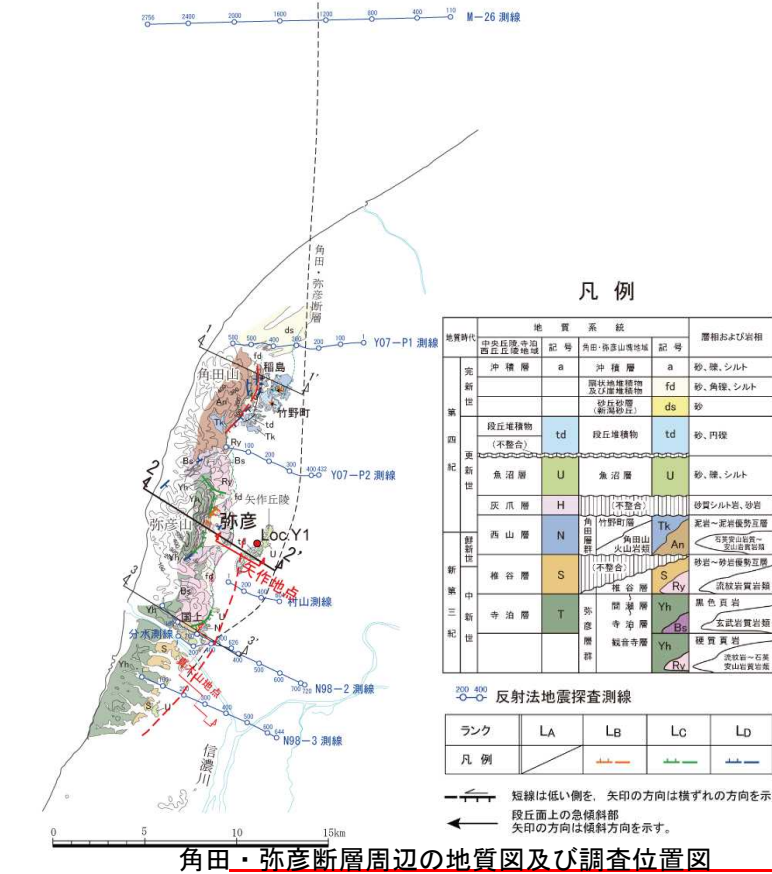


- 弥彦山東麓には、「第四紀逆断層アトラス」(2002)等により角田山東縁断層が示されているものの、矢作地点における茅原(1974)の石油ボーリングデータによると、同断層の東西両側において層序的に大きな不連続は認められない。
- その東方には沖積層分布域にNNE-SSW方向に伸びる矢作丘陵が分布しており、角田・弥彦断層は矢作丘陵のさらに東方に推定される。
- 矢作丘陵には魚沼層が分布し、魚沼層は丘陵の頂部を軸とする緩やかな背斜構造を示す。

6.2.1 角田・弥彦断層（地表地質調査結果：矢作地点）



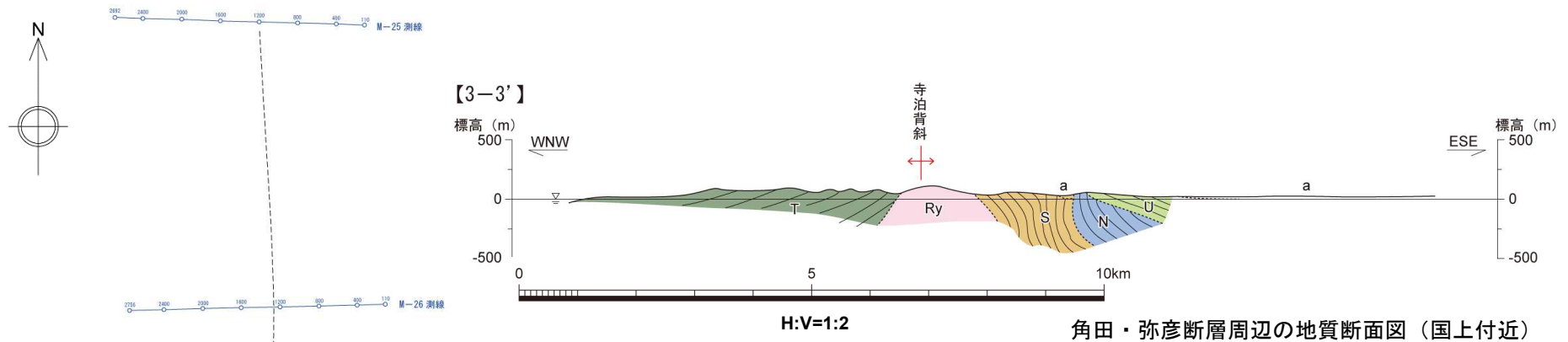
角田・弥彦断層周辺の地質断面図（弥彦付近）



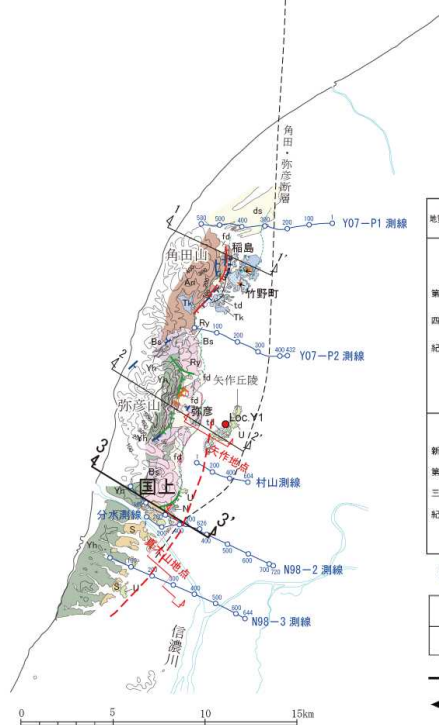
露頭スケッチ (Loc. Y1, 弥彦村井田北東)

■ 矢作丘陵に認められる背斜西翼の一部では魚沼層が急傾斜を示し、同急傾斜部においてM_I面堆積物基底面に鉛直約5mの東上がりの変位を与える逆断層が認められる。

6.2.1 角田・弥彦断層（地表地質調査結果：国上付近）



角田・弥彦断層周辺の地質断面図（国上付近）



角田・弥彦断層周辺の地質図及び調査位置図

凡例

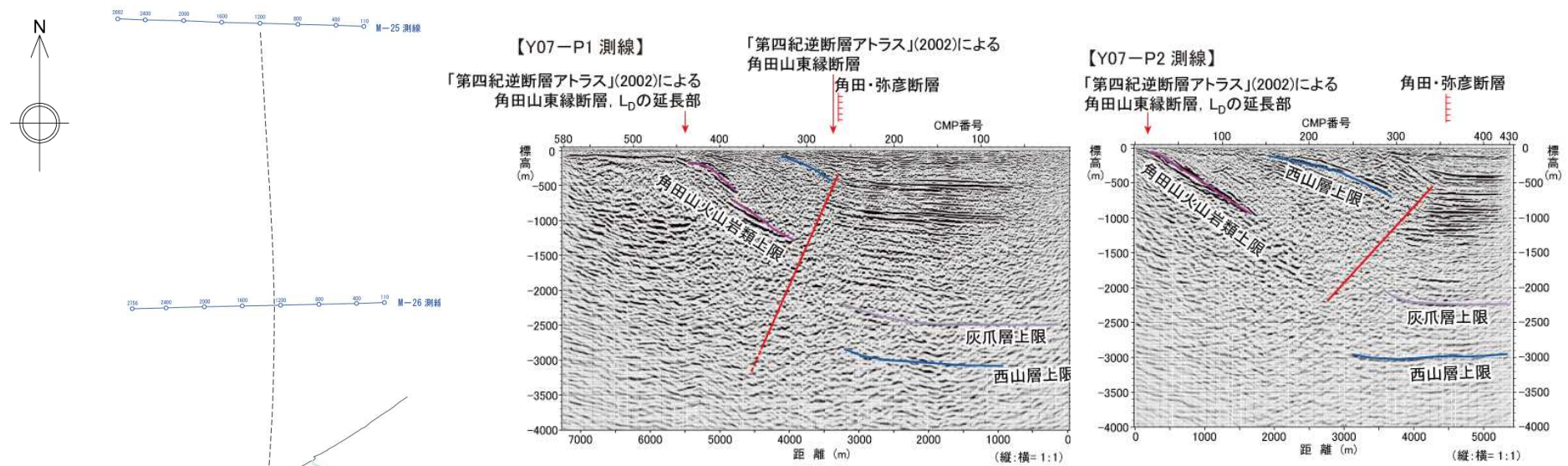
地質時代	地質系		層相および岩相
	記号	角田・弥彦山塊地帯	
第四紀	沖積層	a	砂、礫、シルト
	段丘堆積物及び埋積物	fd	砂、角礫、シルト
	段丘堆積物 (新整合)	ds	砂
	段丘堆積物 (不整合)	td	砂、円礫
第三紀	魚沼層	U	砂、礫、シルト
	炭爪層	H	砂質シルト岩、砂岩
新第三紀	西山層	N	基岩～泥岩炭質互層 石英質山岳～ 石英質砂岩
	椎谷層	S	砂岩～砂岩礫岩層
	寺泊層	T	流紋岩質凝結 黒色頁岩
第三紀	弥彦層	Yh	玄武岩質岩類
	寺泊層	Yh	緑頁岩
	弥彦層	Yh	流紋岩～石英 質山岳岩類

ランク	LA	LB	LC	LD
凡例				

短線は低い側を、矢印の方向は横ずれの方向を示す。
段丘面上の急傾斜部
矢印の方向は傾斜方向を示す。

- 角田・弥彦断層の南部では、撓曲により一部逆転して急傾斜を示す椎谷層及び西山層を5°～25°の東傾斜を示す魚沼層が不整合に覆っている。

6.2.1 角田・弥彦断層（反射法地震探査：リニアメント北部付近）



Y07-P1測線及びY07-P2測線の深度断面及びその解釈



凡例

地質時代	地質系		層相および岩相
記号	番号	記号	番号
第四紀	沖積層	a	砂、礫、シルト
	扇状地堆積物及び堆積物	fd	砂、角礫、シルト
	砂体砂層(新編砂層)	ds	砂
	段丘堆積物	td	砂、円礫
更新世	魚沼層	U	砂、礫、シルト
	灰爪層	H	砂質シルト岩、砂岩
鮮新世	西山層	N	基岩~基岩礫岩互層 角田山麓部 角田山麓部 角田山麓部
	種谷層	S	砂岩~砂岩礫岩互層 角田山麓部 角田山麓部
	寺泊層	T	黒色頁岩
	弥彦層	Yh	安山岩質岩類
中新世	寺泊層	T	黒色頁岩
	弥彦層	Yh	安山岩質岩類
古第三紀	寺泊層	T	黒色頁岩
	弥彦層	Yh	安山岩質岩類

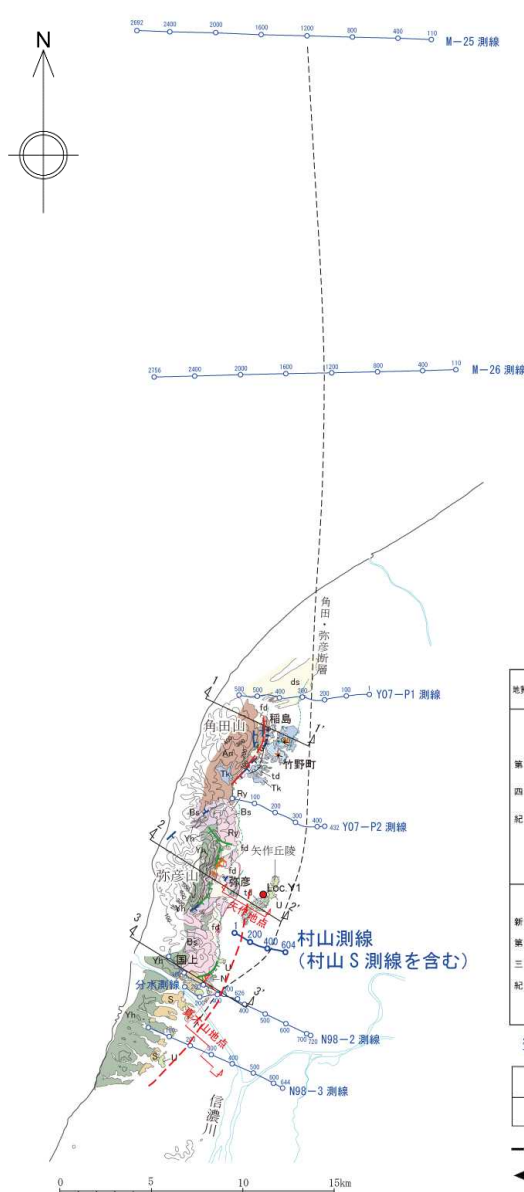
ランク	LA	LB	LC	LD
凡例	↘	↘	↘	↘

短線は低い側を、矢印の方向は傾斜方向を示す。
段丘面上の急傾斜部
矢印の方向は傾斜方向を示す。

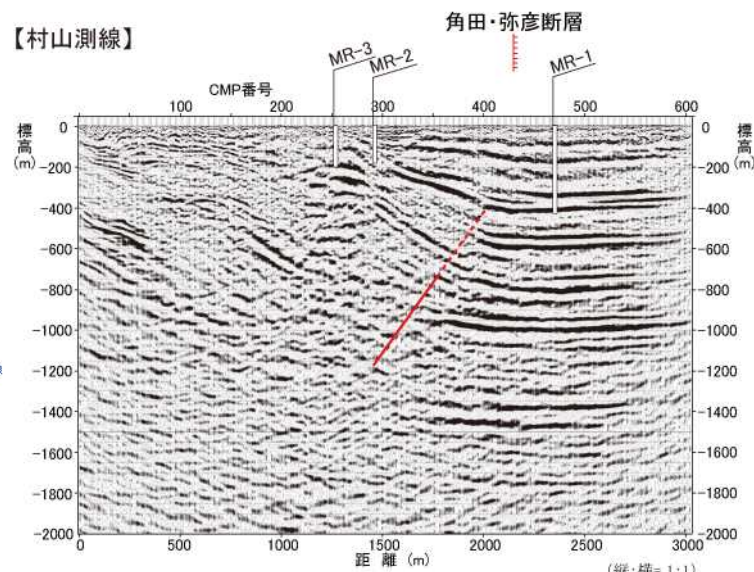
- Y07-P1測線及びY07-P2測線においては、西傾斜の逆断層が認められ、標高-400m程度以浅では撓曲変形となっているものと推定される。
- 断層面の傾斜は、低下側の反射面の不連続から40° ~65° 西傾斜と推定され、西山層上限面での鉛直変位量は3,000mに達しており、北方の海域への延長が示唆される。
- 両測線の西側の角田山東麓においては、空中写真判読によるリニアメント、地震調査委員会（2004）及び「第四紀逆断層アトラス」（2002）により角田山東縁断層が示されている位置に規模の大きい断層は認められない。

角田・弥彦断層周辺の地質図及び調査位置図

6.2.1 角田・弥彦断層 (反射法地震探査：リニアメント中央部付近)



角田・弥彦断層周辺の地質図及び調査位置図



村山測線の深度断面及びその解釈

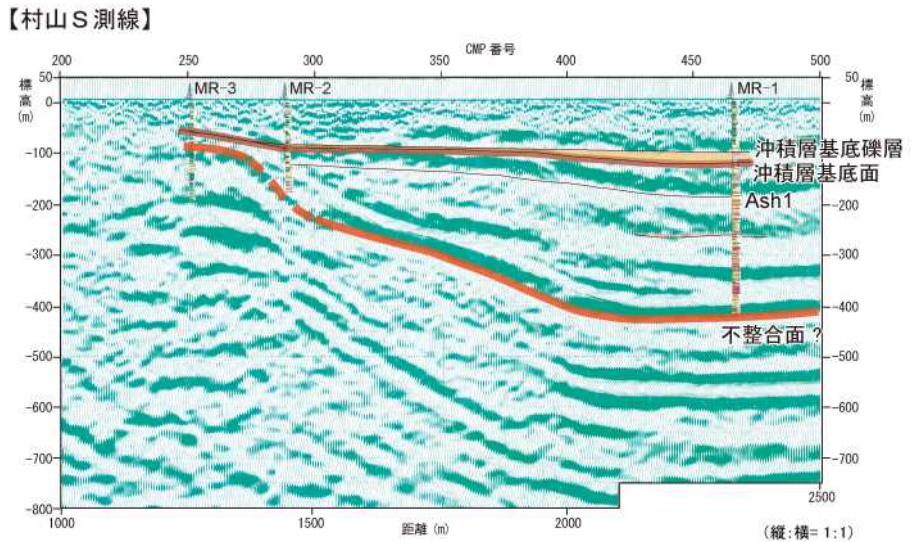
- 村山測線においては、断層面が55°程度西傾斜の逆断層が認められ、標高-400m程度以浅では撓曲変形となっているものと推定される。
- 村山S測線及びボーリング調査結果によると、沖積層及びその基底礫層は緩く東方に傾斜を示すものの、沖積層基底面に大きな断層変位は認められない。

凡例

地質時代	地質系	記号	地質系	記号	層相および説明
更新世	沖積層	a	砂・礫層	a	砂、礫、シルト
	扇状地堆積物及び堆積層	fd			砂、角礫、シルト
第四紀	段丘堆積物	td	砂・礫層 (新島段丘)	ds	砂
	段丘堆積物 (不整合)	td	段丘堆積物	td	砂、円礫
更新世	魚沼層	U	魚沼層	U	砂、礫、シルト
	灰川層	H	[不整合]		砂質シルト岩、砂岩
鮮新世	西山層	N	竹野町層	Tk	凝結-凝結礫岩互層
			角田山火山灰層	An	角田山火山灰-凝結礫岩互層
中新世	糠谷層	S	[不整合]		砂岩-砂岩礫岩互層
			糠谷層	S	凝結礫岩
第三紀	寺泊層	T	糠谷層	Ry	凝結礫岩
			寺泊層	Yn	黒色頁岩
白垩紀			寺泊層	Yn	安山岩質頁岩
			飯倉寺層	Yh	凝結礫岩
			Ry	凝結礫岩	

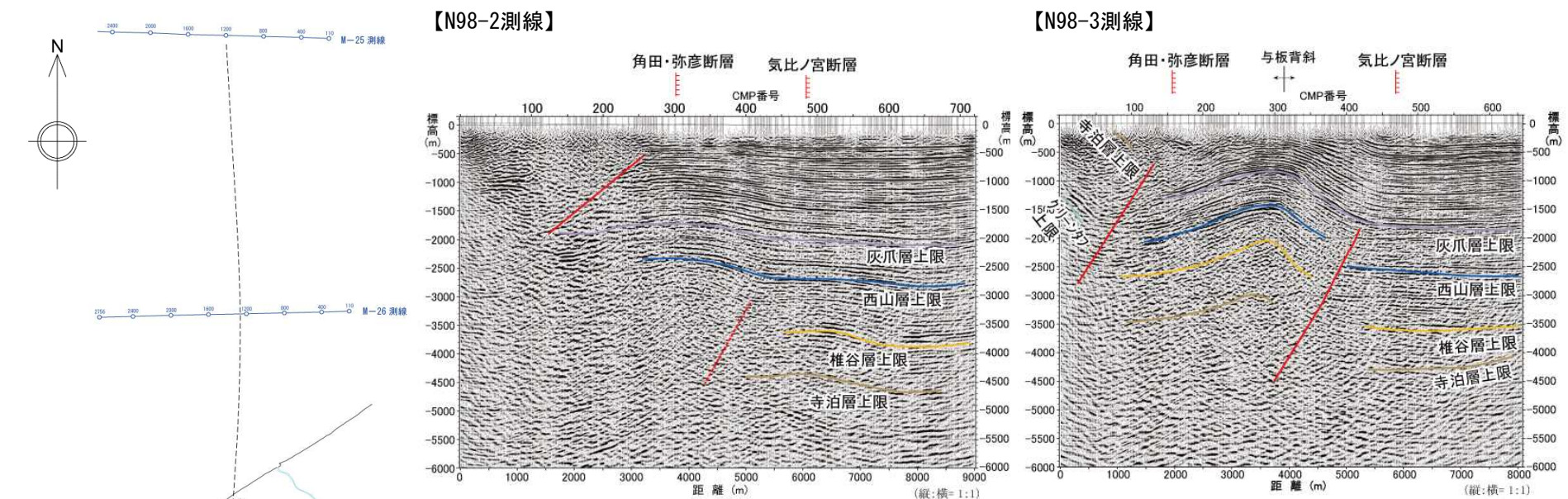
ランク	LA	LB	LC	LD
凡例	—	—	—	—

短線は低い側を、矢印の方向は傾斜方向を示す。
 段丘面上の急傾斜部
 矢印の方向は傾斜方向を示す。



村山S測線の深度断面及びその解釈

6.2.1 角田・弥彦断層（反射法地震探査：リニアメント南部付近）



この図は、平成10年度国内石油・天然ガス基礎調査陸上基礎物理解査「西山・中央油帯」の地震探査記録を基に、東京電力ホールディングス社が独自に再処理・解析し、作成したものです。

N98-2測線及びN98-3測線の深度断面及びその解釈



凡例

地質時代	地質系		層相および岩相		
完新世	沖積層	a	沖積層	a	砂、礫、シルト
	段丘堆積物 及凸状堆積物	fd	段丘堆積物 及凸状堆積物	fd	砂、角礫、シルト
	段丘堆積物 (新海砂層)	ds	段丘堆積物 (新海砂層)	ds	砂
	段丘堆積物 (不整合)	td	段丘堆積物 (不整合)	td	砂、円礫
第四紀	魚沼層	U	魚沼層	U	砂、礫、シルト
	灰爪層	H	灰爪層	H	砂質シルト岩、砂岩
中新世	西山層	N	西山層	N	泥質～泥岩質砂岩
	椎谷層	S	椎谷層	S	砂質～砂岩質砂岩
	寺泊層	T	寺泊層	T	黒色頁岩
第三紀	彌彦層	Yh	彌彦層	Yh	玄武岩質岩類
	新寺泊層	Yh	新寺泊層	Yh	凝灰質岩
	新彌彦層	Yh	新彌彦層	Yh	凝灰質～石英 質砂岩質岩類

ランク	LA	Lb	Lc	Ld
凡例				

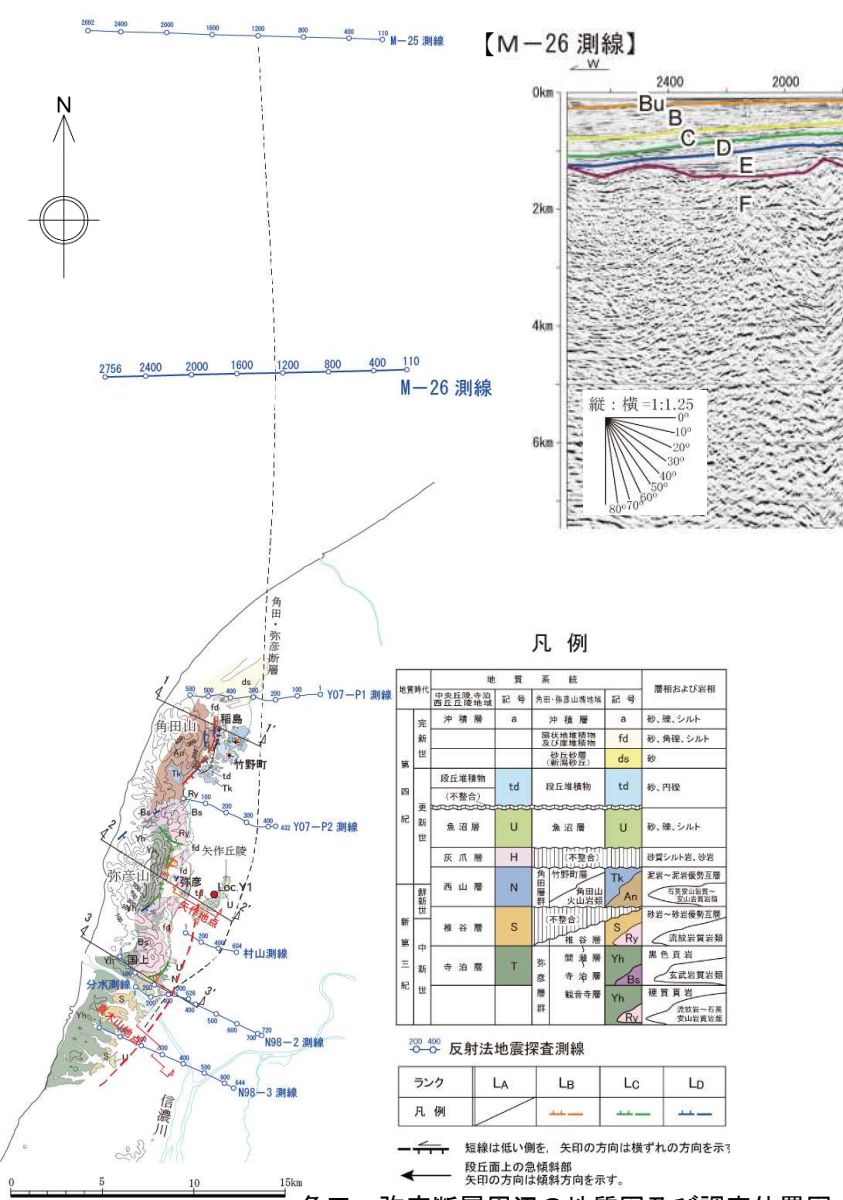
短線は低い側を、矢印の方向は横ずれの方向を示す。
 段丘面上の急傾斜部
 矢印の方向は傾斜方向を示す。

■ 角田・弥彦断層は、南部では気比ノ宮断層が想定される与板背斜東翼には連続せず、寺泊背斜東翼に連続している。

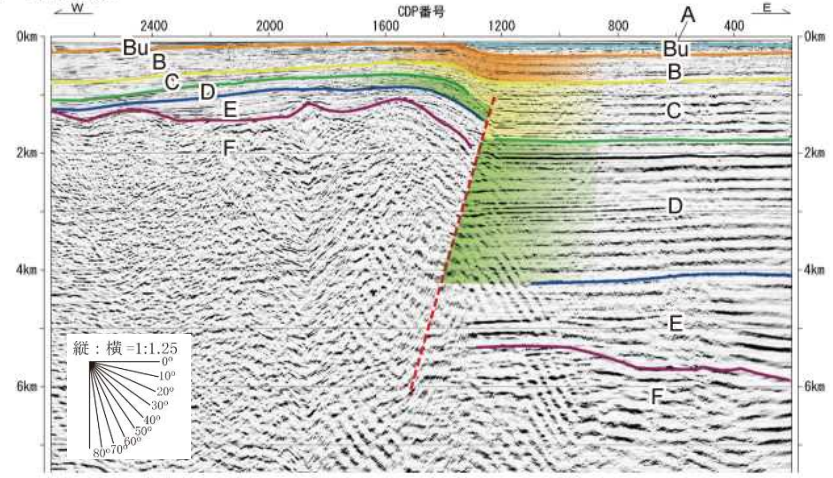
角田・弥彦断層周辺の地質図及び調査位置図



6.2.1 角田・弥彦断層（断層北端:M-26測線）



【M-26 測線】



M-26測線の深度断面及びその解釈

凡例

地質時代	地質系	記号	層相および岩相
完新世	沖積層	a	砂、シルト
	扇状地堆積物及び崖堆積物	fd	砂、角礫、シルト
第四紀	段丘堆積物	td	砂、円礫
	魚沼層	U	砂、礫、シルト
更新世	灰爪層	H	砂質シルト岩、砂岩
	西山層	N	泥岩～泥岩優勢互層
鮮新世	椎谷層	S	砂岩～砂岩優勢互層
	寺泊層	T	黒色頁岩
中新世	岩倉層	Yh	玄武岩質岩類
	城寺層	Yc	凝灰岩
第三紀	岩倉層	Yh	凝灰岩
	城寺層	Yc	凝灰岩

短線は低い側を、矢印の方向は横ずれの方向を示す
 段丘面上の急傾斜部
 矢印の方向は傾斜方向を示す。

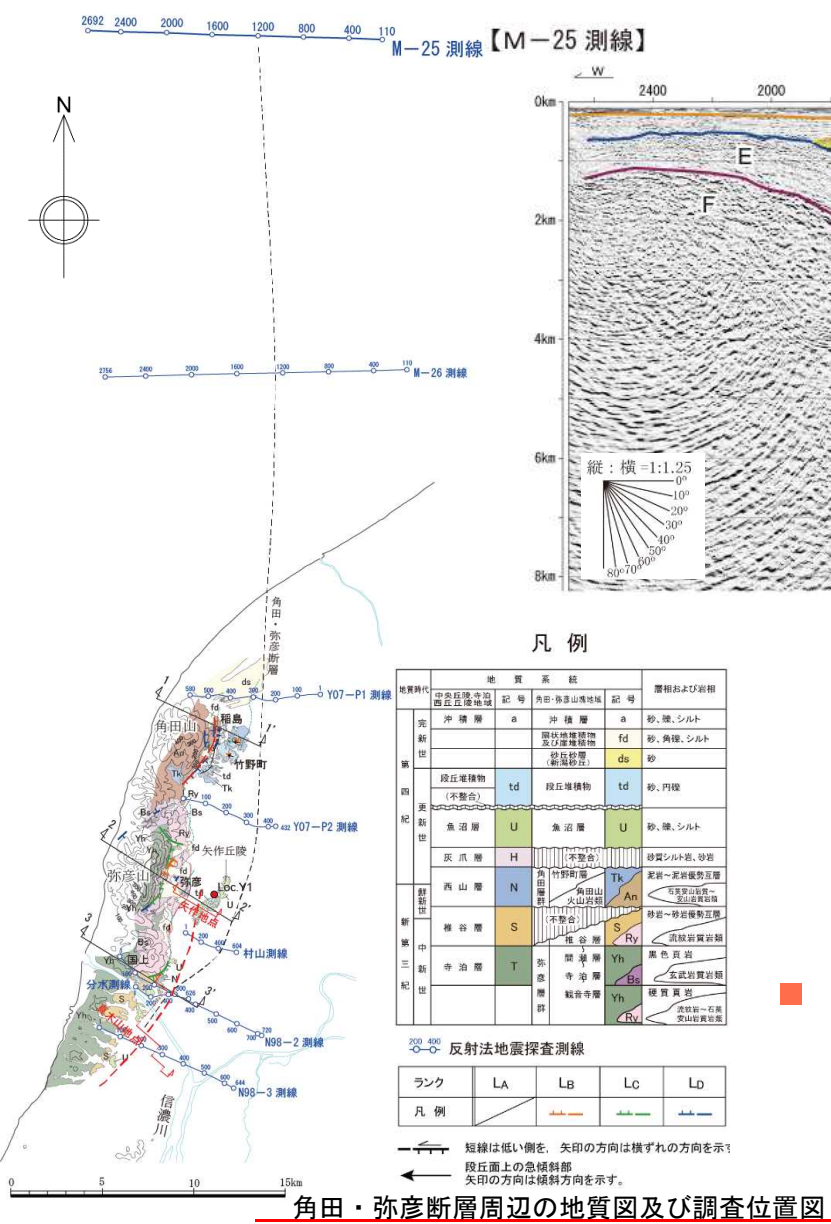
敷地周辺の地質層序

時代	敷地周辺陸域	敷地周辺海域		
第四紀	完新世	沖積層・新期砂層	A層	
	後期	番神砂層	L ₁ 面堆積物	Bu層
		大湊砂層	L ₁ 面堆積物	
	中期	安田層	M ₁ 面堆積物	B層
		古安田層	M ₂ 面堆積物	
	前期	久米層・大坪層	M ₃ 面堆積物	C層
魚沼層		H面群堆積物		
第三紀	灰爪層	D層		
	※1			
	西山層	E層		
	椎谷層			
寺泊層	F層			
七谷層				
グリーンタフ ※2				
先新第三紀	基盤岩類			

※1 米山火山岩類（安山岩質火山噴出岩類）
 ※2 天然ガス鉱業界ほか編（1992）による

■ 北方海域のM-26測線においては、C層中部以下の地層に西傾斜の逆断層が認められ、Bu層までgrowth strataが認められ、A層まで変形が認められる。

6.2.1 角田・弥彦断層（断層北端:M-25測線）



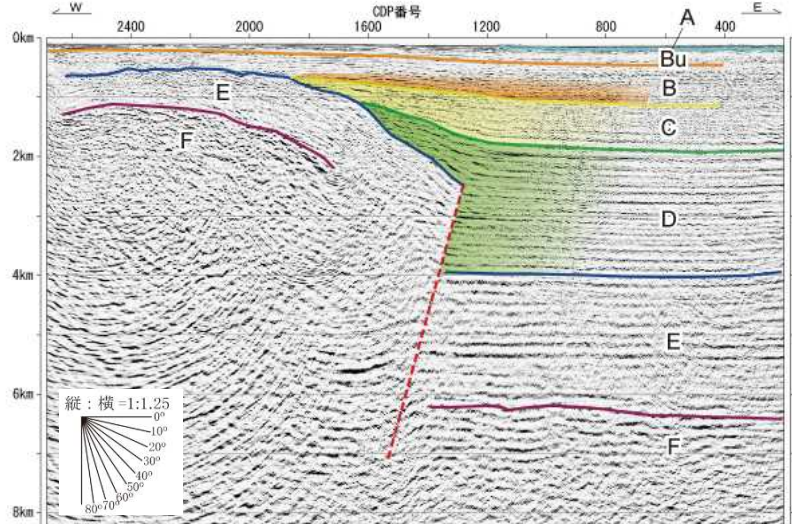
凡例

地質時代	地質系統		層相および岩相
記号	記号	記号	
完新世	a	a	砂、シルト
	fd	fd	砂、角礫、シルト
第四紀	td	td	砂、円礫
	U	U	砂、シルト
更新世	H	H	砂質シルト岩、砂岩
	N	N	泥岩-泥岩優勢互層
鮮新世	S	S	砂岩-砂岩優勢互層
	T	T	黒色頁岩
第三紀	Yh	Yh	安山岩質岩類
	Ry	Ry	凝灰岩質岩類

ランク	LA	LB	LC	LD
凡例	短縮線	短縮線	短縮線	短縮線

短縮線は低い側を、矢印の方向は横ずれの方向を示す
 段丘面上の急傾斜部
 矢印の方向は傾斜方向を示す。

M-25測線の深度断面及びその解釈



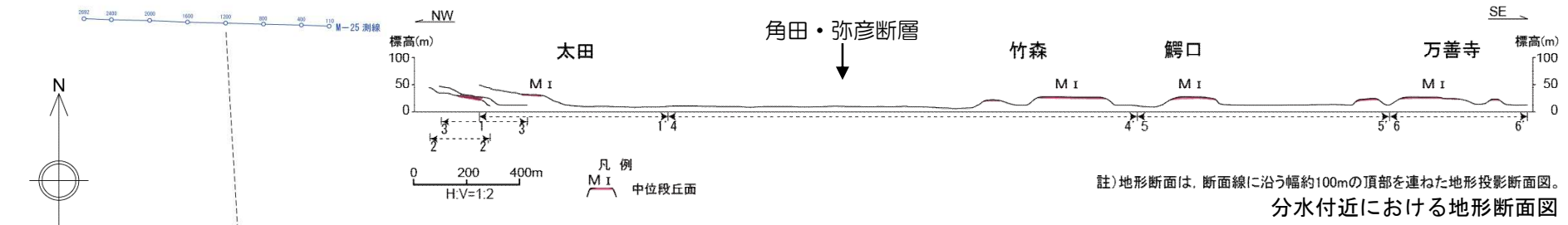
敷地周辺の地質層序

時代	敷地周辺陸域	敷地周辺海域	
第四紀	完新世	沖積層・新期砂層	A層
	後期	番神砂層	L _u 面堆積物
		大湊砂層	L _i 面堆積物
	中期	安田層	M _u 面堆積物
古安田層		M _i 面堆積物	
前期	青海川層	H面群堆積物	
	久米層・大坪層		
	魚沼層		
鮮新世	灰爪層		
	※1		
第三紀	西山層	D層	
	椎谷層		
	寺泊層	E層	
	七谷層		
先新第三紀	グリーンタフ ※2		
	基盤岩類	F層	

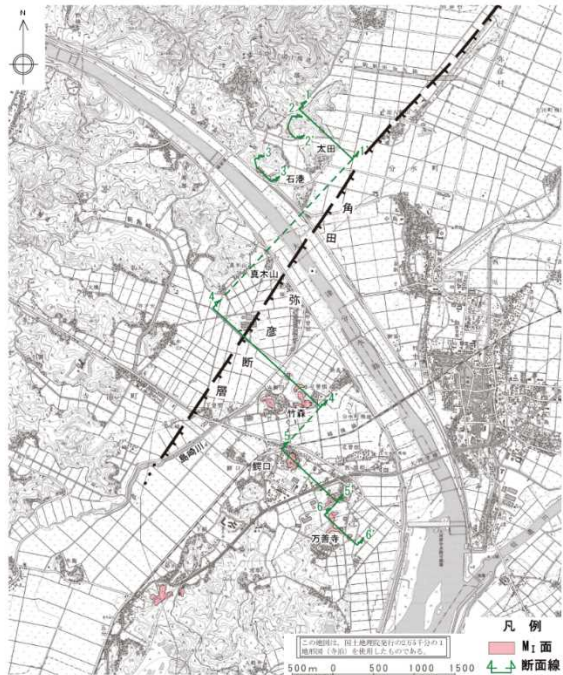
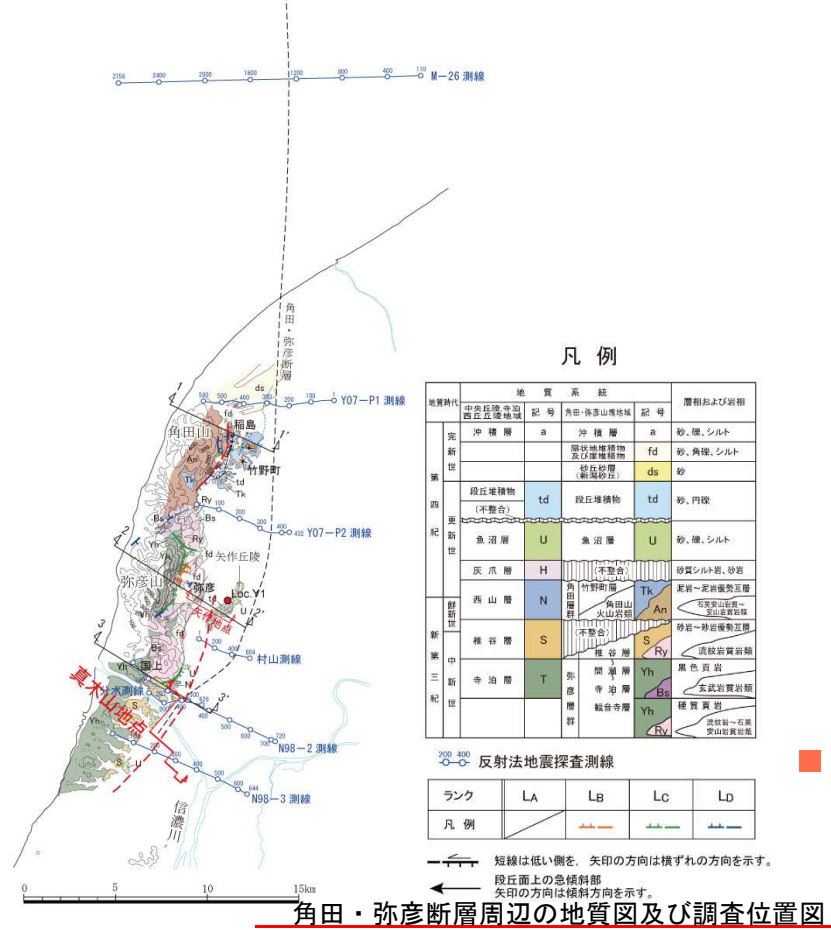
※1 米山火山岩類（安山岩質火山噴出岩類）
 ※2 天然ガス鉱業界ほか編（1992）による

■ M-25測線においては、D層中部以下の地層に西傾斜の逆断層が認められ、D層上部及びC層にも撓曲変形及びgrowth strataが認められるものの、B層上部以上の地層に変位・変形は認められないことから、同測線位置を当該断層の北端とする。

6.2.1 角田・弥彦断層（断層南端）



註) 地形断面は、断面線に沿う幅約100mの頂部を連ねた地形投影断面図。
分水付近における地形断面図



分水付近におけるM₁面の分布

■ 燕市真木山付近以南では、角田・弥彦断層の西側隆起側に位置する太田付近、石港付近等に分布するM₁面が当断層の東低下側のM₁面とほぼ同一の高度を示していることから、同市真木山付近を当該断層の南端とする。

6.2.1 角田・弥彦断層（評価）

【活動性】

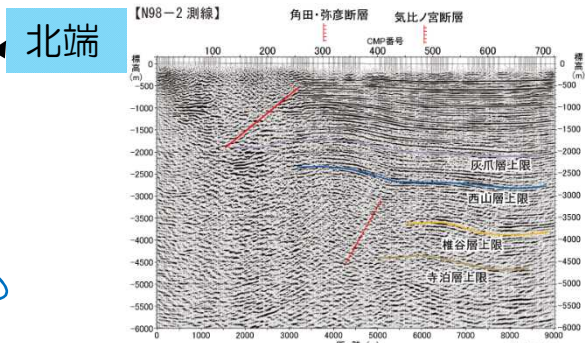
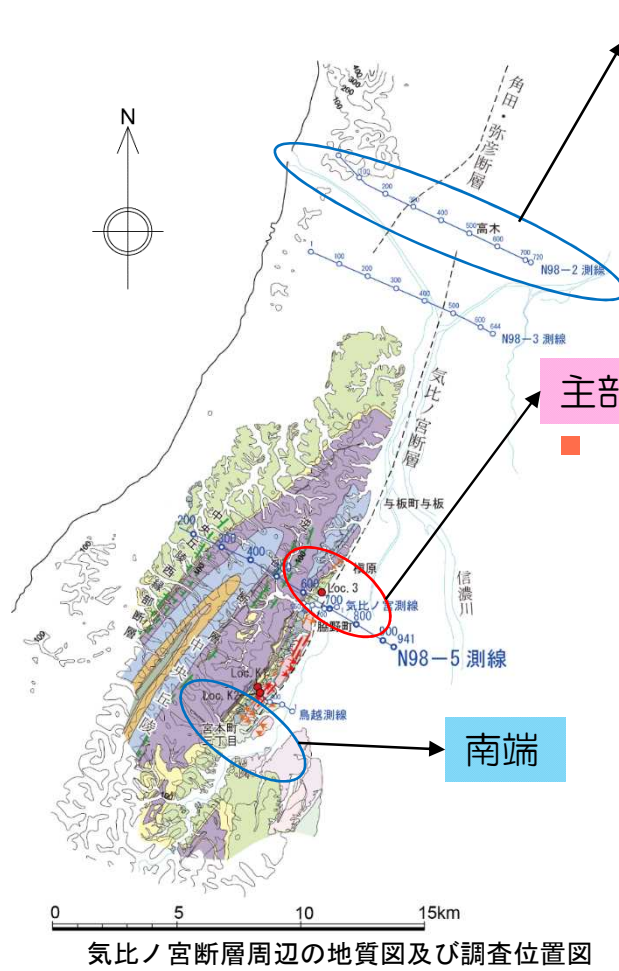
- 角田・弥彦断層は、その全線において、沖積層分布域に伏在しており、西山層上限面の鉛直変位量が3,000mに達する西傾斜の逆断層である。
- 「第四紀逆断層アトラス」（2002）、「活断層詳細デジタルマップ」（2002）などでは、角田・弥彦山塊東麓に角田山東縁断層が示されているが、当該位置に連続性のある規模の大きな断層は存在しない。
- 空中写真判読結果によると、角田山東麓の断層上盤側の竹野町付近において、 M_1 面に西方への傾動が認められることなどから、後期更新世以降における活動が認められる。

【活動性を考慮する長さ】

- 角田・弥彦断層の南方への連続性については、地表地質調査、反射法地震探査の結果等によると、気比ノ宮断層が想定される与板背斜東翼には連続せず、大河津分水を横断して寺泊背斜東翼に連続しているものと判断される。
- また、燕市真木山付近以南には、 M_1 面が小規模であるものの、比較的広い範囲に分布しており、角田・弥彦断層の西隆起側に位置する分水町太田付近、同町石港付近等と、角田・弥彦断層の東沈降側の中央丘陵北端部等とでほぼ同一高度を示している。
- 角田・弥彦断層の北方への連続性については、新潟市沖で実施した海上音波探査の結果によると、M-25測線においてBu層以上の地層に変位・変形が認められない。
- 以上のことから、角田・弥彦断層の長さを新潟市沖のM-25測線から寺泊町真木山付近に至る間の約54kmと評価する。

1.	文献調査	• • •	4
2.	敷地周辺陸域の地形	• • •	7
3.	敷地周辺陸域の地質	• • •	9
4.	敷地周辺陸域の変動地形	• • •	11
5.	敷地周辺陸域の地質構造	• • •	14
6.	断層の評価		
6.1	概要	• • •	18
6.2	活断層の評価	• • •	20
6.2.1	角田・弥彦断層	• • •	20
6.2.2	気比ノ宮断層	• • •	36
6.2.3	上富岡断層・親沢断層・片貝断層	• • •	52
6.3	副次的な構造に関する評価	• • •	81
6.3.1	中央丘陵西縁部断層	• • •	83
6.3.2	渋海川向斜部のリニアメント	• • •	98
6.4	その他のリニアメント・断層に関する評価	• • •	103
7.	断層の連動可能性評価		
7.1	長岡平野西縁断層帯	• • •	176
7.2	長岡平野西縁断層帯と十日町断層帯西部	• • •	183

6.2.2 気比ノ宮断層（評価の概要）



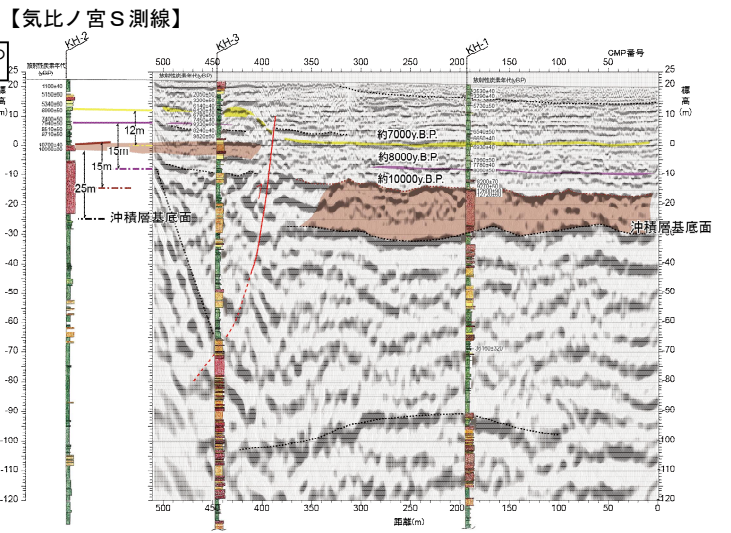
この図は、平成10年度国内石油・天然ガス基礎調査陸上基礎物理探査「西山・中央油帯」の地震探査記録を基に、東京電力ホールディングス株式が独自に再処理・解析し、作成したものです。

N98-2測線の深度断面及びその解釈

■ S波探査結果及びボーリング調査結果によると、地表付近まで断層が推定され、沖積層に不連続が認められ、約8,000年前～約7,000年前に断層活動があった可能性があり、同活動による鉛直変位量は約3mと推定される。



■ N98-2測線（燕市高木）においては、標高-1,000m付近以深に緩い撓曲変形が認められるものの、標高-1,000m付近以浅には明瞭な変位・変形は認められない。



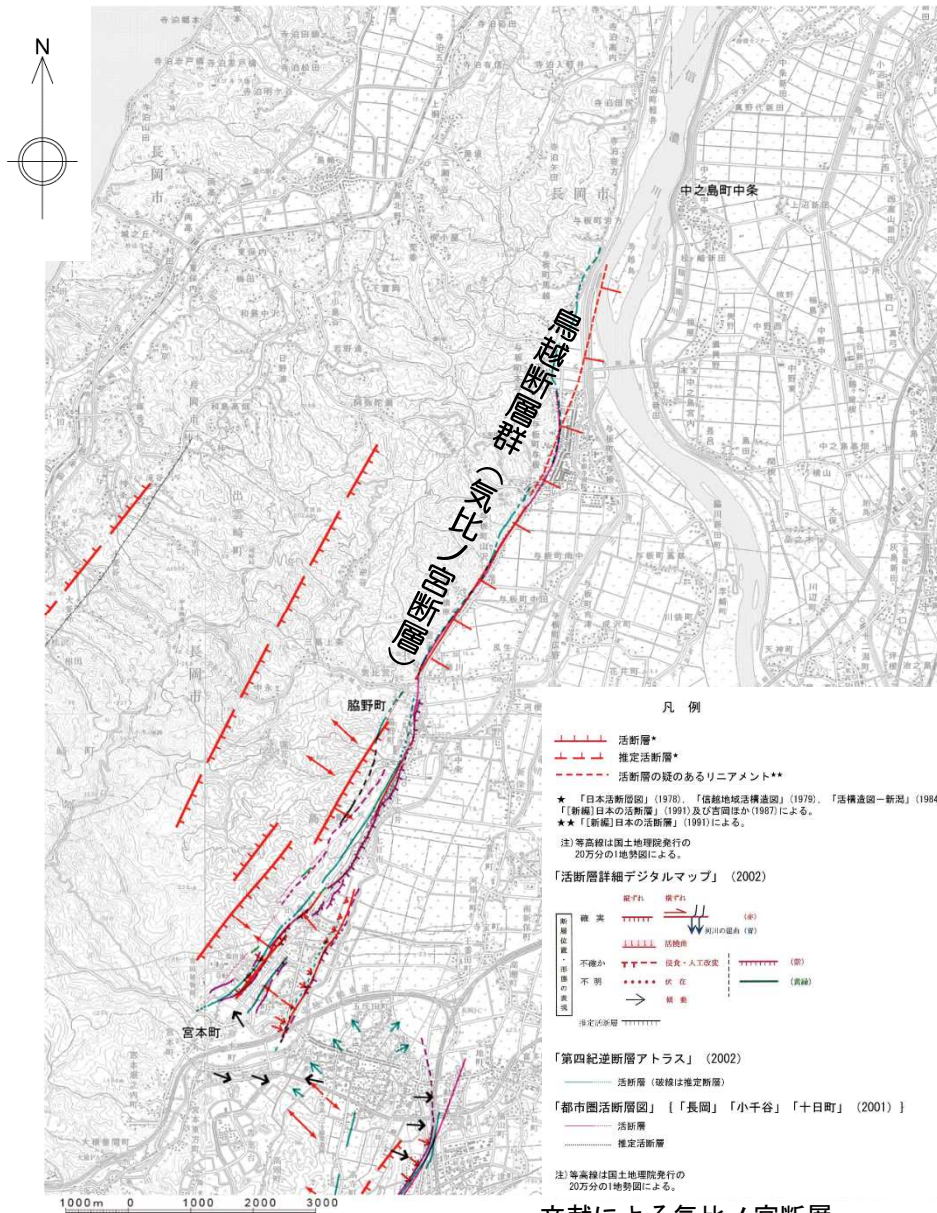
気比ノ宮S測線の深度断面及びその解釈

■ 宮本町三丁目以南に分布するM_{II}面及びL_I面にリニアメントは判読されない。

【評価】

■ 気比ノ宮断層は、後期更新世以降における活動が認められることから活動性を考慮し、その長さを燕市高木付近から長岡市宮本町三丁目付近に至る間の約22kmと評価する。

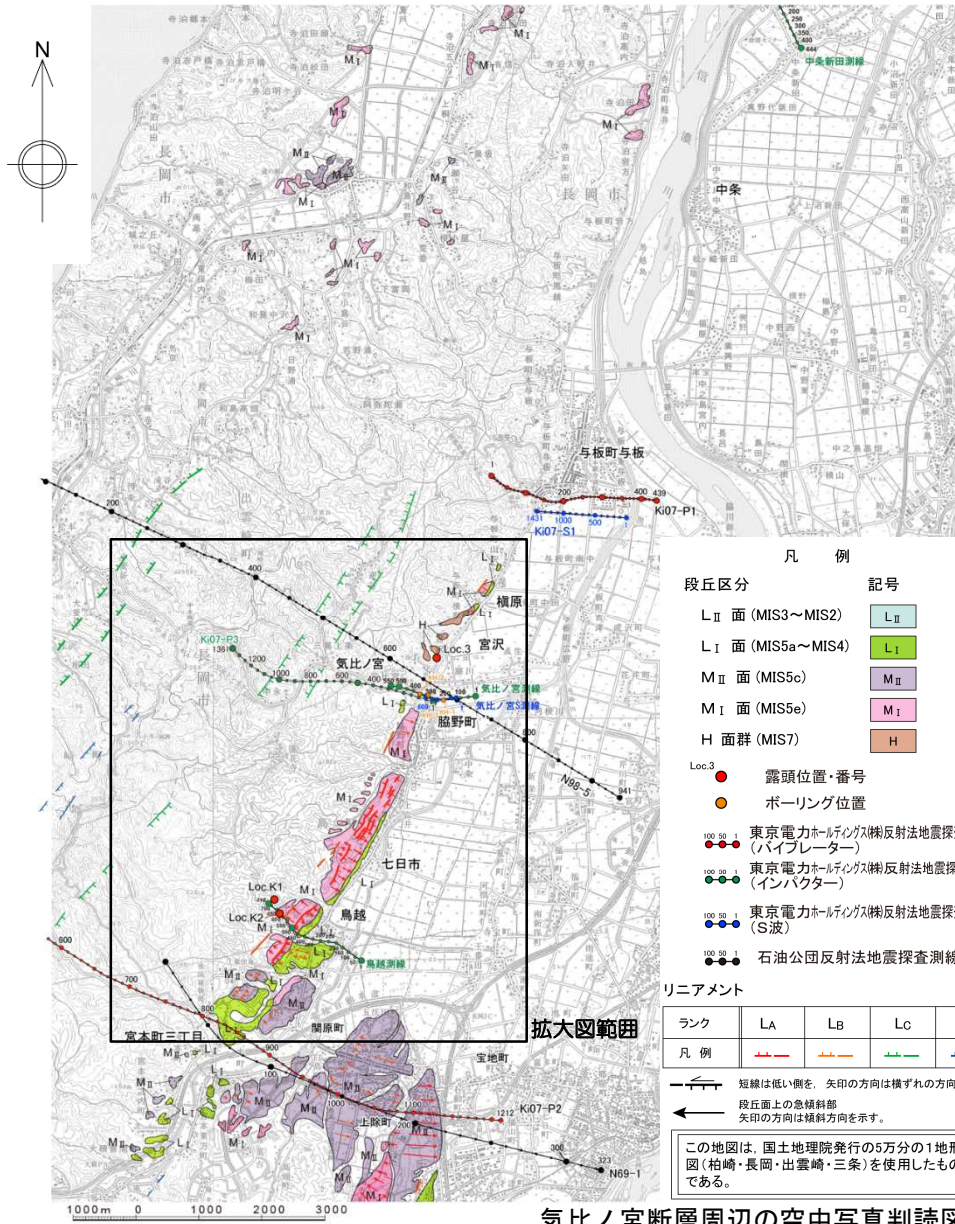
6.2.2 気比ノ宮断層（文献調査結果）



文献による気比ノ宮断層

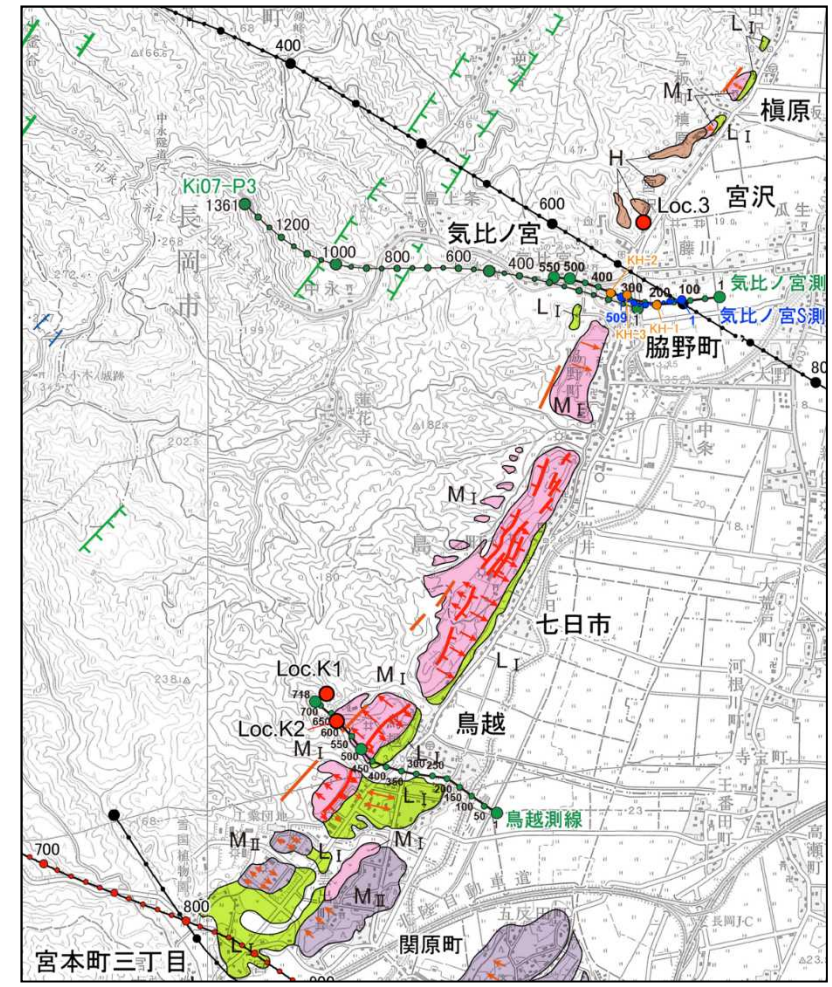
- 「日本の活断層」(1980)及び「[新編]日本の活断層」(1991)は、脇野町から宮本町三丁目に至る5km間にNNE-SSW方向の「活断層であることが確実なもの(確実度I)」, 活動度A級の活断層を示し, 鳥越断層群と呼んでいる。
- 「信越地域活構造図」(1979)も上記とほぼ同位置に活断層を示すものの, 活動度をB級としている。
- 「活構造図-新潟」(1984), 「活断層詳細デジタルマップ」(2002), 「第四紀逆断層アトラス」(2002)等では, 中之島町中条付近から宮本町三丁目に至る間に, 主として西傾斜の活断層あるいは推定活断層が示されている。
- 渡辺ほか(2000), (2001)は, 鳥越断層群に関して, 最新活動時期が12~13世紀以降であること, その活動に伴う鉛直変位量が約2mであること, 最近7,000~7,500年間の累積変位量が約11mであること等を明らかにしている。
- 地震調査委員会(2004)は, 渡辺ほか(2000), (2001)による最新活動に伴う鉛直変位量は約2mを上回っていた可能性もあるとしている。
- 「活断層データベース」(2013)は, 本断層を長岡平野西縁断層帯の鳥越活動セグメントとし, 長さ20km, 平均変位速度を3.1m/千年等としている。

6.2.2 気比ノ宮断層 (空中写真判読図)



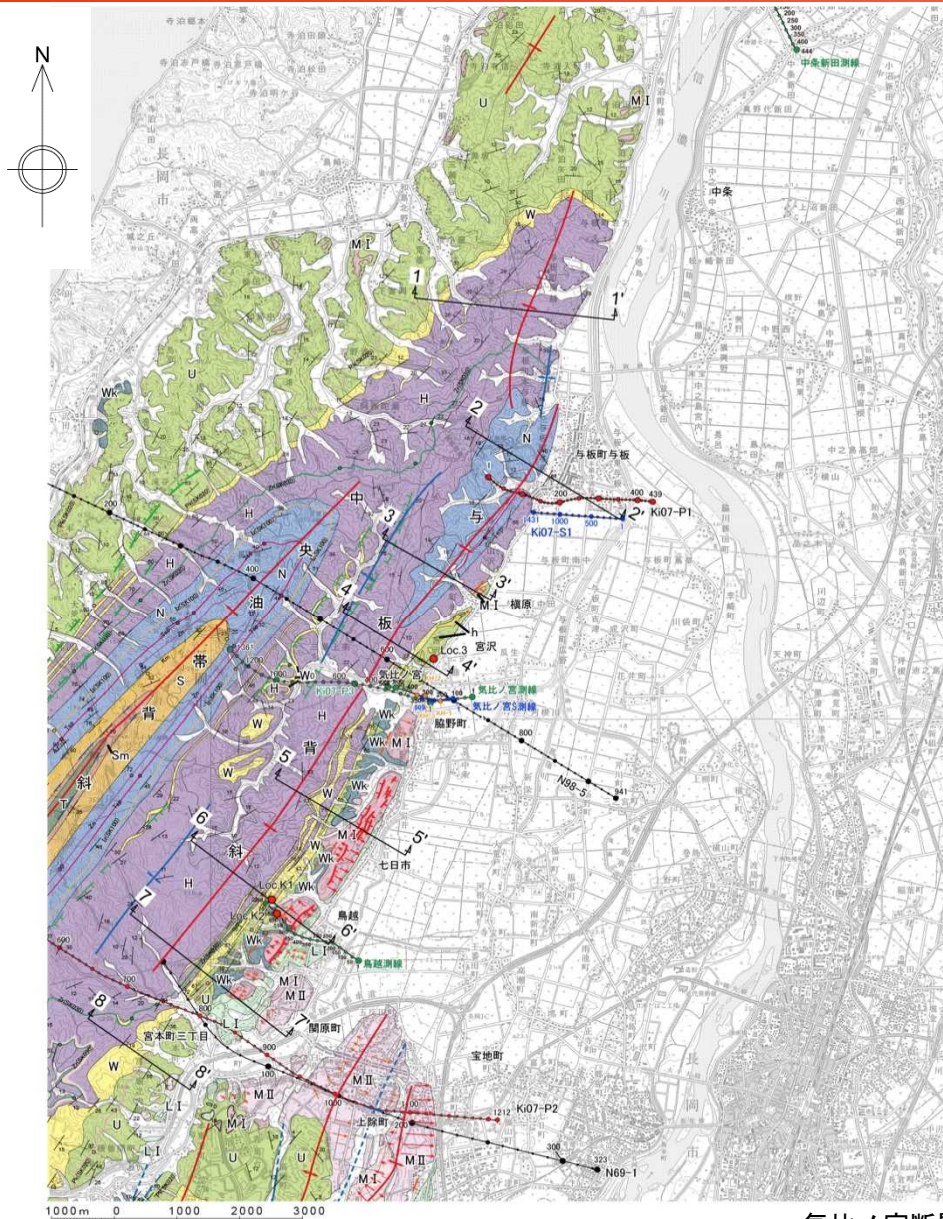
気比ノ宮断層周辺の空中写真判読図

■ 榎原から宮本町三丁目に至る約8km間において、NNE-SSW方向に並走する数本のリニアメントが判読される。



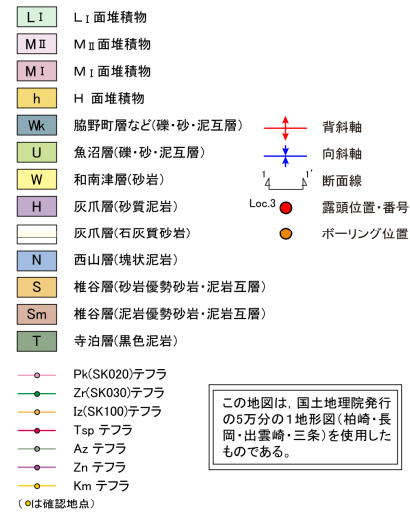
榎原～宮本町付近拡大図

6.2.2 気比ノ宮断層（地質図）



- 気比ノ宮断層が示されている中央丘陵東縁部には、下位より西山層，灰爪層，魚沼層，脇野町層及び段丘堆積物が分布する。
- 中央丘陵東縁に沿って，与板背斜がNNE-SSW方向に連続する。

凡例



この地図は、国土地理院発行の5万分の1地形図(柏崎・長岡・出雲崎・三条)を使用したものである。

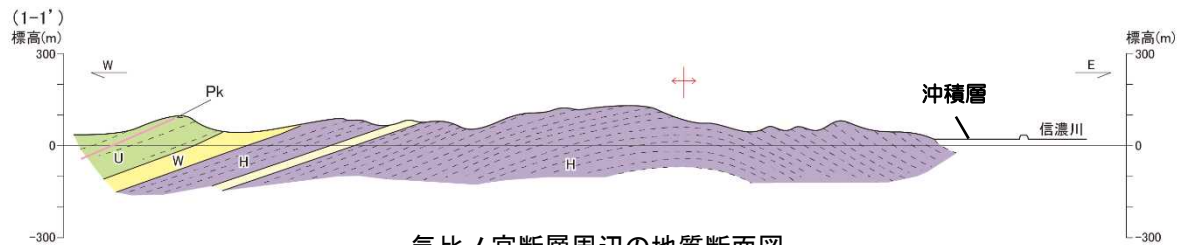
リニアメント

ランク	LA	Lb	Lc	Ld
凡例				

- 短線は低い側を、矢印の方向は横ずれの方向を示す。
- 段丘面上の急傾斜部
矢印の方向は傾斜方向を示す。
- 東京電力ホールディングス株式会社 反射法地震探査測線(バイブレーター)
- 東京電力ホールディングス株式会社 反射法地震探査測線(インパクト)
- 東京電力ホールディングス株式会社 反射法地震探査測線(S波)
- 石油公団反射法地震探査測線
- 石油公団測線

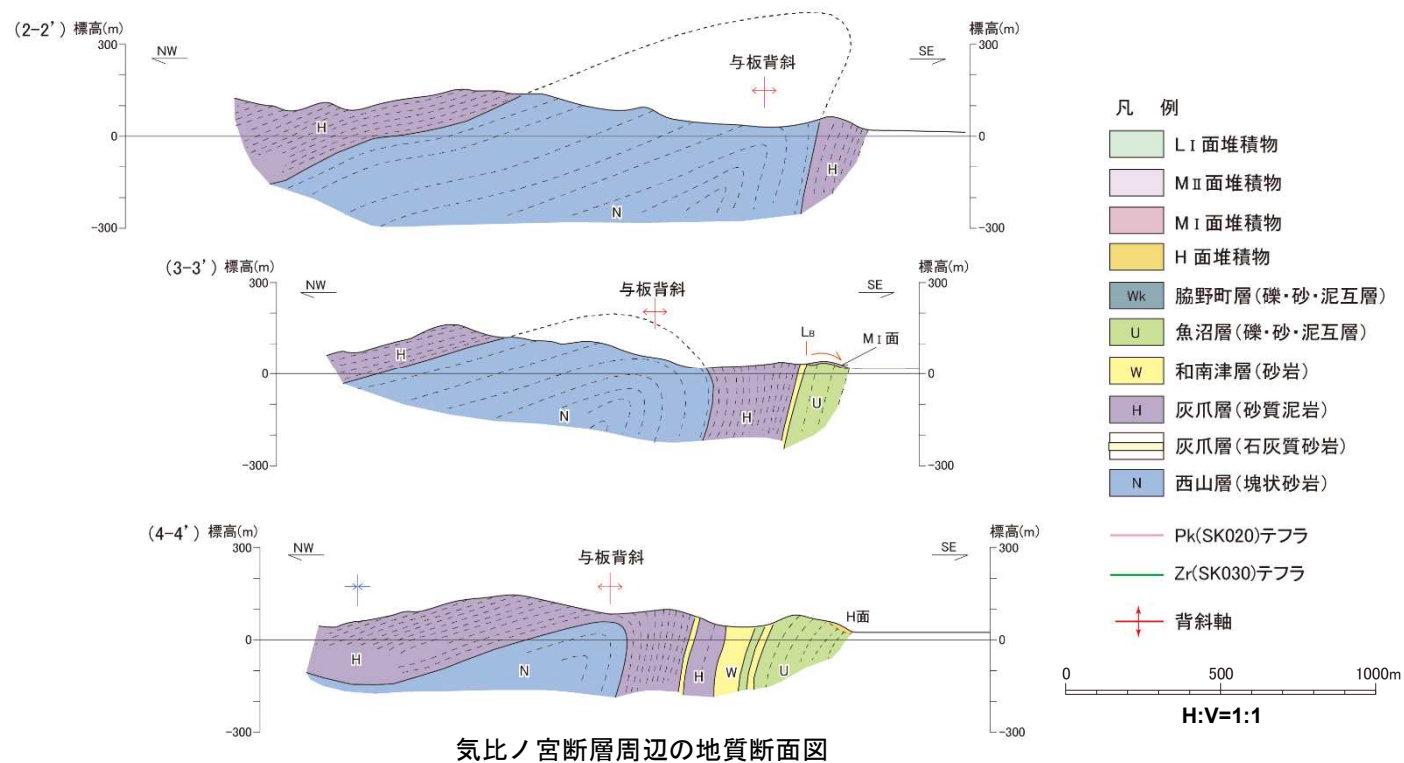
気比ノ宮断層周辺の地質図

6.2.2 気比ノ宮断層（地質断面図：北部）



気比ノ宮断層周辺の地質断面図

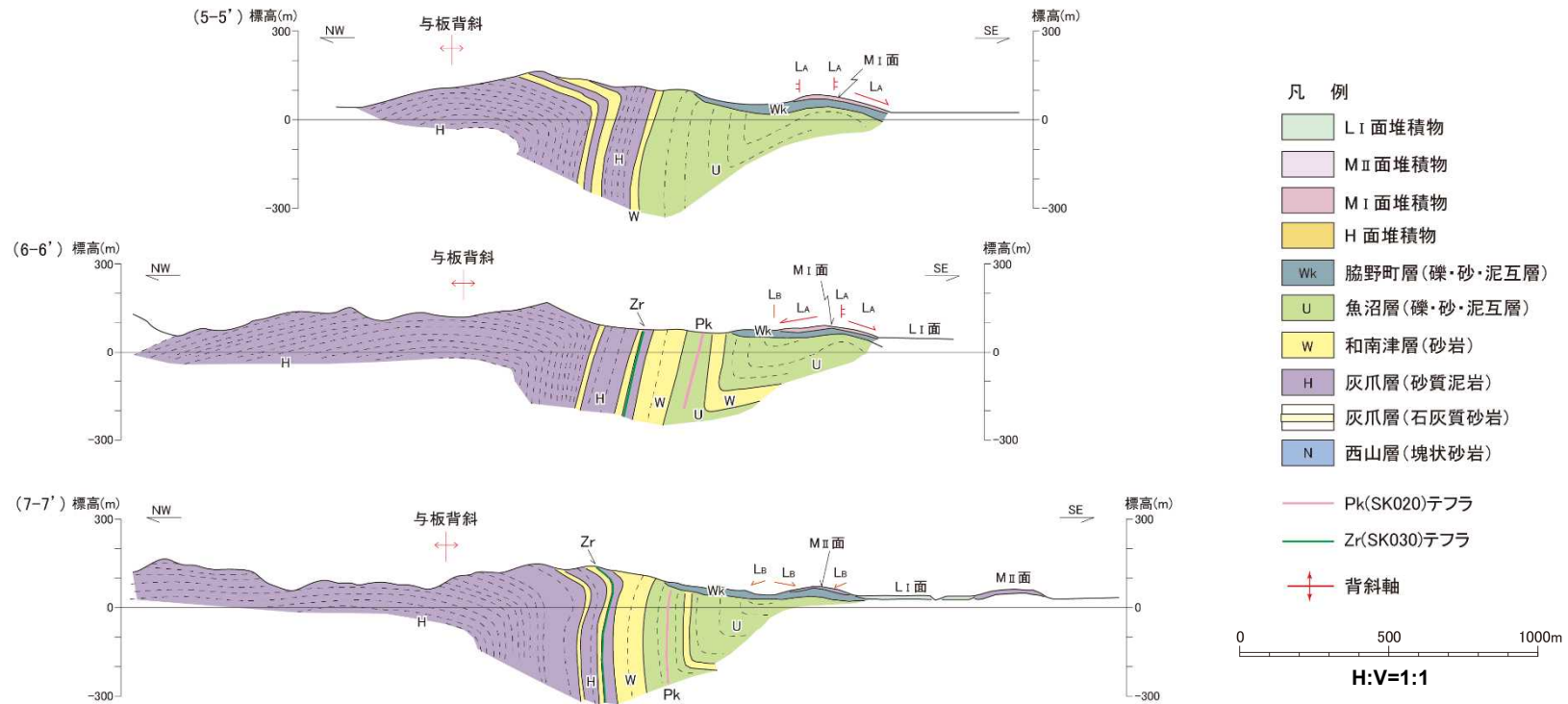
- 与板以北においては、沖積層が分布するため、地表踏査では過褶曲構造の連続は不明である。



気比ノ宮断層周辺の地質断面図

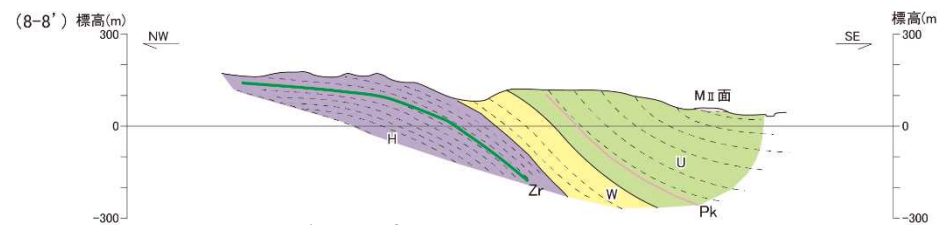
- 与板背斜東翼では、西山層、灰爪層及び魚沼層が東急傾斜ないし逆転して西急傾斜を示し、過褶曲を示す褶曲構造を形成している。

6.2.2 気比ノ宮断層（地質断面図：南部）



気比ノ宮断層周辺の地質断面図

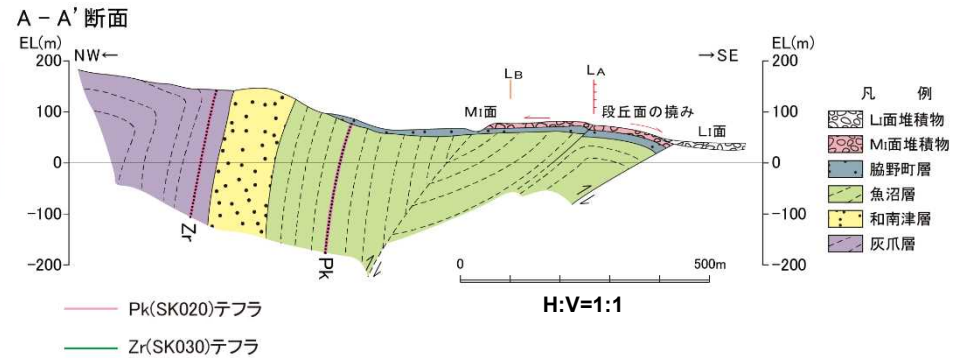
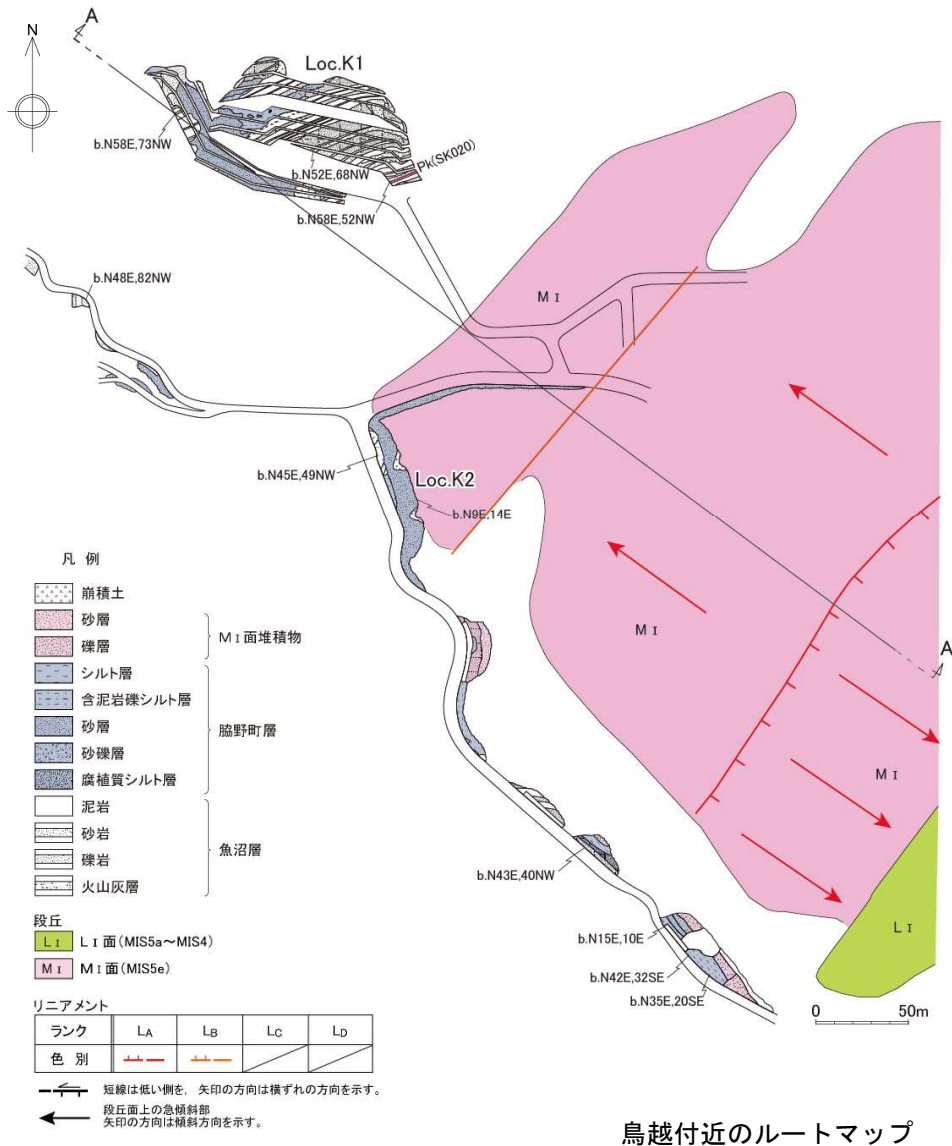
- 与板背斜東翼では、西山層、灰爪層及び魚沼層が東急傾斜ないし逆転して西急傾斜を示し、過褶曲を示す褶曲構造を形成している。同構造は与板から宮本町三丁目に至る約10km間に認められる。



気比ノ宮断層周辺の地質断面図

- 宮本町三丁目以南には魚沼層が分布するが、緩やかな褶曲構造を示し、地表踏査では過褶曲構造や断層は認められない。

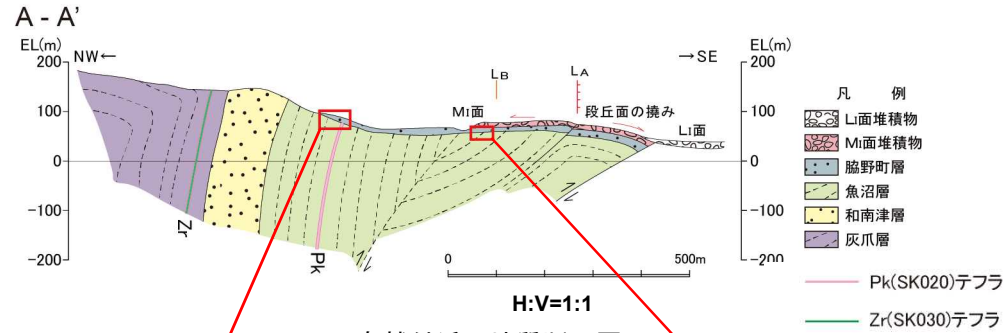
6.2.2 気比ノ宮断層（鳥越付近のルートマップ）



鳥越付近の地質断面図

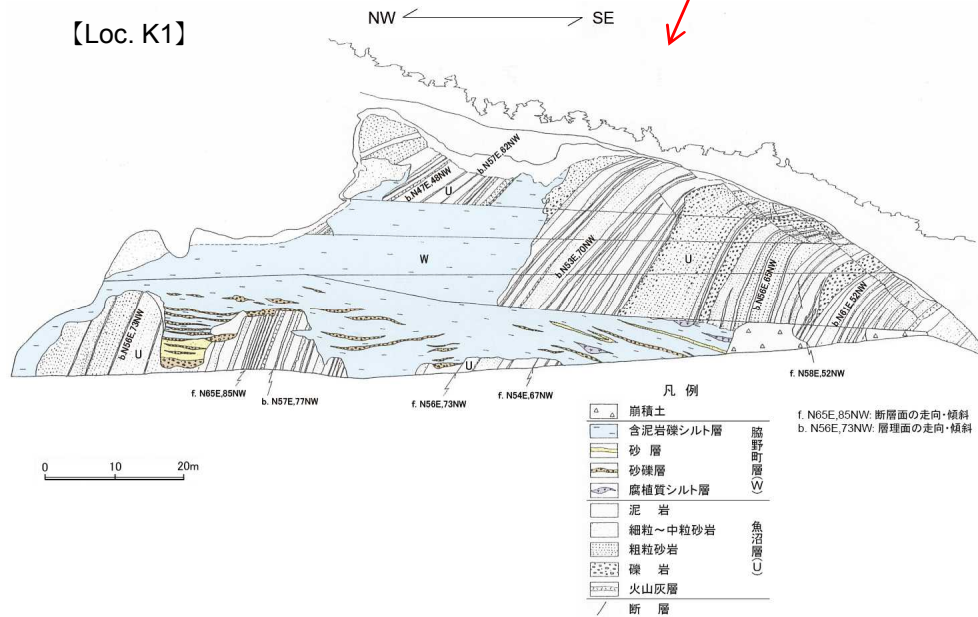
- 脇野町から宮本町三丁目に至る間においては、例えば鳥越付近において、魚沼層以下の地層にみられる過褶曲を示す褶曲構造は、脇野町層に不整合に覆われるものの、その東側を並走する幅の狭い背斜構造が魚沼層に認められる。
- この背斜構造を被覆して分布する脇野町層、M_I面は、背斜構造と調和的に長ドーム状に変形しており、その東縁において段丘堆積物の層理面は20°~30°東傾斜を示す。
- 長ドーム状を呈するM_I面の東翼における撓曲量は最大で鉛直60m程度である。

6.2.2 気比ノ宮断層（鳥越付近の露頭スケッチ）



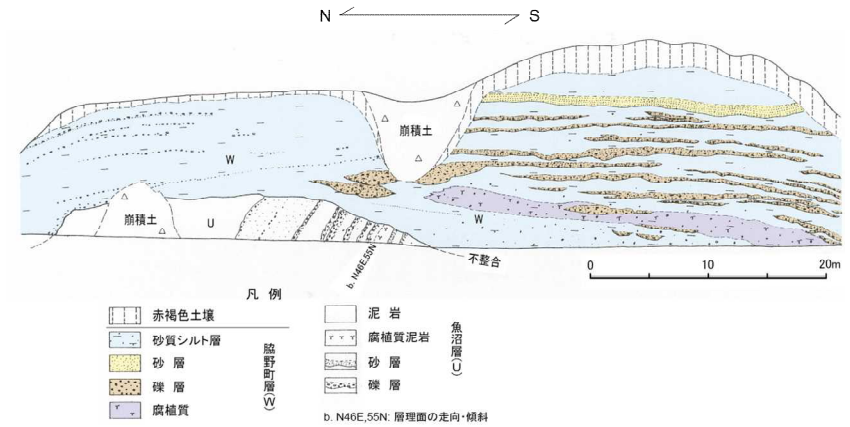
鳥越付近の地質断面図

【Loc. K1】



露頭スケッチ (Loc. K1, 鳥越)

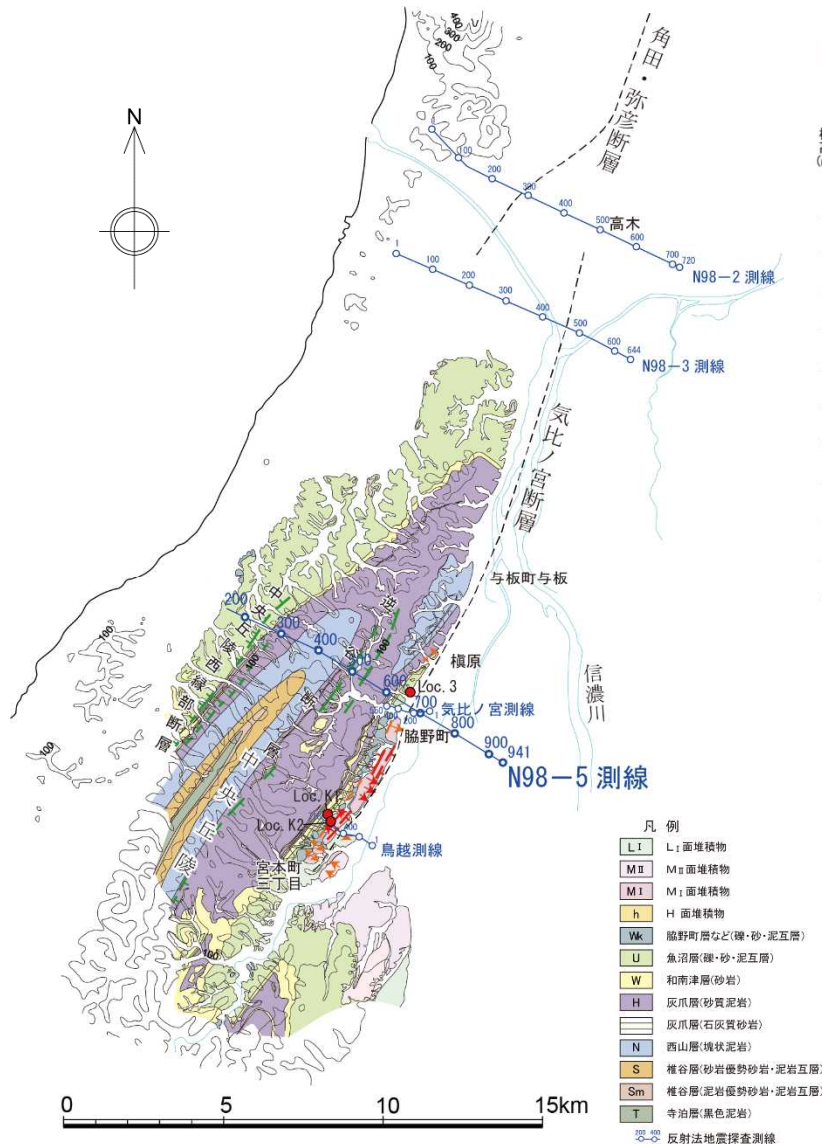
【Loc. K2】



露頭スケッチ (Loc. K2, 鳥越)

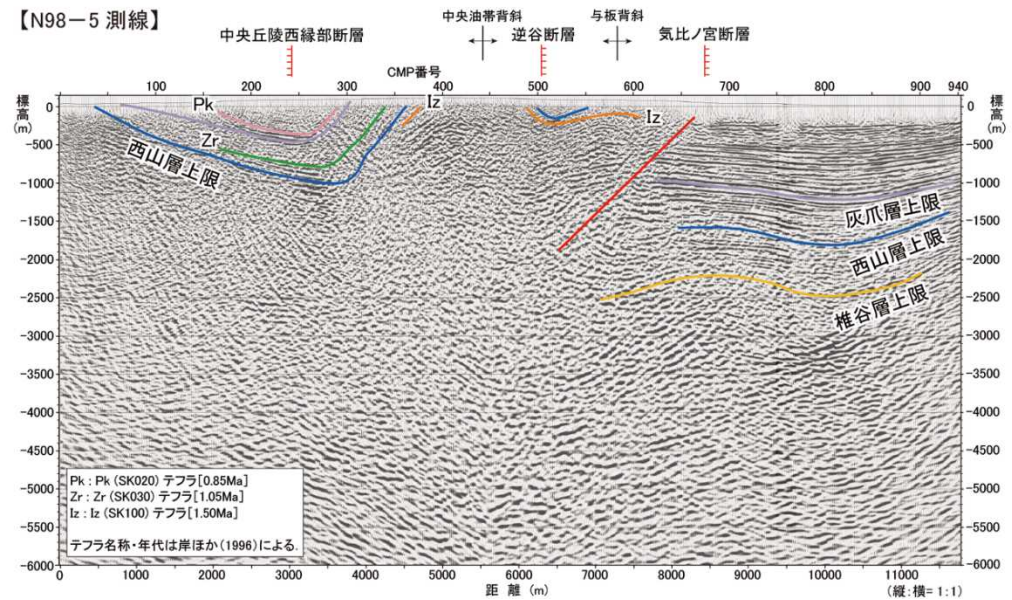
- 魚沼層以下の地層にみられる過褶曲を示す褶曲構造は、脇野町層に不整合に覆われる。

6.2.2 気比ノ宮断層（反射法地震探査：断層主部 N98-5測線）



気比ノ宮断層周辺の地質図及び調査位置図

【N98-5 測線】

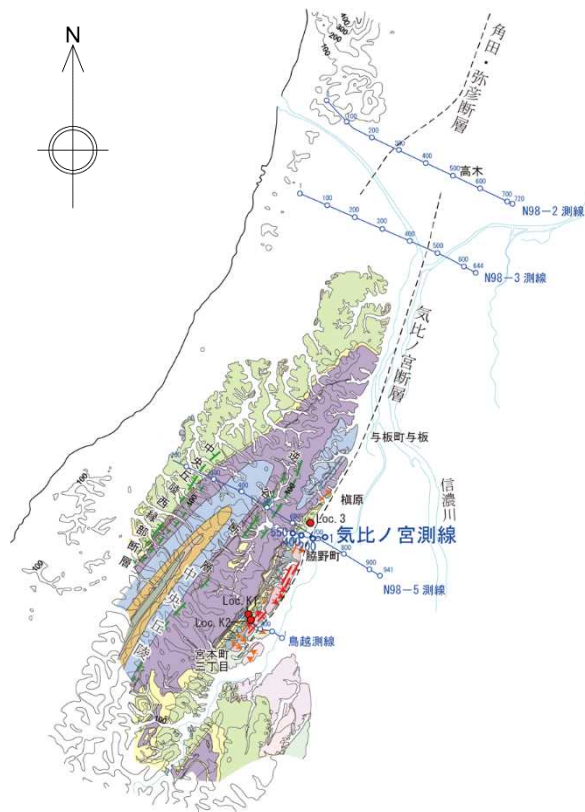


この図は、平成10年度国内石油・天然ガス基礎調査陸上基礎物理探査「西山・中央油帯」の地震探査記録を基に、東京電力ホールディングスが独自に再処理・解析し、作成したものです。

N98-5測線の深度断面及びその解釈

- N98-5測線においては、西傾斜の逆断層が認められる。
- 断層面の傾斜は、低下側の反射面の不連続から45°程度西傾斜と推定される。
- 西山層上限面での鉛直変位量は1,500~2,000m程度である。

6.2.2 気比ノ宮断層（反射法地震探査：断層主部 気比ノ宮測線）



0 5 10 15km

凡例

L I	L: 面堆積物
M II	M II: 面堆積物
M I	M I: 面堆積物
h	H: 面堆積物
Yk	脇野町層など(礫・砂・泥互層)
U	魚沼層(礫・砂・泥互層)
W	和南津層(砂岩)
H	灰爪層(砂質泥岩)
	灰爪層(石灰質砂岩)
N	西山層(塊状泥岩)
S	椎谷層(砂岩優勢砂岩・泥岩互層)
Sm	椎谷層(泥岩優勢砂岩・泥岩互層)
T	寺泊層(黒色泥岩)

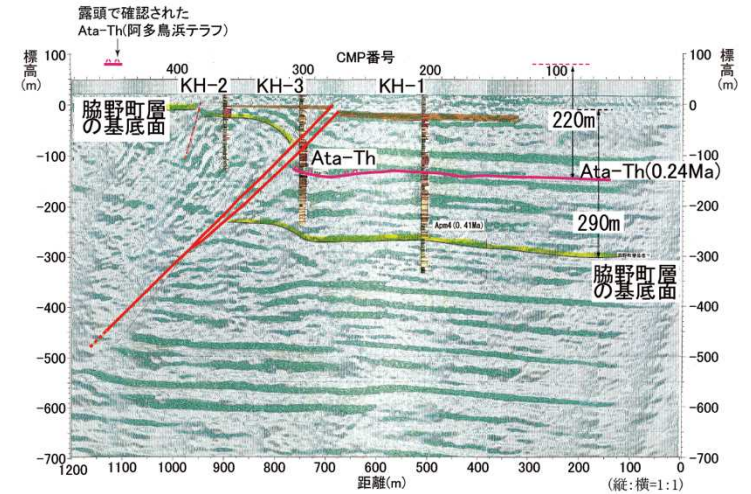
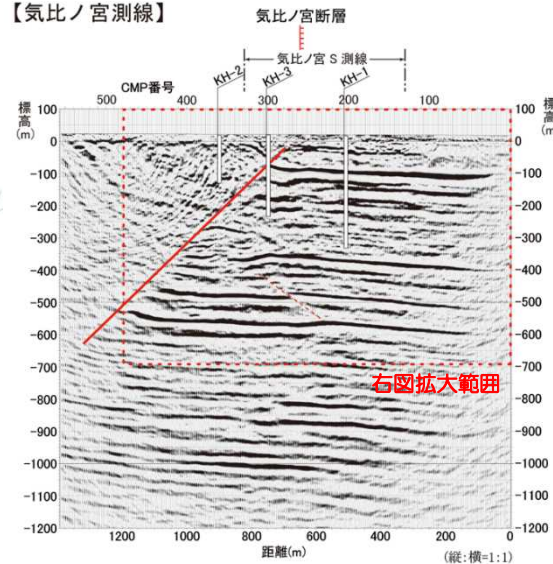
ランク	LA	LB	Lc	Ld
凡例				

短線は低い側を、矢印の方向は傾斜の方向を示す。
段丘面上の急傾斜部
矢印の方向は傾斜方向を示す。

反射法地震探査測線

気比ノ宮断層周辺の地質図及び調査位置図

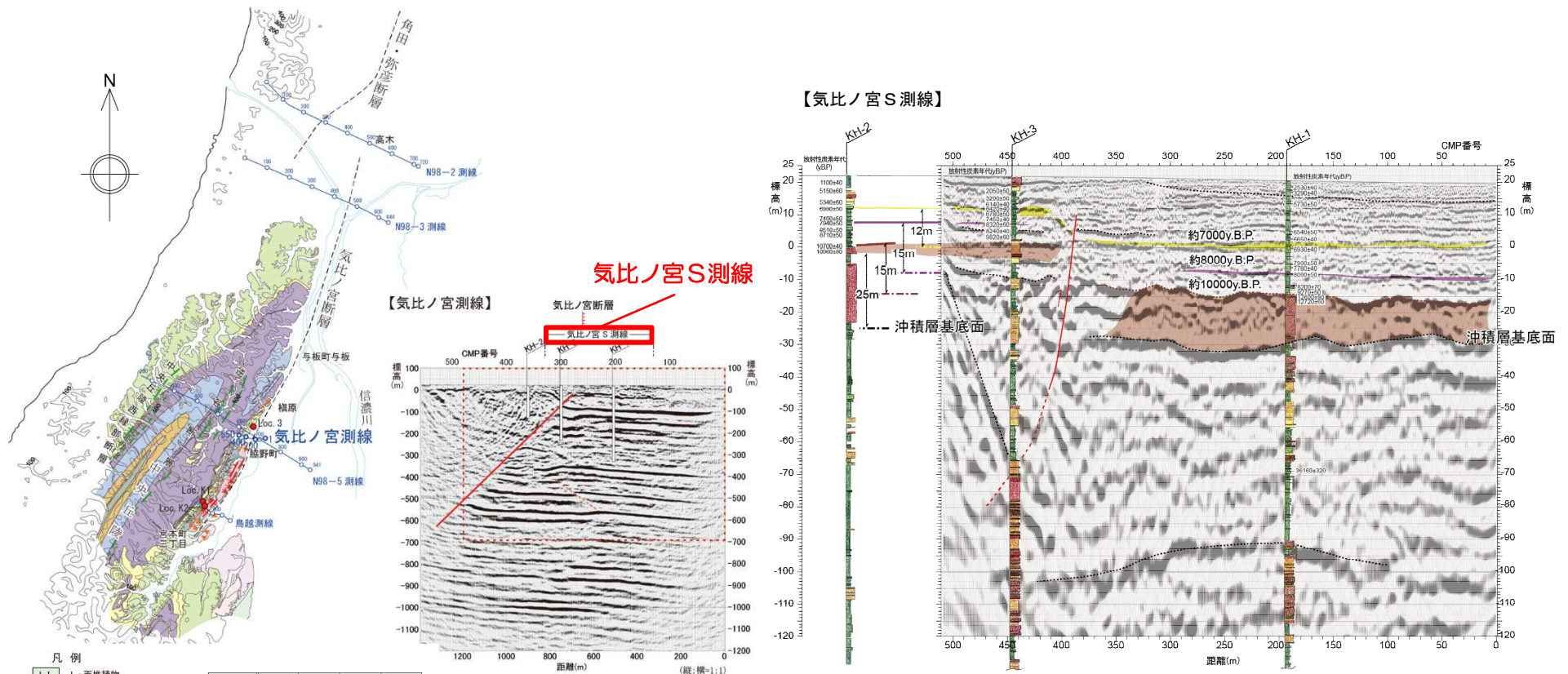
【気比ノ宮測線】



気比ノ宮測線の深度断面及びその解釈

- 気比ノ宮測線においても、断層面の傾斜が45°程度西傾斜の逆断層が認められる。
- ボーリング調査結果によると、断層の下盤側において阿多鳥浜テフラ (Ata-Th) が標高-150m付近に、断層の上盤側の地表において標高70m付近にそれぞれ分布することから、同テフラの鉛直変位量は約220mと見積もられ、過去20数万年間の平均的な変位速度は約1m/千年となる。

6.2.2 気比ノ宮断層（反射法地震探査：断層主部 気比ノ宮S測線）



- 凡例
- L_I 面堆積物
 - M_{II} M_{II}面堆積物
 - M_I M_I面堆積物
 - h 面堆積物
 - Wk 麻野町層など(礫・砂・泥互層)
 - U 魚沼層(礫・砂・泥互層)
 - W 和南津層(砂岩)
 - H 灰瓜層(砂質泥岩)
 - 灰瓜層(石灰質砂岩)
 - N 西山層(塊状泥岩)
 - S 椎谷層(砂岩優勢砂岩・泥岩互層)
 - Sm 椎谷層(泥岩優勢砂岩・泥岩互層)
 - T 寺泊層(黒色泥岩)
- 反射法地震探査測線

ランク	LA	LB	LC	LD
凡例	短縮	短縮	短縮	短縮

短縮は低い側を、矢印の方向は積ずれ方向を示す。
段丘面上の急傾斜部、矢印の方向は積斜方向を示す。

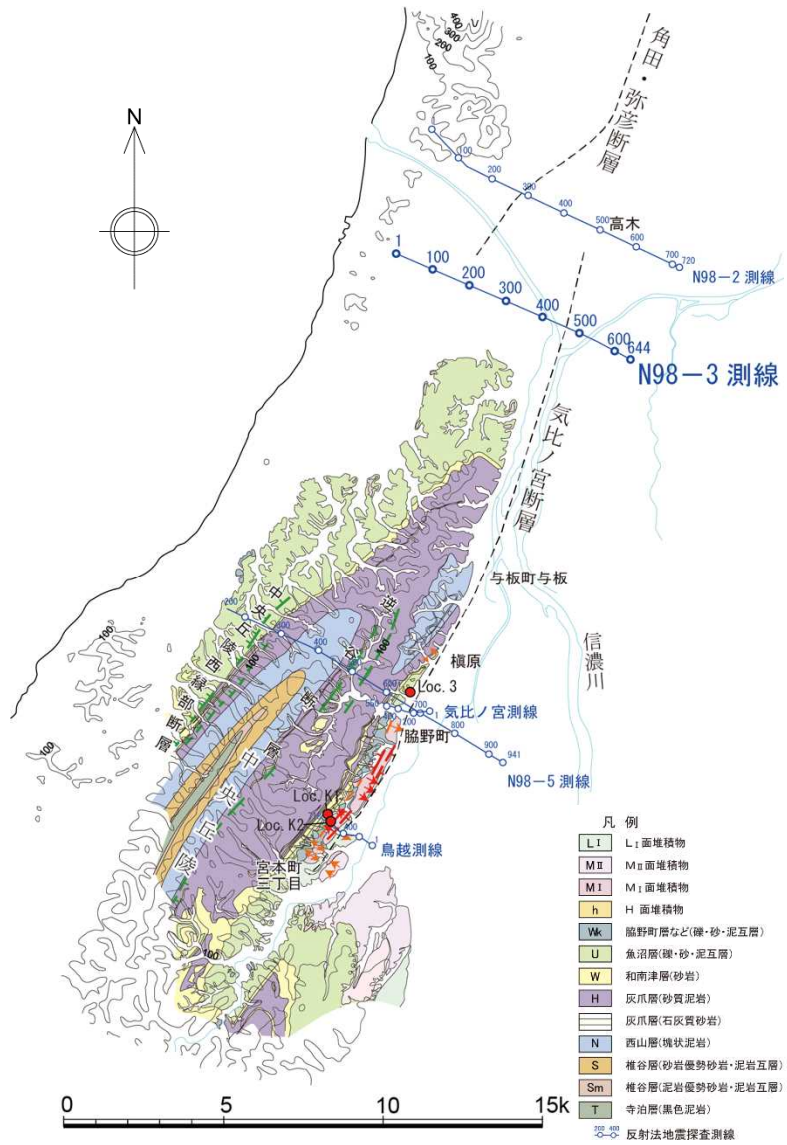
気比ノ宮測線の深度断面及びその解釈

気比ノ宮S測線の深度断面及びその解釈

- S波探査結果及びボーリング調査結果によると、地表付近まで断層が推定され、沖積層に不連続が認められる。鉛直変位量は約7,000年前の層準で約12m、約8,000年前の層準及び約10,000年前の層準ではいずれも約15mである。
- このことから、約8,000年前～約7,000年前に断層活動があった可能性があり、同活動による鉛直変位量は約3mと推定される。

気比ノ宮断層周辺の地質図及び調査位置図

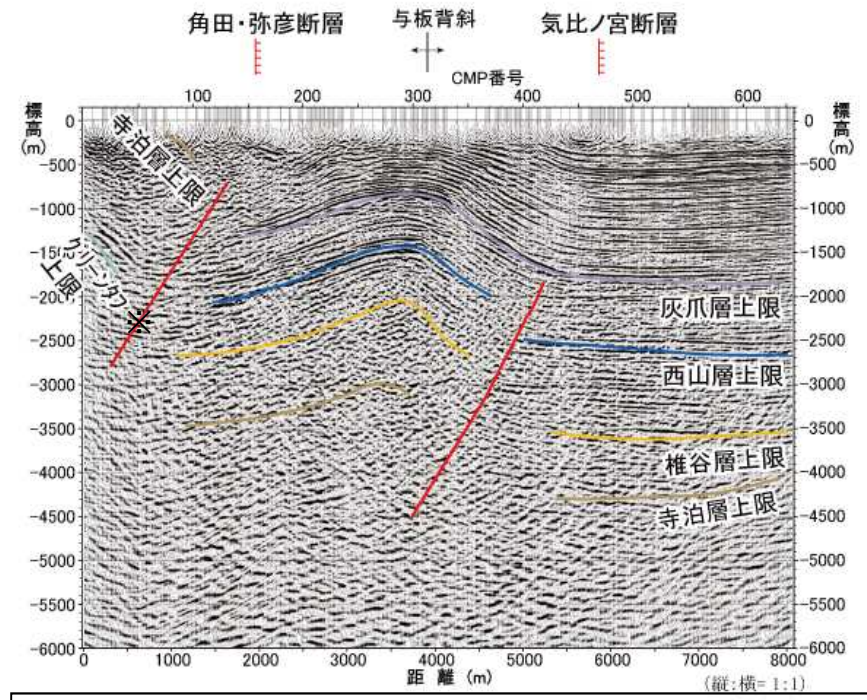
6.2.2 気比ノ宮断層（反射法地震探査：断層北部 N98-3測線）



気比ノ宮断層周辺の地質図及び調査位置図

- 凡例
- L_I L_I 面堆積物
 - M_{II} M_{II} 面堆積物
 - M_I M_I 面堆積物
 - h H 面堆積物
 - Wk 脇野町層など(緑・砂・泥互層)
 - U 魚沼原(緑・砂・泥互層)
 - W 和南津層(砂岩)
 - H 灰爪原(砂質泥岩)
 - 灰爪原(石灰質砂岩)
 - N 西山層(塊状泥岩)
 - S 椎谷層(砂岩優勢砂岩・泥岩互層)
 - Sm 椎谷層(泥岩優勢砂岩・泥岩互層)
 - T 寺泊層(黒色泥岩)
 - 反射法地震探査測線

【N98-3 測線】



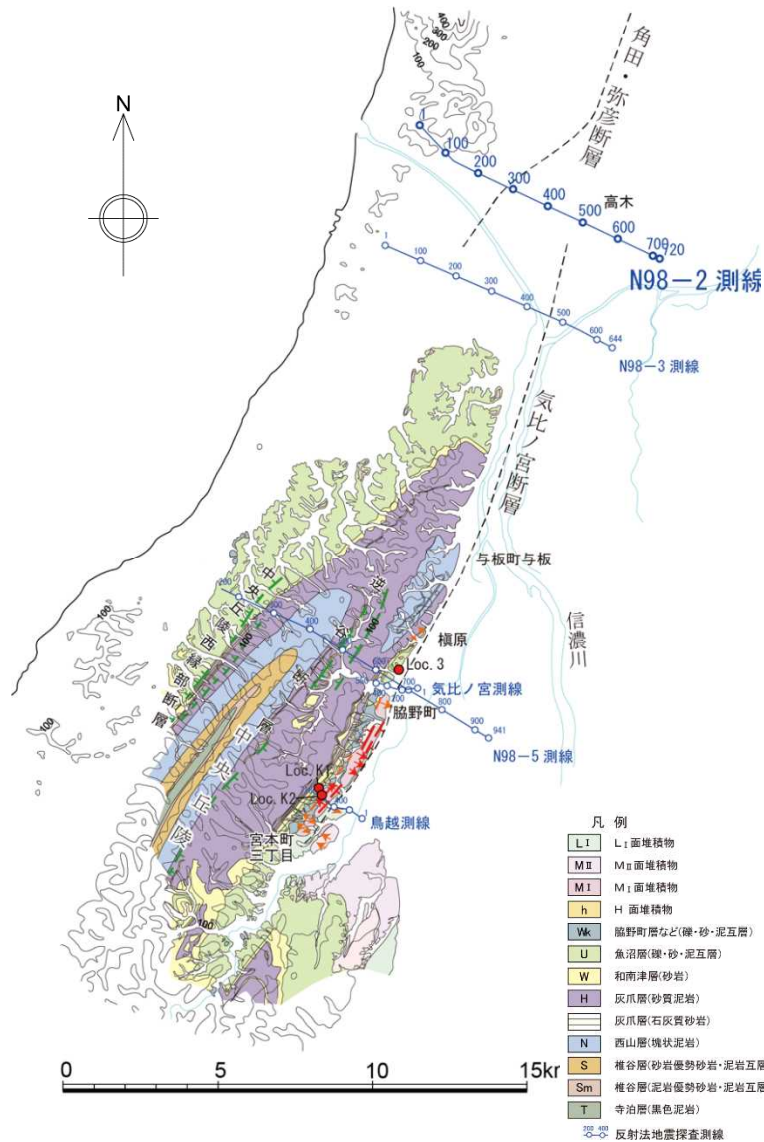
この図は、平成10年度国内石油・天然ガス基礎調査陸上基礎物理探査「西山・中央油帯」の地震探査記録を基に、東京電力ホールディングス㈱が独自に再処理・解析し、作成したものです。

N98-3測線の深度断面及びその解釈

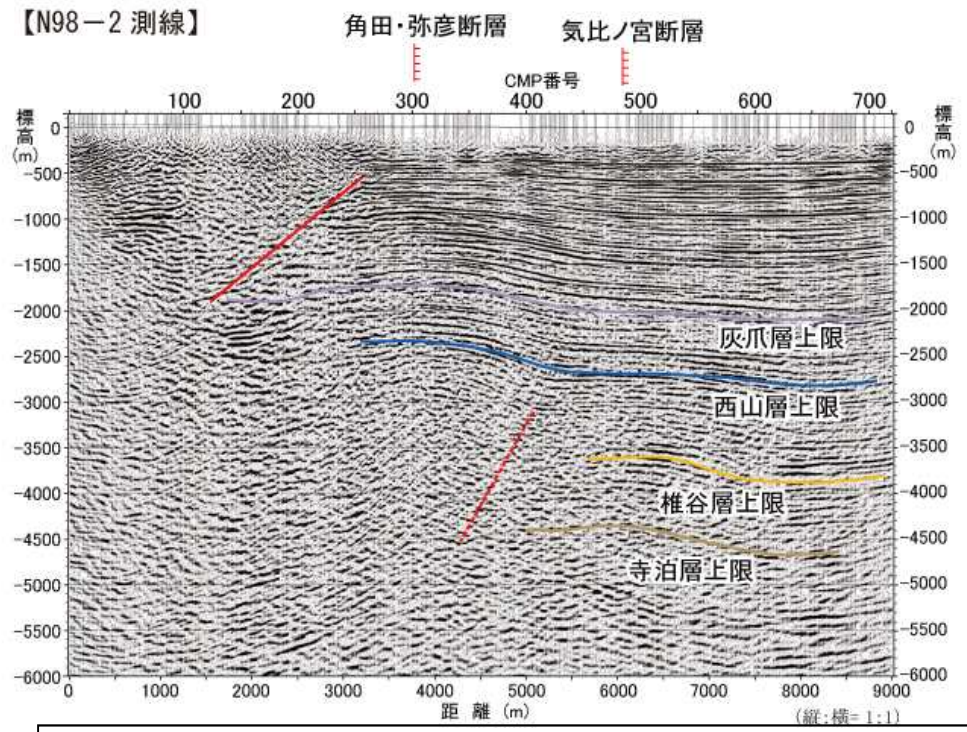


■ 与板以北に位置するN98-3測線においては、明瞭な断層は認められないものの、標高-2,000m付近以浅に西上がりの撓曲構造が認められる。

6.2.2 気比ノ宮断層（反射法地震探査：断層北端 N98-2測線）



気比ノ宮断層周辺の地質図及び調査位置図



この図は、平成10年度国内石油・天然ガス基礎調査陸上基礎物理探査「西山・中央油帯」の地震探査記録を基に、東京電力ホールディングス株式が独自に再処理・解析し、作成したものです。

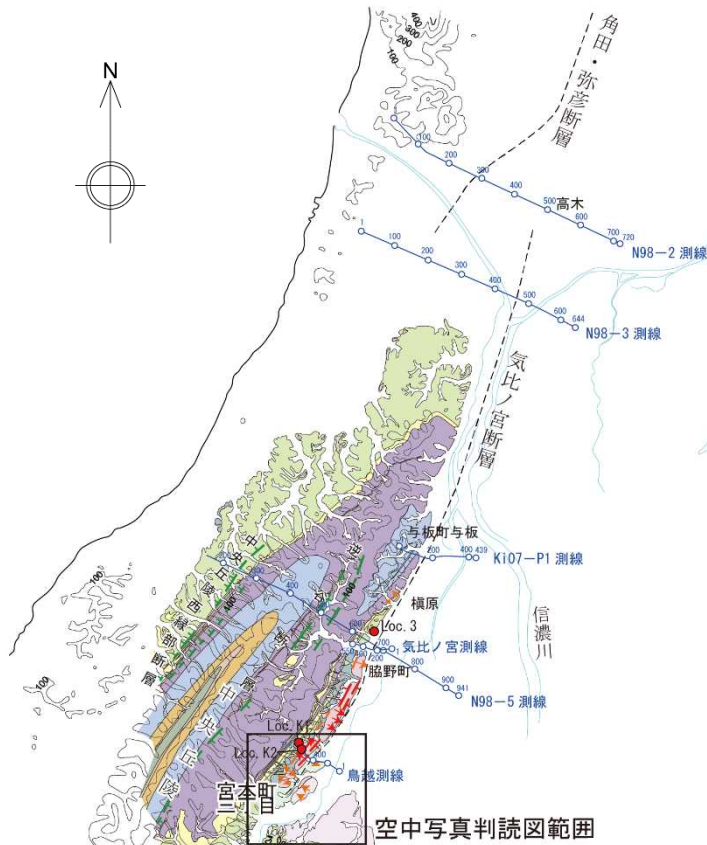
N98-2測線の深度断面及びその解釈

ランク	LA	LB	LC	LD
凡例	斜線	斜線	斜線	斜線

短線は低い側を、矢印の方向は撓ずれの方向を示す。
段丘面上の急傾斜部
矢印の方向は撓斜方向を示す。

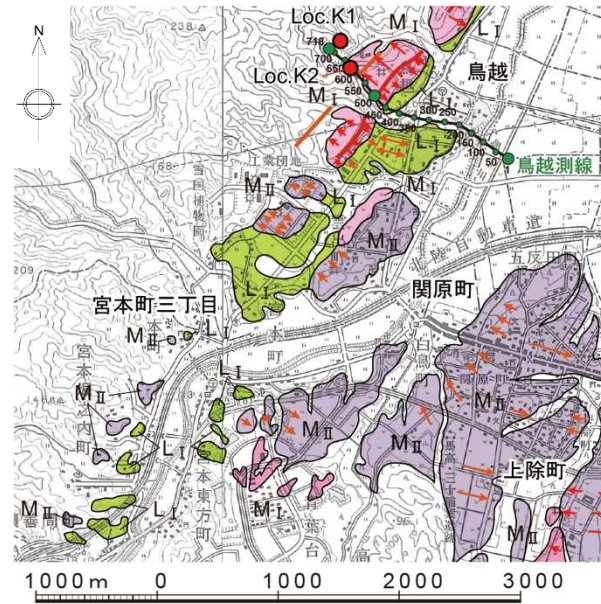
- N98-3測線の北方に位置するN98-2測線においては、標高-1,000m付近以深に緩い撓曲変形が認められるものの、標高-1,000m付近以浅には明瞭な変位・変形は認められないことから、燕市高木付近を当該断層の北端とする。

6.2.2 気比ノ宮断層（変動地形学的調査：断層南端）



気比ノ宮断層周辺の地質図及び調査位置図

- 凡例
- L_I 面堆積物
 - M_{II} 面堆積物
 - M_I 面堆積物
 - h 面堆積物
 - Wk 脇野町層など(礫・砂・泥互層)
 - U 魚沼層(礫・砂・泥互層)
 - W 和南津層(砂岩)
 - H 灰爪層(砂質泥岩)
 - 灰爪層(石灰質砂岩)
 - N 西山層(塊状泥岩)
 - S 雑谷層(砂岩優勢砂岩・泥岩互層)
 - Sm 雑谷層(泥岩優勢砂岩・泥岩互層)
 - T 寺泊層(黒色泥岩)
 - 反射法地震探査測線



宮本町付近の空中写真判読図

- 凡例
- | 段丘区分 | 記号 |
|-------------------------------|-----------------|
| L _I 面 (MIS5a~MIS4) | L _I |
| M _{II} 面 (MIS5c) | M _{II} |
| M _I 面 (MIS5e) | M _I |
- Loc. 3 ● 露頭位置・番号
東京電力・新エネルギー開発研究所 反射法地震探査測線 (インバクター)
- | ランク | LA | LB | LC | LD |
|-----|----|----|----|----|
| 凡例 | — | — | — | — |
- 短線は低い側を、矢印の方向は傾斜の方向を示す。
段丘面上の急傾斜部
矢印の方向は傾斜方向を示す。

- 宮本町三丁目以南に分布するM_{II}面及びL_I面にリニアメントは判読されないことから、宮本町三丁目を当該断層の南端とする。

6.2.2 気比ノ宮断層（評価）

【活動性】

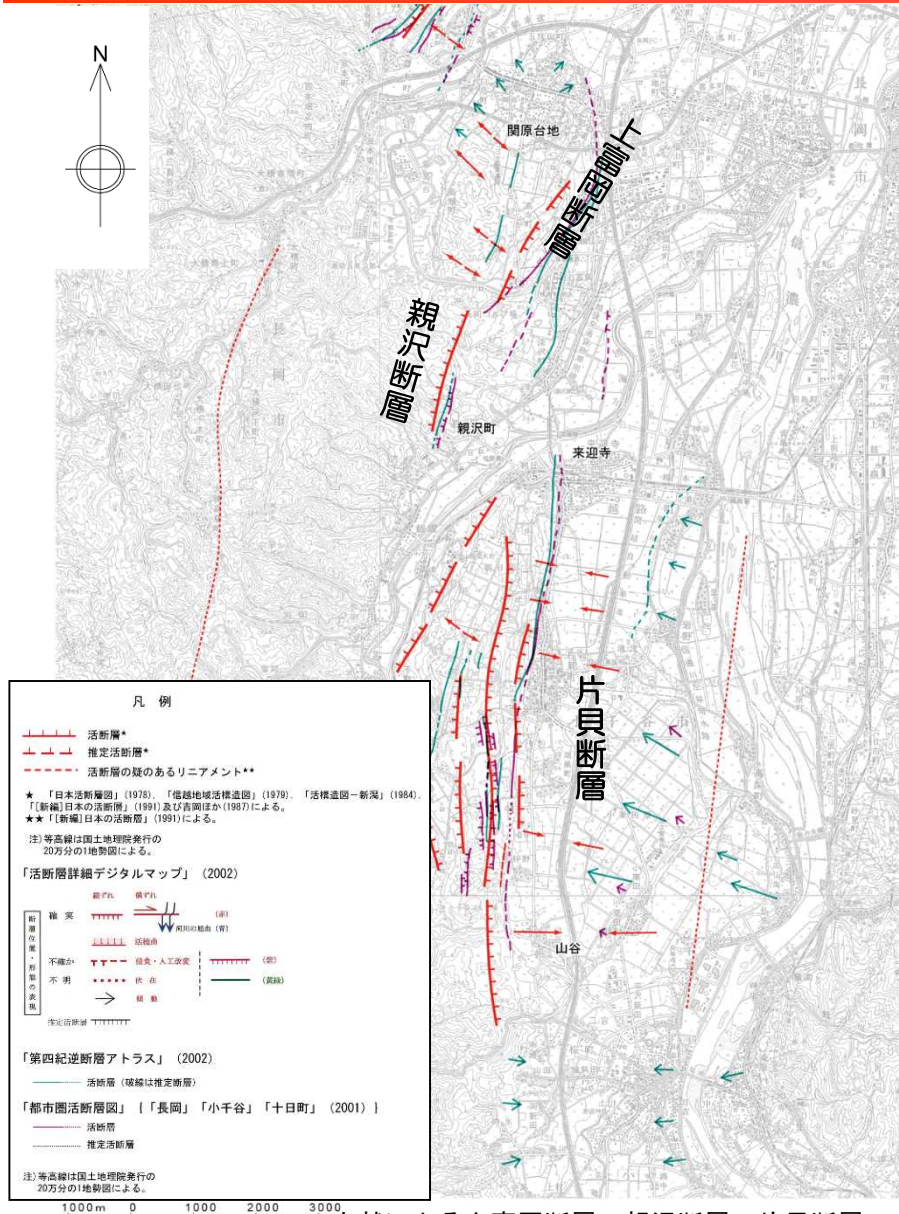
- 空中写真判読結果によると、与板町榎原から宮本町三丁目に至る約8km間において、 L_A 及び L_B リニアメントが認められる。
- 地表地質調査結果によると、与板町与板から宮本町三丁目に至る約10km間において、西山層、灰爪層及び魚沼層に過褶曲を示す撓曲構造が認められ、その東側の背斜構造を覆って分布するH面、 M_I 面、 M_{II} 面及びその堆積物は背斜構造に調和して変形している。
- 気比ノ宮測線における反射法地震探査及びボーリング調査結果によると、阿多鳥浜テフラの変位が認められ、その鉛直変位量から過去約20 数万年間の平均的な変位速度は約1m/千年と算出される。また、当該断層は沖積層にも変位を与えており、約8,000年前～約7,000年前に断層活動があった可能性があり、その活動による鉛直変位量は約3mと推定される。
- 以上のことから、過褶曲を示す撓曲構造の認められる与板町与板から宮本町三丁目に至る約10km間において、気比ノ宮断層の活動は完新世に及んでいると判断される。

【活動性を考慮する長さ】

- 宮本町三丁目以南においては、 M_{II} 面及び L_I 面が分布しているものの、リニアメントは認められない。
- 与板町与板以北においては、反射法地震探査結果によると、大河津付近まで撓曲が認められるものの、燕市高木付近においては、標高約-1,000m以浅で明瞭な変位・変形は認められない。
- 以上のことから、気比ノ宮断層の長さを燕市高木付近から長岡市宮本町三丁目までの約22kmと評価する。

1.	文献調査	• • •	4
2.	敷地周辺陸域の地形	• • •	7
3.	敷地周辺陸域の地質	• • •	9
4.	敷地周辺陸域の変動地形	• • •	11
5.	敷地周辺陸域の地質構造	• • •	14
6.	断層の評価		
6.1	概要	• • •	18
6.2	活断層の評価	• • •	20
6.2.1	角田・弥彦断層	• • •	20
6.2.2	気比ノ宮断層	• • •	36
6.2.3	上富岡断層・親沢断層・片貝断層	• • •	52
6.3	副次的な構造に関する評価	• • •	81
6.3.1	中央丘陵西縁部断層	• • •	83
6.3.2	渋海川向斜部のリニアメント	• • •	98
6.4	その他のリニアメント・断層に関する評価	• • •	103
7.	断層の連動可能性評価		
7.1	長岡平野西縁断層帯	• • •	176
7.2	長岡平野西縁断層帯と十日町断層帯西部	• • •	183

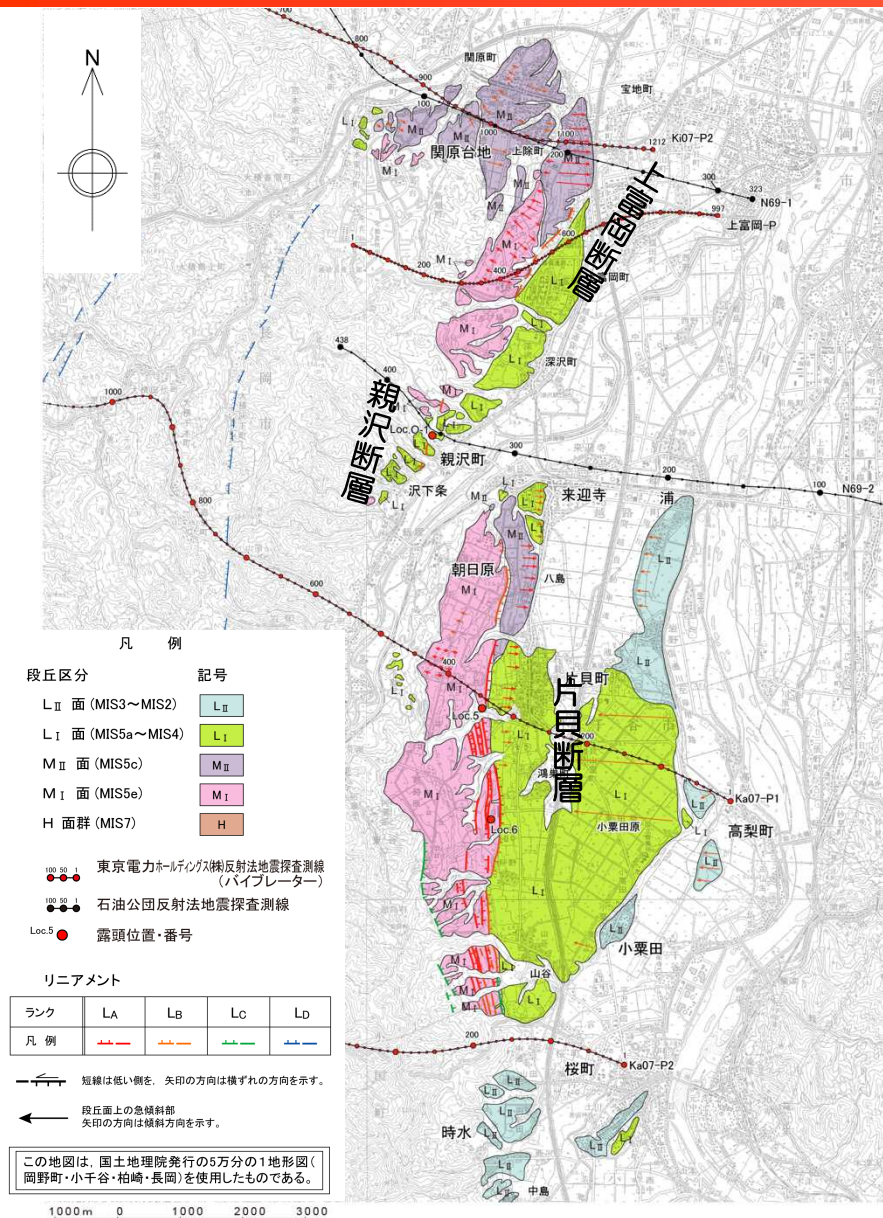
6.2.3 上富岡断層・親沢断層・片貝断層（文献調査結果）



文献による上富岡断層・親沢断層・片貝断層

- 上富岡断層（関原断層）
 「[新編]日本の活断層」(1991)は、関原台地東縁付近に長さ約2km, NNE-SSW方向の「活断層であると推定されるもの(確実度Ⅱ)」, 活動度A級の断層を, 「信越地域活構造図」(1979)及び「活構造図-新潟」(1984)もほぼ同位置に推定活断層を, 「第四紀逆断層アトラス」(2002)及び「活断層詳細デジタルマップ」(2002)においてもほぼ同位置に長さ4.5kmの活断層を示し, 関原断層と呼んでいる。
- 親沢断層
 吉岡・加藤(1987)は, 親沢町付近に段丘面を変位させる活断層として示し, その全長を約1.5km, 最大平均変位速度を約0.1m/千年としている。「[新編]日本の活断層」(1991)及び「第四紀逆断層アトラス」(2002)等においてもほぼ同位置に活断層が示されている。
- 片貝断層
 「[新編]日本の活断層」(1991)は, 来迎寺から山谷西方に至る約7km間にほぼN-S方向の「活断層であることが確実なもの(確実度Ⅰ)」, 活動度B級の断層を示し, 「信越地域活構造図」(1979), 「活構造図-新潟」(1984), 「第四紀逆断層アトラス」(2002)及び「活断層詳細デジタルマップ」(2002)においても, ほぼ同位置に活断層が示されている。「活断層データベース」(2013)は, 本断層及び上富岡断層(関原断層)を片貝活動セグメントとし, 長さ15km, 平均変位速度1.2m/千年と評価している。

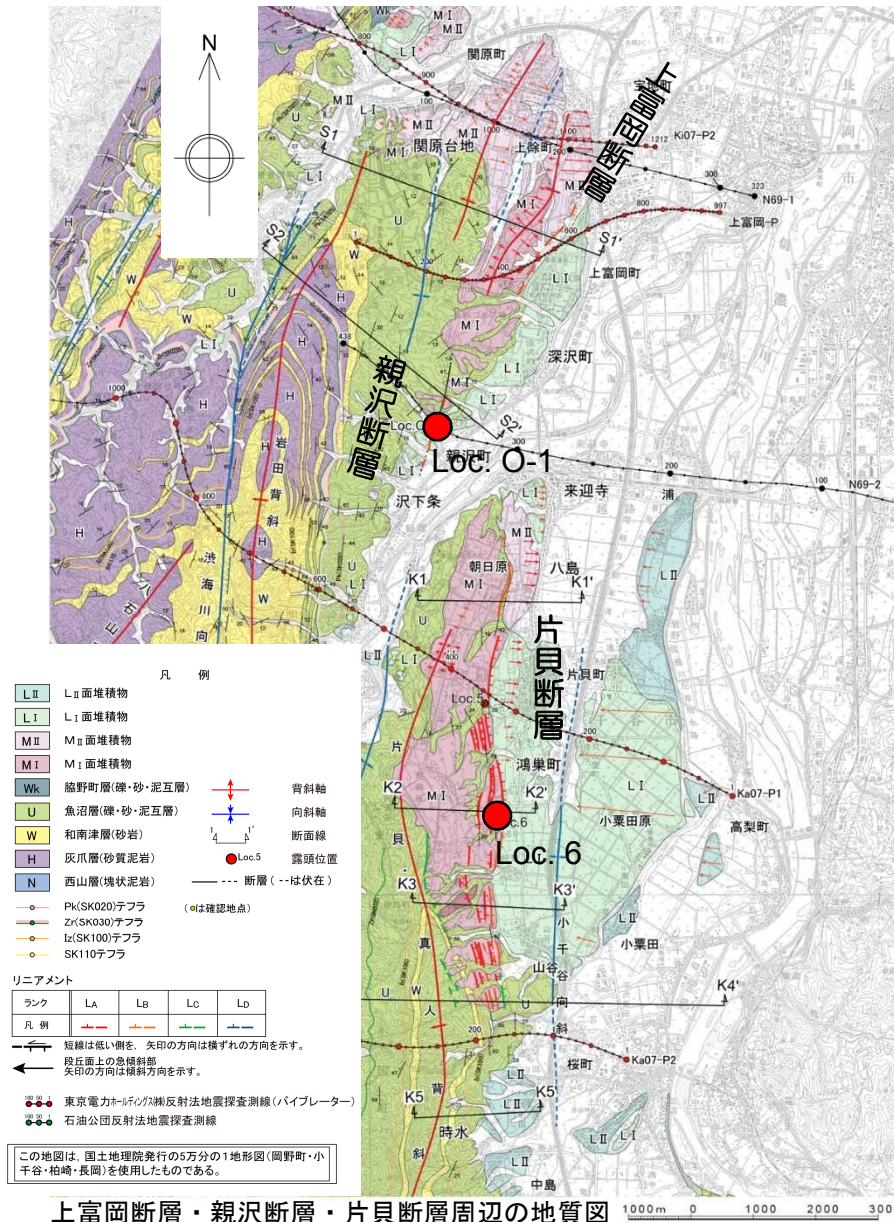
6.2.3 上富岡断層・親沢断層・片貝断層（空中写真判読図）



上富岡断層・親沢断層・片貝断層周辺の空中写真判読図

- 上富岡断層**
 関原台地では、M_I面及びM_{II}面が東西幅約3.5kmにわたって波状の変形を示し、2背斜・2向斜が認められ、背斜軸は北方に向かってプランジしている。この波状変形を示す段丘面の東縁には、西側のM_I面及びM_{II}面と東側のL_I面とを境する撓み状を呈する崖が認められ、この崖をL_Bリニアメントとして判読した。
- 親沢断層**
 親沢町付近には、長さ約1.2km、N-S方向のL_Bリニアメントが判読され、M_I面及びL_I面上の東側が高い逆向きの崖からなる。
- 片貝断層**
 来迎寺から桜町に至る約9km間に、ほぼN-S方向に並走する数本のリニアメントが判読される。

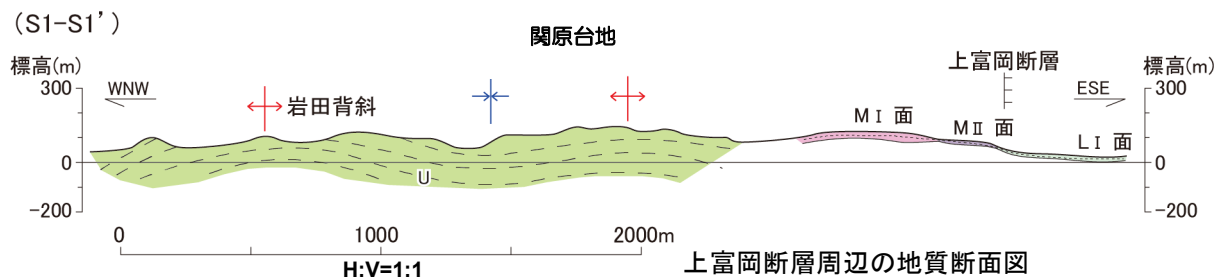
6.2.3 上富岡断層・親沢断層・片貝断層（地質図）



- **上富岡断層**
上富岡断層周辺においては、地表部における魚沼層の露出が少なく、地質構造を把握できていない。
- **親沢断層**
親沢断層周辺においては、段丘堆積物及びその下位に魚沼層が分布している。東緩傾斜の同斜構造を示す魚沼層内に東傾斜の逆断層が認められ、リニアメントの位置及びセンスと対応している (Loc. O-1, 後述)。断層による鉛直変位量は、南方の沢下条以南では沖積面下に没するため不明であり、北方延長部については、深沢町西方の M_I 面は平坦であり、同面に変位地形は認められない。
- **片貝断層**
片貝・真人背斜の東翼部の信濃川左岸には、魚沼層とそれを覆う段丘堆積物が分布している。片貝・真人背斜軸部から東翼部の撓曲を横断して M_I 面、M_{II} 面及び L_I 面が分布し、これらの段丘面は魚沼層の撓曲構造と調和的に長ドーム状に変形している。魚沼層の撓曲部では、段丘堆積物は魚沼層の構造と調和的に 15° から最大 40° まで東方に向かって傾斜を増しており、この傾斜は長ドーム状を呈する段丘面の東縁の撓み状の崖あるいは傾斜面に対応している (Loc. 6, 後述)。

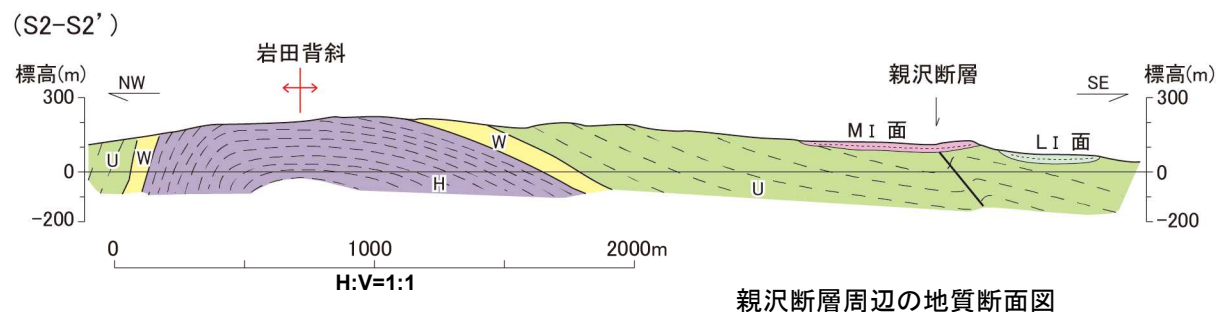
6.2.3 上富岡断層・親沢断層・片貝断層（地質断面図：上富岡断層・親沢断層）

[上富岡断層]



- 関原台地においては、段丘堆積物及びその下位に魚沼層が分布しており、魚沼層はM_I面及びM_{II}面にみられる波状の変形と調和的に緩い褶曲構造を示すものの、上富岡断層周辺においては、地表部における魚沼層の露出が少なく、地質構造を把握できていない。

[親沢断層]

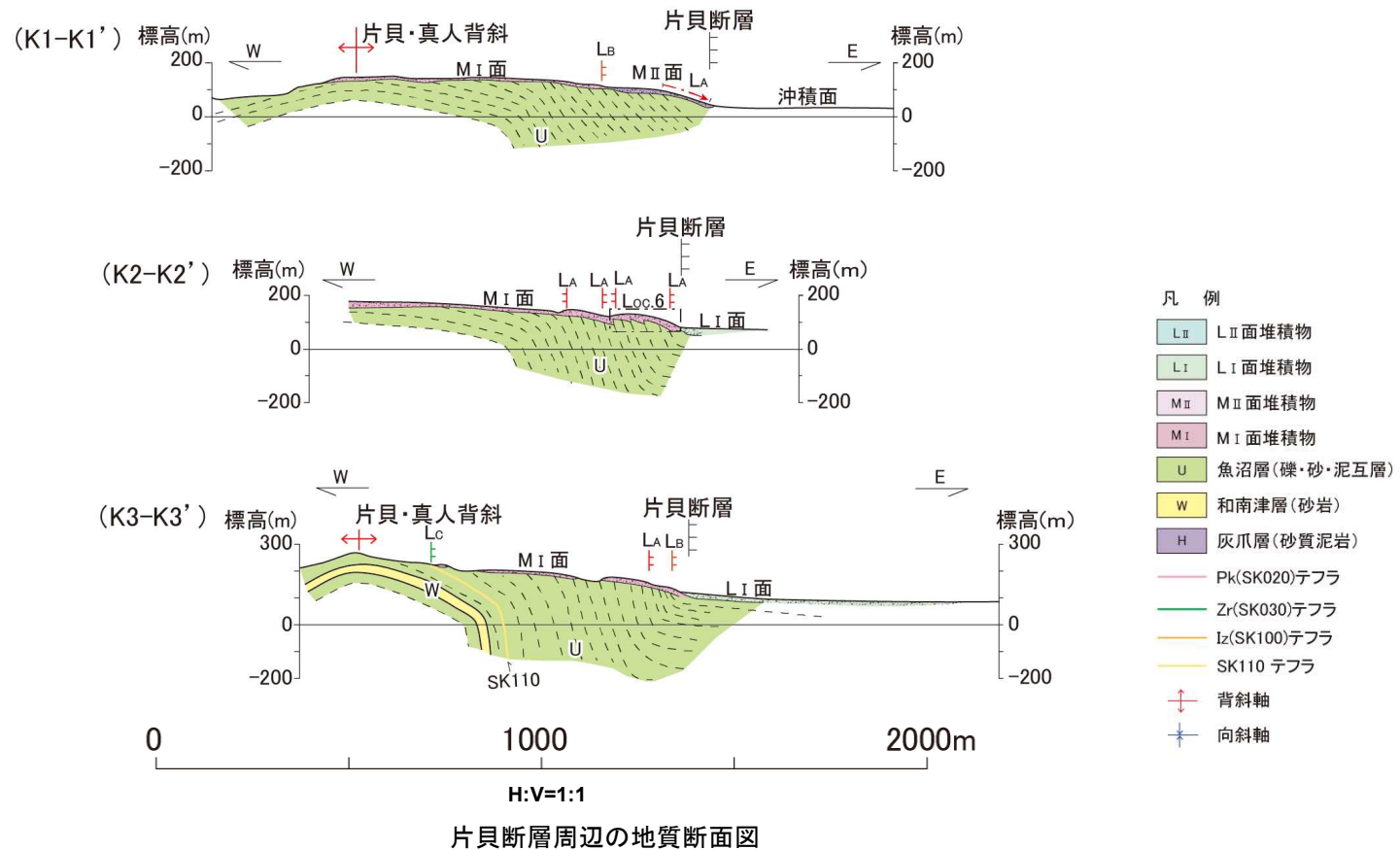


- 親沢断層周辺においては、段丘堆積物及びその下位に魚沼層が分布している。親沢町において、東緩傾斜の同斜構造を示す魚沼層内に東傾斜の逆断層が認められ、リニアメントの位置及びセンスと対応している。断層の鉛直変位量は、親沢町のM_I面では約9.5m、L_I面では約6.5m、南方の沢下条付近のL_I面では約3mである。

凡例

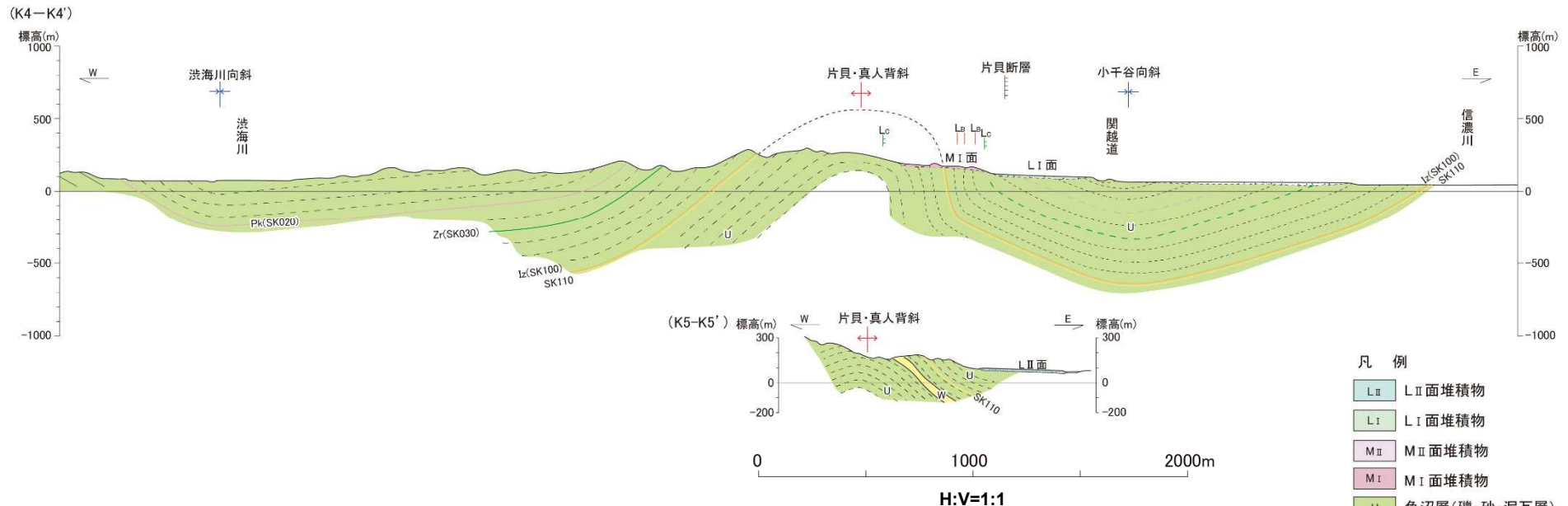
LII	LII面堆積物
LI	LI面堆積物
MII	MII面堆積物
MI	MI面堆積物
U	魚沼層(礫・砂・泥互層)
W	和南津層(砂岩)
H	灰爪層(砂質泥岩)
—	Pk(SK020)テフラ
—	Zr(SK030)テフラ
—	Iz(SK100)テフラ
—	SK110 テフラ
↔	背斜軸
★	向斜軸

6.2.3 上富岡断層・親沢断層・片貝断層（地質断面図：片貝断層北部）



- 魚沼層の撓曲構造は、北方の八島付近では撓曲部における傾斜が緩くなるものの、来迎寺付近において沖積層下に埋没する（K1-K1'）。
- 東急傾斜を示す魚沼層内に層理面に平行な断層が数本認められ、その上位を不整合に覆う段丘堆積物等に変位を与えており、長ドーム状を呈する段丘面上に判読される逆向きの低崖に対応している（K2-K2'）。

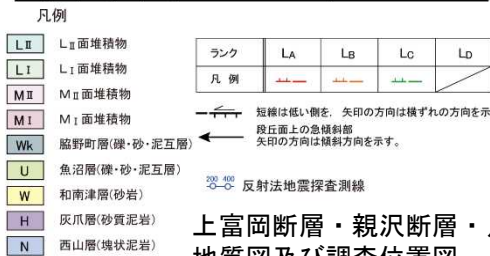
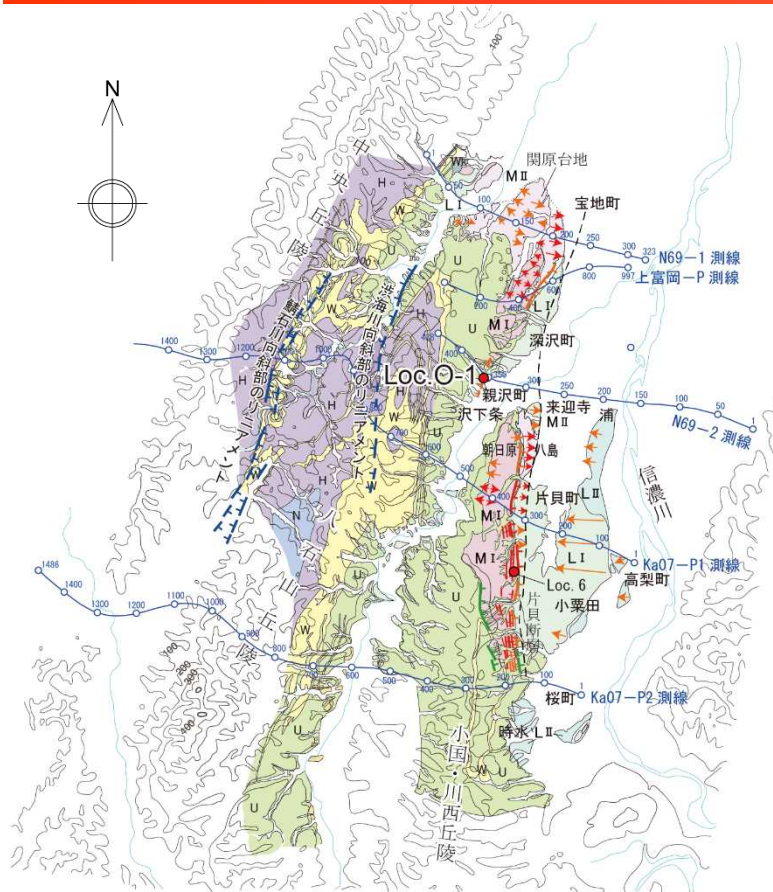
6.2.3 上富岡断層・親沢断層・片貝断層（地質断面図：片貝断層南部）



片貝断層周辺の地質断面図

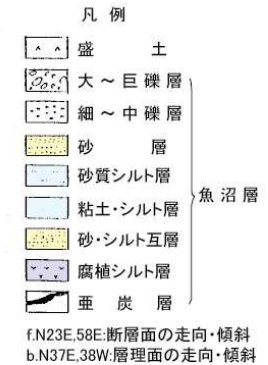
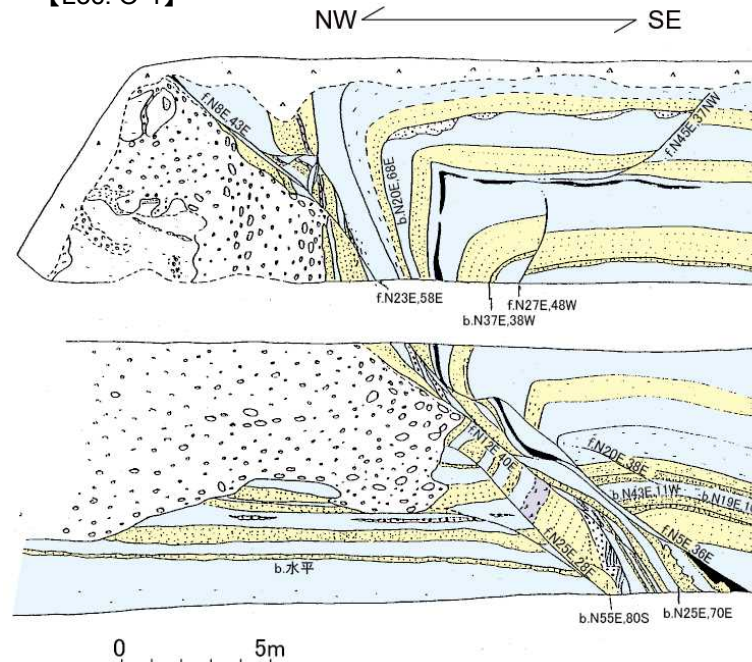
- 片貝・真人背斜東翼部に分布する魚沼層は東西幅100m～300mにわたって東急傾斜を示し、撓曲構造を形成している。
- 片貝・真人背斜軸部から上記の撓曲を横断してM_I面、M_{II}面及びL_I面が分布し、これらの段丘面は魚沼層の撓曲構造と調和的に長ドーム状に変形している。
- 撓曲の東側においては、L_I面及びL_{II}面が広く分布しており、これらの段丘面は撓曲部の東方1km付近を軸として向斜状の変形を示す。この段丘面上の向斜軸は、魚沼層の向斜軸（小千谷向斜）と一致している。
- 魚沼層の撓曲構造は、南方の時水付近において東緩傾斜の同斜構造となる（K5-K5'）。

6.2.3 上富岡断層・親沢断層・片貝断層（親沢断層露頭スケッチ：Loc. O-1）



上富岡断層・親沢断層・片貝断層周辺の地質図及び調査位置図

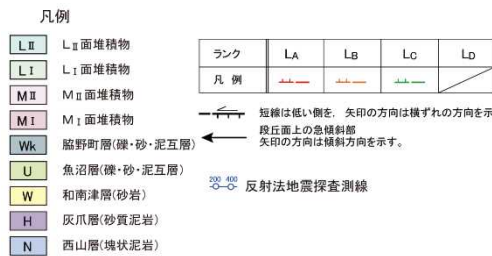
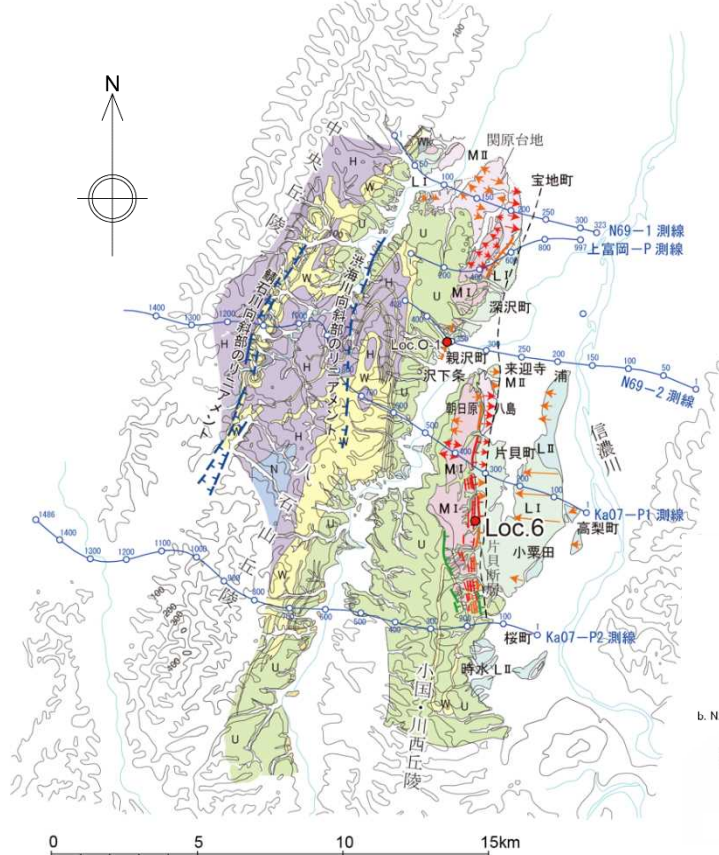
【Loc. O-1】



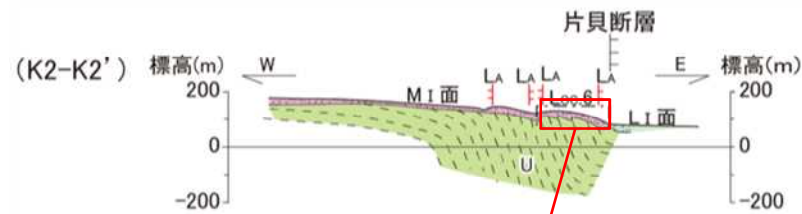
露頭スケッチ (Loc. O-1, 親沢町)

- 親沢町において、東緩傾斜の同斜構造を示す魚沼層内に東傾斜の逆断層が認められ、同断層はリニアメントの位置及びセンスと対応している。

6.2.3 上富岡断層・親沢断層・片貝断層（片貝断層露頭スケッチ：Loc. 6）

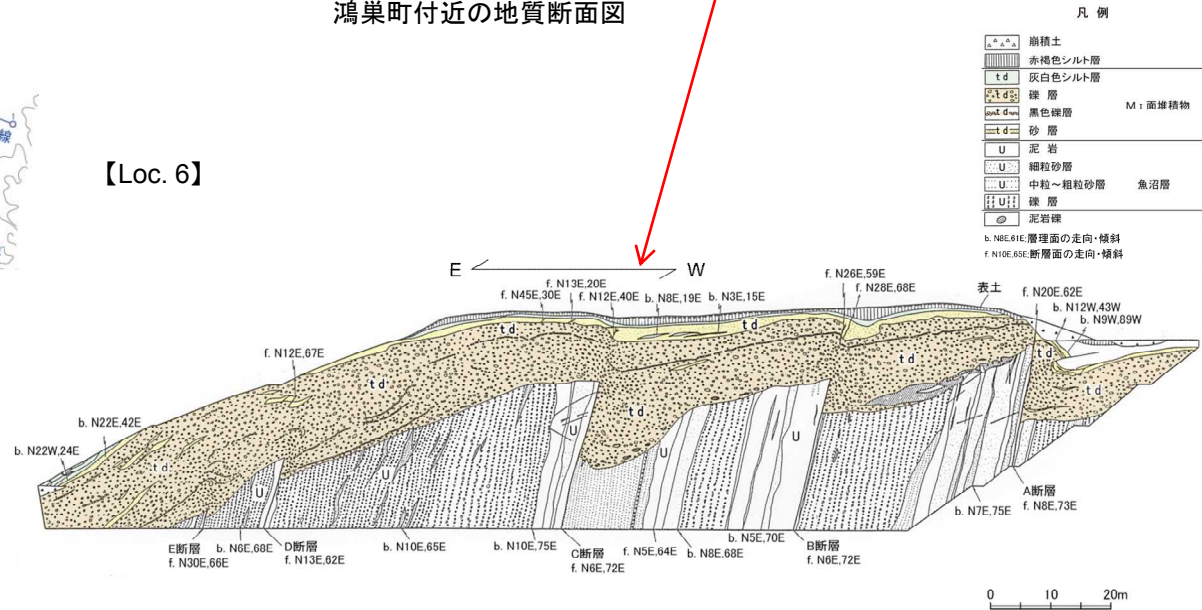


上富岡断層・親沢断層・片貝断層周辺の地質図及び調査位置図



鴻巣町付近の地質断面図

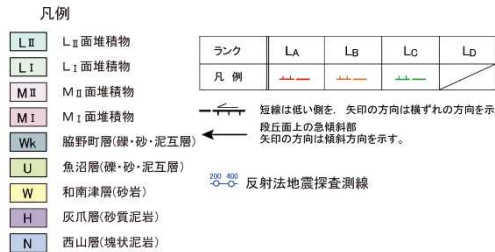
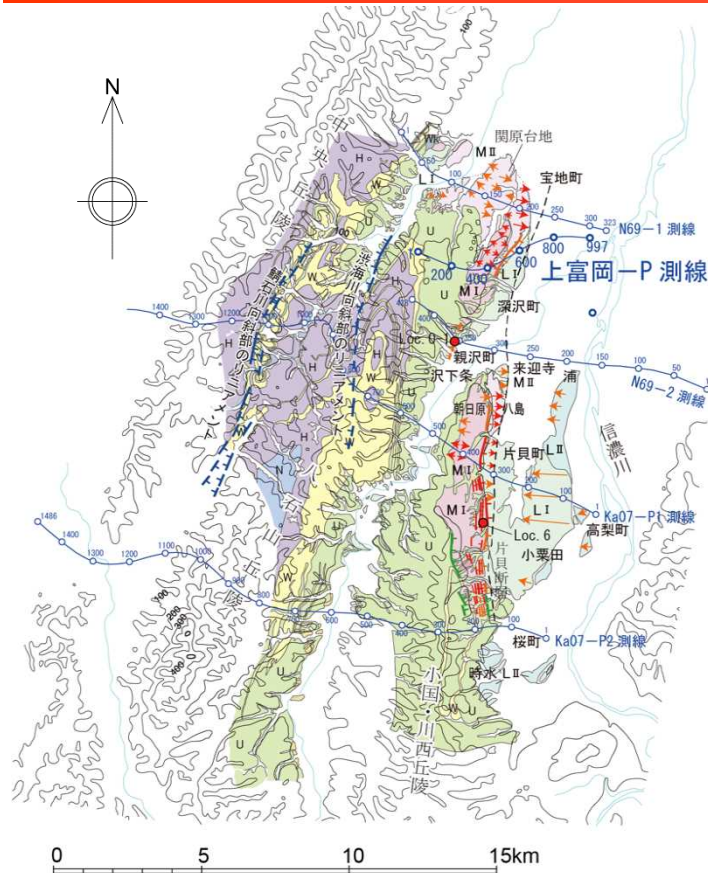
【Loc. 6】



露頭スケッチ (Loc. 6, 鴻巣町南西)

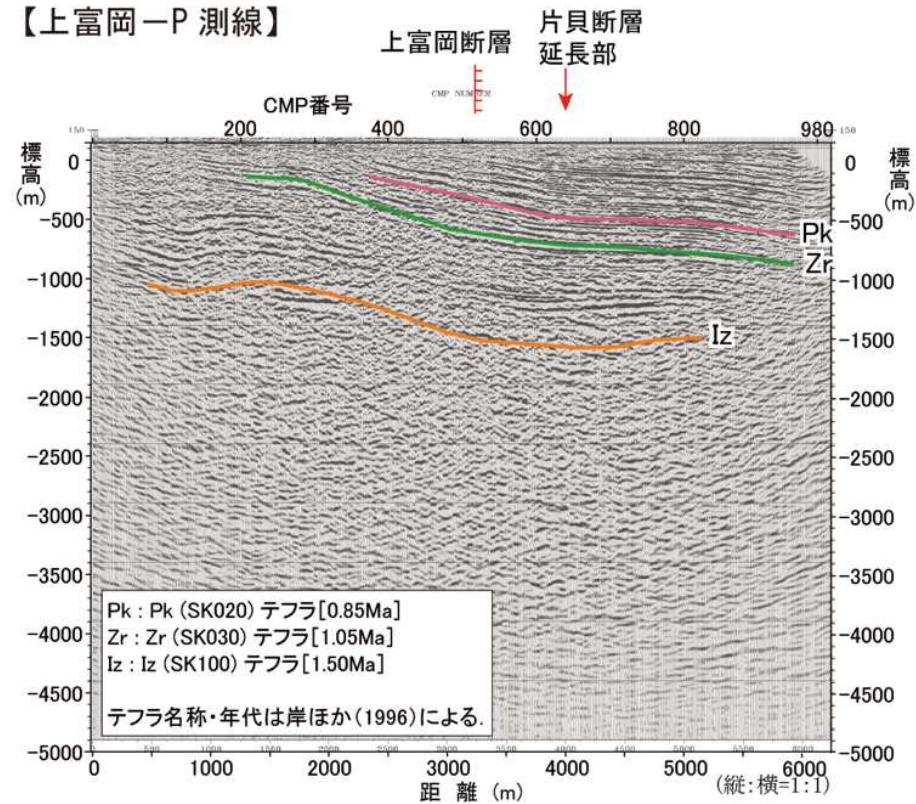
- 東急傾斜を示す魚沼層内に、層理面に平行な断層が数本認められ、その上位を不整合に覆う段丘堆積物等に変位を与えており、長ドーム状を呈する段丘面上に判読される逆向きの低崖に対応している。

6.2.3 上富岡断層・親沢断層・片貝断層（反射法地震探査：上富岡断層）



上富岡断層・親沢断層・片貝断層周辺の地質図及び調査位置図

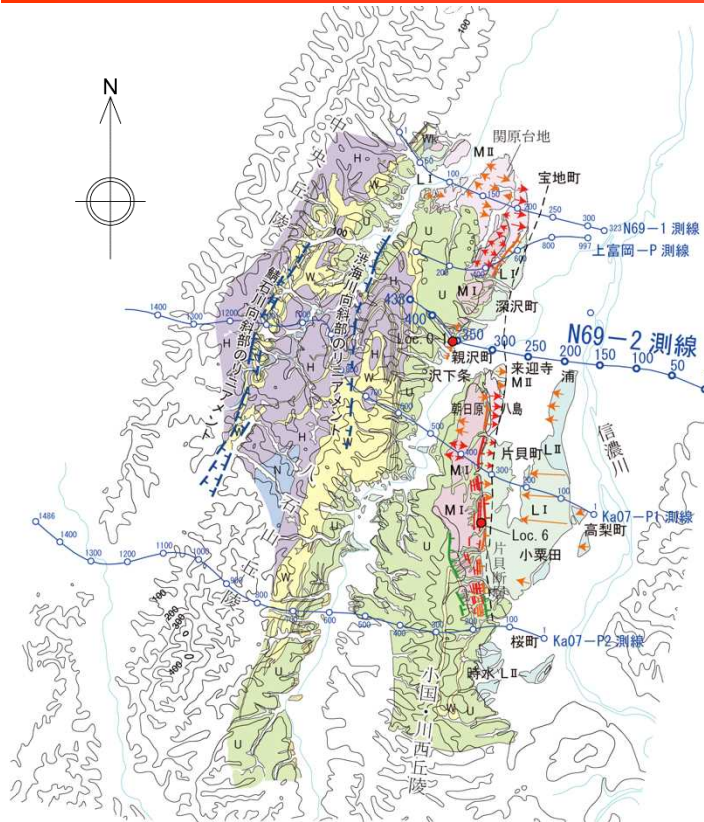
【上富岡-P測線】



上富岡-P測線の深度断面及びその解釈

■ 上富岡断層中央部に位置する上富岡-P測線において、地下深部で反射面が東方に緩く傾斜する同斜構造が認められるものの、上富岡断層を示唆する構造は認められない。

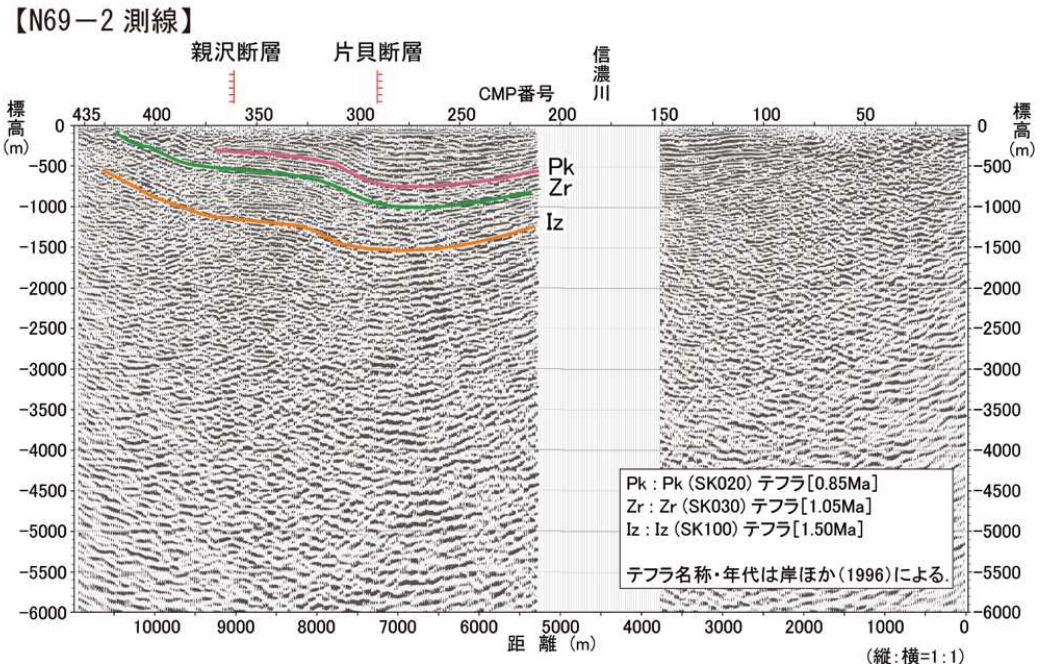
6.2.3 上富岡断層・親沢断層・片貝断層（反射法地震探査：親沢断層）



0 5 10 15km



上富岡断層・親沢断層・片貝断層周辺の地質図及び調査位置図



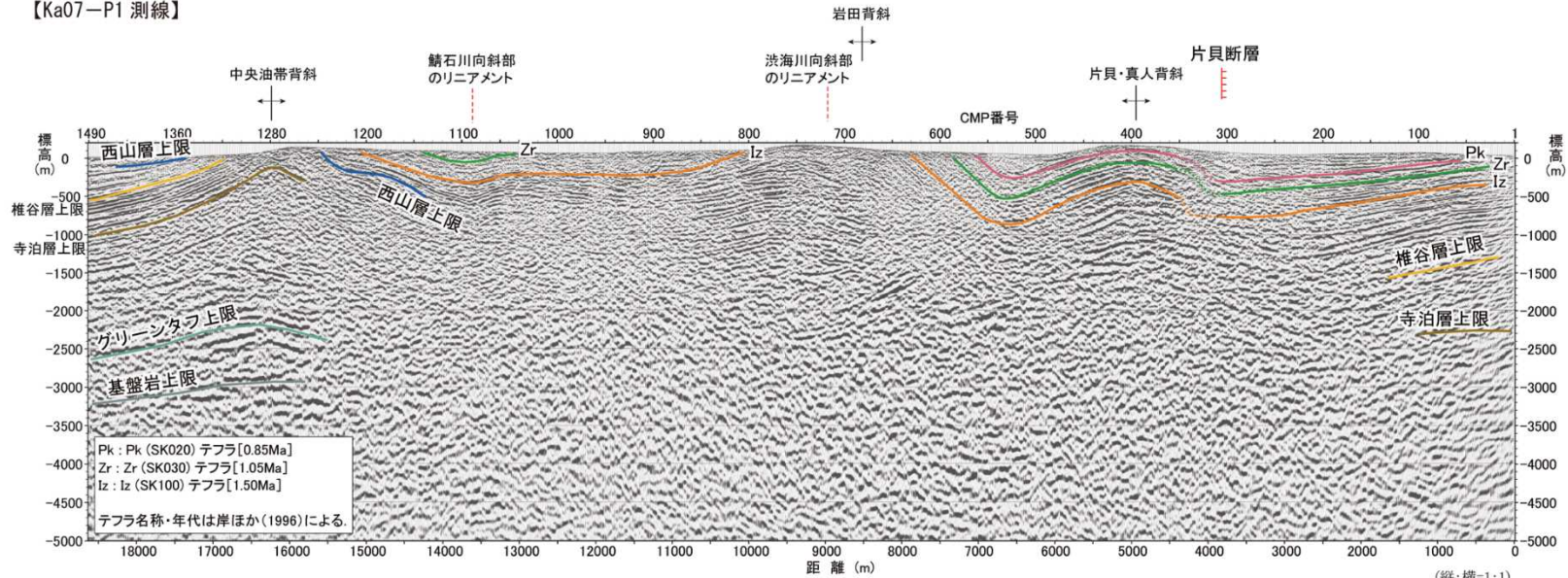
この図は、昭和44年度天然ガス基礎調査基礎物理探査「長岡平野」の地震探査記録を基に、東京電力ホールディングス㈱が独自に再処理・解析し、作成したものです。

N69-2測線の深度断面及びその解釈

- 親沢断層の地下深部で反射面が東方へ緩く傾斜する同斜構造を示し、同断層の地下深部への連続は認められない。

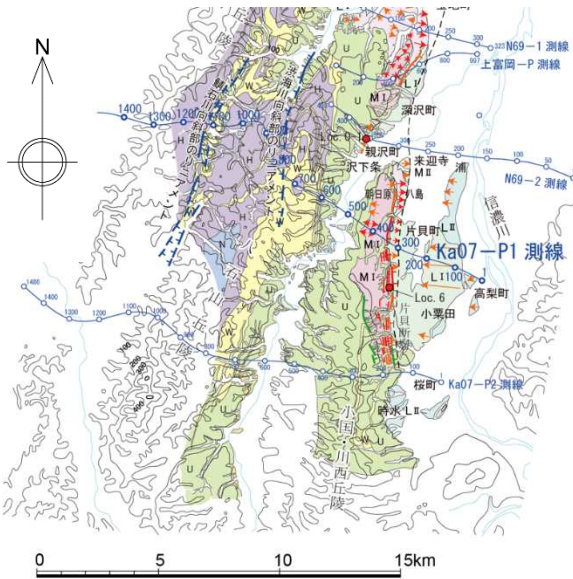
6.2.3 上富岡断層・親沢断層・片貝断層（反射法地震探査：片貝断層主部）

【Ka07-P1 測線】



Ka07-P1測線の深度断面及びその解釈

- 片貝断層中央部に位置するKa07-P1測線において、地表部の撓曲構造と調和的にIzテフラ（1.5Ma）層準以上の地層に西上がりの撓曲構造が認められ、Izテフラ層準以上の地層はほぼ平行に撓曲変形を示す。



凡例

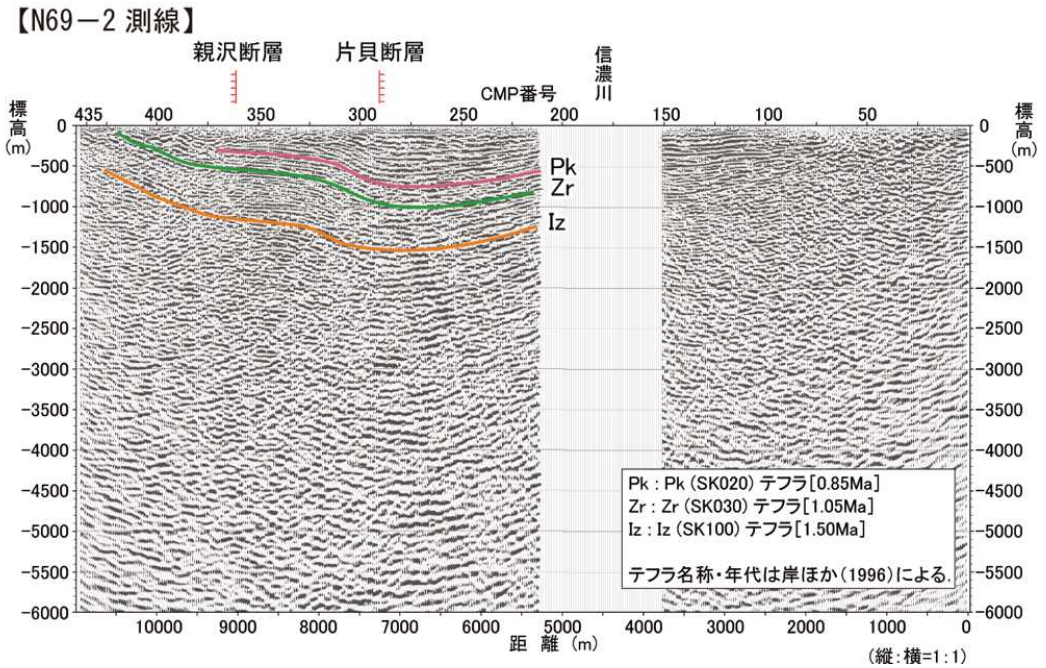
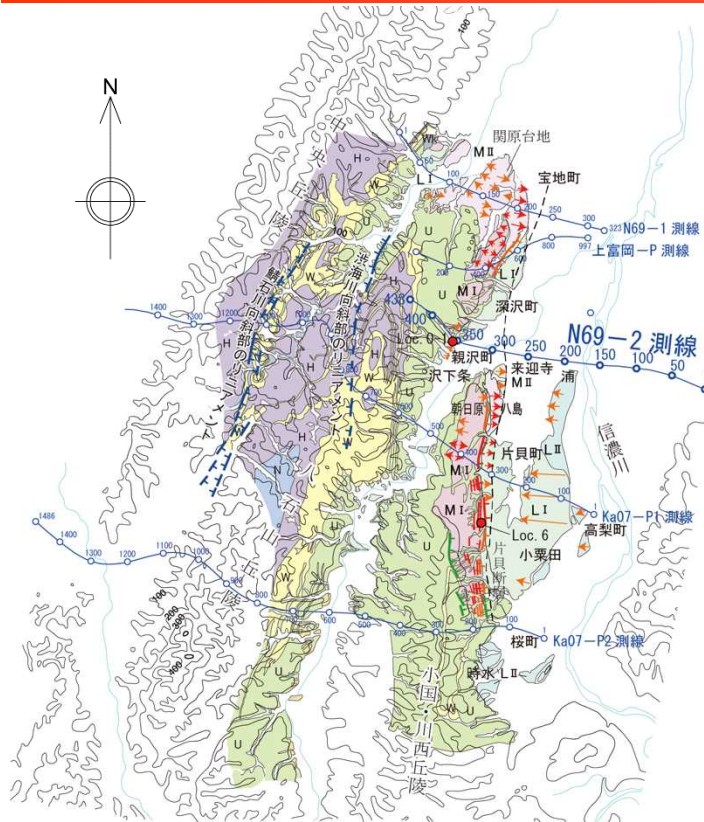
LII	LII面堆積物	ランク	LA	LB	LC	LD
LI	LI面堆積物	凡例	←	←	←	←
MII	MII面堆積物					
M1	M1面堆積物					
Wk	脇野町層(礫・砂・泥互層)					
U	魚沼層(礫・砂・泥互層)					
W	和南津層(砂岩)					
H	灰爪層(砂質泥岩)					
N	西山層(塊状泥岩)					

短線は低い側を、矢印の方向は撓りずれの方向を示す。
段丘面上の急傾斜部
矢印の方向は傾斜方向を示す。

300 400
反射法地震探査測線

上富岡断層・親沢断層・片貝断層周辺の地質図及び調査位置図

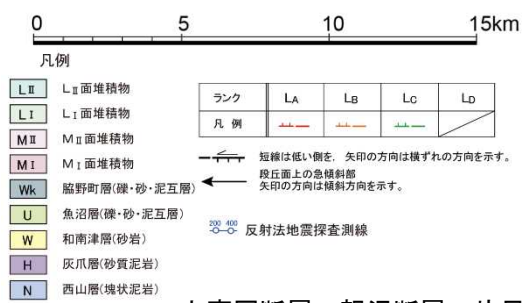
6.2.3 上富岡断層・親沢断層・片貝断層（反射法地震探査：片貝断層北方延長部）



この図は、昭和44年度天然ガス基礎調査基礎物理探査「長岡平野」の地震探査記録を基に、東京電力ホールディングス㈱が独自に再処理・解析し、作成したものです。

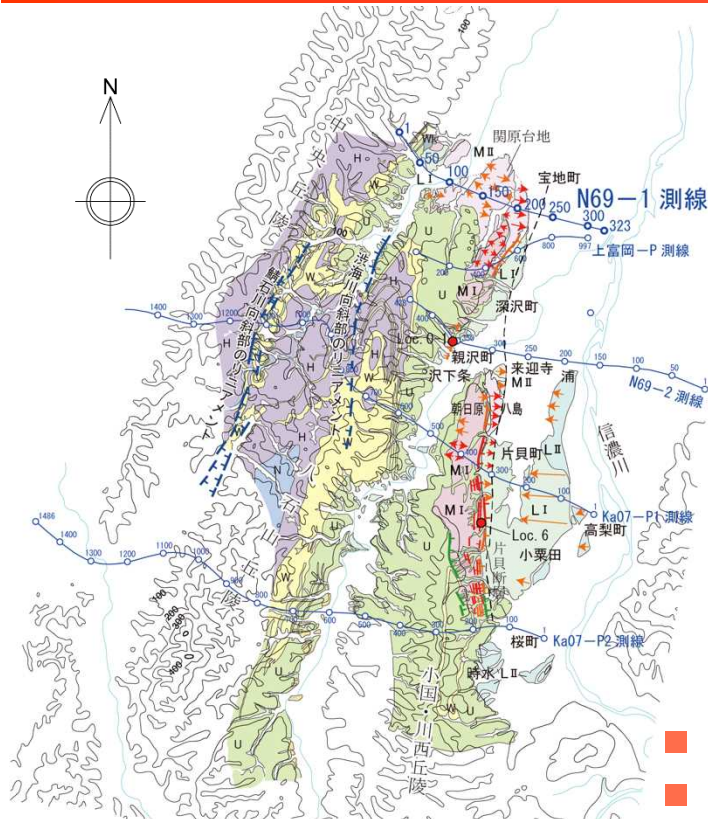
N69-2測線の深度断面及びその解釈

- 片貝断層北方延長部に位置するN69-2測線においては、傾斜が緩いものの、撓曲構造の連続が認められる。

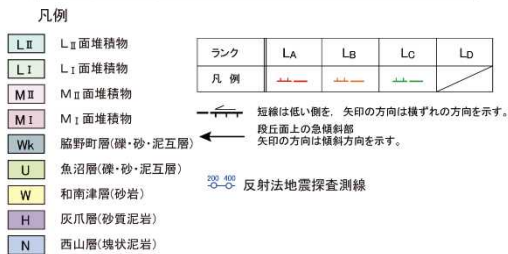


上富岡断層・親沢断層・片貝断層周辺の地質図及び調査位置図

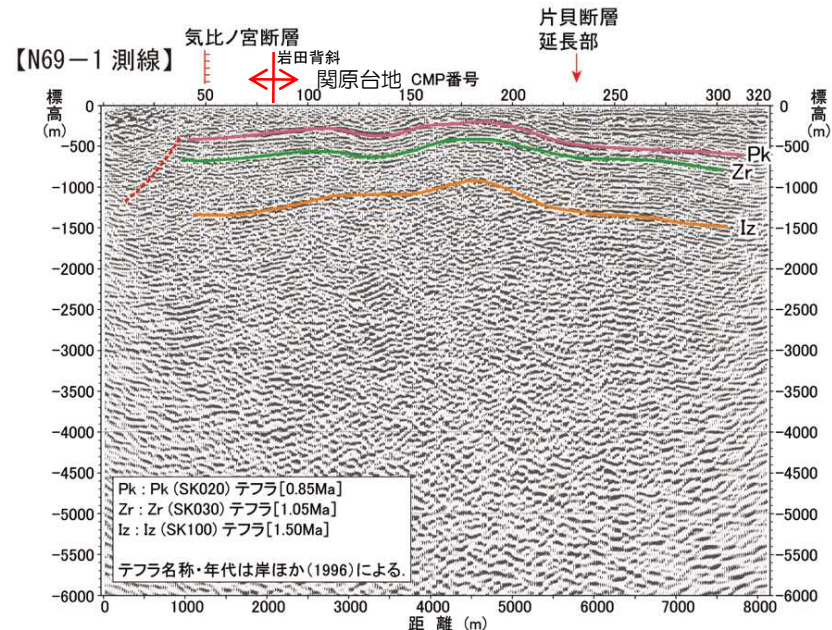
6.2.3 上富岡断層・親沢断層・片貝断層（反射法地震探査：片貝断層北端）



0 5 10 15km



上富岡断層・親沢断層・片貝断層周辺の地質図及び調査位置図



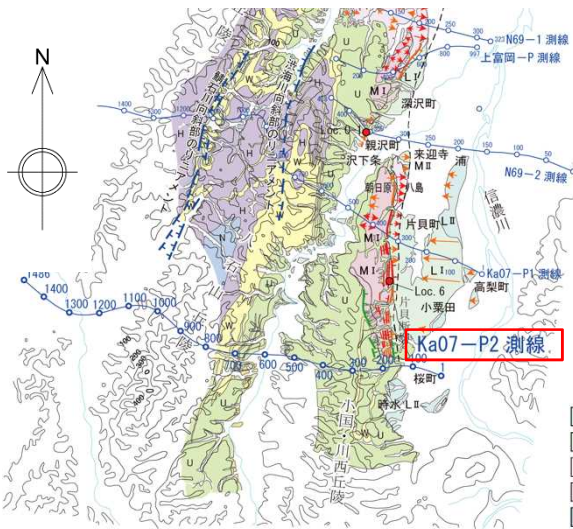
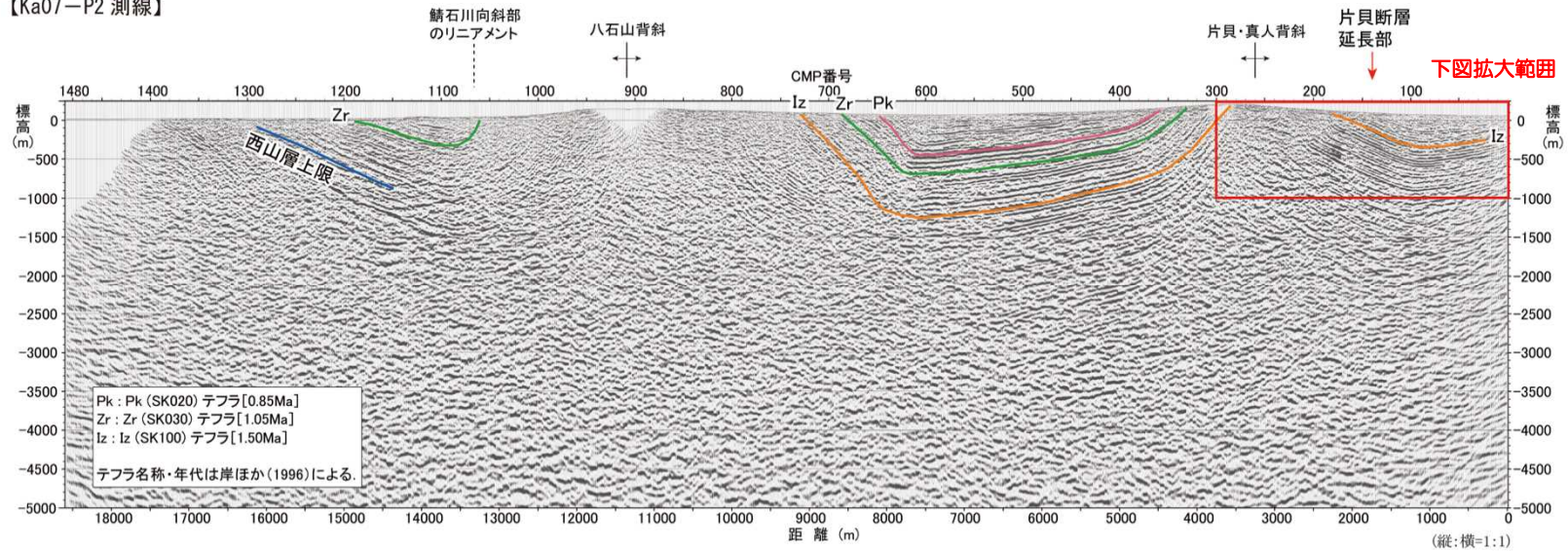
この図は、昭和44年度天然ガス基礎調査基礎物理探査「長岡平野」の地震探査記録を基に、東京電力ホールディングス様が独自に再処理・解析し、作成したものです。(縦:横=1:1)

N69-1測線の深度断面及びその解釈

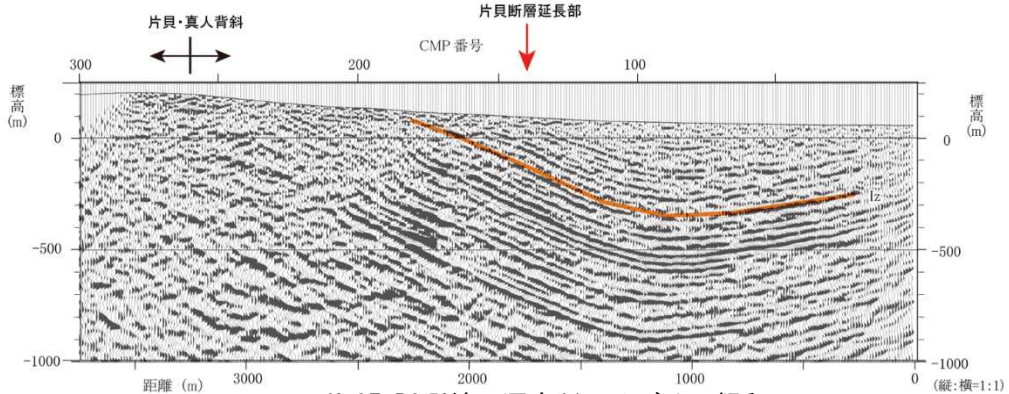
- 関原台地東側の沖積面下に、非常に緩やかな撓曲構造が伏在している。
- この撓曲構造は、岩田背斜の東翼に位置し、片貝断層とは背斜の単元が異なること、その形態も非常に緩やかな波状を示し、片貝断層が推定される急傾斜を伴う撓曲構造と異なることから、片貝断層とは別の構造であることも考えられる。
- しかし、この撓曲構造は、片貝断層の北方延長上に位置することから、片貝断層の北方延長部である可能性を考慮する。
- この場合、関原台地における段丘面の波状変形は、片貝断層の上盤における変形と考えられることから、片貝断層の北端は、関原台地における段丘面に波状変形が認められる範囲の北端部である宝地町付近と判断される。

6.2.3 上富岡断層・親沢断層・片貝断層（反射法地震探査：片貝断層南端）

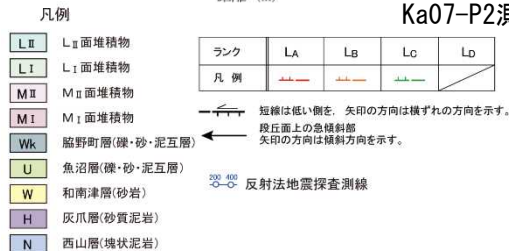
【Ka07-P2 測線】



上富岡断層・親沢断層・片貝断層周辺の地質図及び調査位置図

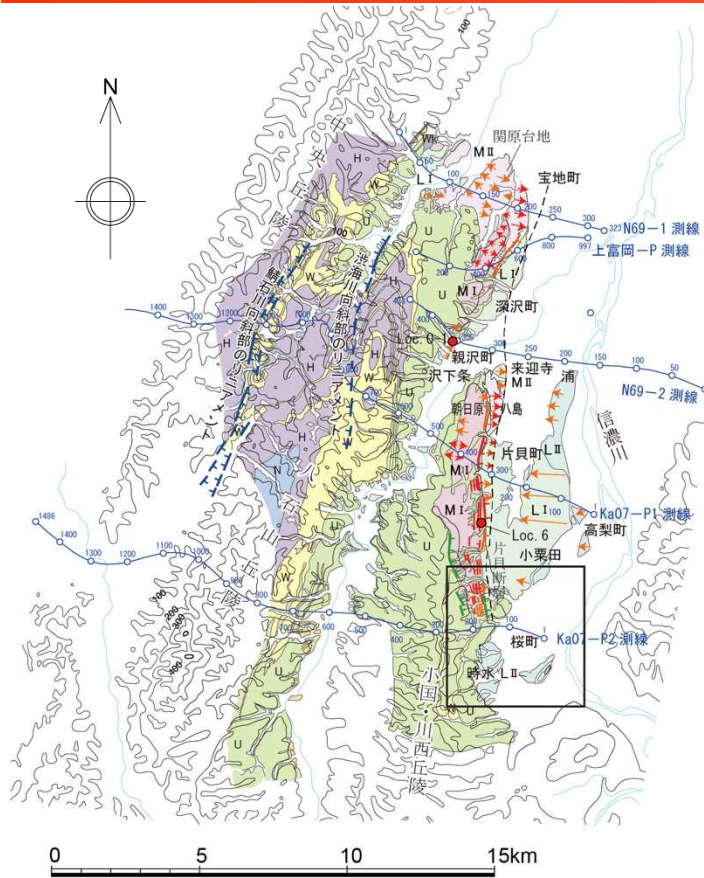


Ka07-P2測線の深度断面及びその解釈



■ 片貝断層南端に位置するKa07-P2測線においては、東傾斜の同斜構造を示し、撓曲構造は認められない。

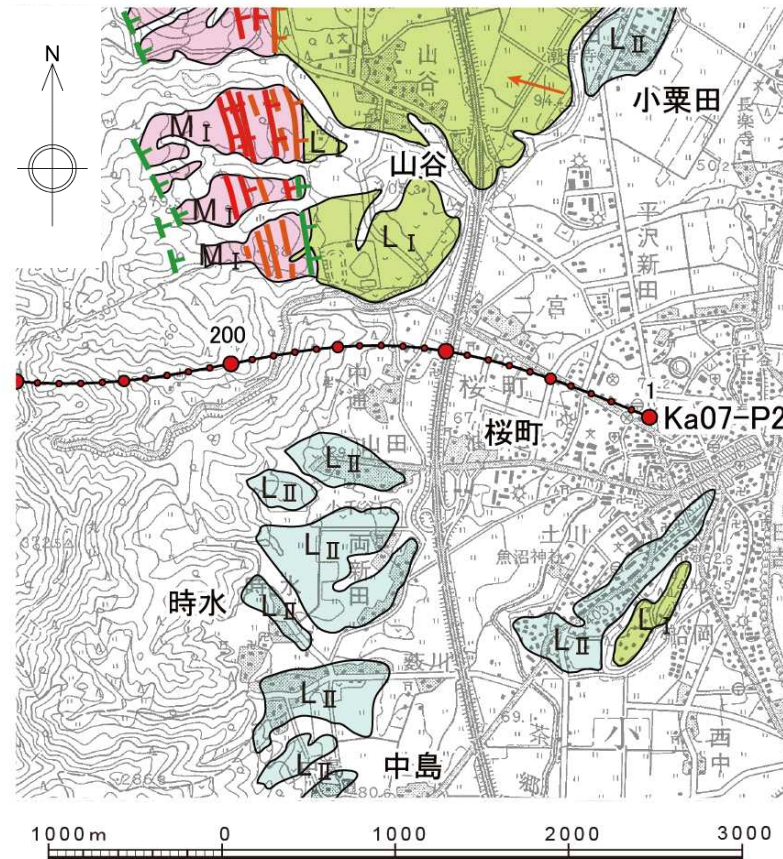
6.2.3 上富岡断層・親沢断層・片貝断層（片貝断層南端）



凡例

L _{II} 面堆積物	ランク	LA	LB	LC	LD
L _I 面堆積物	凡例	—	—	—	—
M _{II} 面堆積物					
M _I 面堆積物					
Wk 脇野町層(礫・砂・泥互層)	短線は低い側を、矢印の方向は横ずれの方向を示す。				
U 魚沼層(礫・砂・泥互層)	段丘面上の急傾斜部 矢印の方向は傾斜方向を示す。				
W 和南津層(砂岩)	300 400 反射法地震探査測線				
H 灰爪層(砂質泥岩)					
N 西山層(塊状泥岩)					

上富岡断層・親沢断層・片貝断層周辺の地質図及び調査位置図



桜町付近の空中写真判読図

凡例

段丘区分	記号
L _{II} 面 (MIS3~MIS2)	L _{II}
L _I 面 (MIS5a~MIS4)	L _I
M _{II} 面 (MIS5c)	M _{II}
M _I 面 (MIS5e)	M _I
H 面群 (MIS7)	H

●●●● 東京電力ホールディングス株式会社 反射法地震探査測線 (バイプレーター)

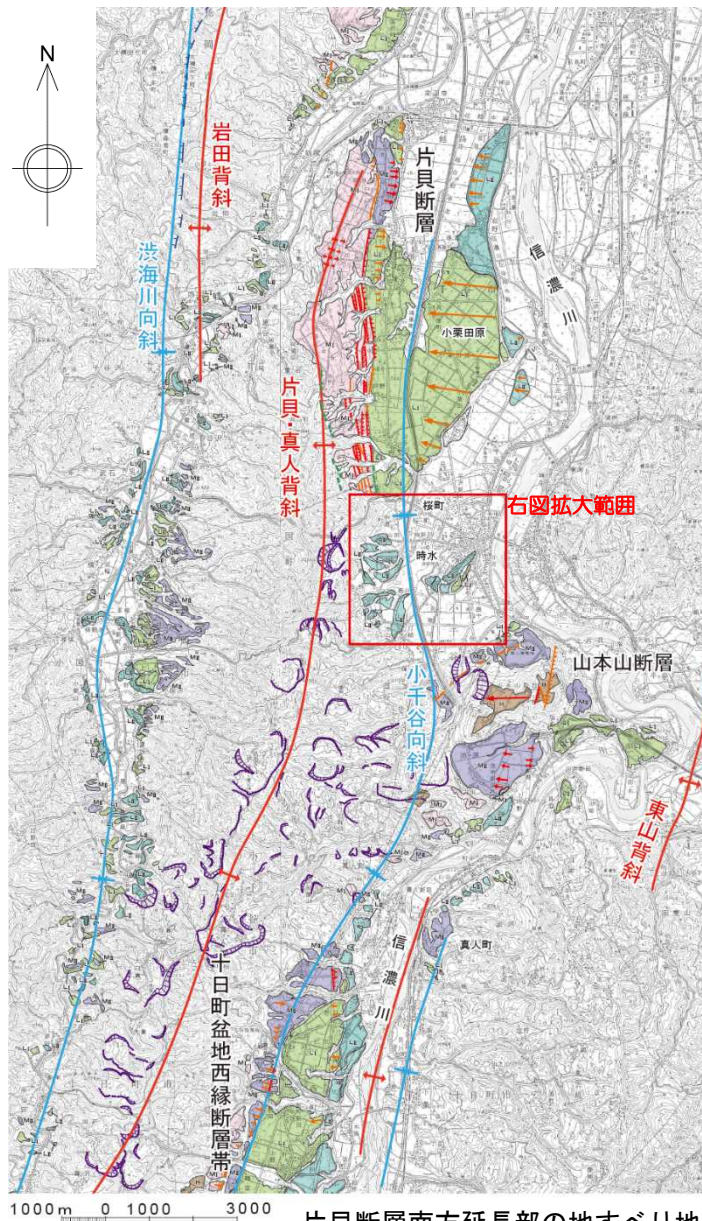
リニアメント

ランク	LA	LB	LC	LD
凡例	—	—	—	—

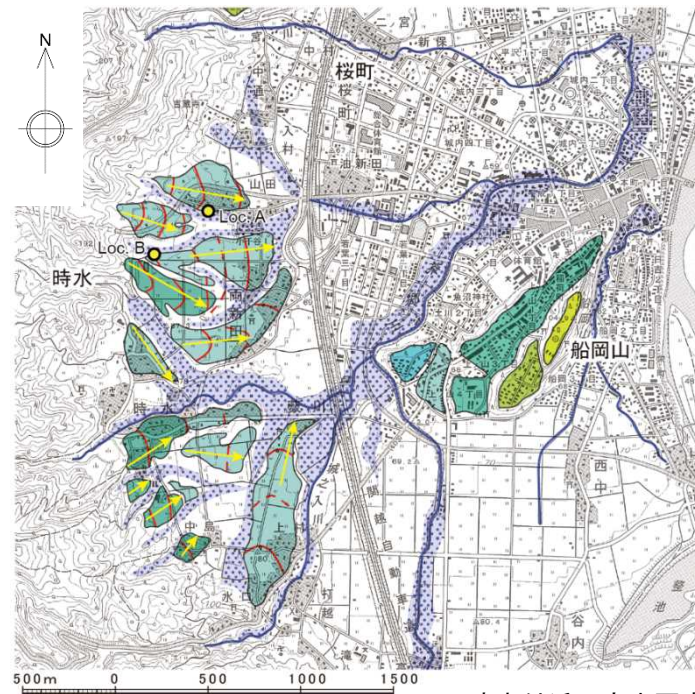
短線は低い側を、矢印の方向は横ずれの方向を示す。
段丘面上の急傾斜部
矢印の方向は傾斜方向を示す。

■ 桜町以南の段丘面に、リニアメントは判読されない。

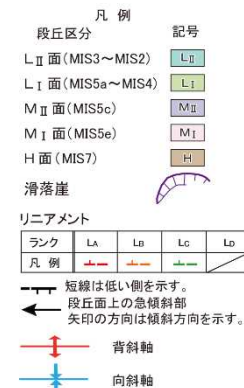
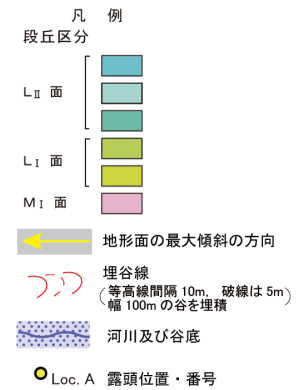
6.2.3 上富岡断層・親沢断層・片貝断層（片貝断層南端）



片貝断層南方延長部の地すべり地形と段丘面との関係

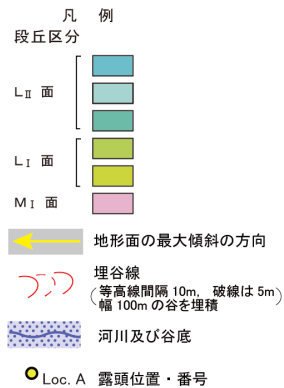
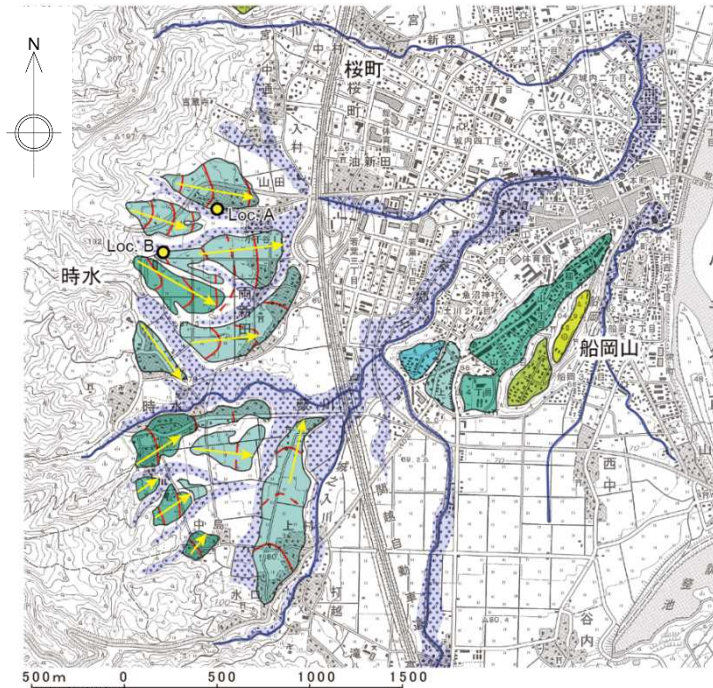


時水付近の空中写真判読図



- 小千谷向斜沿いの時水付近や真人町付近には、地すべりでマスクされていない段丘面が認められ、いずれもリニアメントは判読されない。
- 時水付近に分布するL_{II}面等には、「第四紀逆断層アトラス」(2002)等の一部の文献において傾動が示されているが、同L_{II}面は扇状地状の形態を示し、各面の最大傾斜方向は近接する現小河川の方向と一致していることから、それらの面に認められる傾斜は扇状地面の傾斜と判断される。

6.2.3 上富岡断層・親沢断層・片貝断層（片貝断層南端）

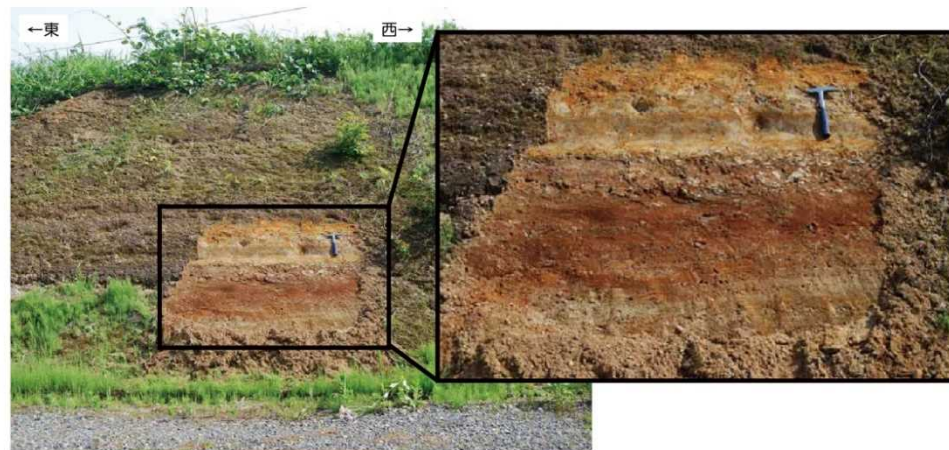


時水付近の空中写真判読図



露頭写真 (Loc. A, 時水)

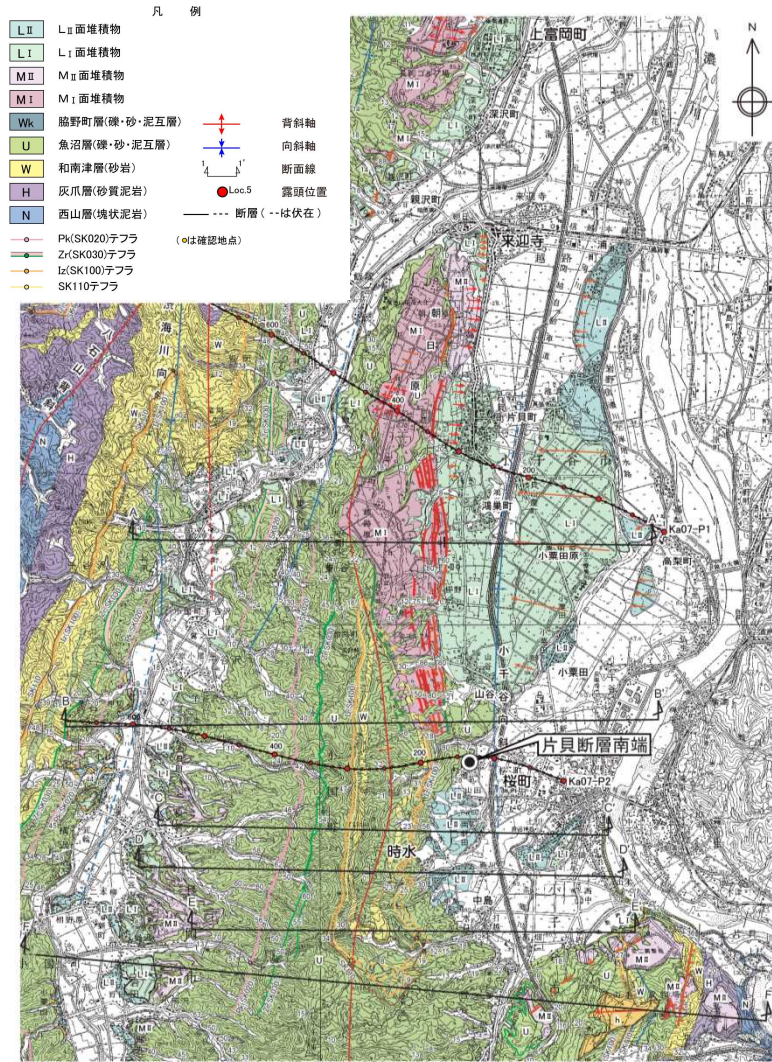
- Loc.Aにおいて、L_{II}面直下には、塊状の亜角礫層からなる土石流性の堆積物が分布しており、「第四紀逆断層アトラス」(2002)により傾動とされた傾斜は、同堆積物の堆積斜面と考えられる。



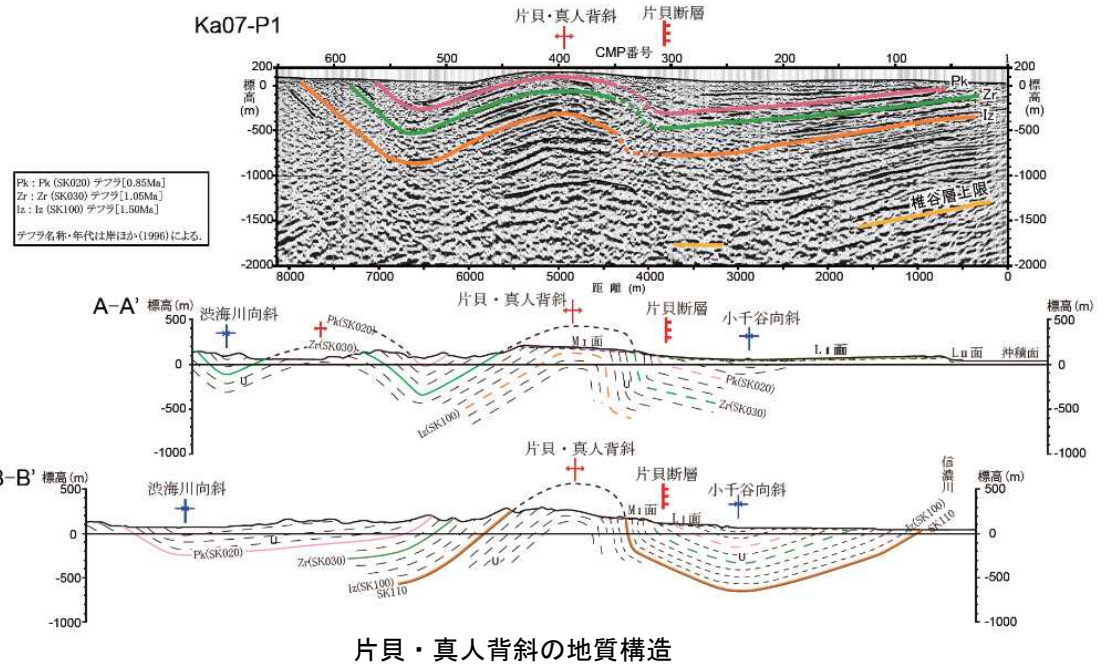
露頭写真 (Loc. B, 時水)

- Loc.Bにおいて、L_{II}面堆積物の下部は泥岩礫・砂・シルトの互層からなり、地形面の傾斜に比べて緩く分布する。

6.2.3 上富岡断層・親沢断層・片貝断層（片貝断層南端）



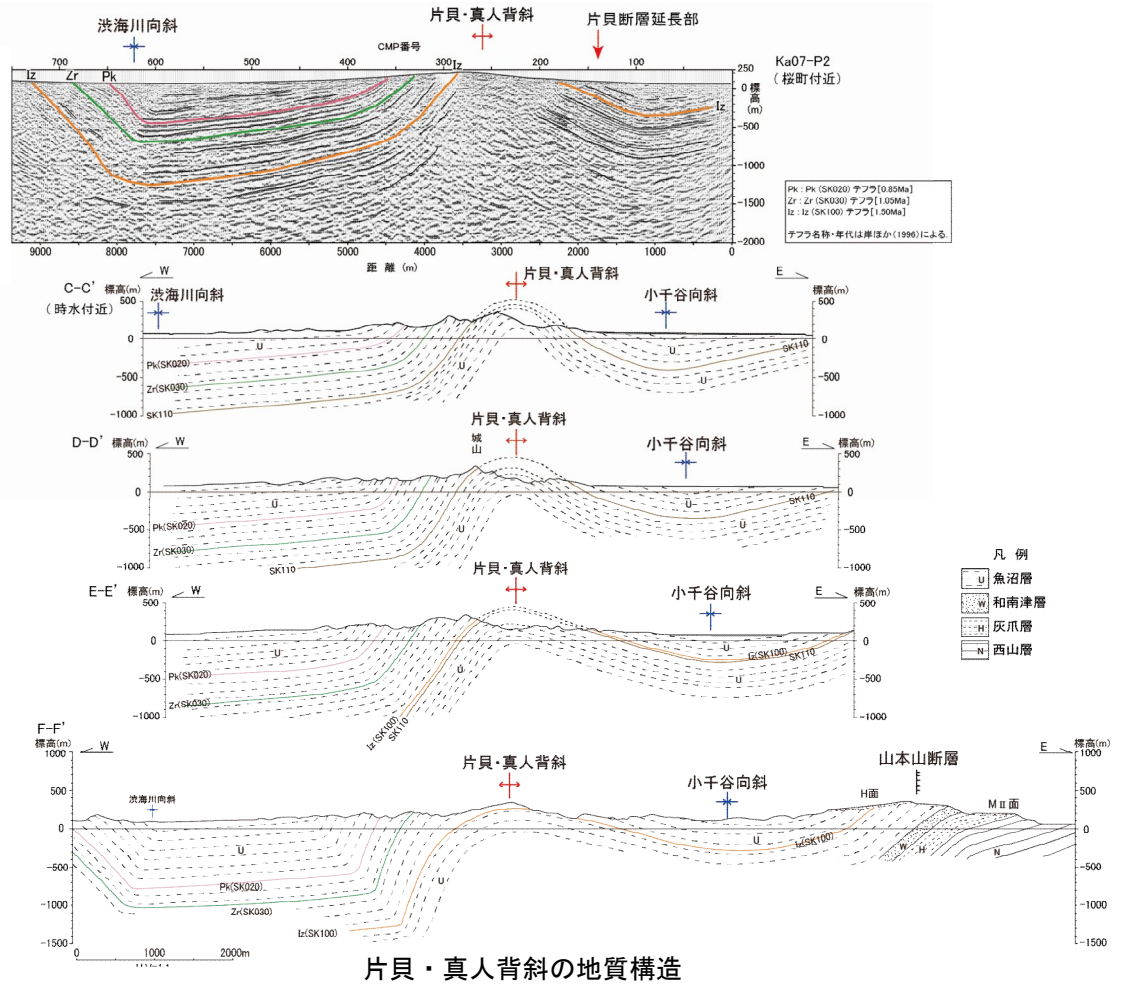
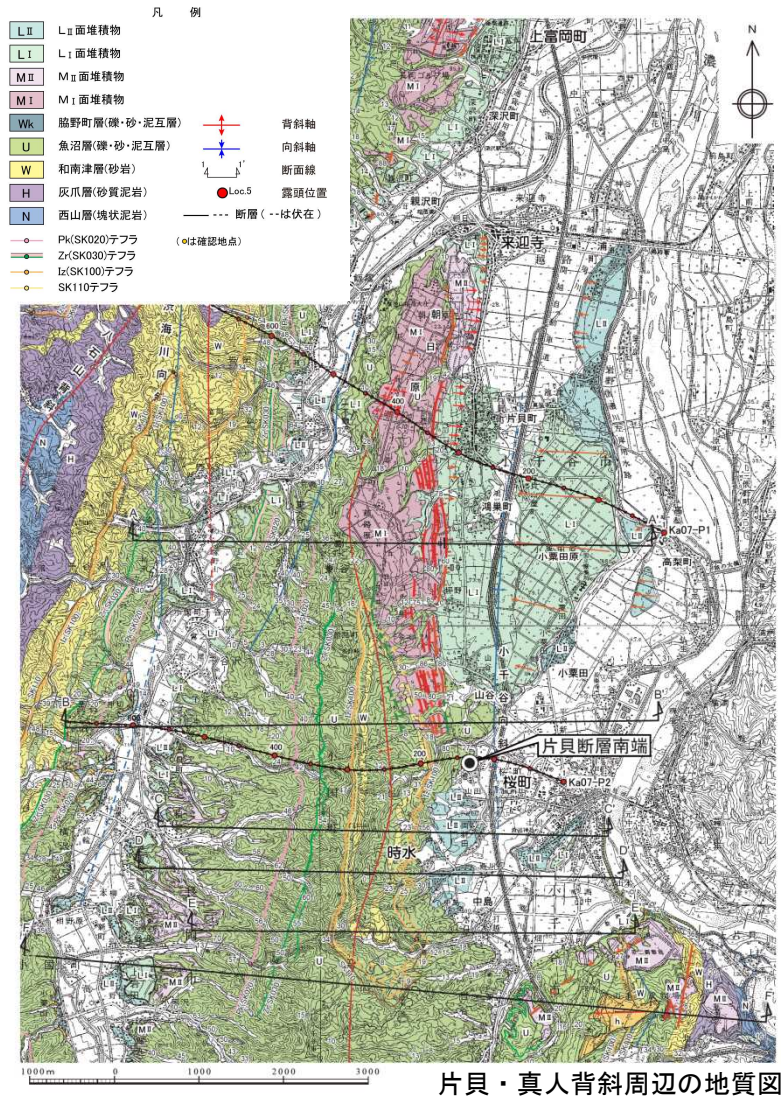
片貝・真人背斜周辺の地質図



片貝・真人背斜の地質構造

- 片貝・真人背斜は、B-B' 以北では東翼が急な構造を示す。

6.2.3 上富岡断層・親沢断層・片貝断層（片貝断層南端）



- 桜町付近 (Ka07-P2) 以南では、片貝・真人背斜は西翼が急な構造を示す。
- 時水付近以南においては、南になるに従い、片貝・真人背斜西翼は急な構造を示し、同背斜東翼の小千谷向斜は緩やかな長波長となる。

6.2.3 上富岡断層・親沢断層・片貝断層（片貝断層南端）

凡例

リニアメント
(十日町断層帯西部については北部のみ図示。)

凡例	ランク
	LA
	LB
	LC
	LD

短線は低い側を示す。短線がないリニアメントは、両側で高度の不連続が認められないもの。矢印は横ずれの方向を示す。

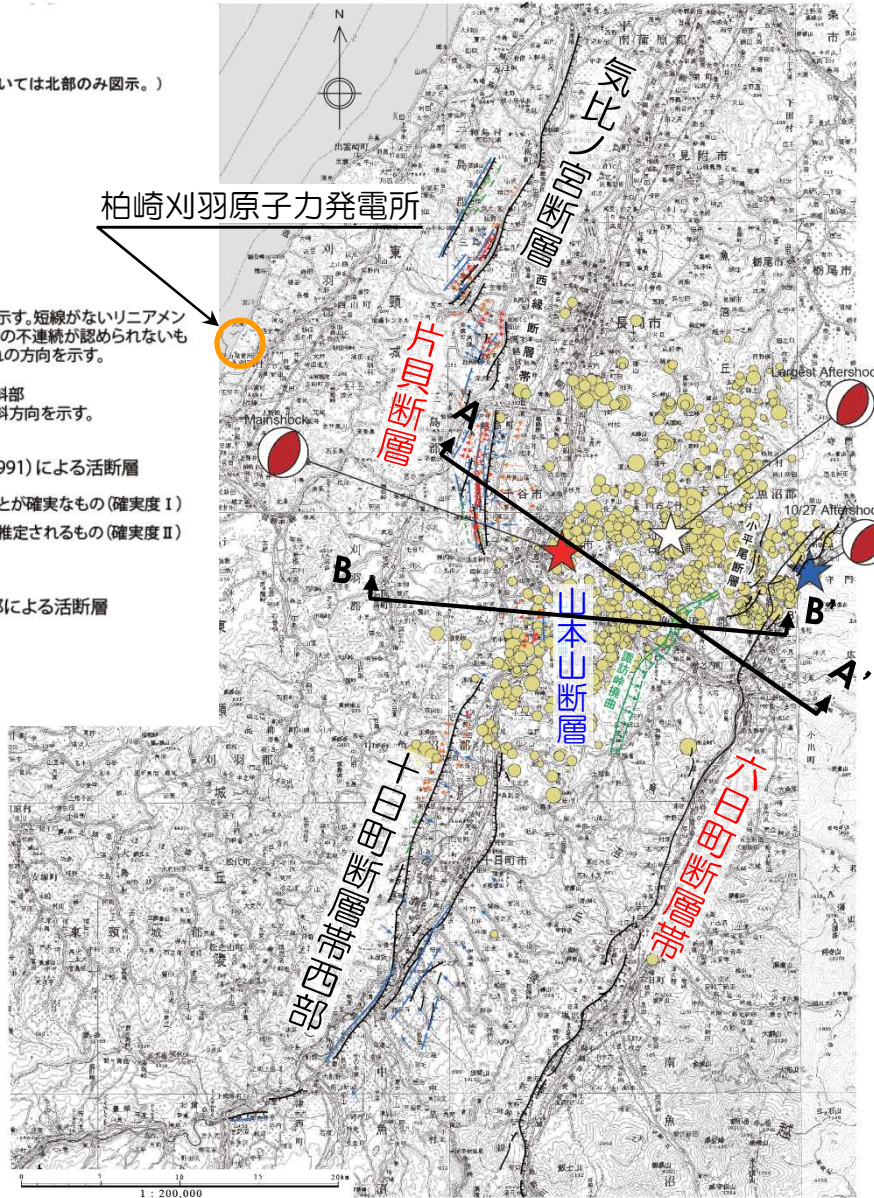
段丘面上の急傾斜部
矢印の方向は傾斜方向を示す。

「新編日本の活断層」(1991)による活断層

- 活断層であることが確実なもの(確実度 I)
- 活断層であると推定されるもの(確実度 II)
- 活傾動

地震調査研究推進本部による活断層

A A'
4 断面線

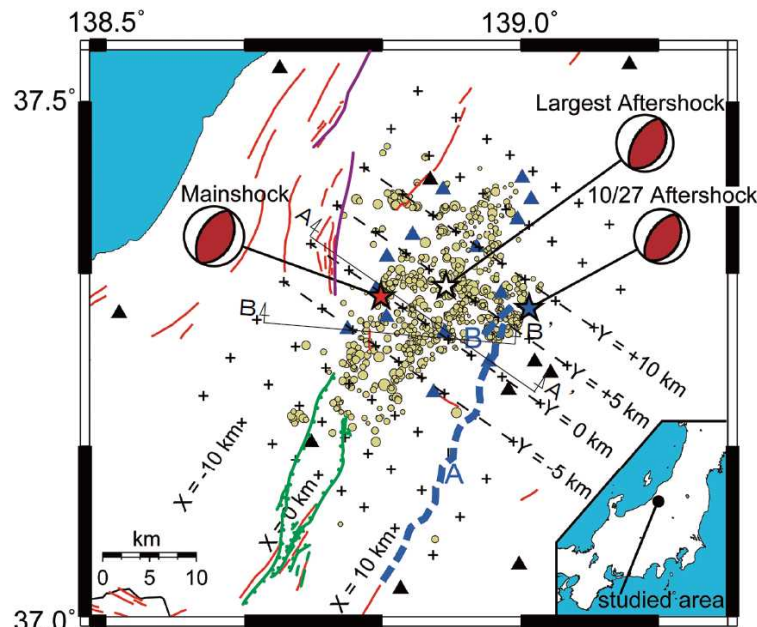


新潟県中越地震の震央分布図及び周辺に分布する断層との関係

- 地震調査委員会(2004)により六日町断層帯が示されている地域において、2004年(平成16年)10月23日に新潟県中越地震(M6.8, 逆断層タイプ)が発生している。

6.2.3 上富岡断層・親沢断層・片貝断層（片貝断層南端）

- Okamura et al. (2007) は、片貝・真人背斜の東方に分布する東山背斜等の褶曲形態に基づいて、バランス断面法により新潟県中越地震の震源断層モデルを推定している。
- その結果、東山背斜を成長させるような西上がりの逆断層を示し、Kato et al. (2005) による中越地震の本震・余震分布と調和的であるとしている。



Maps of the relocated aftershock hypocenters determined in this study, shown as yellow circles scaled to the earthquake magnitude. The three stars denote the hypocenters of the mainshock, the largest aftershock ($M_w = 6.3$, Oct. 23) (relocated with the double difference data using the obtained velocity structure), and the $M_w = 5.8$ aftershock (Oct. 27), respectively, with the moment tensor from NIED. The blue and black triangles denote the temporary seismic stations and permanent stations, respectively. The grids used in the tomography (crosses) and horizontal lines (broken lines) for cross sections in Figure 2 are shown. The Muikamachi (A) and Obiro (B) faults are shown by blue broken lines, and the other major active faults are drawn as red lines.

— 東京電力網による長岡平野西縁断層帯
— 地震調査研究推進本部による十日町断層帯

Kato et al.(2005)に追記

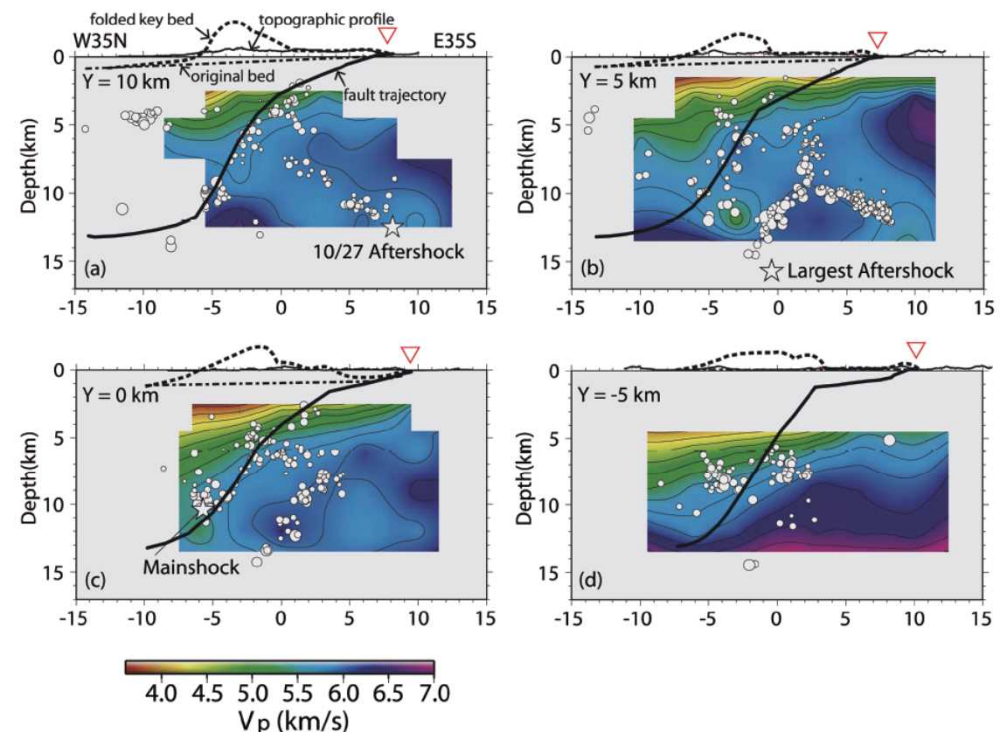


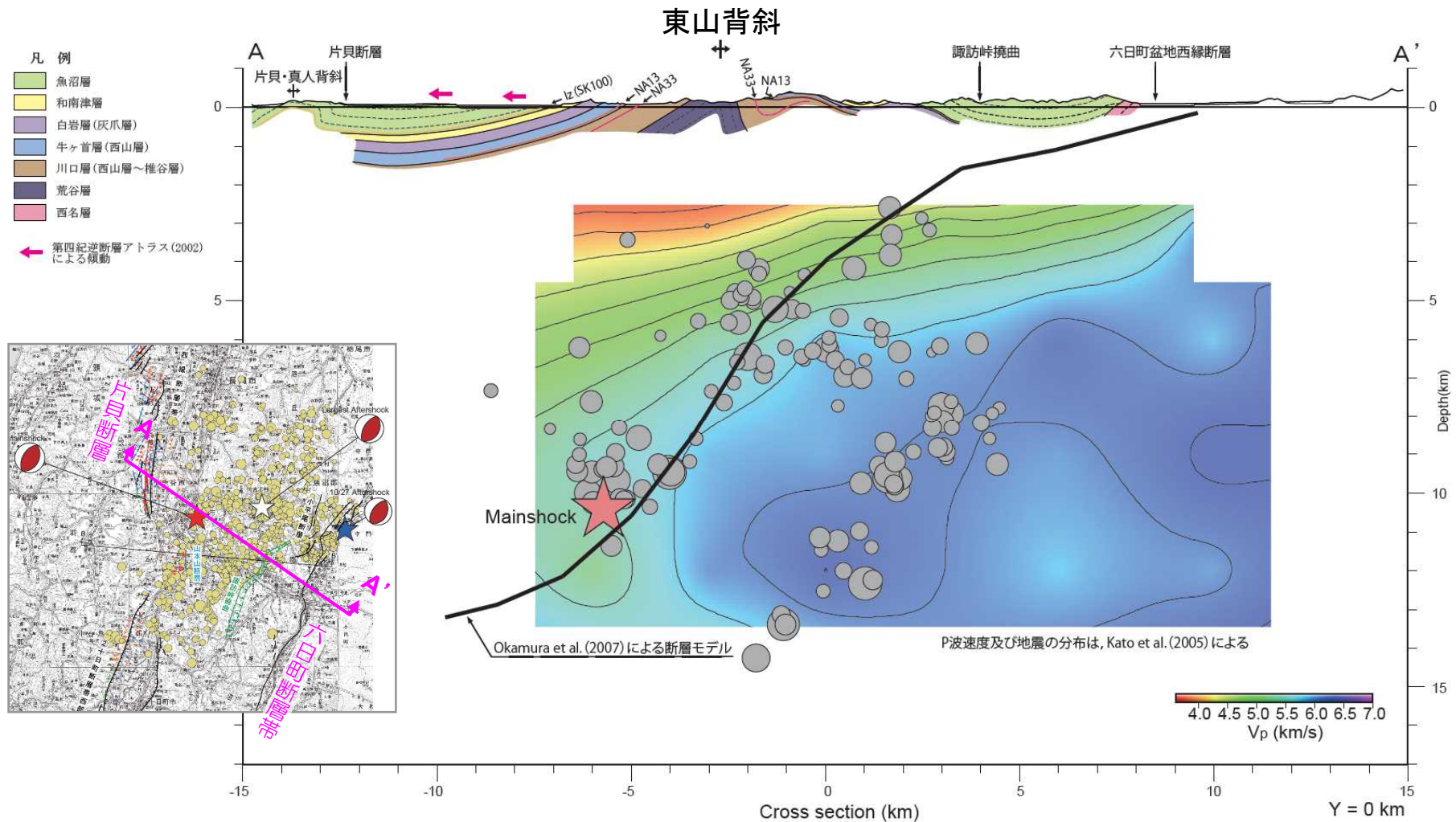
Figure 6. Fault models and aftershocks on cross sections. Fault models were constructed along the cross sections from geologic structure along which Kato *et al.* [2005a] depicted the precise aftershock distribution and velocity structure. The locations of the cross sections are shown in Figure 5.

▽ : 六日町盆地西縁断層

Okamura et al.(2007)に追記

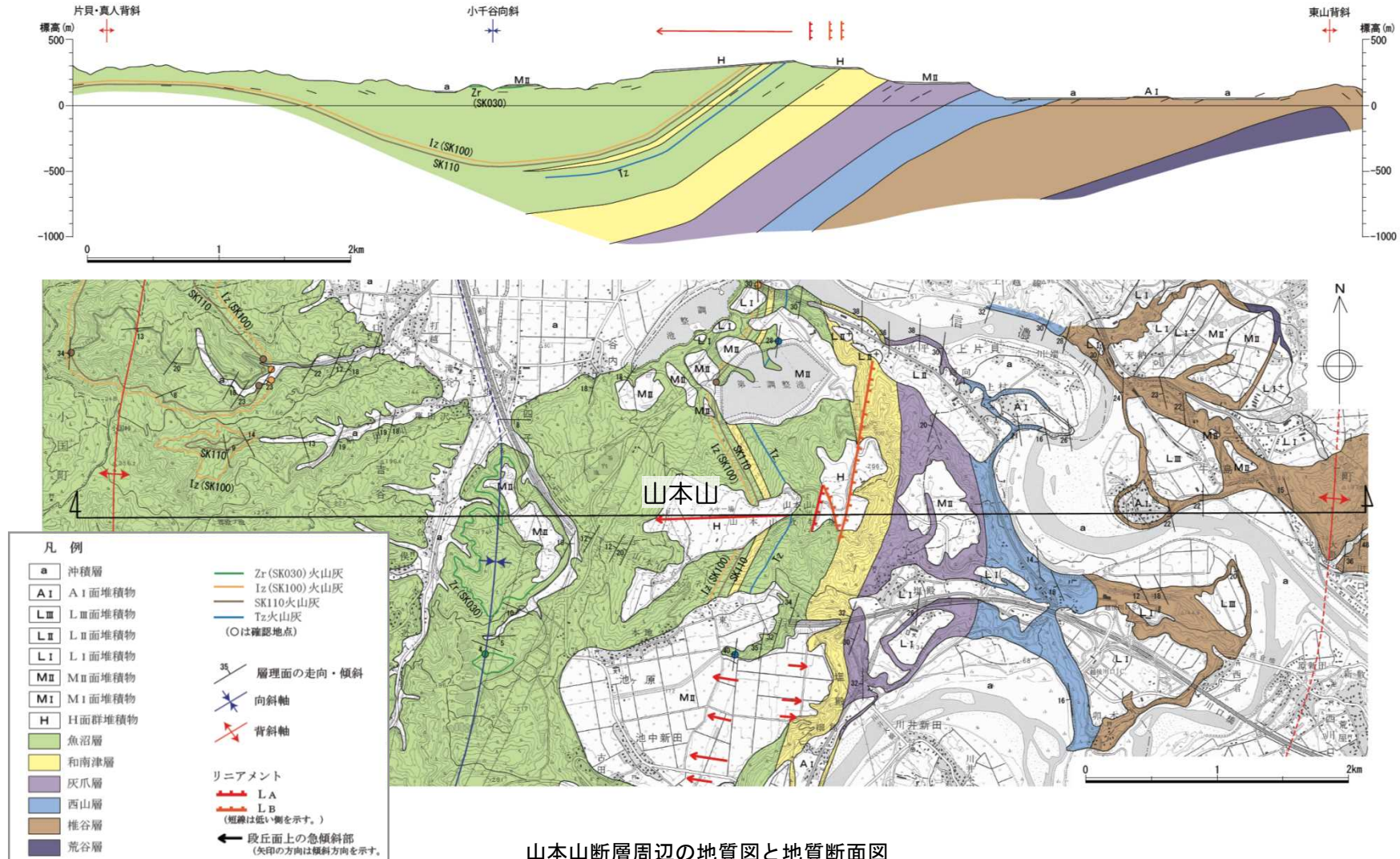
6.2.3 上富岡断層・親沢断層・片貝断層（片貝断層南端）

- 片貝断層の東側に示されている西方への傾動は、東山背斜西翼に位置しており、新潟県中越地震の震源断層（西上がりの逆断層）の活動に伴う東山背斜西翼側の傾動によるものと解釈される。



6.2.3 上富岡断層・親沢断層・片貝断層（片貝断層南端）

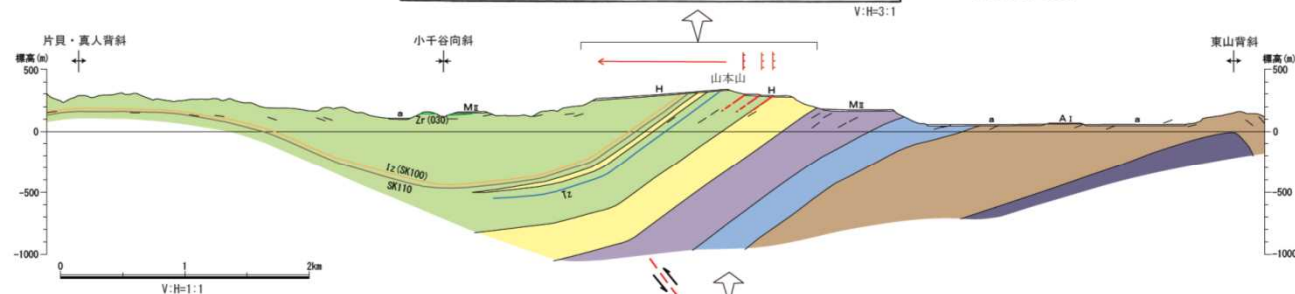
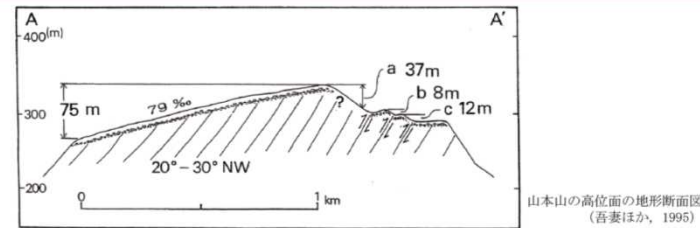
- 山本山付近においては、魚沼層以下の地層が $30^{\circ} \sim 40^{\circ}$ 程度の急傾斜を示し、H面等を西方に傾動させていることから、その地下には東上がりの逆断層が想定される。



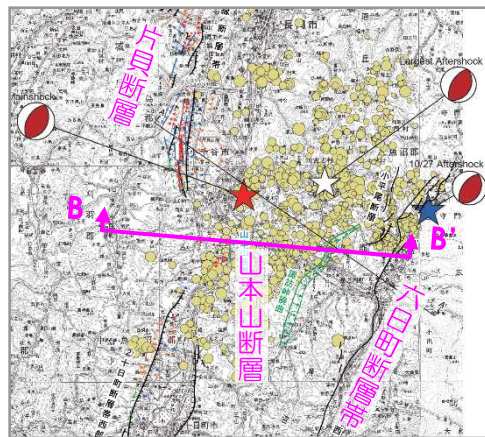
山本山断層周辺の地質図と地質断面図

6.2.3 上富岡断層・親沢断層・片貝断層（片貝断層南端）

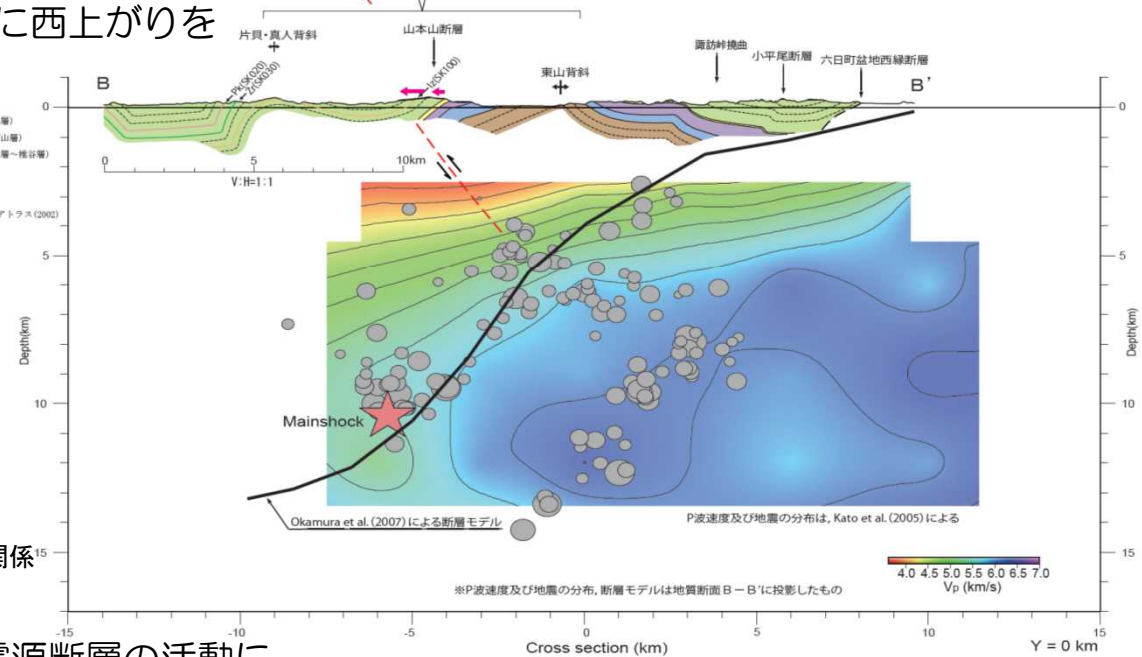
- 山本山付近に想定される東上がりの逆断層は，新潟県中越地震の震源断層との位置関係から，そのバックストラストと考えられる。



- 山本山付近において魚沼層以下の地層に西上がりを示唆する構造が認められない。



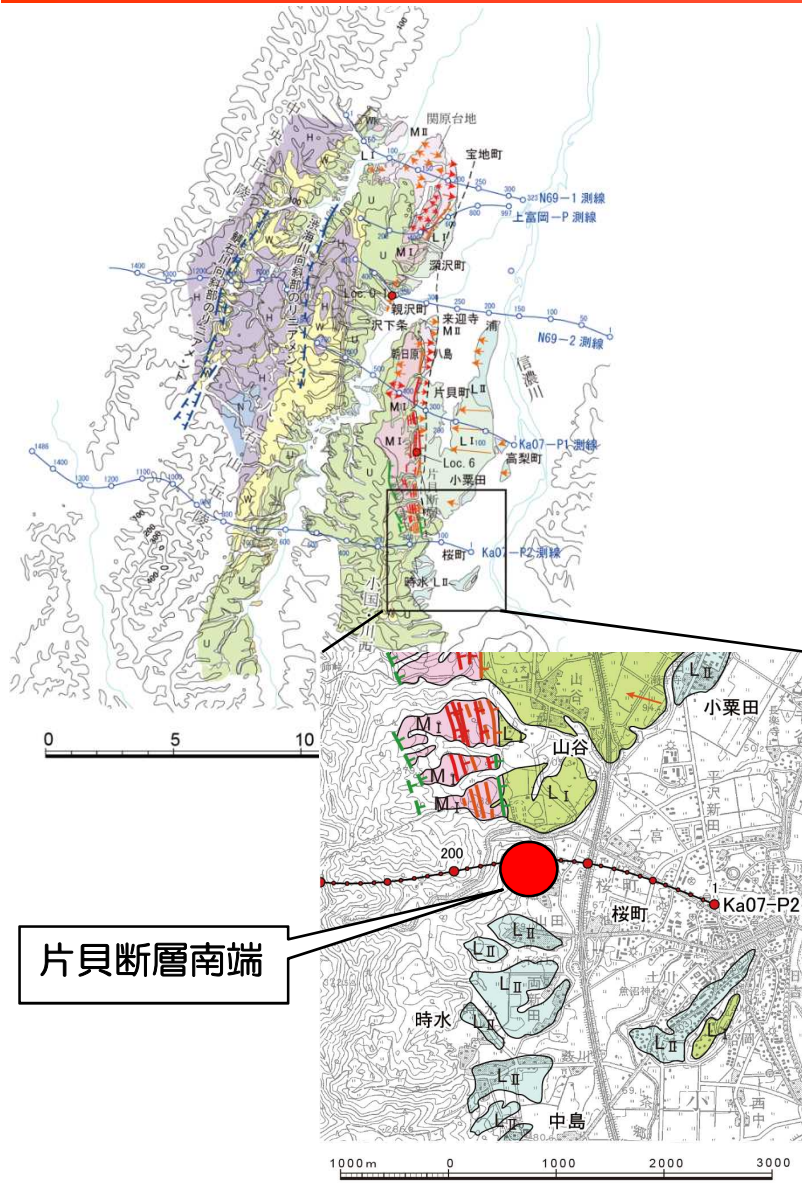
新潟県中越地震の震央分布図及び周辺に分布する断層との関係



山本山断層と新潟県中越地震の震源断層との関係

- 以上のことから，山本山断層は，上記震源断層の活動に伴う副次的に形成された層面すべり断層と考えられる。

6.2.3 上富岡断層・親沢断層・片貝断層（片貝断層南端）



桜町付近の空中写真判読図

- 地震調査委員会（2004）は、片貝断層の南端を小千谷市桜町付近としている。
- 小千谷市桜町以南においてリニアメントは判読されない。
- 一部の文献において傾動が示されている小千谷市時水付近のL_{II}面は、扇状地面の傾斜と判断される。
- 同町以南では、片貝・真人背斜の地質構造が同町以北と異なる。
- 同町を横断する反射法地震探査結果によると、東傾斜の同斜構造を示し、片貝断層から連続する撓曲構造は認められない。
- また、片貝断層の南方の山本山断層は、新潟県中越地震の震源断層と関連する副次的な断層と判断される。
- 以上のことから、片貝断層の南端を小千谷市桜町付近とする。

6.2.3 上富岡断層・親沢断層・片貝断層（評価）

【活動性】

- 空中写真判読結果によると、長岡市来迎寺から小千谷市桜町に至る約9km間に、ほぼN-S方向に並走する数条の L_A 、 L_B リニアメント、一部 L_C リニアメントが判読される。
- 地表地質調査結果によると、来迎寺から小千谷市時水に至る約10km間においては、片貝・真人背斜東翼部に分布する魚沼層は東西幅100m～300mにわたって東急傾斜を示し、撓曲構造を形成している。同背斜軸部から上記の撓曲を横断して分布する M_I 面～ L_I 面は、魚沼層の褶曲構造と調和的に長ドーム状に変形している。東急傾斜を示す魚沼層内に層理面に平行な断層が数条認められ、その上位を覆う段丘堆積物等に変位を与えており、長ドーム状を呈する段丘面上に判読される逆向きの低崖に対応している。
- 反射法地震探査結果によると、片貝断層中央部に位置するKa07-P1測線において、地表部の撓曲構造と調和的にIzテフラ（1.5Ma）層準以上の地層に西上がりの撓曲構造が認められ、Izテフラ層準以上の地層はほぼ平行に撓曲変形を示す。
- 片貝・真人背斜東翼部には魚沼層の撓曲構造が連続し、同層を不整合に覆う L_{II} 面以上の段丘面及びそれらの段丘堆積物に魚沼層の地質構造に調和した変形が認められることから、片貝断層の後期更新世以降における活動があったものと判断される。
- 上富岡断層については、リニアメントに対応する断層の存否は不明であるが、同断層が示されている付近では魚沼層及び段丘面に波状の褶曲が認められることから、褶曲に伴って極表層部に生じた断層が存在する可能性は否定できない。しかしながら、反射法地震探査結果によると、地下深部へ連続する断層は認められないことから、断層が存在するとしても、片貝断層の上盤側の変形に伴う副次的なものと評価される。
- 親沢断層については、後期更新世において累積変位を示す東傾斜の逆断層であるものの、反射法地震探査結果によると同断層の近深部への連続は認められず、累積変位量が小さく、長さも短いことから、片貝断層上盤の変形に伴う副次的な断層と評価される。

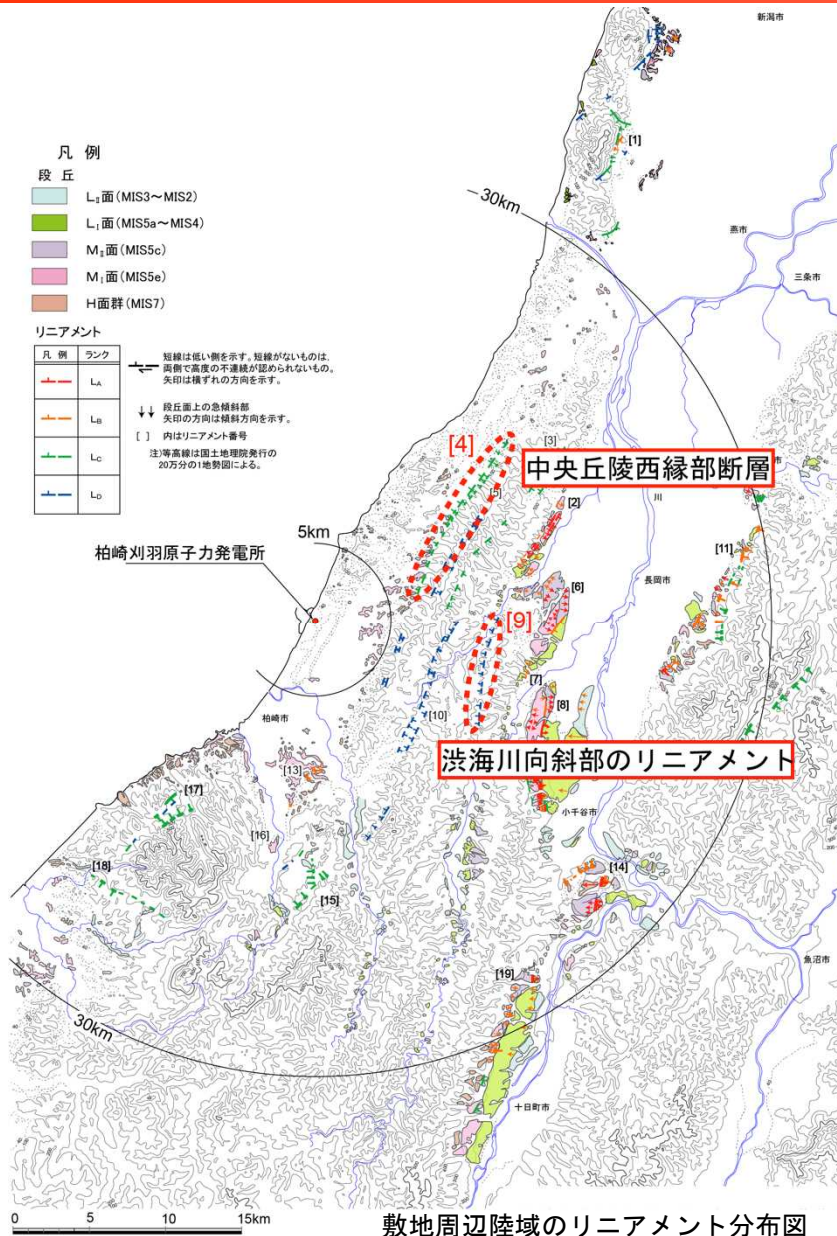
6.2.3 上富岡断層・親沢断層・片貝断層（評価）

【活動性を考慮する長さ】

- 関原台地における段丘面の波状変形が片貝断層の上盤における変形である可能性が否定できないことから、同断層の北端は、関原台地における段丘面に波状変形が認められる範囲の北端部の長岡市宝地町付近と判断される。
- 小千谷市桜町以南においてリニアメントが判読されないこと、同町付近において片貝・真人背斜の地質構造が異なること、片貝断層の南方の山本山断層が新潟県中越地震の震源断層と関連する断層であることから、片貝断層の南端は小千谷市桜町付近であると判断される。来迎寺以北の沖積面下にも撓曲構造が認められ、さらに北方の関原台地東側の沖積面下にも緩やかな撓曲構造が認められる。
- 以上のことから、片貝断層の長さを長岡市宝地町付近から小千谷市桜町付近までの約16kmと評価する。

1.	文献調査	• • •	4
2.	敷地周辺陸域の地形	• • •	7
3.	敷地周辺陸域の地質	• • •	9
4.	敷地周辺陸域の変動地形	• • •	11
5.	敷地周辺陸域の地質構造	• • •	14
6.	断層の評価		
6.1	概要	• • •	18
6.2	活断層の評価	• • •	20
6.2.1	角田・弥彦断層	• • •	20
6.2.2	気比ノ宮断層	• • •	36
6.2.3	上富岡断層・親沢断層・片貝断層	• • •	52
6.3	副次的な構造に関する評価	• • •	81
6.3.1	中央丘陵西縁部断層	• • •	83
6.3.2	渋海川向斜部のリニアメント	• • •	98
6.4	その他のリニアメント・断層に関する評価	• • •	103
7.	断層の連動可能性評価		
7.1	長岡平野西縁断層帯	• • •	176
7.2	長岡平野西縁断層帯と十日町断層帯西部	• • •	183

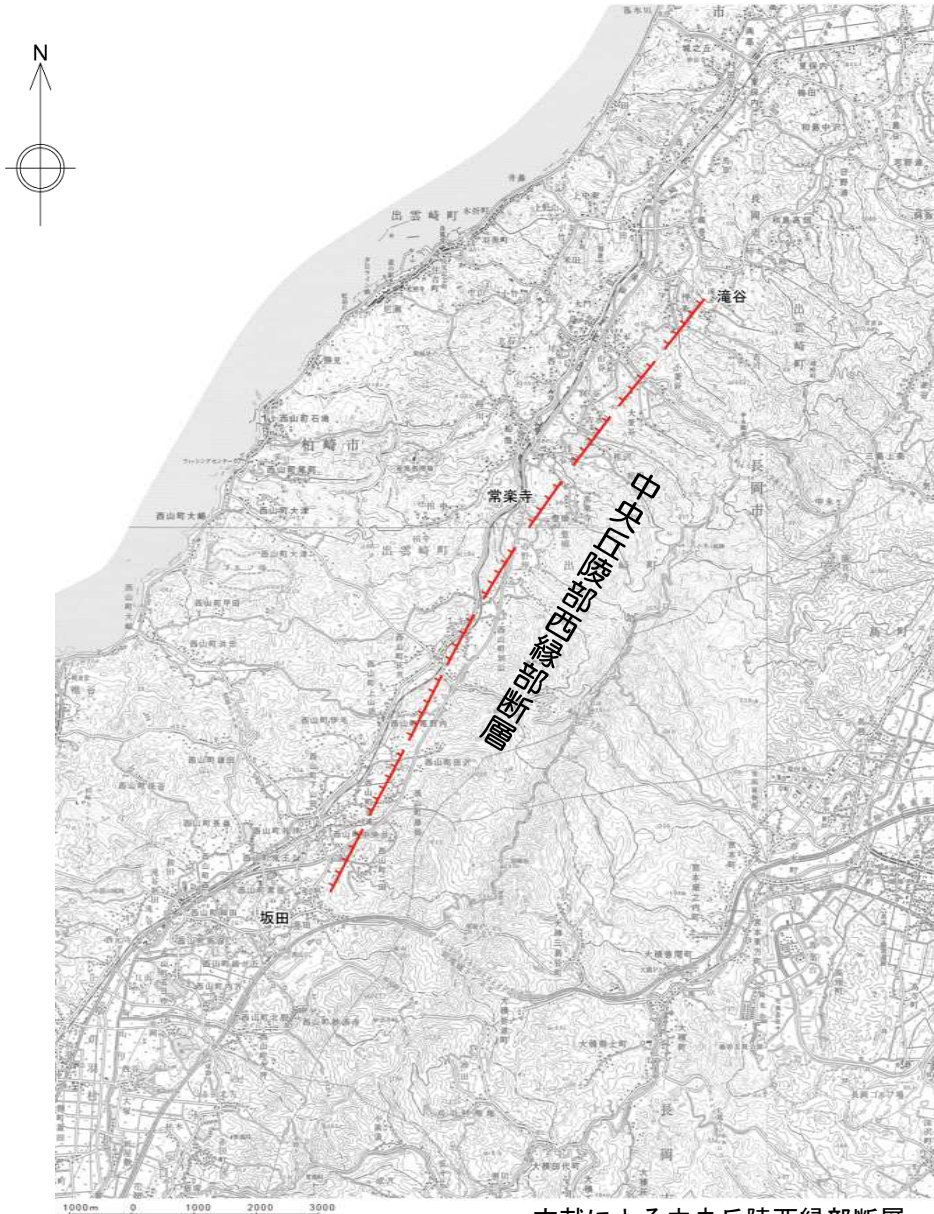
6.3 副次的な構造に関する評価



- 長岡平野西縁断層帯の上盤側の副次的な構造と評価した中央丘陵西縁部断層と渋海川向斜部のリニアメントの評価内容について以下に示す。

1.	文献調査	• • •	4
2.	敷地周辺陸域の地形	• • •	7
3.	敷地周辺陸域の地質	• • •	9
4.	敷地周辺陸域の変動地形	• • •	11
5.	敷地周辺陸域の地質構造	• • •	14
6.	断層の評価		
6.1	概要	• • •	18
6.2	活断層の評価	• • •	20
6.2.1	角田・弥彦断層	• • •	20
6.2.2	気比ノ宮断層	• • •	36
6.2.3	上富岡断層・親沢断層・片貝断層	• • •	52
6.3	副次的な構造に関する評価	• • •	81
6.3.1	中央丘陵西縁部断層	• • •	83
6.3.2	渋海川向斜部のリニアメント	• • •	98
6.4	その他のリニアメント・断層に関する評価	• • •	103
7.	断層の連動可能性評価		
7.1	長岡平野西縁断層帯	• • •	176
7.2	長岡平野西縁断層帯と十日町断層帯西部	• • •	183

6.3.1 中央丘陵西縁部断層（文献調査結果）



- 「[新編] 日本の活断層」(1991), 「活断層詳細デジタルマップ」(2002) 及び「信越地域活構造図」(1979) は、長さ約11km間に推定活断層を示し、「[新編] 日本の活断層」(1991) は活動度をB級としている。
- 「活構造図-新潟」(1984) は、上記とほぼ同位置に長さ約11.5kmの推定活断層を示している。

凡例

- 活断層*
- 推定活断層*
- 活断層の疑のあるリニアメント**

★ 「日本活断層図」(1978), 「信越地域活構造図」(1979), 「活構造図-新潟」(1984), 「[新編] 日本の活断層」(1991) 及び吉岡ほか(1987)による。
 **★ 「[新編] 日本の活断層」(1991)による。

注) 等高線は国土地理院発行の20万分の1地勢図による。

「活断層詳細デジタルマップ」(2002)

新断層位置・形態の表現	縦ずれ	横ずれ	活断層	活断層	活断層
確定					
不確か					
不明					

注) 等高線は国土地理院発行の20万分の1地勢図による。

「第四紀逆断層アトラス」(2002)

- 活断層 (破線は推定断層)

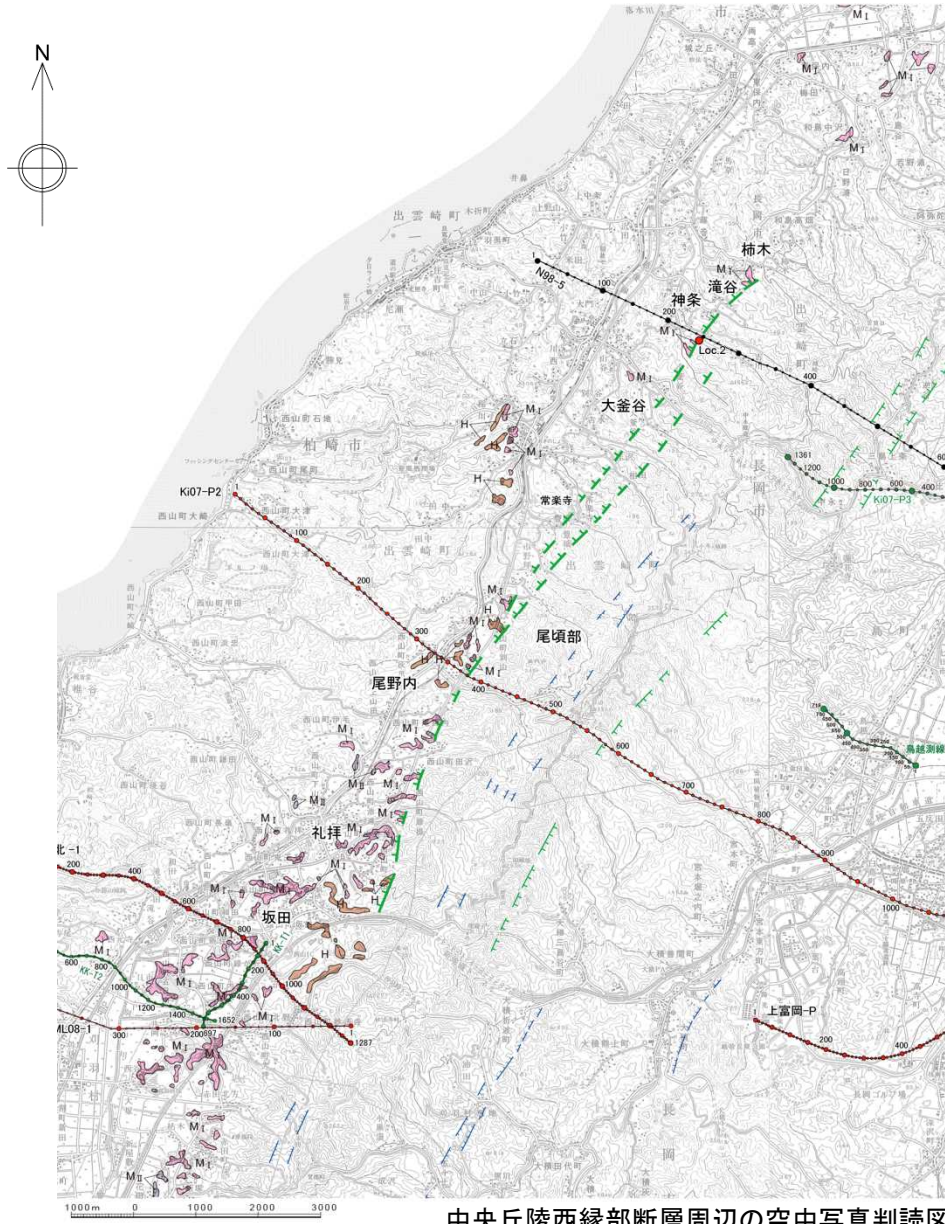
「都市圏活断層図」【「長岡」「小千谷」「十日町」(2001)】

- 活断層
- 推定活断層

注) 等高線は国土地理院発行の20万分の1地勢図による。

文献による中央丘陵西縁部断層

6.3.1 中央丘陵西縁部断層（空中写真判読図）



■ 文献により示されている推定活断層にほぼ対応して，柿木から坂田に至る約12.5km間にNNE-SSW方向のL_cリニアメントが判読される。

凡例

段丘区分	記号
L _{II} 面 (MIS3~MIS2)	L _{II}
L _I 面 (MIS5a~MIS4)	L _I
M _{II} 面 (MIS5c)	M _{II}
M _I 面 (MIS5e)	M _I
H 面群 (MIS7)	H
露頭位置・番号	Loc.2

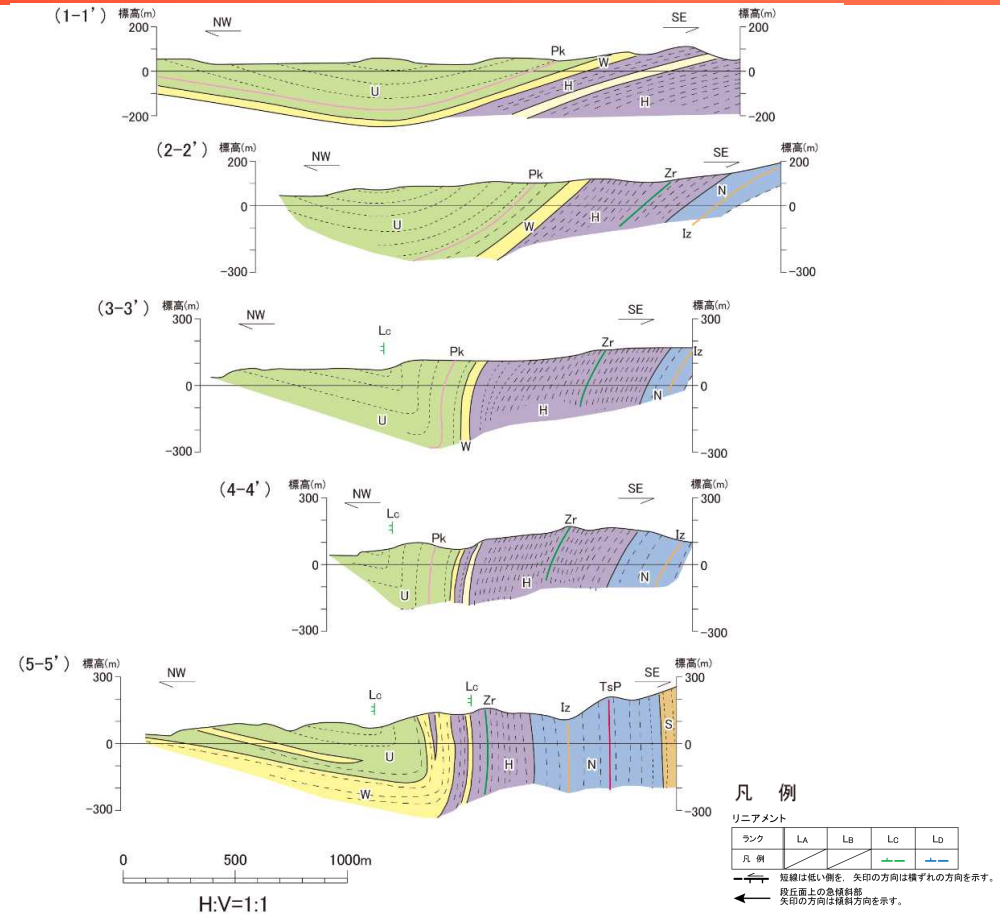
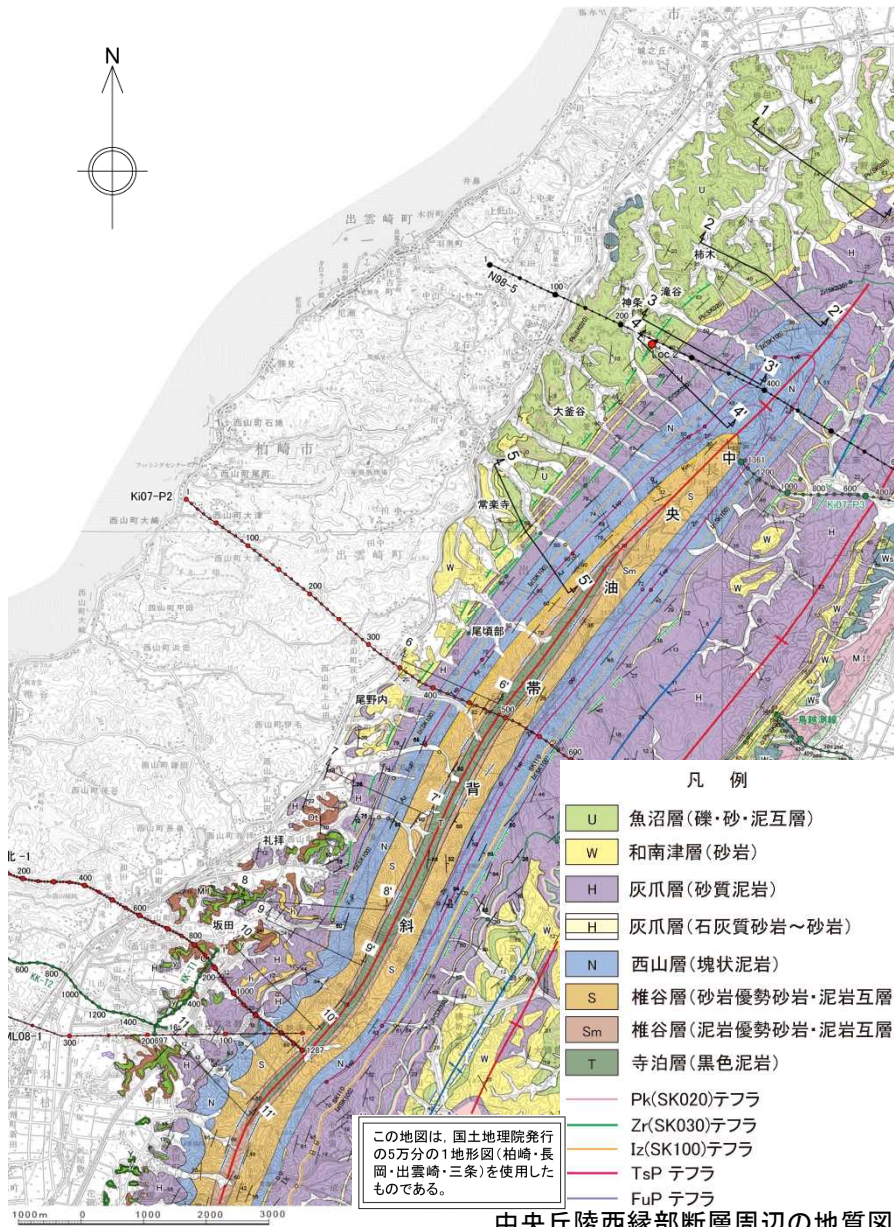
リニアメント

ランク	LA	LB	LC	LD
凡例				

- 短線は低い側を、矢印の方向は横ずれの方向を示す。
- 段丘面上の急傾斜部
矢印の方向は傾斜方向を示す。
- 東京電力株式会社反射法地震探査測線 (P波:パイプレーター)
- 東京電力株式会社反射法地震探査測線 (P波:インバクター)
- 石油公社反射法地震探査測線

この地図は、国土地理院発行の5万分の1地形図(柏崎・長岡・出雲崎・三条)を使用したものである。

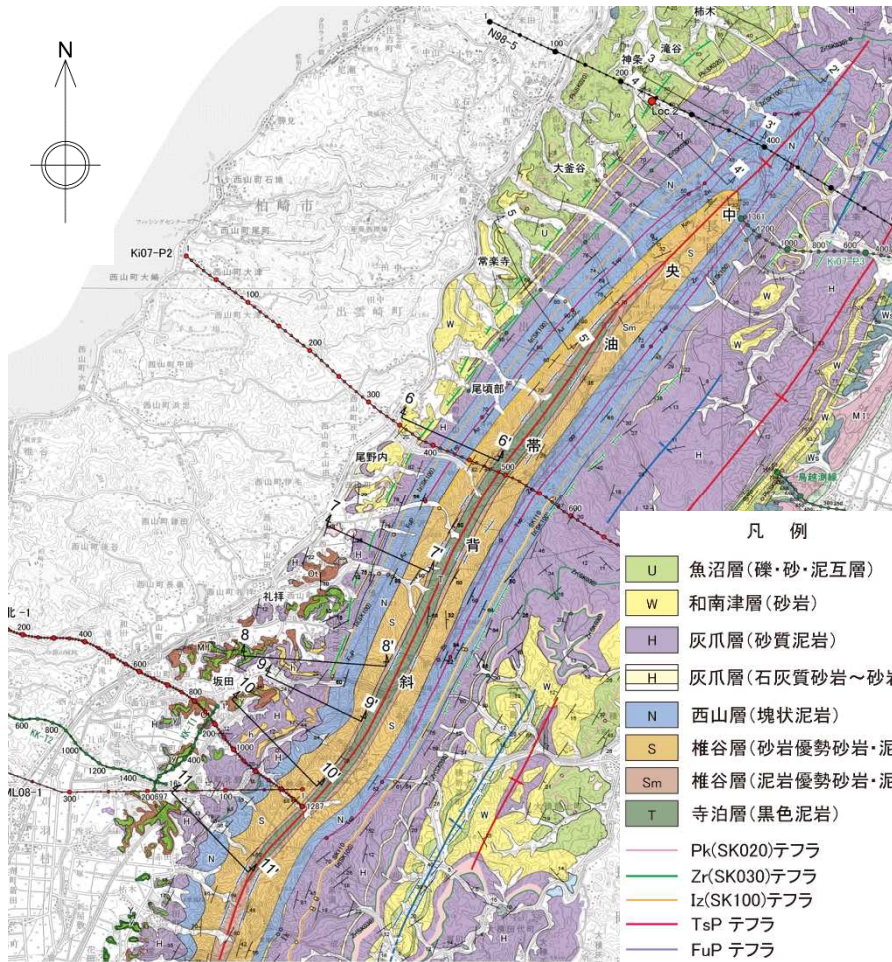
6.3.1 中央丘陵西縁部断層 (地質図・地質断面図：北部)



中央丘陵西縁部断層周辺の地質断面図

- 柿木から坂田に至る約12.5km間において、灰爪層あるいは魚沼層以下の地層に撓曲構造が認められる。
- リニアメントは、撓曲構造の層理面屈曲部（向斜側のヒンジ）にほぼ対応しており、撓曲構造に起因したものと推定される。

6.3.1 中央丘陵西縁部断層 (地質断面図：南部)

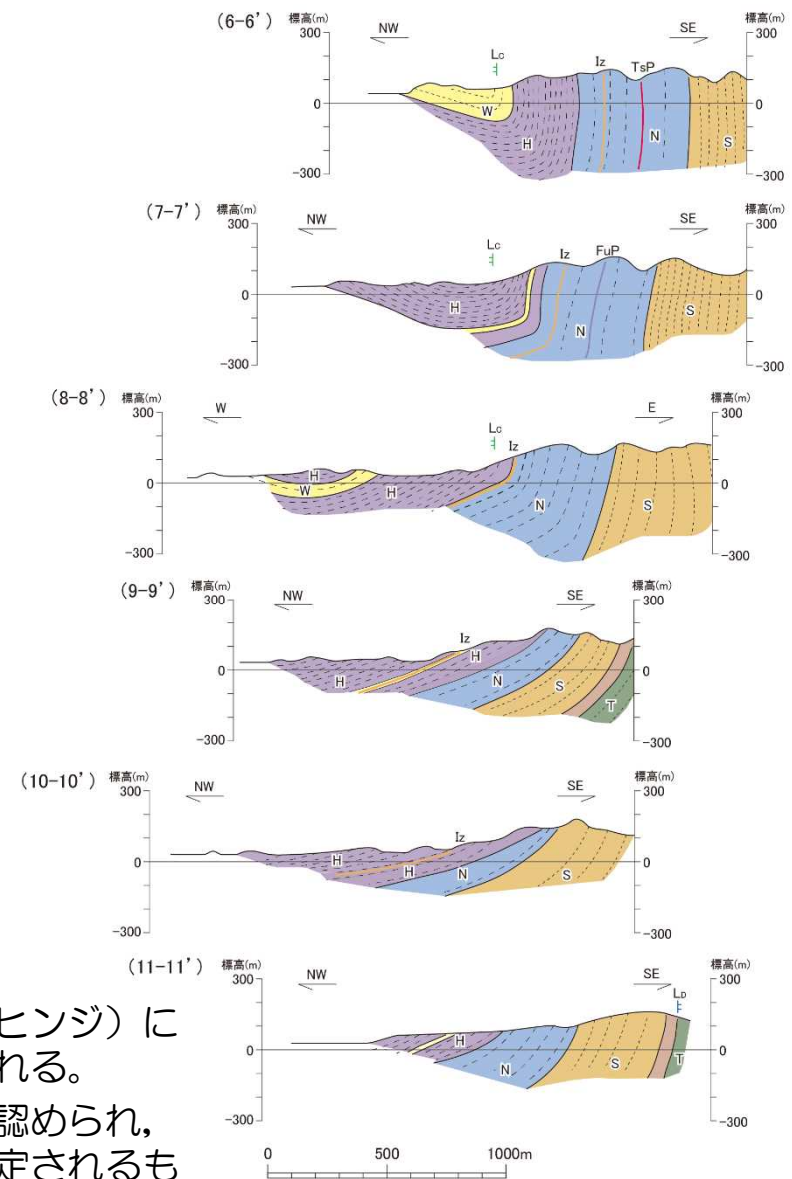


凡例

U	魚沼層(礫・砂・泥互層)
W	和南津層(砂岩)
H	灰爪層(砂質泥岩)
H	灰爪層(石灰質砂岩～砂岩)
N	西山層(塊状泥岩)
S	椎谷層(砂岩優勢砂岩・泥岩互層)
Sm	椎谷層(泥岩優勢砂岩・泥岩互層)
T	寺泊層(黒色泥岩)
—	Pk(SK020)テフラ
—	Zr(SK030)テフラ
—	Iz(SK100)テフラ
—	TsP テフラ
—	FuP テフラ

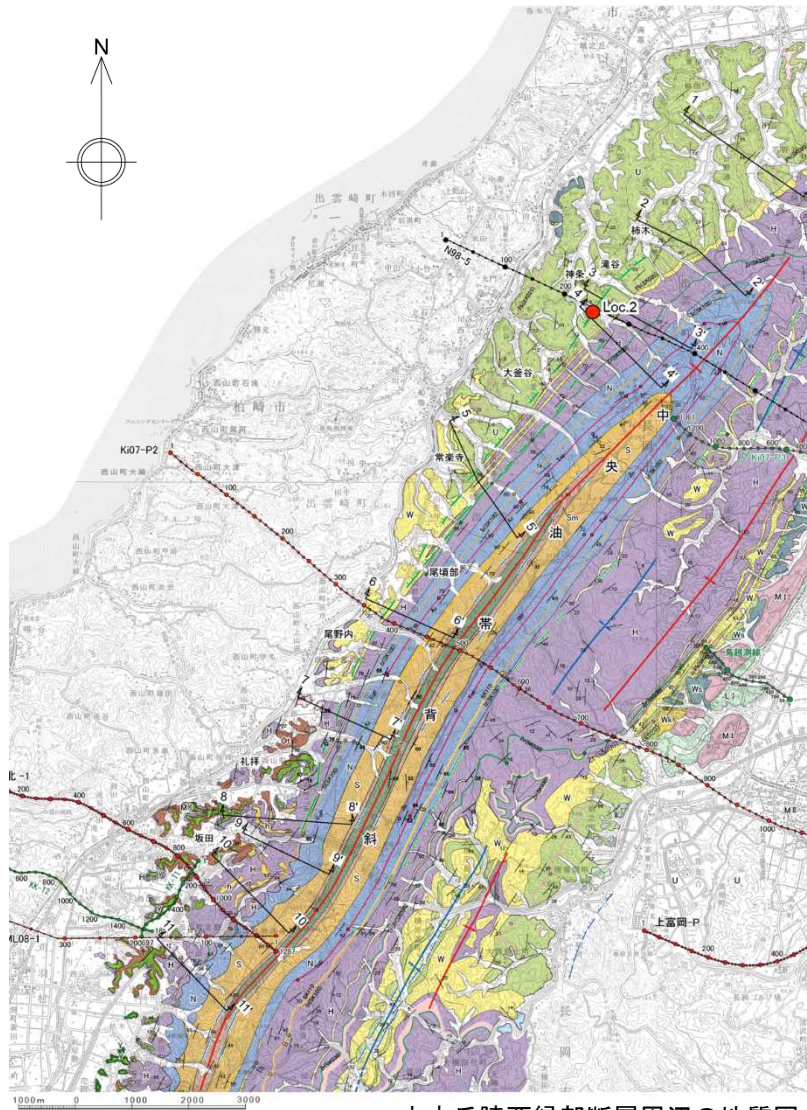
中央丘陵西縁部断層周辺の地質図

- リニアメントは、撓曲構造の層理面屈曲部（向斜側のヒンジ）にほぼ対応しており、撓曲構造に起因したものと推定される。
- 一部において、撓曲構造の屈曲部を横断する平坦面が認められ、同平坦面形成以降における撓曲構造の活動はないと推定されるものの、後期更新世以降における活動を否定できない。

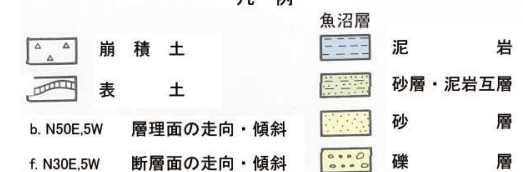
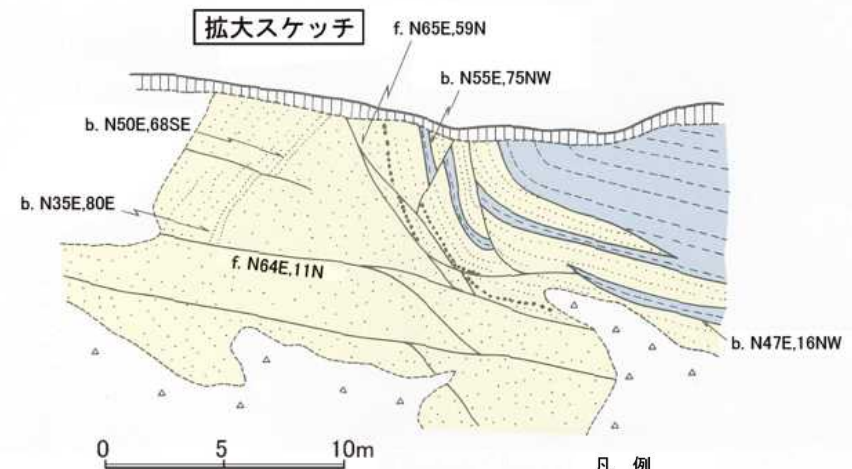
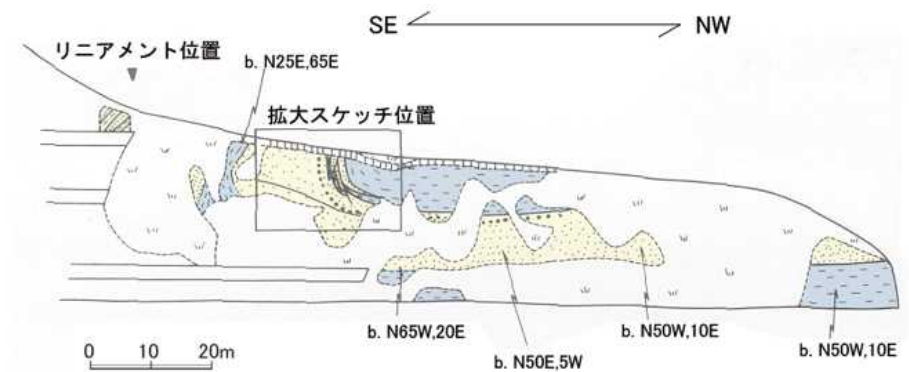


H:V=1:1 中央丘陵西縁部断層周辺の地質断面図

6.3.1 中央丘陵西縁部断層 (露頭スケッチ: Loc. 2)



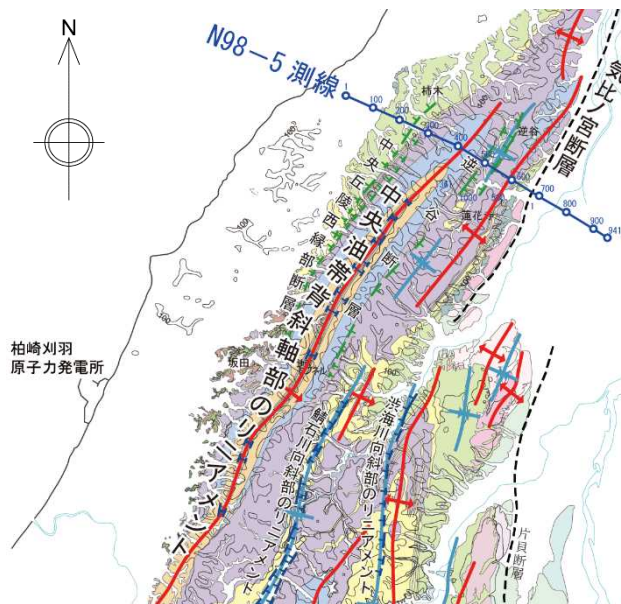
中央丘陵西縁部断層周辺の地質図



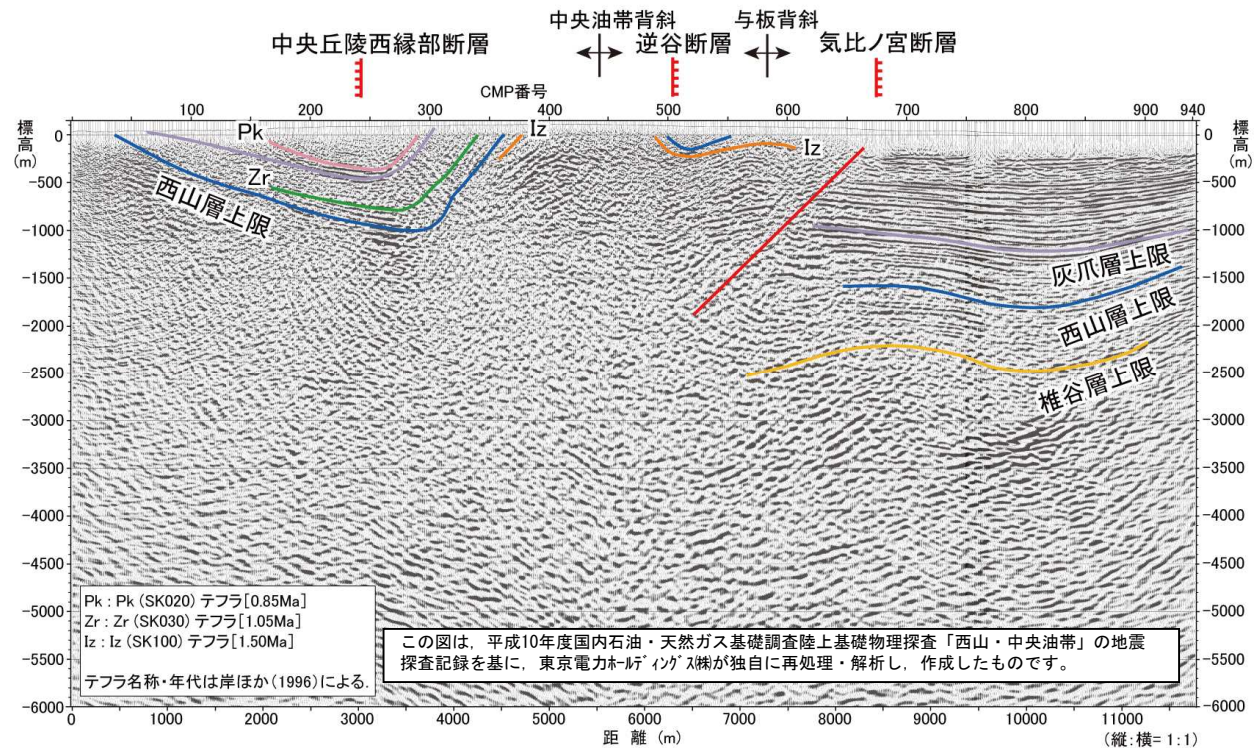
露頭スケッチ (Loc. 2, 出雲崎町神条南東)

- 撓曲構造を形成する魚沼層の層理面が短区間のうちに、東急傾斜から水平に急変する屈曲部が認められる。

6.3.1 中央丘陵西縁部断層（反射法地震探査：N98-5測線）



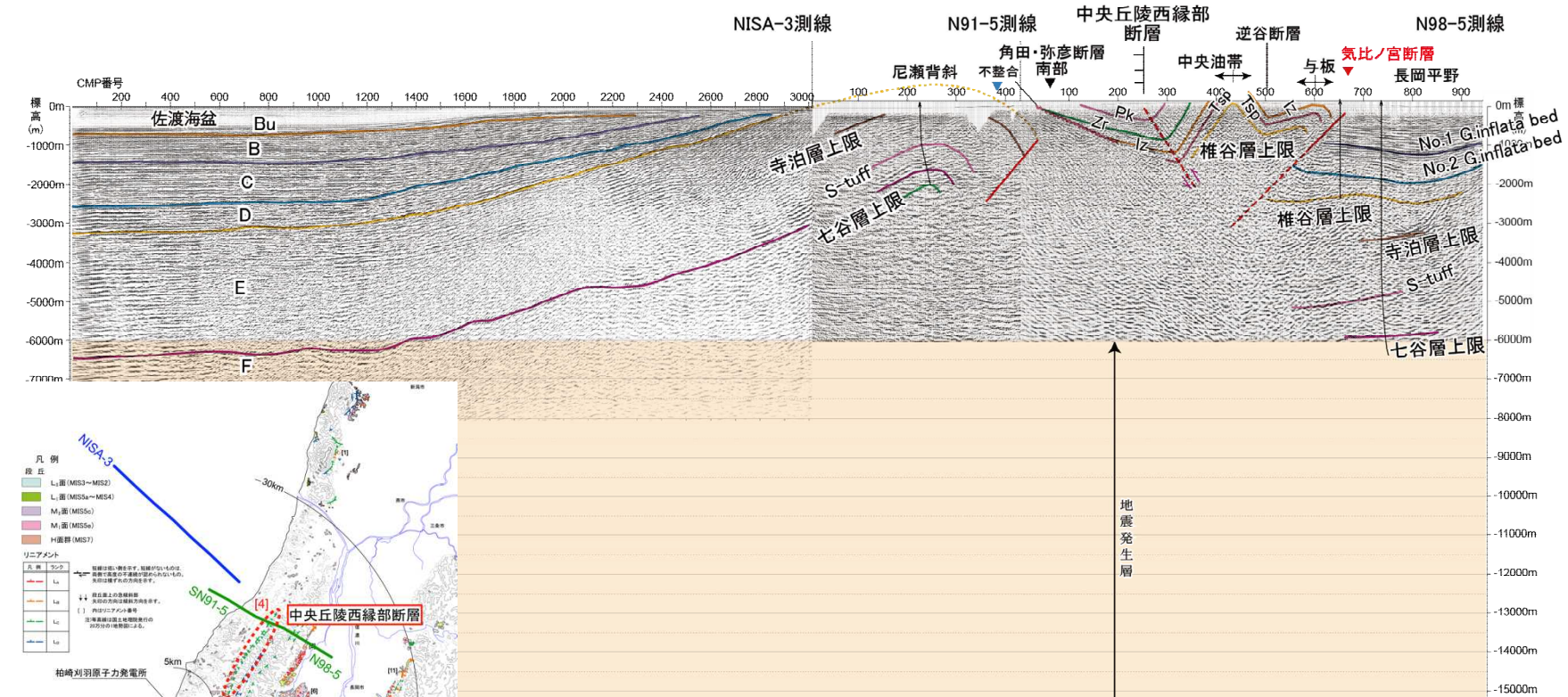
中央油帯背斜軸部のリニアメント周辺の地質図及び調査位置図



N98-5測線の深度断面及びその解釈

- 中央丘陵西縁部断層は地層の変形形態から断層が存在するとしても、断層面が東傾斜の逆断層と推定される構造であるが、その下方延長部の地下深部において、東上がりを示唆する構造が認められない。
- したがって、中央丘陵部西縁部断層は地下深部に連続する断層構造ではなく、気比ノ宮断層の活動に伴う副次的な構造と判断される。

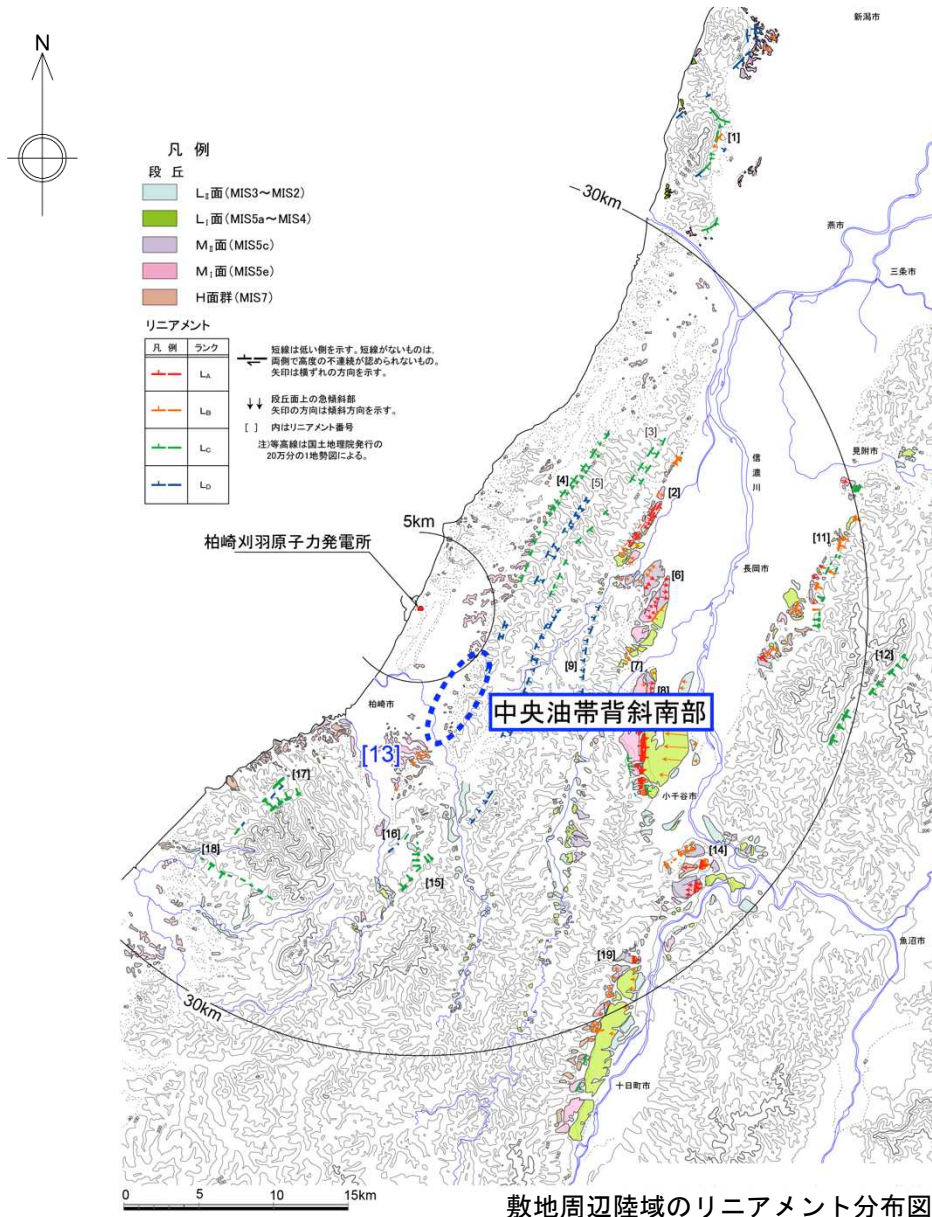
6.3.1 中央丘陵西縁部断層（評価）



敷地周辺陸域のリニアメント分布図
及び測線位置図

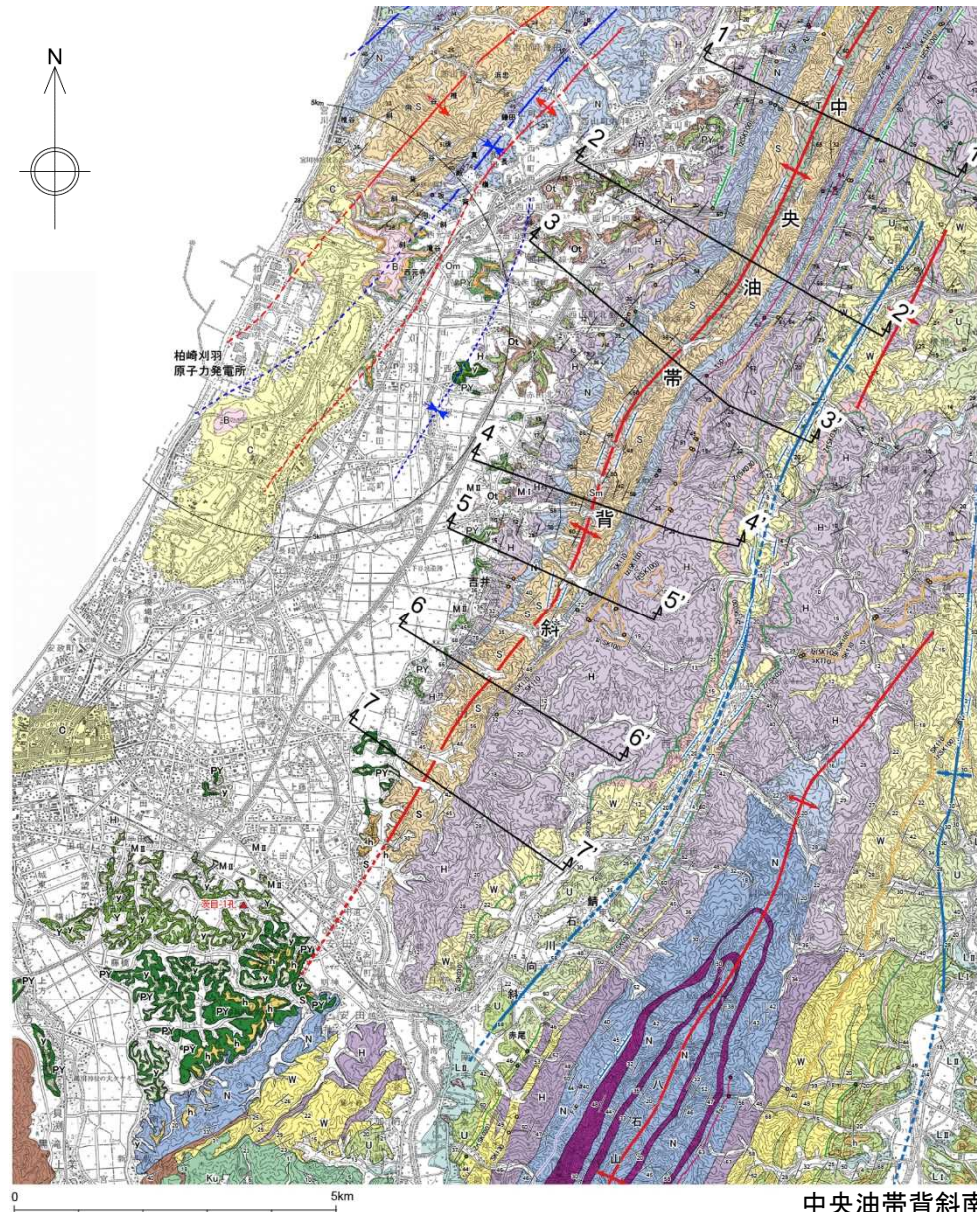
- 【評価】** 中央丘陵西縁部断層周辺の地質構造と地震発生層との関係
- 中央丘陵西縁部断層の東に位置する氣比ノ宮断層は、「[新編] 日本の活断層」（1991）によると活動度が高くA級活断層として示されており、M₁面に約60mの上下変位（西上り）が認められることなどから、その断層面が西傾斜で地下深部まで連続する断層であると推定される。
 - これに対して、中央丘陵西縁部断層は地層の変形形態から断層が存在するとしても、断層面が東傾斜の逆断層と推定され、その下方延長部の地下深部において、東上がりを示唆する構造が認められない。
 - 以上のことから、中央丘陵西縁部断層は地下深部に連続する断層構造ではなく、氣比ノ宮断層の活動に伴う副次的な構造と判断される。

(参考) 中央油帯背斜南部 (位置図)



- 中央油帯背斜南部に、リニアメントは判読されない。
- 中央油帯背斜南部の南方延長には[13] 柏崎平野南東縁のリニアメントが判読される。

(参考) 中央油帯背斜南部 (地形と地質の関係)



中央油帯背斜南部に、リニアメントは判読されない。

- 凡例
- LII LII面堆積物(MIS3)
 - LI LI面堆積物(MIS5a)
 - MII MII面堆積物(MIS5c)
 - MI MI面堆積物(MIS5e)
 - y 安田層上部層(MIS5e)
 - Y 安田層下部層
 - PY 古安田層(MIS7)
 - h H面堆積物(MIS5e~7)
 - Ot 大坪層(礫・砂・シルト)
 - U 魚沼層(礫・砂・泥互層)
 - W 和南津層(砂岩)
 - H 灰爪層(砂質泥岩)
 - 灰爪層(石灰質砂岩~砂岩)
 - Nv 西山層(火砕岩類)
 - N 西山層(塊状泥岩・砂岩)
 - 西山層(凝灰質砂岩)
 - S 椎谷層(砂岩優勢砂岩・泥岩互層)
 - Sm 椎谷層(泥岩優勢砂岩・泥岩互層)
 - T 寺泊層(黒色泥岩)
 - 沖積土・盛土
 - C 新期砂層
 - B 番神砂層(MIS5d~4)
 - Om 大湊砂層(MIS5e)
 - Ku 久米層(礫・砂・泥互層)
 - Ko 駒の間層(礫・砂・泥互層)
- Pk(SK020)テフラ
 Zr(SK030)テフラ
 Iz(SK100)テフラ
 Sk110 テフラ
 Tzテフラ
 Sk130テフラ
 Fup テフラ
 Tsp テフラ
 Az テフラ
 Zn テフラ
 Km テフラ (●は確認地点)
- 100 10 1
 東京電力ホールディングス株式会社 地質調査課 (P波・バイプレーター)
 ▲ 石油関係ボーリング位置

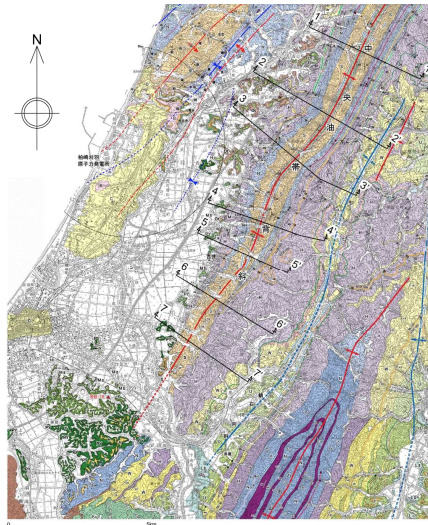
リニアメント

ランク	LA	LB	Lc	Ld
凡例				

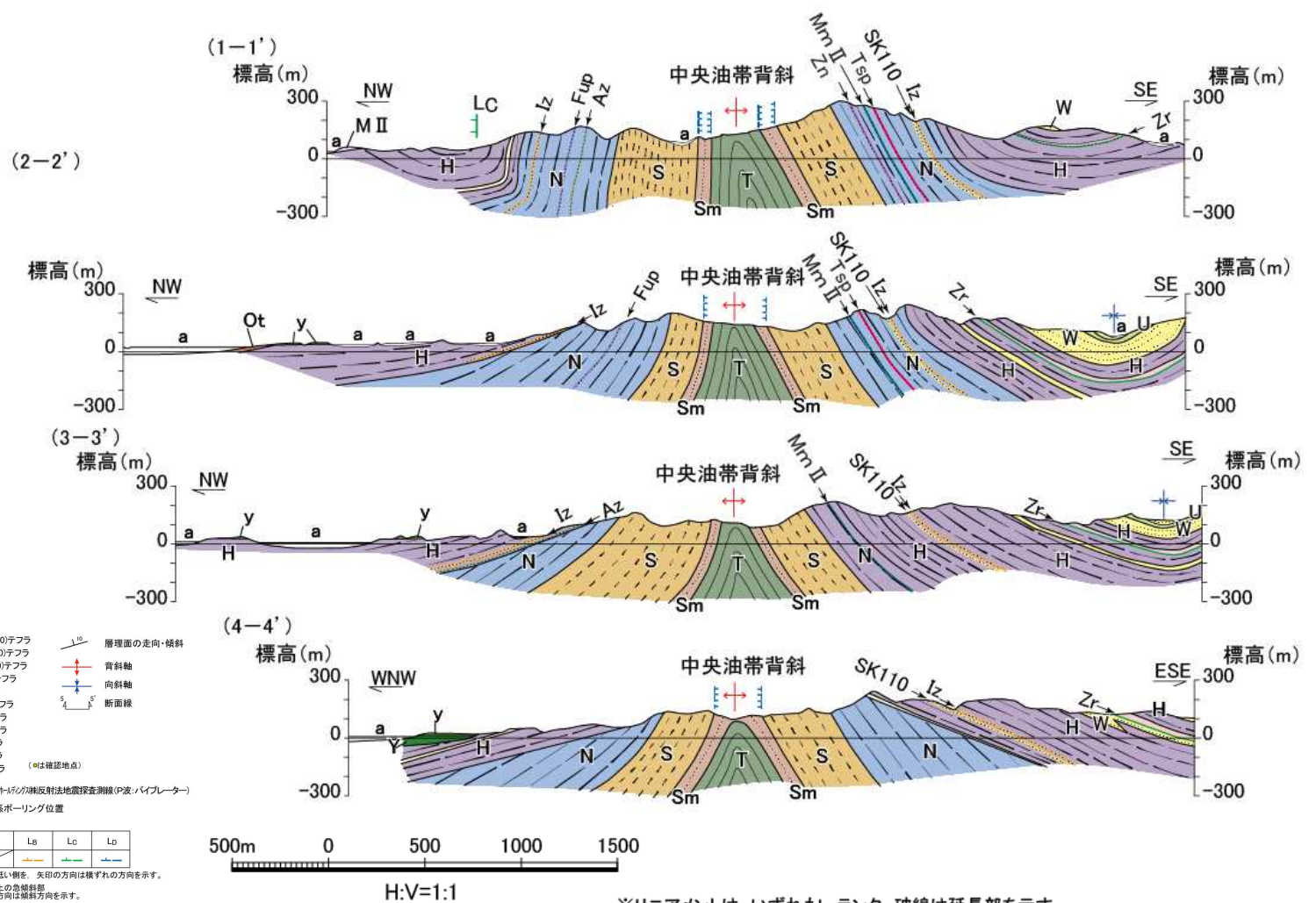
短線は低い側を、矢印の方向は横ずれの方向を示す。
 段丘面上の急傾斜部
 矢印の方向は傾斜方向を示す。

中央油帯背斜南部周辺の地質図

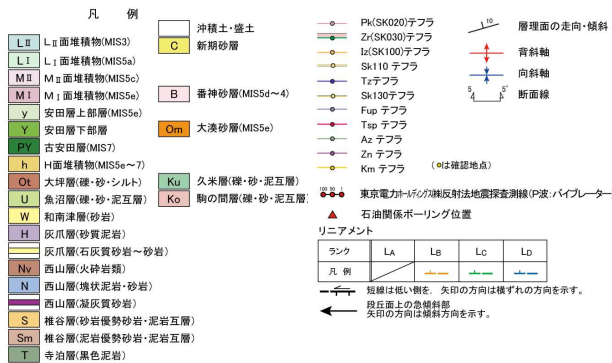
(参考) 中央油帯背斜南部 (地質断面図：中部)



中央油帯背斜南部周辺の地質図

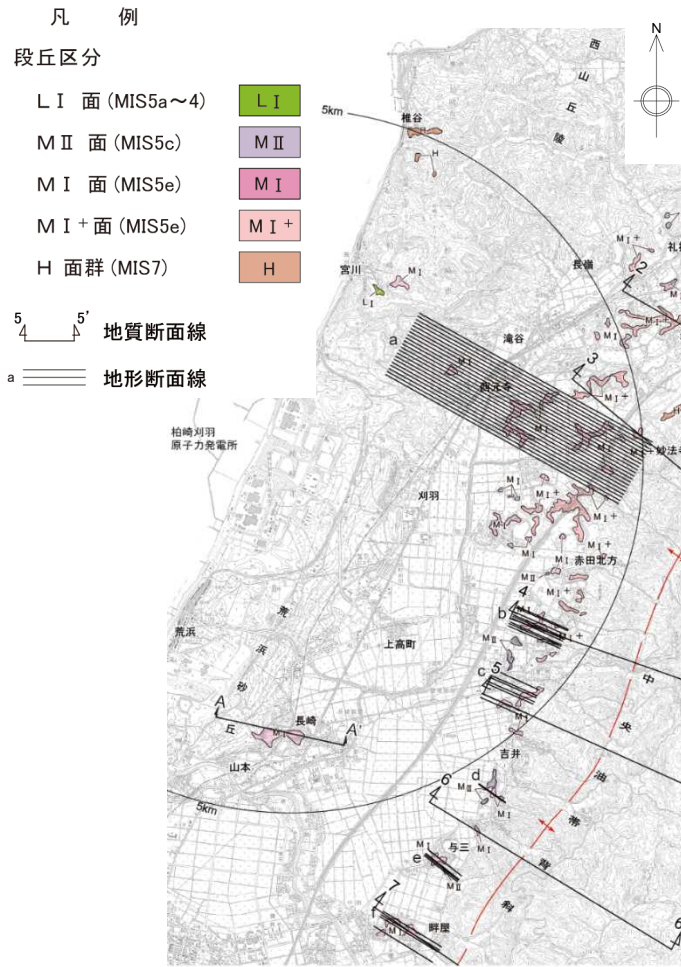


中央油帯背斜南部周辺の地質断面図

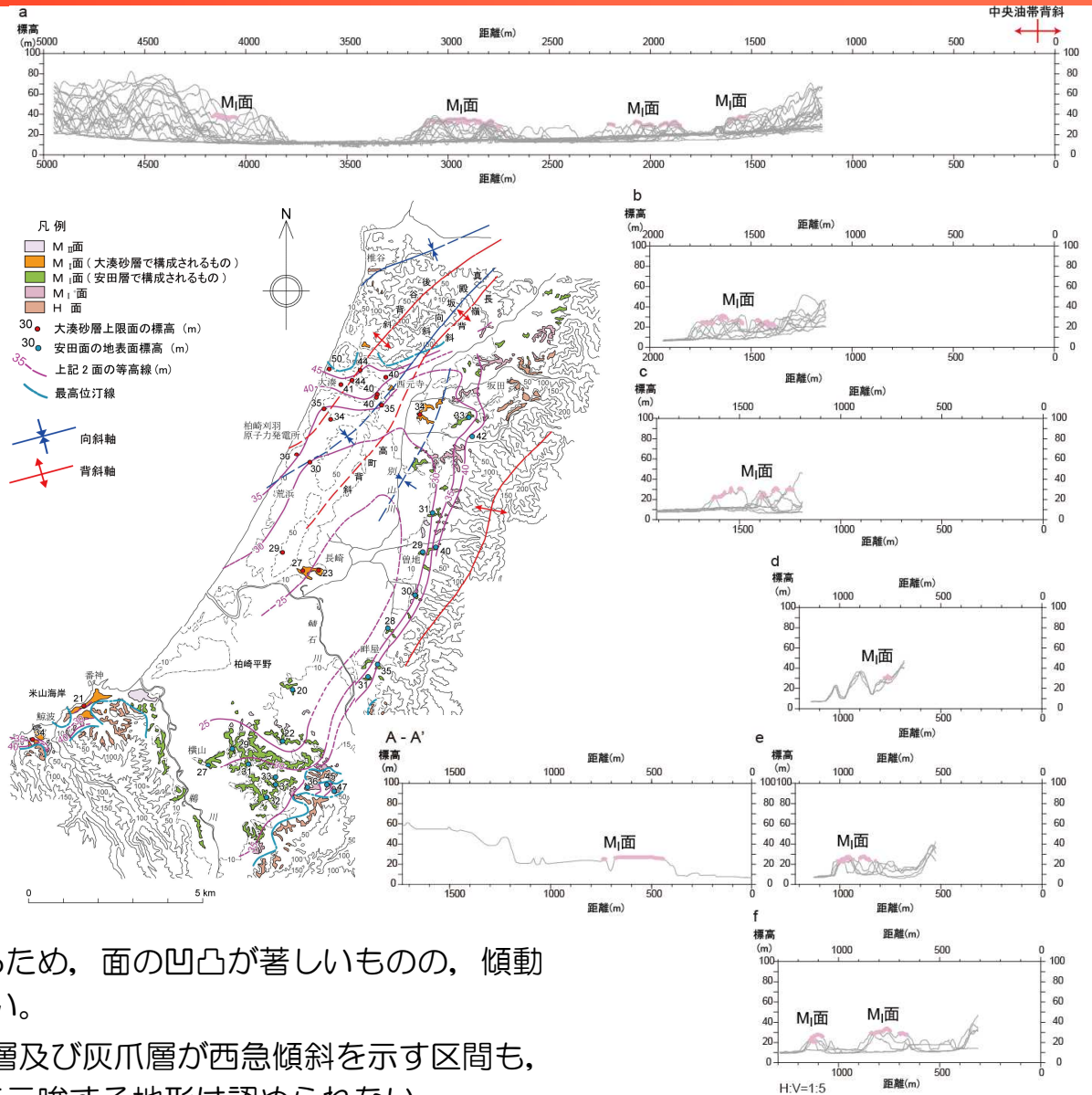


- 中央油帯背斜中部においては、中央油帯背斜軸部のリニアメントが、寺泊層と椎谷層、あるいは椎谷層の砂岩と泥岩との岩相境界に対応する。

(参考) 中央油帯背斜南部 (段丘面分布)



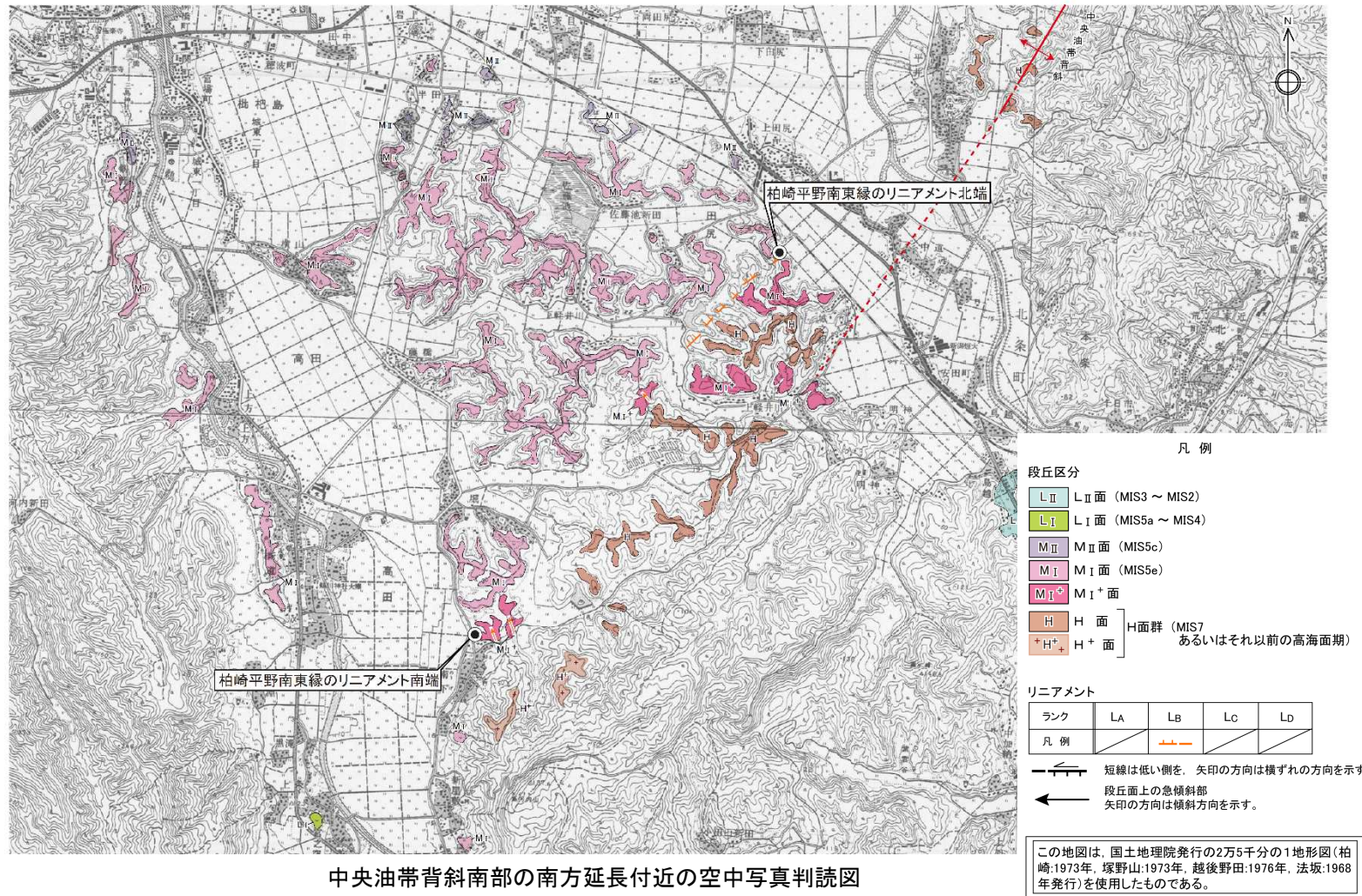
敷地近傍陸域の空中写真判読図



- 柏崎平野内のM_I面は開析が進んでいるため、面の凹凸が著しいものの、傾動などの系統的な高度変化は認められない。
- 中央油帯背斜南部西翼において、西山層及び灰爪層が西急傾斜を示す区間も、M_I面の高度分布は同様であり、傾動を示唆する地形は認められない。

敷地近傍に分布するM_I面の詳細地形断面図

(参考) 中央油帯背斜南部 (柏崎平野南東縁のリニアメント)



中央油帯背斜南部の南方延長付近の空中写真判読図

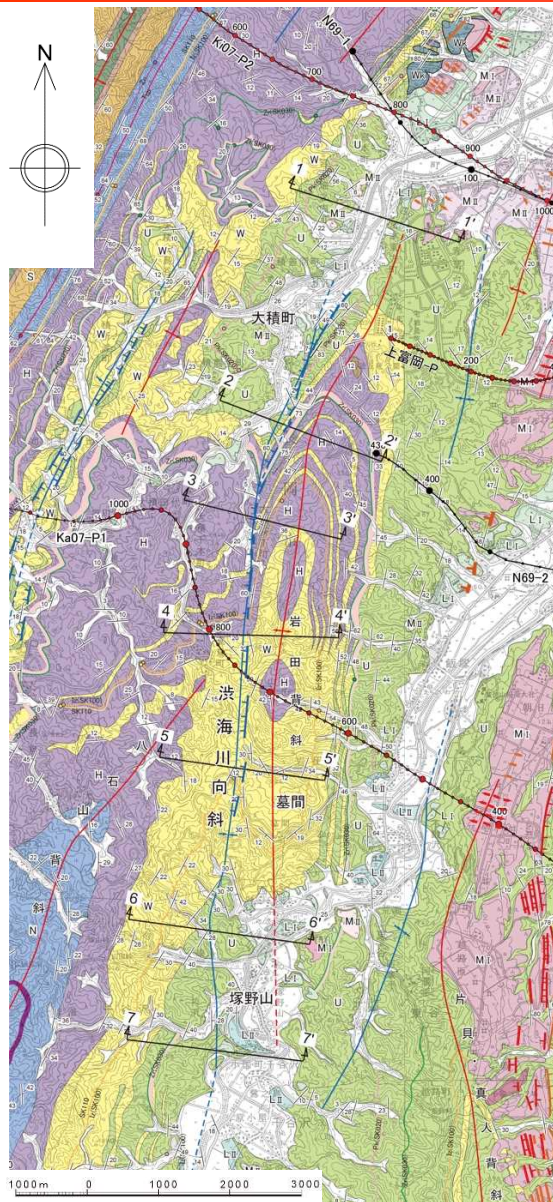
- 中央油帯背斜南部の南方延長に分布するM_I面等に、柏崎平野南東縁のリニアメントが判読される。
- 判読されたりニアメントの延長部にリニアメントは判読されない。

(参考) 中央油帯背斜南部 (評価)

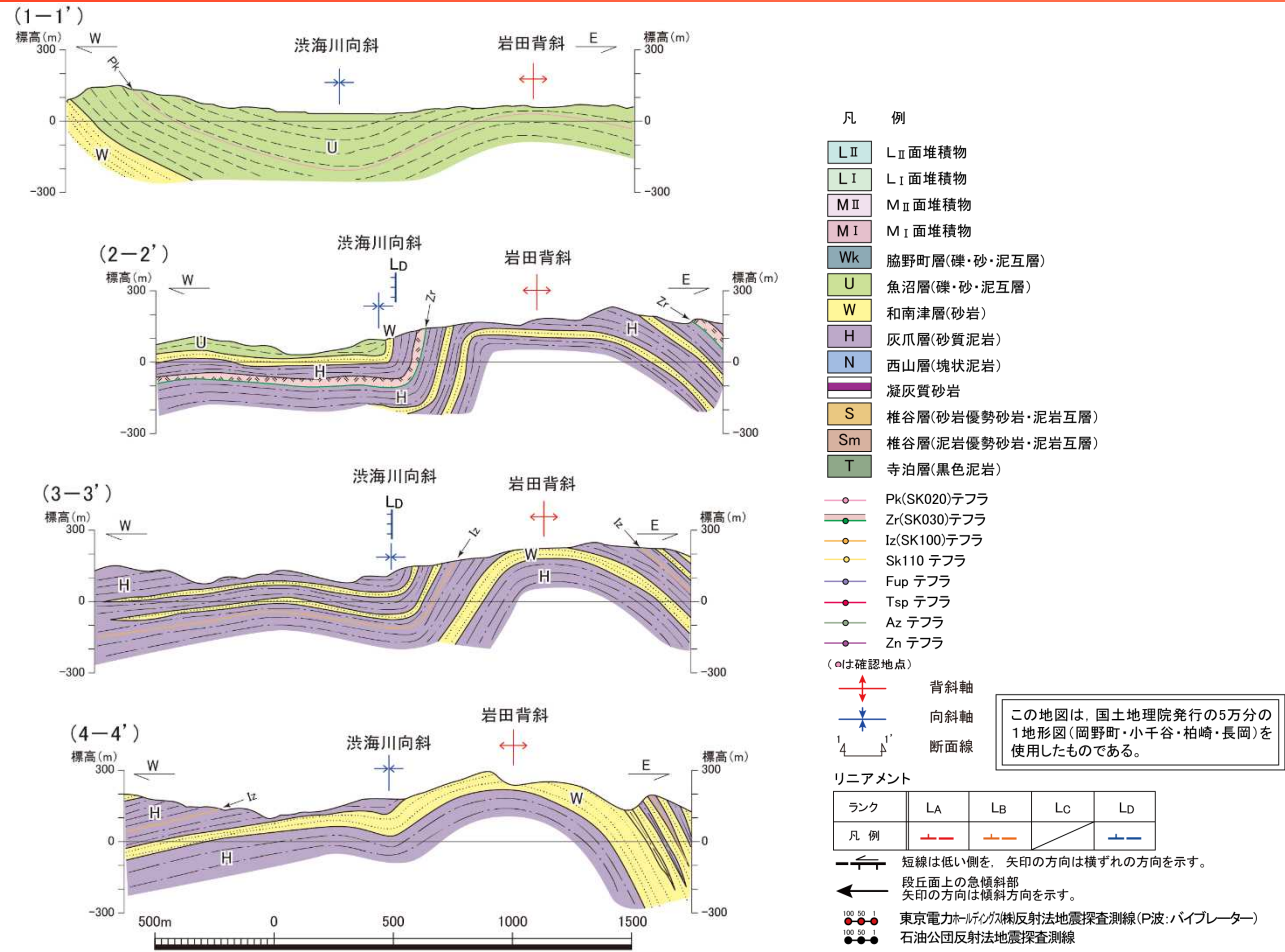
- 中央油帯背斜南部においてリニアメントは判読されない。
- 中央油帯背斜西翼に位置する柏崎平野内のM_I面に、傾動などの系統的な高度変化は認められない。
- 同背斜南部西翼の灰爪層以下の地層が西急傾斜を示す区間においても、M_I面に傾動などを示唆する地形が認められない。
- 中央油帯背斜南部の南方延長に分布するM_I面等に、柏崎平野南東縁のリニアメントが判読されるものの、判読されたリニアメントの延長部にリニアメントは判読されない。
- 以上のことから、中央油帯背斜南部の後期更新世以降の活動はないものと判断される。

1.	文献調査	・・・	4
2.	敷地周辺陸域の地形	・・・	7
3.	敷地周辺陸域の地質	・・・	9
4.	敷地周辺陸域の変動地形	・・・	11
5.	敷地周辺陸域の地質構造	・・・	14
6.	断層の評価		
6.1	概要	・・・	18
6.2	活断層の評価	・・・	20
6.2.1	角田・弥彦断層	・・・	20
6.2.2	気比ノ宮断層	・・・	36
6.2.3	上富岡断層・親沢断層・片貝断層	・・・	52
6.3	副次的な構造に関する評価	・・・	81
6.3.1	中央丘陵西縁部断層	・・・	83
6.3.2	渋海川向斜部のリニアメント	・・・	98
6.4	その他のリニアメント・断層に関する評価	・・・	103
7.	断層の連動可能性評価		
7.1	長岡平野西縁断層帯	・・・	176
7.2	長岡平野西縁断層帯と十日町断層帯西部	・・・	183

6.3.2 渋海川向斜部のリニアメント（地質図・地質断面図）



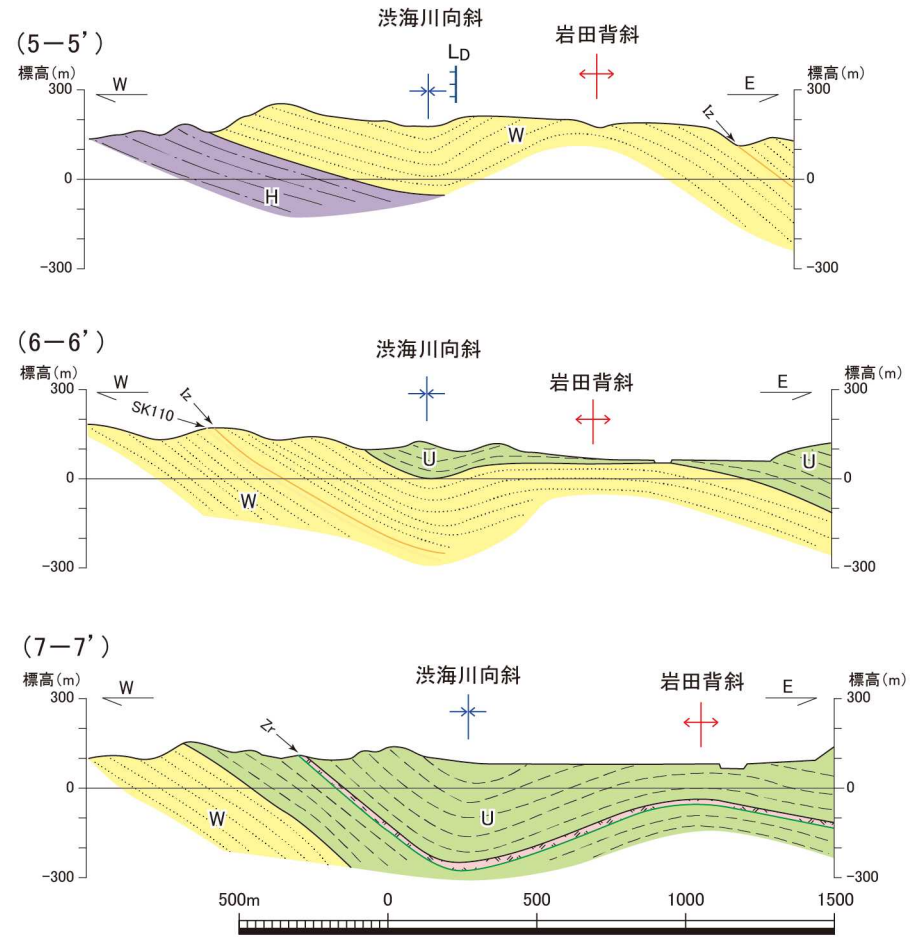
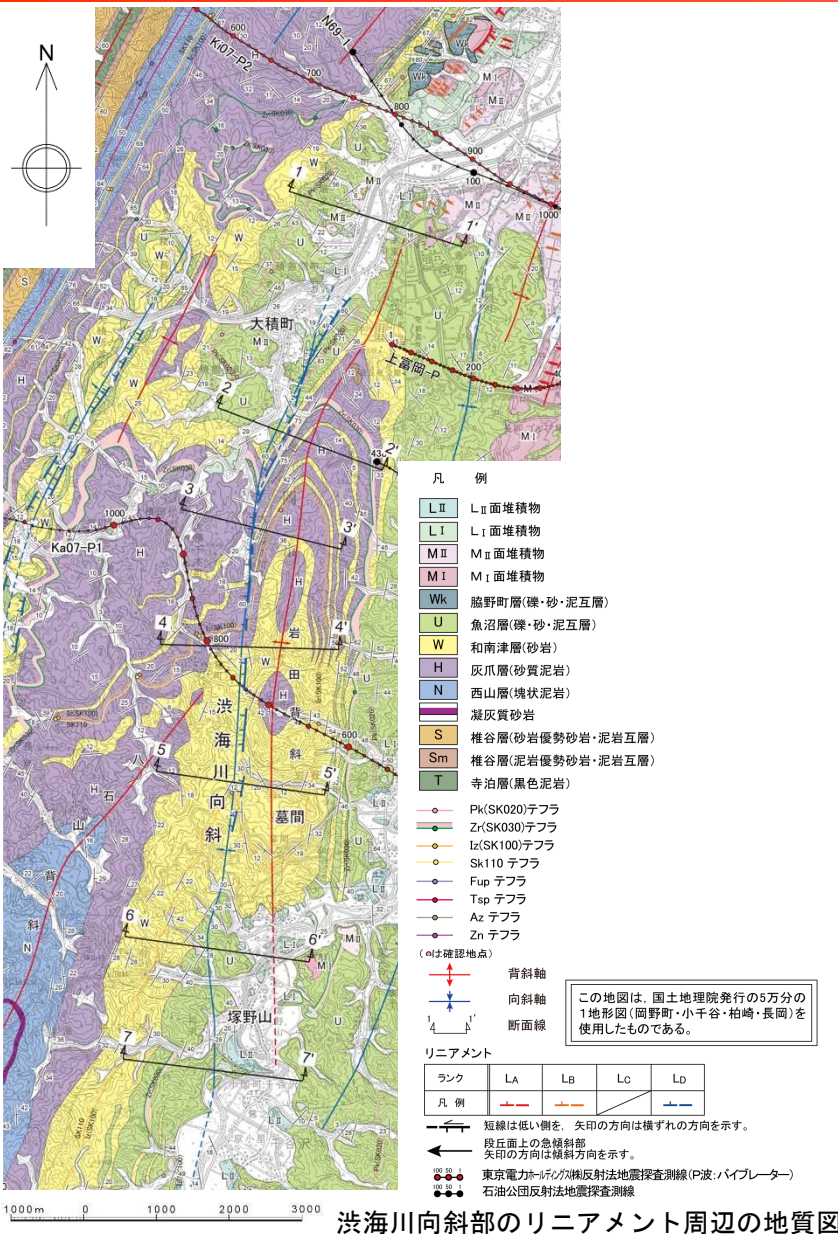
渋海川向斜部のリニアメント周辺の地質図



渋海川向斜部のリニアメント周辺の地質断面図

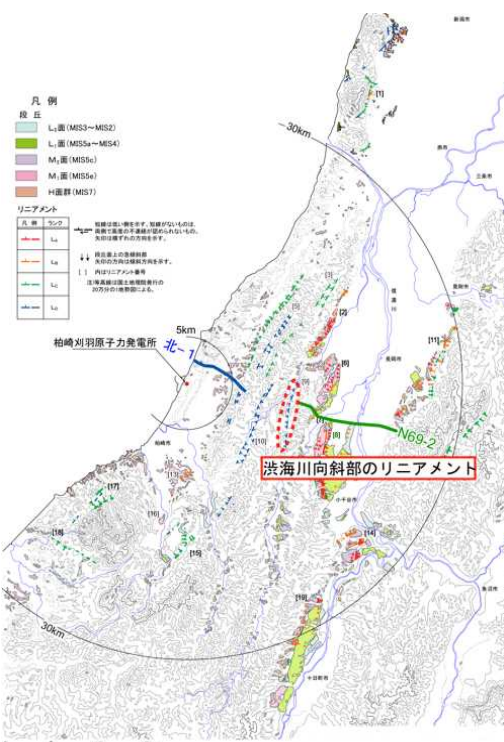
- 大積町付近から墓間に至る約7km間にほぼN-S方向のL_Dリニアメントが判読される。
- リニアメントの北部では、灰爪層及び魚沼層が急傾斜を示す撓曲構造が認められ、リニアメントは撓曲構造にほぼ対応する。

6.3.2 渋海川向斜部のリニアメント（地質図・地質断面図）

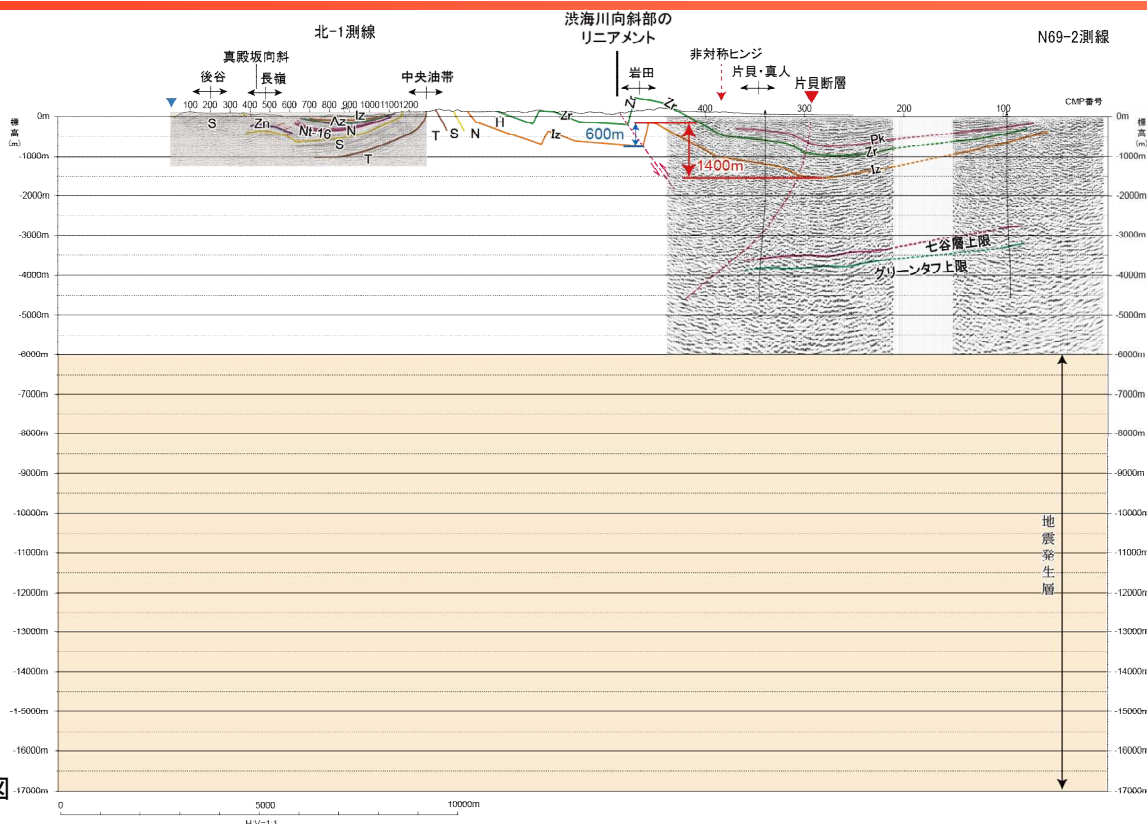


リニアメントの南部では、灰爪層及び魚沼層は $10^{\circ} \sim 30^{\circ}$ の傾斜を示す緩い向斜構造を示し、リニアメントは向斜軸部に位置し、撓曲構造あるいは断層は認められないものの、リニアメントと岩相との対応は認められない。

6.3.2 渋海川向斜部のリニアメント（評価）



敷地周辺陸域のリニアメント分布図及び測線位置図



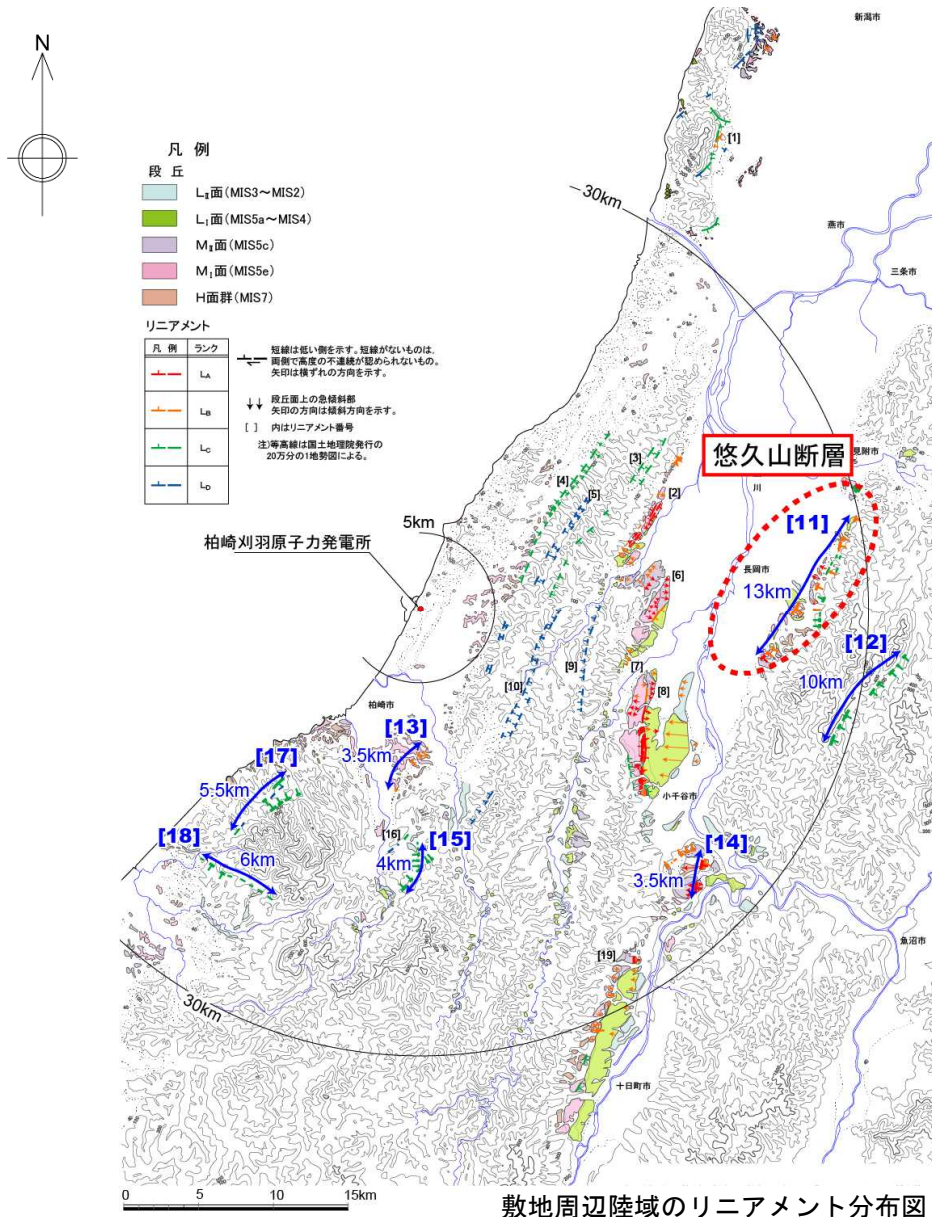
渋海川向斜部のリニアメント周辺の地質構造と地震発生層との関係

【評価】

- 渋海川向斜部のリニアメントの東に位置する上富岡断層及び片貝断層は、「[新編]日本の活断層」（1991）によると、活動度が高くA級活断層及びB級活断層として示されており、M₁面に約120mの上下変位（西上り）が認められることなどから、その断層面が西傾斜で地下深部まで連続する断層であると推定される。
- これに対して、岩田背斜西翼の構造（渋海川向斜部のリニアメント）は地層の変形形態から断層が存在するとしても、断層面が東傾斜の逆断層と推定され、その下方延長部の地下深部において、東上りを示唆する構造が認められない。
- 片貝断層上盤側の変形は緩やかであるものの、その上下変位量は西上り1,400m程度である。これに対して、岩田背斜西翼の撓曲構造（渋海川向斜軸部のリニアメント）の上盤側の変形は急であるが、その上下変位量は東上り600m程度と小さい。
- 以上のことから、岩田背斜西翼の構造（渋海川向斜部のリニアメント）は地下深部に連続する断層構造ではなく、片貝断層の活動に伴う副次的な構造と判断される。

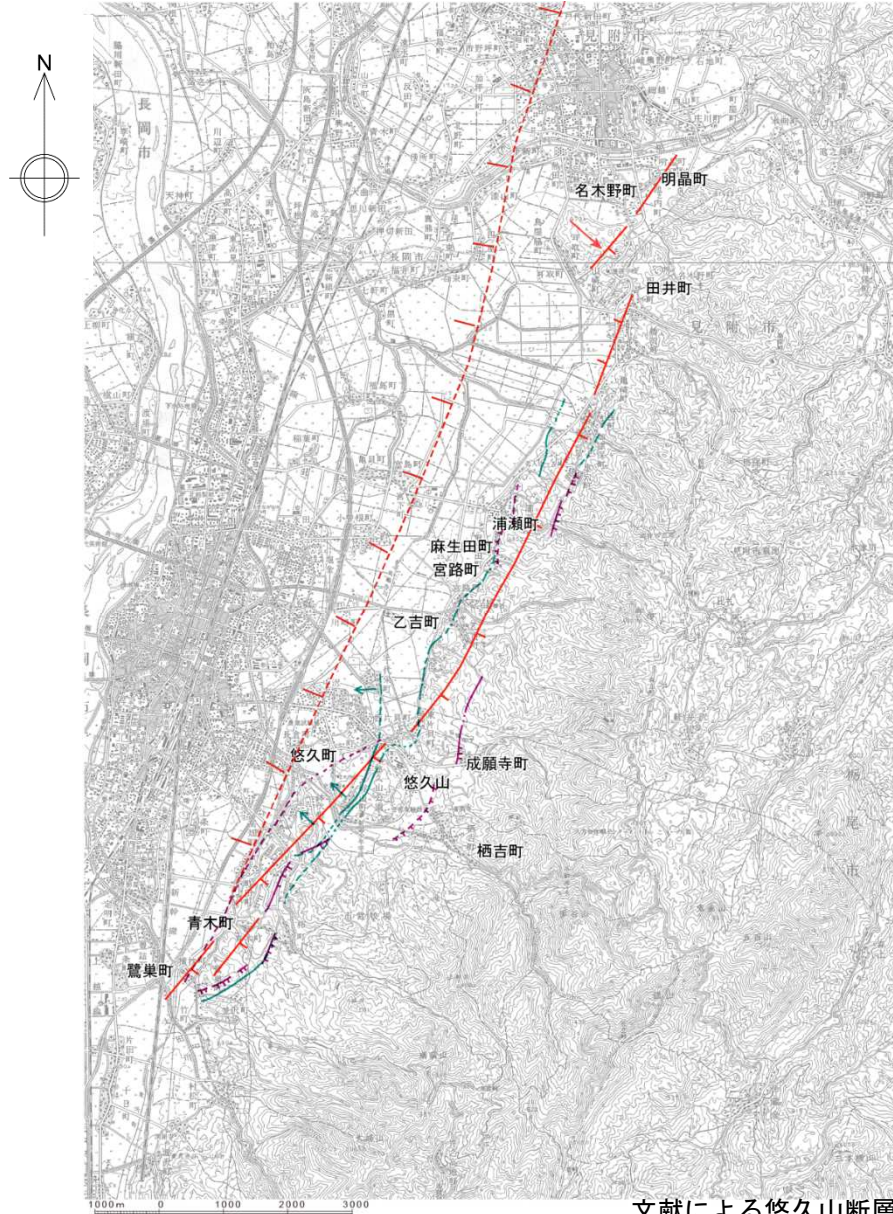
1.	文献調査	• • •	4
2.	敷地周辺陸域の地形	• • •	7
3.	敷地周辺陸域の地質	• • •	9
4.	敷地周辺陸域の変動地形	• • •	11
5.	敷地周辺陸域の地質構造	• • •	14
6.	断層の評価		
6.1	概要	• • •	18
6.2	活断層の評価	• • •	20
6.2.1	角田・弥彦断層	• • •	20
6.2.2	気比ノ宮断層	• • •	36
6.2.3	上富岡断層・親沢断層・片貝断層	• • •	52
6.3	副次的な構造に関する評価	• • •	81
6.3.1	中央丘陵西縁部断層	• • •	83
6.3.2	渋海川向斜部のリニアメント	• • •	98
6.4	その他のリニアメント・断層に関する評価	• • •	103
7.	断層の連動可能性評価		
7.1	長岡平野西縁断層帯	• • •	176
7.2	長岡平野西縁断層帯と十日町断層帯西部	• • •	183

6.4.1.1 悠久山断層（位置図）



東山丘陵西縁の信濃川右岸に、L_A~L_Cリニアメントが判読される。

6.4.1.1 悠久山断層（文献調査結果）



文献による悠久山断層

- 「[新編] 日本の活断層」(1991)は、明晶町から鷺巣町にかけての約15km間に、「活断層であることが確実なもの(確実度Ⅰ)」及び「活断層の疑のあるリニアメント(確実度Ⅲ)」を示している。
- 「活断層詳細デジタルマップ」(2002)は、名木野町付近から鷺巣町にかけての約12.5km間に活断層を示している。
- 「第四紀逆断層アトラス」(2002)等によると、上記の活断層にほぼ対応する位置に、活断層及び推定活断層を示している。

凡例

- ++++ 活断層*
- + 推定活断層*
- 活断層の疑のあるリニアメント**

★ 「日本活断層図」(1978)、「各種地域活断層図」(1979)、「活断層図一新編」(1984)、「[新編]日本の活断層」(1991)及び吉岡ほか(1987)による。
 ★★ 「[新編]日本の活断層」(1991)による。

注)等高線は国土地理院発行の20万分の1地勢図による。

「活断層詳細デジタルマップ」(2002)

確実	++++	活断層	-----	推定活断層
不確か	---+	活断層	-----	推定活断層
不明	-----	活断層	-----	推定活断層

「第四紀逆断層アトラス」(2002)

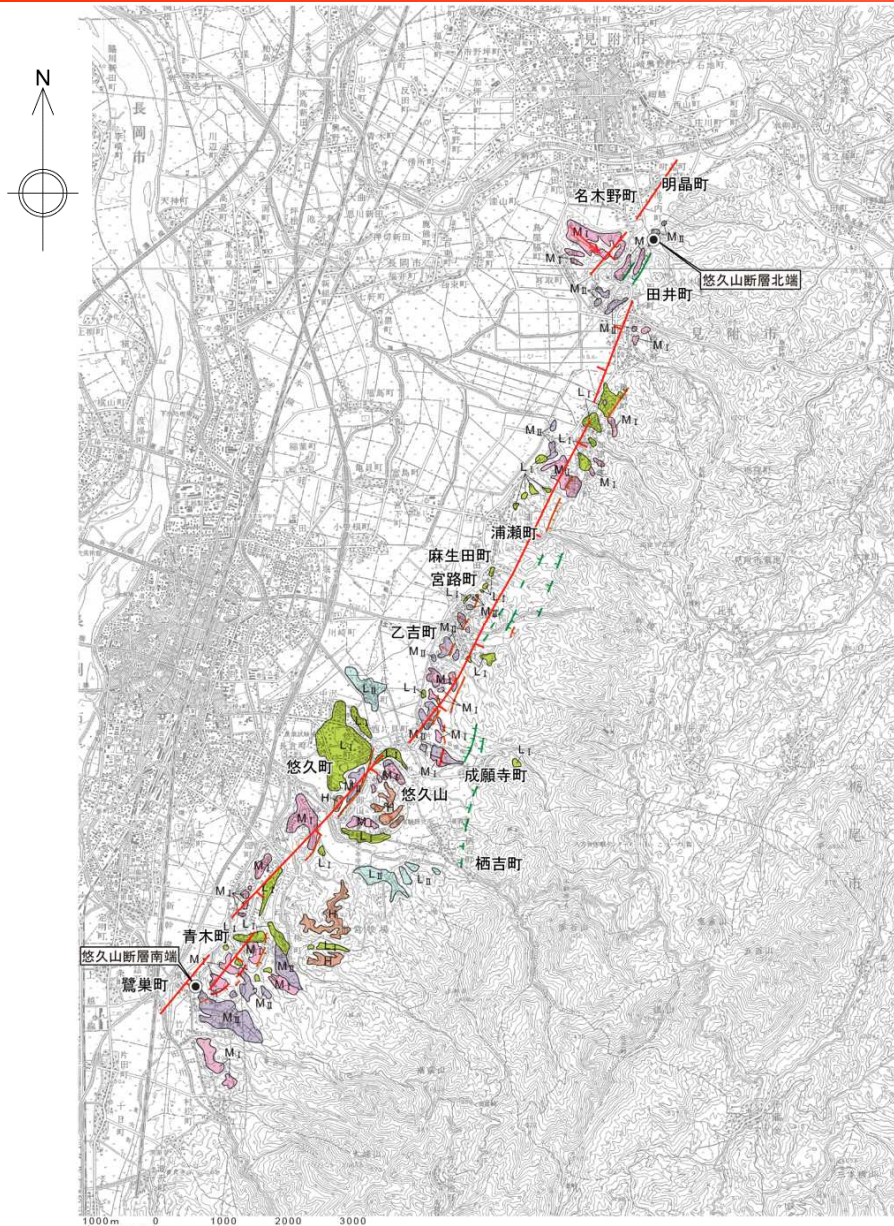
- 活断層 (破線は推定断層)

「都市圏活断層図」[「長岡」「小千谷」「十日町」(2001)]

- 活断層
- 推定活断層

注)等高線は国土地理院発行の20万分の1地勢図による。

6.4.1.1 悠久山断層（空中写真判読図）



- 文献に示される活断層の位置にほぼ対応して、名木野町付近から鷺巣町付近までの間において、ほぼNNE-SSW方向の約13km間に、 $L_A \sim L_C$ リニアメントが判読される。

凡例

段丘区分

- L_{II} L_{II}面 (MIS3 ~ MIS2)
- L_I L_I面 (MIS5a ~ MIS4)
- M_{II} M_{II}面 (MIS5c)
- M_I M_I面 (MIS5e)
- H H面群 (MIS7あるいはそれ以前の高海面期)

リニアメント

ランク	L _A	L _B	L _C	L _D
凡例	—+—+—+—+—	—+—+—+—+—	—+—+—+—+—	—+—+—+—+—

- 短線は低い側を、矢印の方向は横ずれの方向を示す。
- 段丘面上の急傾斜部
矢印の方向は傾斜方向を示す。

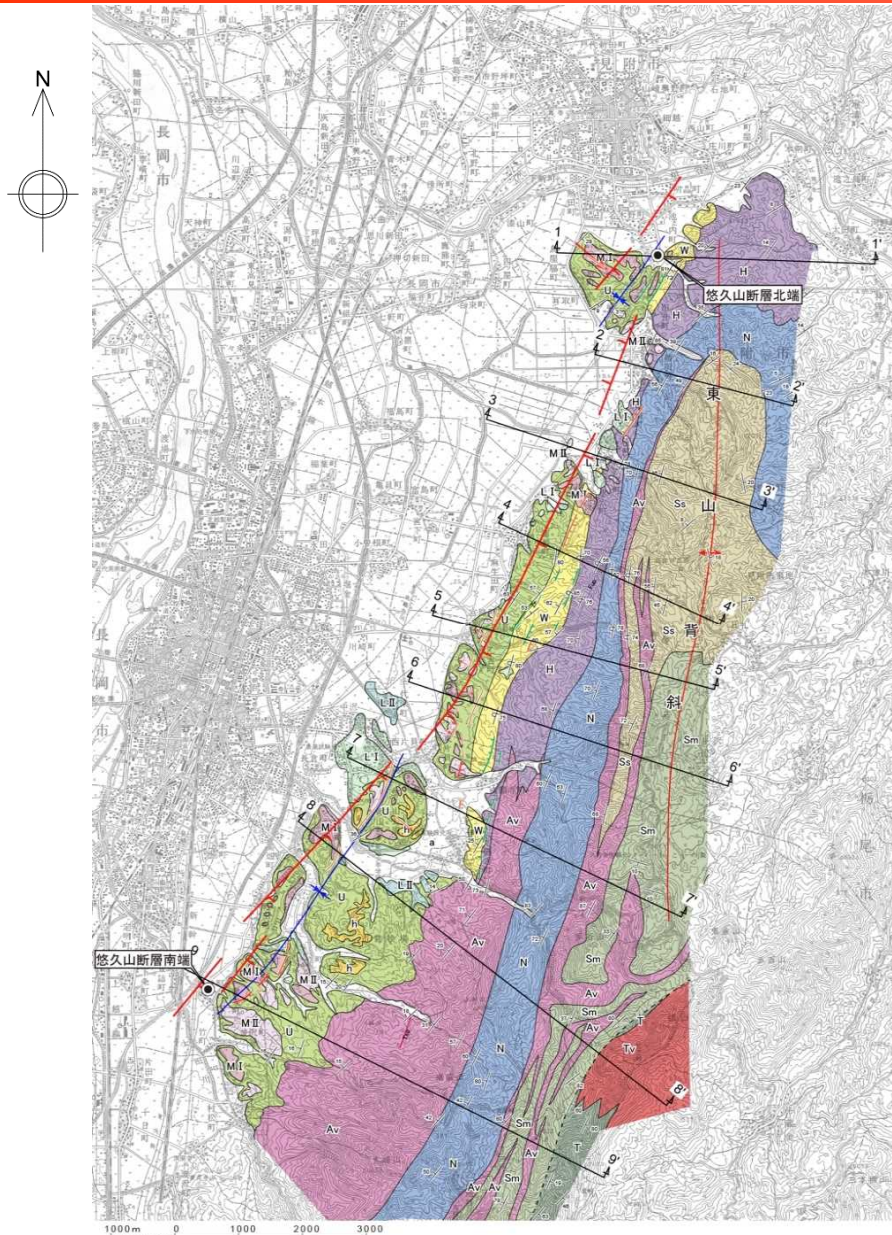
「[新編]日本の活断層」(1991)

確実度 I : 活断層であることが確実なもの

この地図は、国土地理院発行の5万分の1地形図(長岡・三条)を使用したものである。

悠久山断層周辺の空中写真判読図

6.4.1.1 悠久山断層 (地質図)



■ リニアメントの一部は、和南津層と魚沼層との地層境界に認められるものの、リニアメントの多くは魚沼層あるいは和南津層中の急傾斜部に対応する。

凡 例

- a 沖積層・扇状地性堆積物
- LII LII面堆積物
- LI LI面堆積物
- MII MII面堆積物
- MI MI面堆積物
- h H面堆積物
- U 魚沼層(礫・砂・泥互層)
- W 和南津層(砂岩)
- H 灰爪層(砂質泥岩)
- N 西山層(塊状泥岩)
- Av 安山岩質溶岩・火砕岩
- Sm 椎谷層(泥岩及び泥岩優勢砂岩・泥岩互層)
- Ss 椎谷層(砂岩及び砂岩優勢砂岩・泥岩互層)
- T 寺泊層(黒色泥岩)
- Tv デイサイト質溶岩・火砕岩

この地図は、国土地理院発行の5万分の1地形図(長岡・三条)を使用したものである。

Zr(SK030)テフラ
FuP テフラ
TsP テフラ

背斜軸
向斜軸
断面線

リニアメント

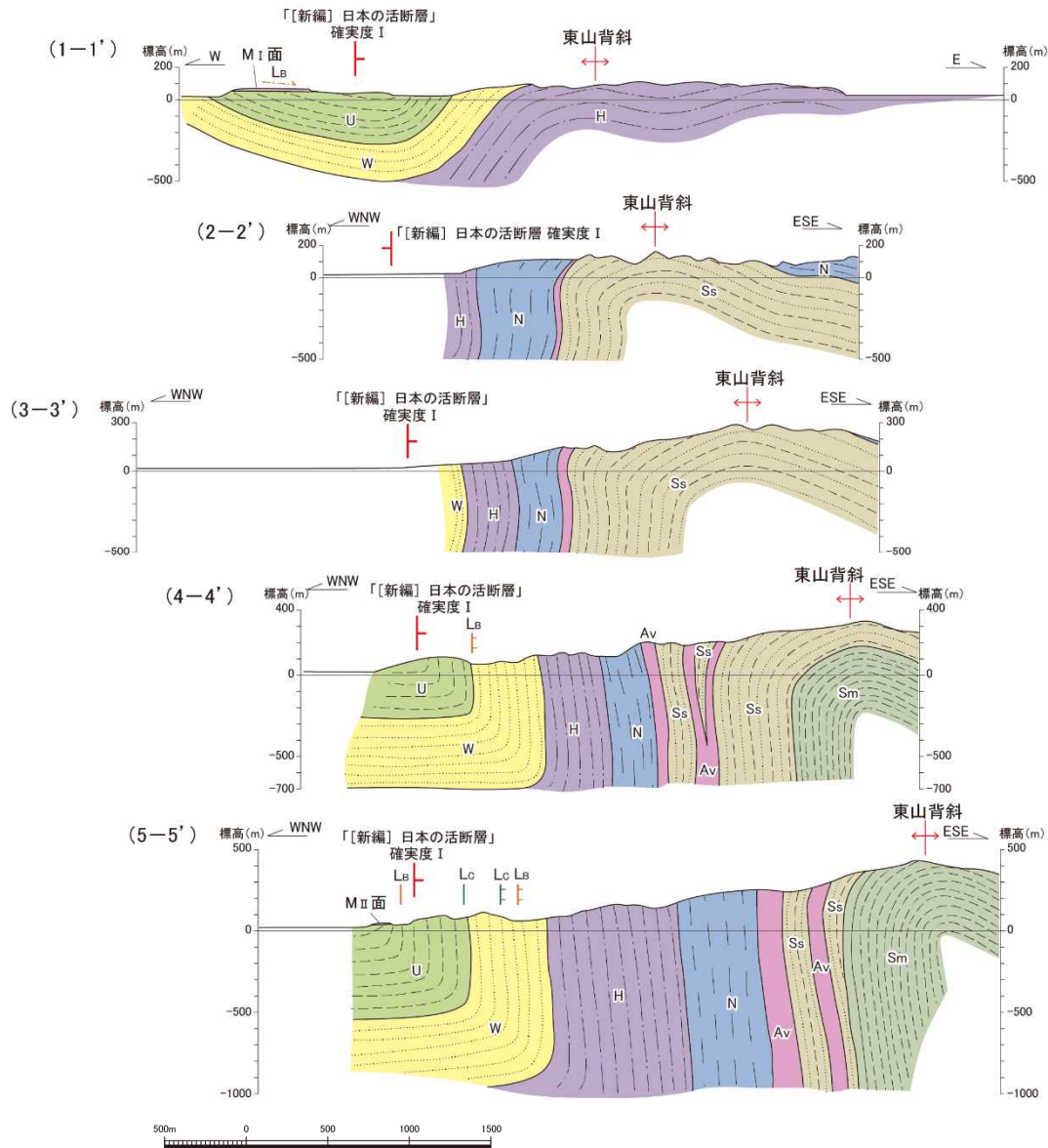
ランク	LA	LB	Lc	Ld
凡 例				

短線は低い側を、矢印の方向は横ずれの方向を示す。
段丘面上の急傾斜部
矢印の方向は傾斜方向を示す。

「[新編]日本の活断層」(1991)
 確実度 I : 活断層であることが確実なもの

悠久山断層周辺の地質図

6.4.1.1 悠久山断層（地質断面図：北部）

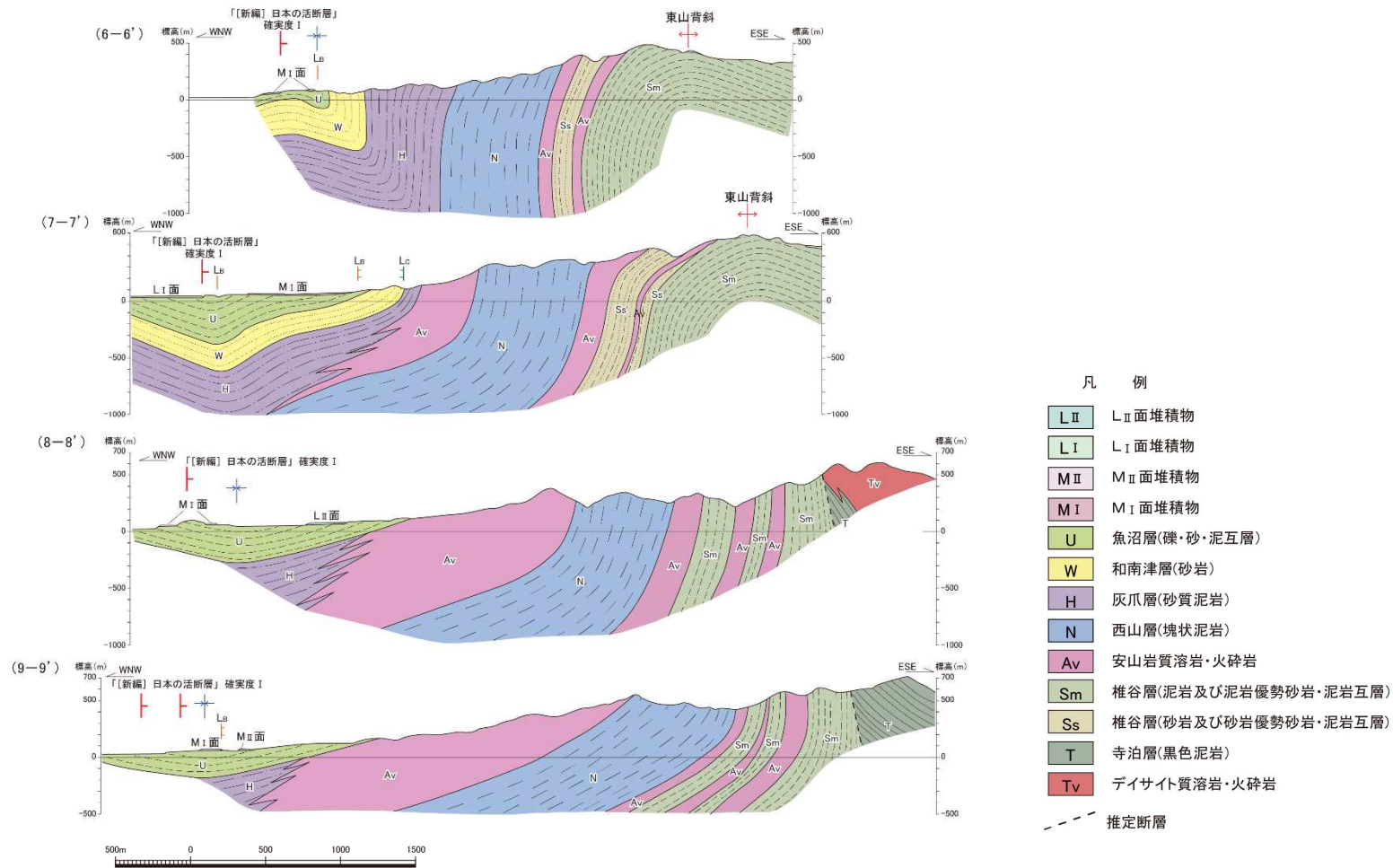


リニアメントの一部は、和南津層と魚沼層との地層境界に認められるものの、リニアメントの多くは魚沼層あるいは和南津層中の急傾斜部に対応する。

- 凡 例
- L II L II 面堆積物
 - L I L I 面堆積物
 - M II M II 面堆積物
 - M I M I 面堆積物
 - U 魚沼層(礫・砂・泥互層)
 - W 和南津層(砂岩)
 - H 灰爪層(砂質泥岩)
 - N 西山層(塊状泥岩)
 - Av 安山岩質溶岩・火砕岩
 - Sm 椎谷層(泥岩及び泥岩優勢砂岩・泥岩互層)
 - Ss 椎谷層(砂岩及び砂岩優勢砂岩・泥岩互層)
 - T 寺泊層(黒色泥岩)
 - Tv デイサイト質溶岩・火砕岩
 - - - 推定断層

悠久山断層周辺の地質断面図

6.4.1.1 悠久山断層（地質断面図：南部）



悠久山断層周辺の地質断面図

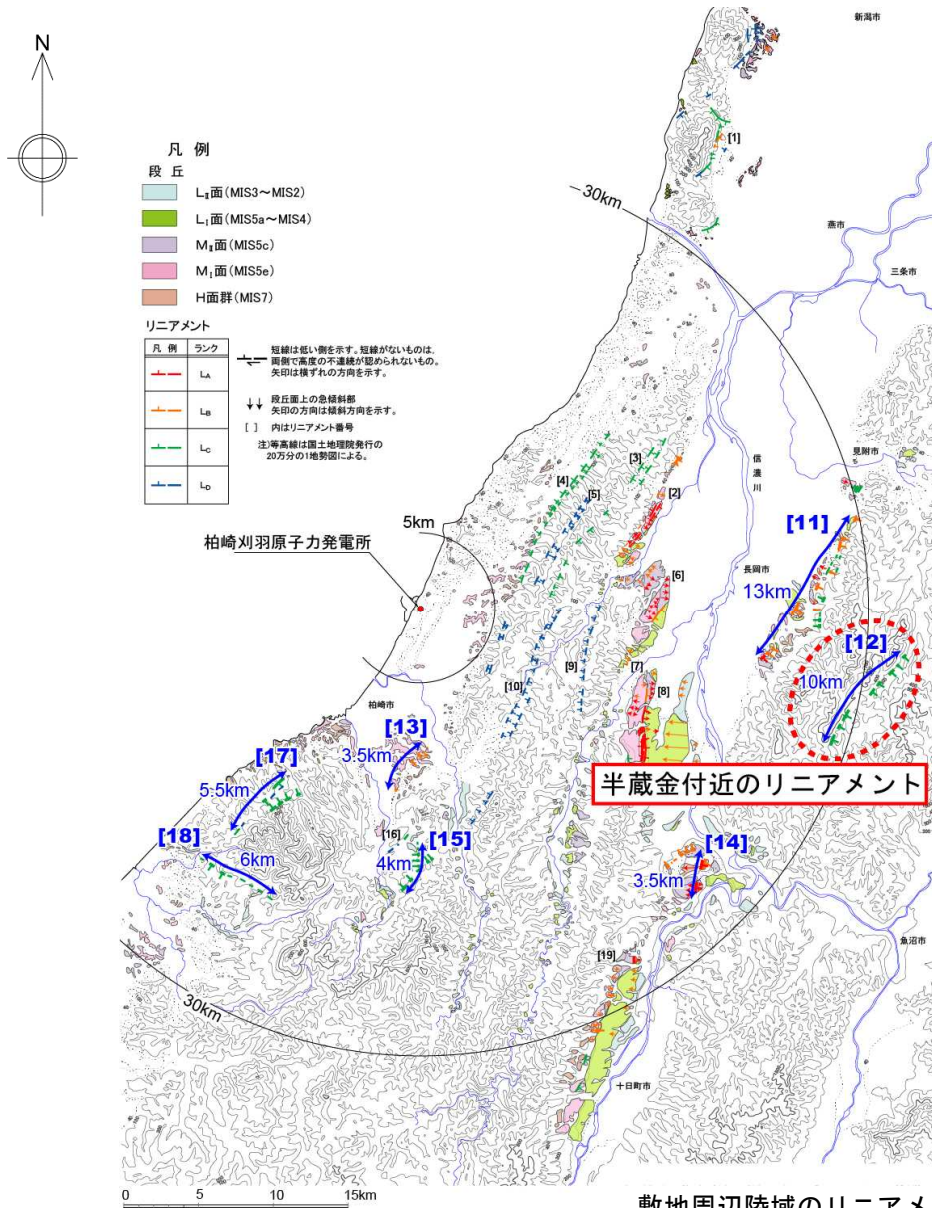
- リニアメントは、東山背斜西翼の向斜軸部周辺の魚沼層に認められる。
- リニアメントが判読される区間に、断層が存在する可能性は否定できない。

6.4.1.1 悠久山断層（評価）

悠久山断層の評価

断層・リニアメント名	空中写真判読結果				文献調査結果		評価
	ランク	長さ	地形形態	変位基準	[新編] 日本の活断層	活断層詳細 デジタルマップ	
[11] 悠久山断層	L _A , L _B 及びL _C	10 (北部)	逆傾斜・傾斜変換部	M _I 面	確実度 I・III [15km]	活断層 12.5km	<ul style="list-style-type: none"> 名木野町から栖吉町に至る間に認められる東上がりの撓曲構造は、後期更新世以降における活動があったものと判断され、悠久町から鷺巣町に至る間に認められる東落ちの断層が存在するとしても、東上がりの断層に付随したものと考えられることから、両者の活動性を考慮することとし、その区間は名木野町から鷺巣町に至る間の約13kmである。
			撓み状の崖	M _I 面・M _{II} 面			
			逆向きの低崖・直線状の谷	M _I 面・M _{II} 面			
	L _A , L _B	1.2 (南部)	逆向きの低崖・溝状凹地	M _{II} 面・L _I 面			
			逆傾斜	H面群			
		逆向きの低崖・溝状凹地	M _I 面				

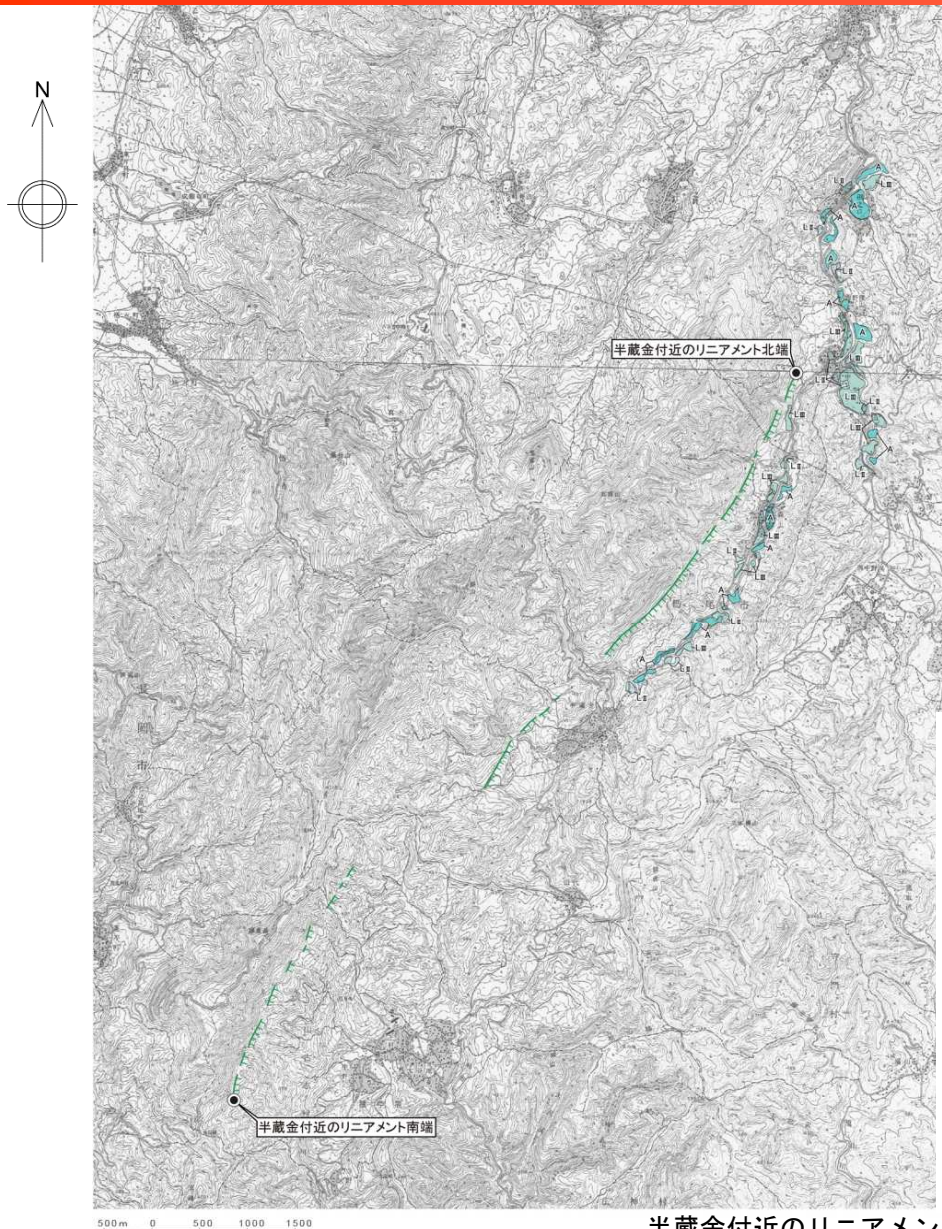
6.4.1.2 半蔵金付近のリニアメント（位置図）



■ 東山丘陵に、L_Cリニアメントが判読される。

敷地周辺陸域のリニアメント分布図

6.4.1.2 半蔵金付近のリニアメント（文献調査・空中写真判読図）



- NE-SW方向に連続的、あるいは断続的に、約10km間にL_Cリニアメントが判読される。
- 同リニアメント付近に、活断層あるいは推定活断層は、いずれの文献にも示されていない。

凡例

段丘区分

A	A面
L _{III}	L _{III} 面
L _{II}	L _{II} 面 (MIS3 ~ MIS2)

リニアメント

ランク	LA	LB	LC	LD
凡例				

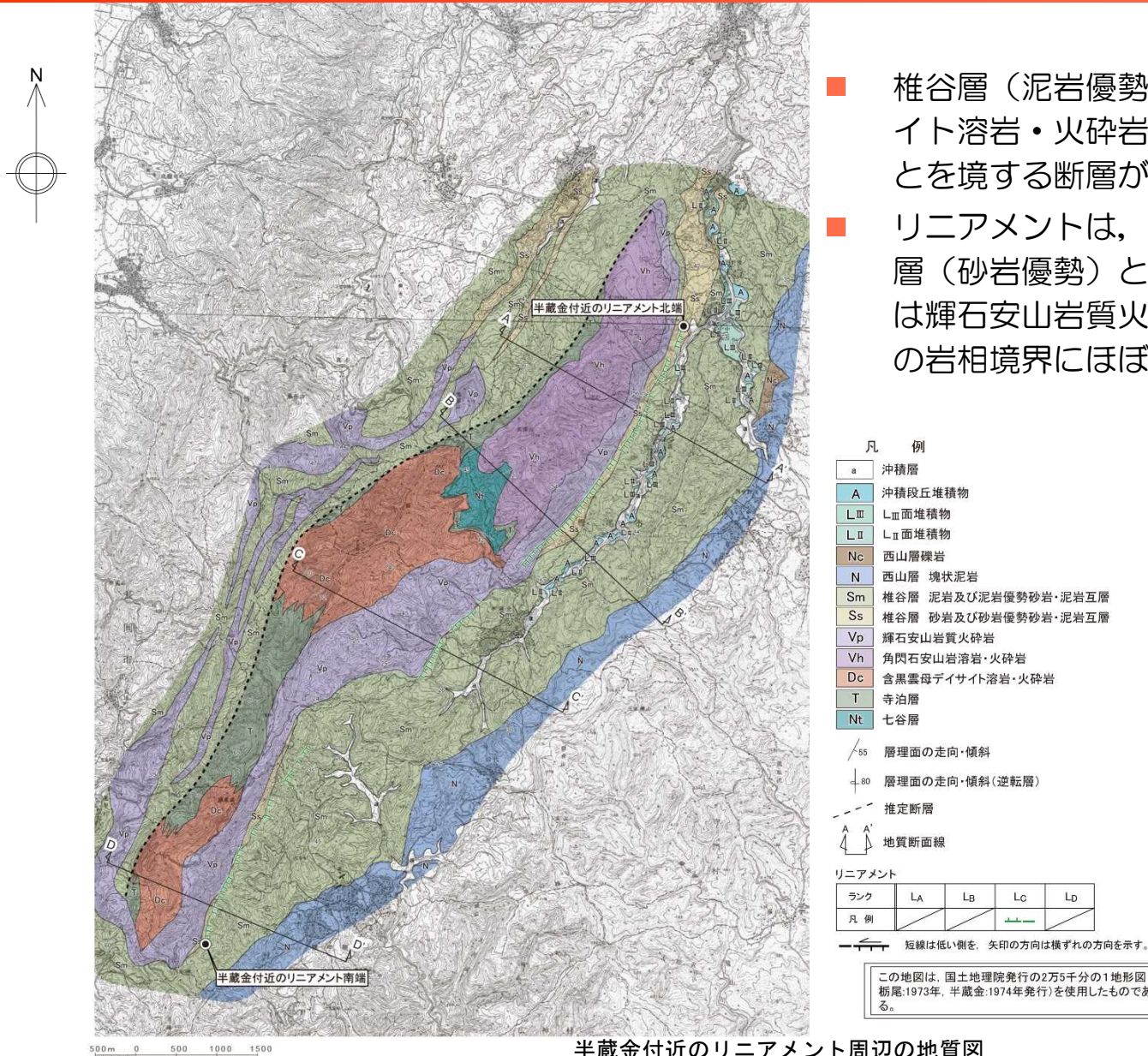
短線は低い側を、矢印の方向は横ずれの方向を示す。

段丘面上の急傾斜部
矢印の方向は傾斜方向を示す。

この地図は、国土地理院発行の2万5千分の1地形図（
栃尾:1973年、半蔵金:1974年発行）を使用したものである。

半蔵金付近のリニアメント周辺の空中写真判読図

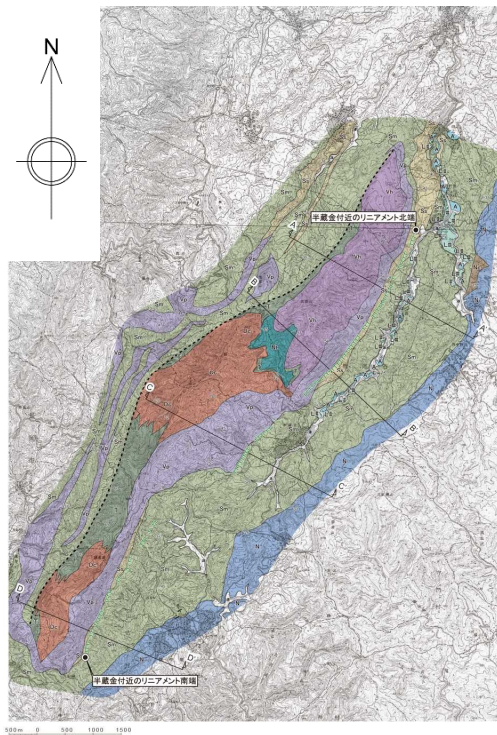
6.4.1.2 半蔵金付近のリニアメント（地質図）



- 椎谷層（泥岩優勢）と寺泊層，含黒雲母デイサイト溶岩・火砕岩及び角閃石安山岩溶岩・溶岩とを境する断層が推定される。
- リニアメントは，同推定断層に対応せず，椎谷層（砂岩優勢）と椎谷層（泥岩優勢），あるいは輝石安山岩質火砕岩と椎谷層（砂岩優勢）との岩相境界にほぼ対応する。

半蔵金付近のリニアメント周辺の地質図

6.4.1.2 半蔵金付近のリニアメント（地質断面図）



半蔵金付近のリニアメント周辺の地質図

- 凡例
- a 沖積層
 - A 沖積段丘堆積物
 - LⅢ LⅢ面堆積物
 - LⅡ LⅡ面堆積物
 - Nc 西山層礫岩
 - N 西山層塊状泥岩
 - Sm 椎谷層泥岩及び泥岩優勢砂岩・泥岩互層
 - Ss 椎谷層砂岩及び砂岩優勢砂岩・泥岩互層
 - Vp 輝石安山岩質火砕岩
 - Vh 角閃石安山岩溶岩・火砕岩
 - Dc 含黒雲母デイサイト溶岩・火砕岩
 - T 寺泊層
 - Nt 七谷層

- 55 層理面の走向・傾斜
- 80 層理面の走向・傾斜（逆転層）

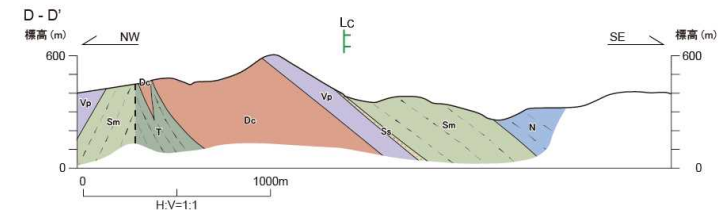
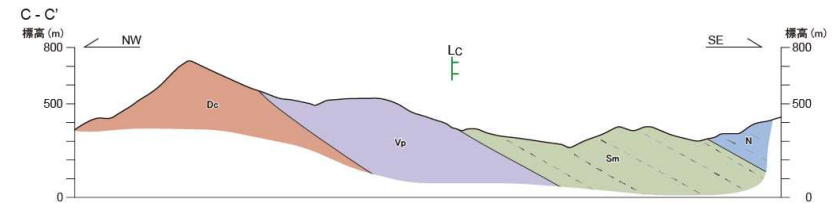
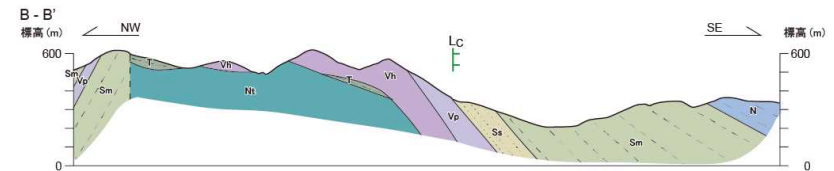
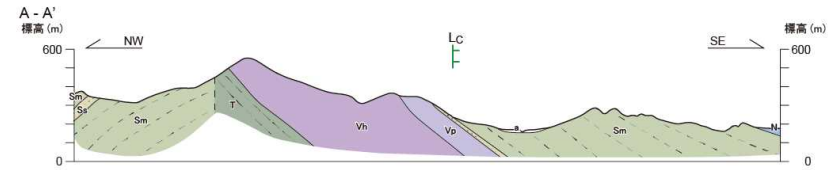
- 推定断層
- 地質断面線

リニアメント

ランク	LA	LB	LC	LD
凡例				

短線は低い側を、矢印の方向は横ずれの方向を示す。

この地図は、国土地理院発行の2万5千分の1地形図（栃尾:1973年、半蔵金:1974年発行）を使用したものである。



半蔵金付近のリニアメント周辺の地質断面図

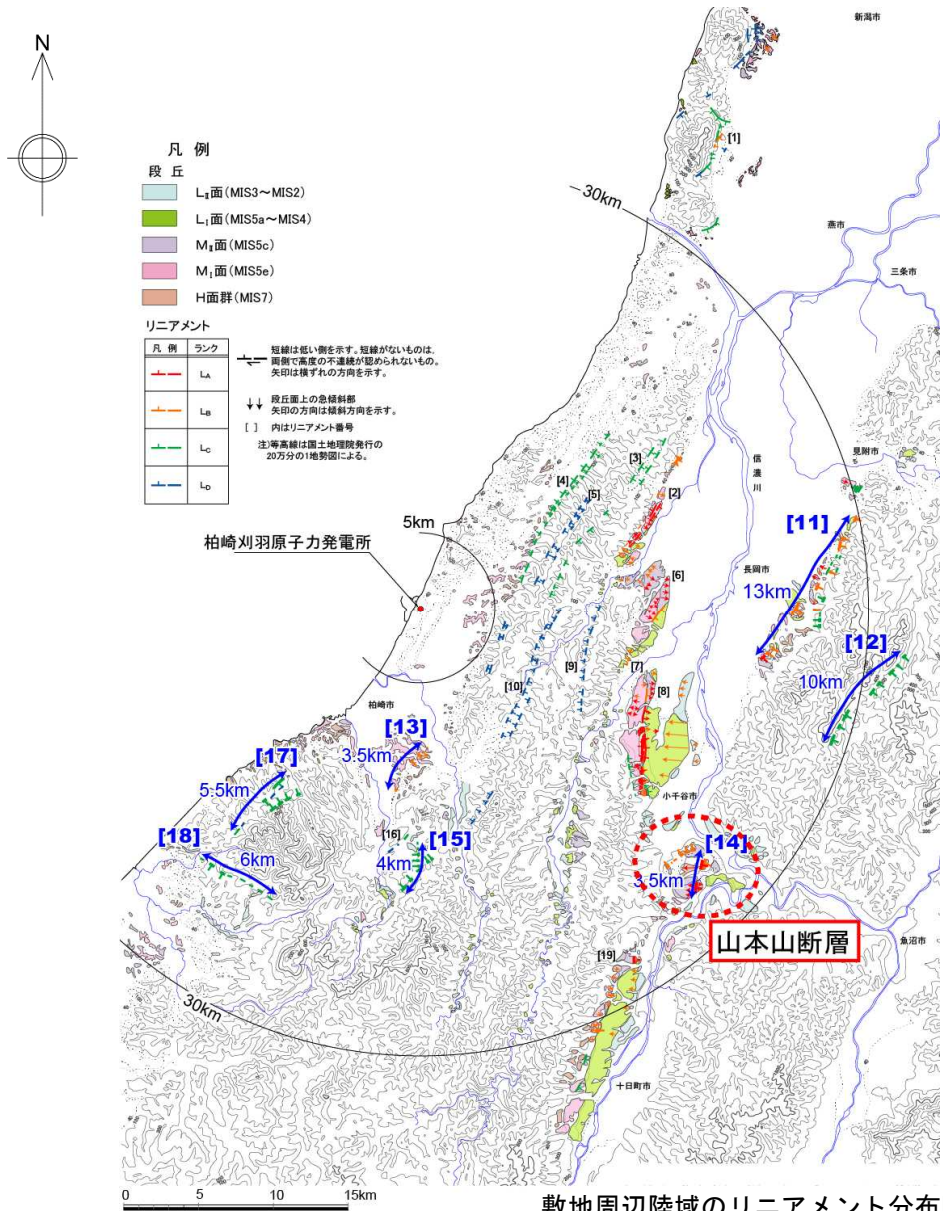
- リニアメントは、椎谷層（砂岩優勢）と椎谷層（泥岩優勢），あるいは輝石安山岩質火砕岩と椎谷層（砂岩優勢）との岩相境界にほぼ対応し侵食地形と推定されるが，リニアメントに対応する断層の存在を否定することはできない。

6.4.1.2 半蔵金付近のリニアメント（評価）

半蔵金付近のリニアメントの評価

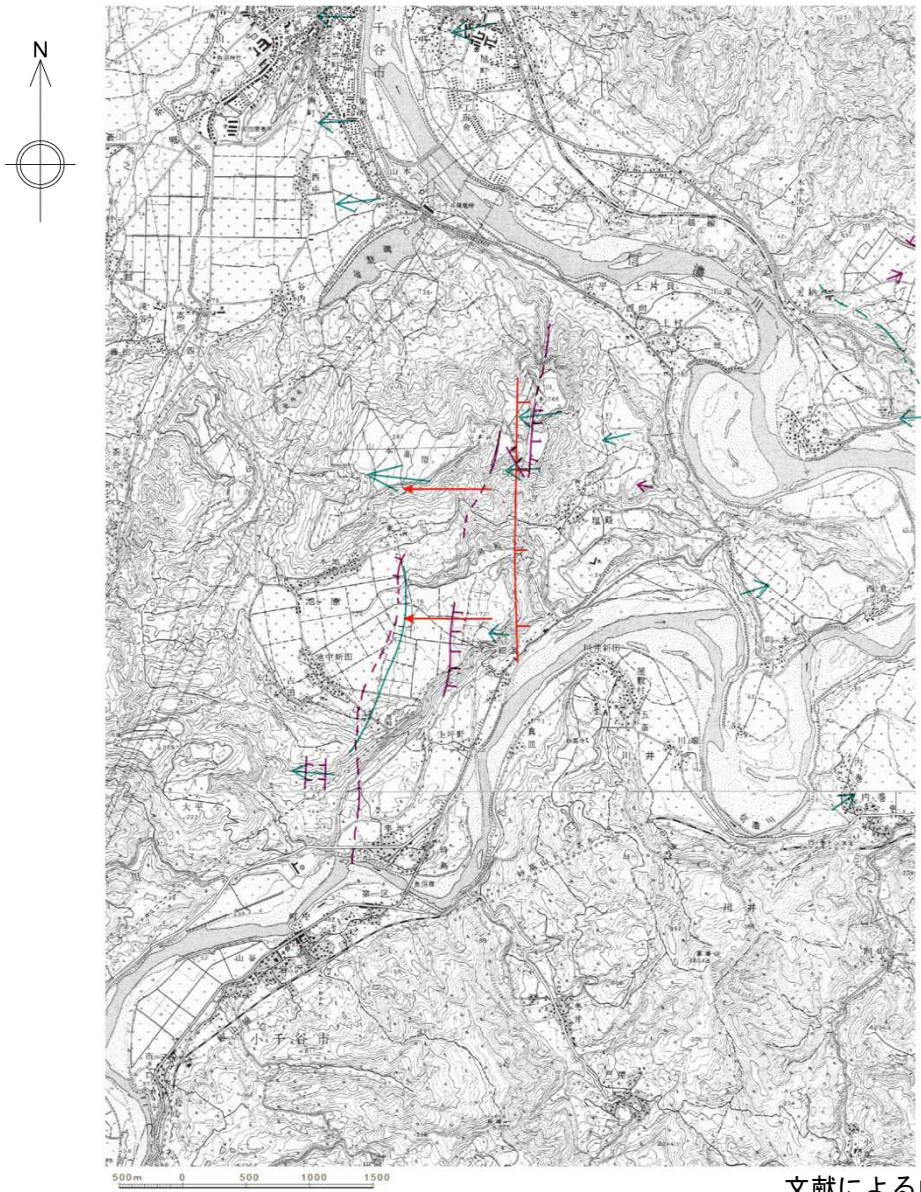
断層・リニアメント名	空中写真判読結果				文献調査結果		評 価
	ランク	長さ	地形形態	変位基準	[新編] 日本の活断層	活断層詳細 デジタルマップ	
[12] 半蔵金付近のリニアメント	L _c	10	崖・鞍部・直線状の谷	丘陵斜面	—	—	・判読されたリニアメントは、侵食地形と推定されるが、断層の存在を確実に否定できず、その長さは約10kmである。

6.4.1.3 山本山断層 (位置図)



■ 小千谷台地南部に、L_A及びL_Bリニアメントが判読される。

6.4.1.3 山本山断層 (文献調査)



「[新編] 日本の活断層」(1991), 「活断層詳細デジタルマップ」(2002) 及び「第四紀逆断層アトラス」(2002) 等によると, 活断層及び推定活断層が示される。

凡例

- 活断層*
- - - - 推定活断層*
- 活断層の疑のあるリニアメント**

★ 「日本活断層図」(1978), 「信越地域活構造図」(1979), 「活構造図一新編」(1984), 「[新編]日本の活断層」(1991)及び吉岡ほか(1997)による。
 ★★ 「[新編]日本の活断層」(1991)による。

注) 等高線は国土地理院発行の20万分の1地勢図による。

「活断層詳細デジタルマップ」(2002)

新編位置	確定	疑われ	疑われ	(前)
活断層の表現	TTTTTT	TTTTTT	TTTTTT	河川の屈曲(前)
不確か	TTTTTT	疑検曲	TTTTTT	(前)
不明	TTTTTT	侵食・人工改変	TTTTTT	(前)
	TTTTTT	存在	TTTTTT	(真緑)
	TTTTTT	移動	TTTTTT	
	TTTTTT	推定活断層	TTTTTT	

「第四紀逆断層アトラス」(2002)

- 活断層(破線は推定断層)

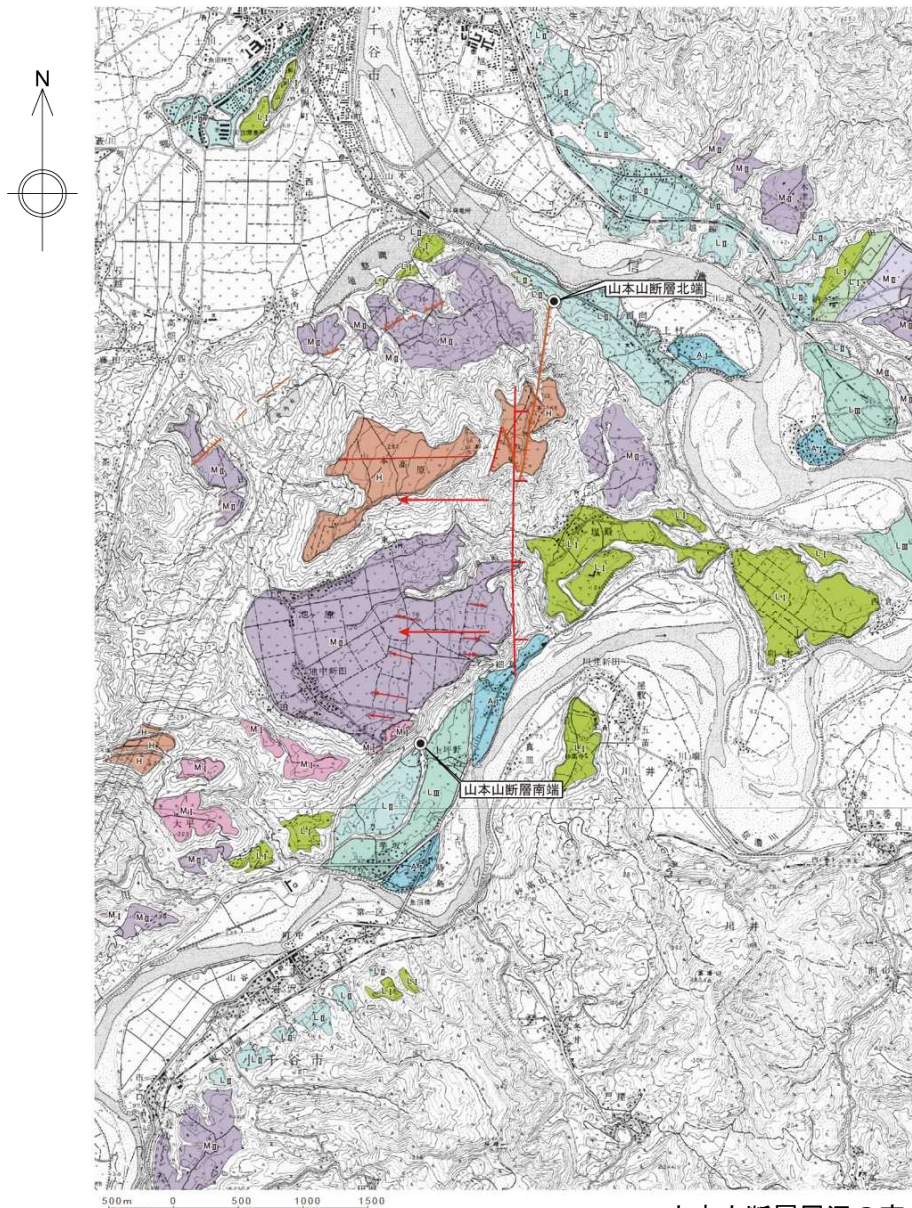
「都市圏活断層図」[「長岡」「小千谷」「十日町」(2001)]

- 活断層
- 推定活断層

注) 等高線は国土地理院発行の20万分の1地勢図による。

文献による山本山断層

6.4.1.3 山本山断層（空中写真判読図）



- 「[新編]日本の活断層」(1991)により示される活断層あるいは推定活断層の位置に対応して、ほぼN-S方向にL_A及びL_Bリニアメントが判読される。
- 上記のリニアメントに雁行して、WNW-ESE~NW-SE方向にL_Bリニアメントが判読される。
- N-S方向に連続するリニアメントの西側のH面及びM_{II}面上に、傾動が認められる。

凡例

段丘区分

A _I	A _I 面
L _{III}	L _{III} 面
L _{II}	L _{II} 面 (MIS3 ~ MIS2)
L _{II} +	L _{II} +面 (MIS3 ~ MIS2)
L _I	L _I 面 (MIS5a ~ MIS4)
L _I +	L _I +面 (MIS5a ~ MIS4)
M _{II} '	M _{II} '面 (MIS5c)
M _{II}	M _{II} 面 (MIS5c)
M _I	M _I 面 (MIS5e)
H	H面群 (MIS7 あるいはそれ以前の高海面期)

リニアメント

ランク	L _A	L _B	L _C	L _D
凡例	——	——	——	——

短線は低い側を、矢印の方向は横ずれの方向を示す。

段丘面上の急傾斜部
矢印の方向は傾斜方向を示す。

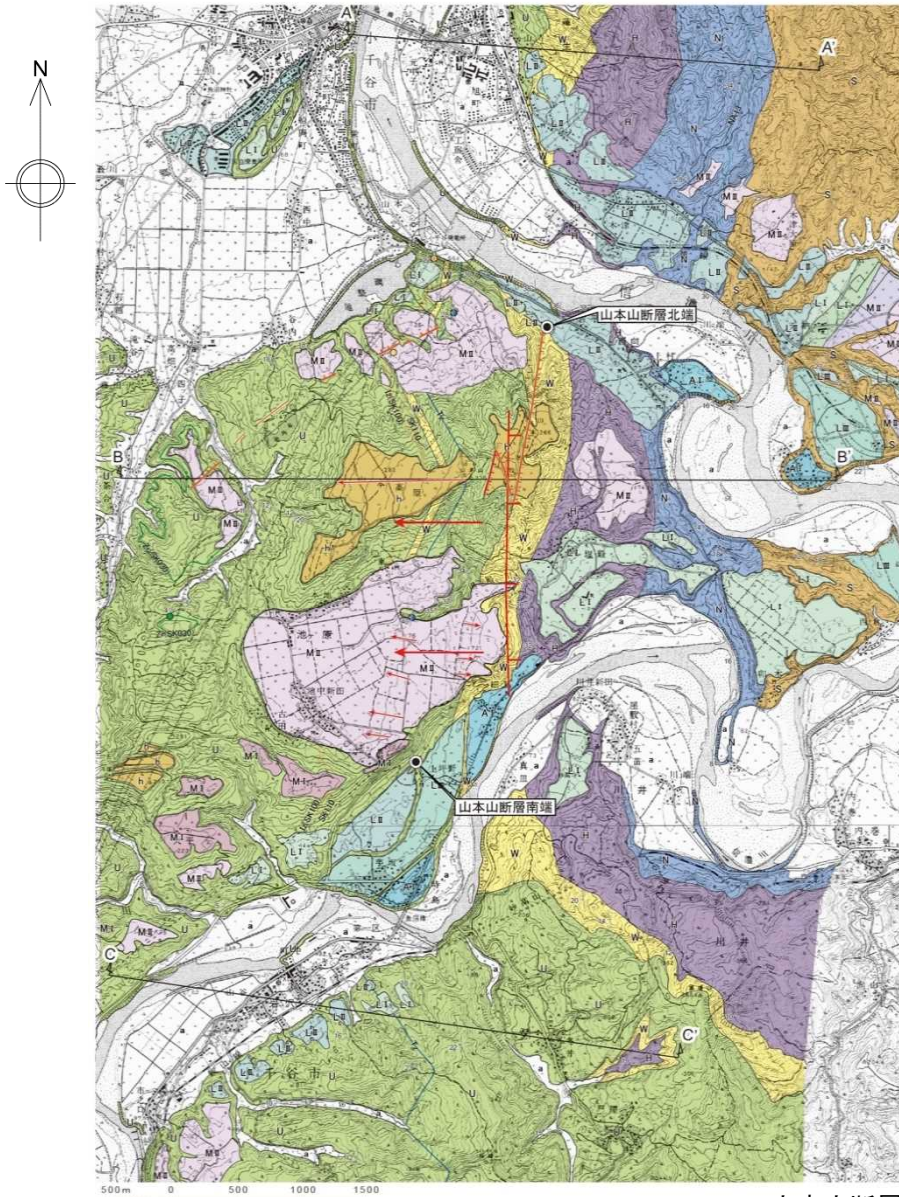
「[新編]日本の活断層」(1991)

—— 確実度 I : 活断層であることが確実なもの

この地図は、国土地理院発行の2万5千分の1地形図(小千谷:1971年, 岩沢1977年発行)を使用したものである。

山本山断層周辺の空中写真判読図

6.4.1.3 山本山断層 (地質図)



- N-S方向に連続するリニアメントは、和南津層及び魚沼層を不整合に覆うH面群堆積物に位置する。
- これに雁行するリニアメントは、魚沼層及びそれを覆うM_{II}面堆積物に位置する。

凡 例

a	沖積層
A _I	A _I 面堆積物
L _{III}	L _{III} 面堆積物
L _{II}	L _{II} 面堆積物
L _{II} +	L _{II} +面堆積物
L _I	L _I 面堆積物
L _I +	L _I +面堆積物
M _{II} '	M _{II} '面堆積物
M _{II}	M _{II} 面堆積物
M _I	M _I 面堆積物
h	H面群堆積物
U	魚沼層
W	和南津層
H	灰爪層
N	西山層
S	椎谷層

● Z(Sk030) テフラ
 ● Ix(Sk100) テフラ
 ● Sk110 テフラ
 ● Tz テフラ
 ● NA13 テフラ (○は確認地点)

/55 層理面の走向・傾斜
 A A' 地質断面線

リニアメント

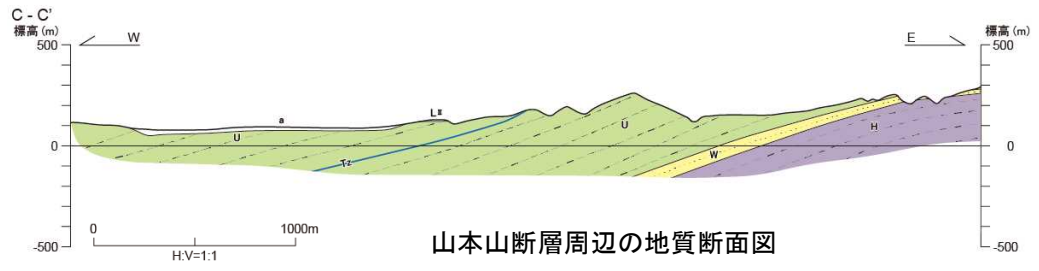
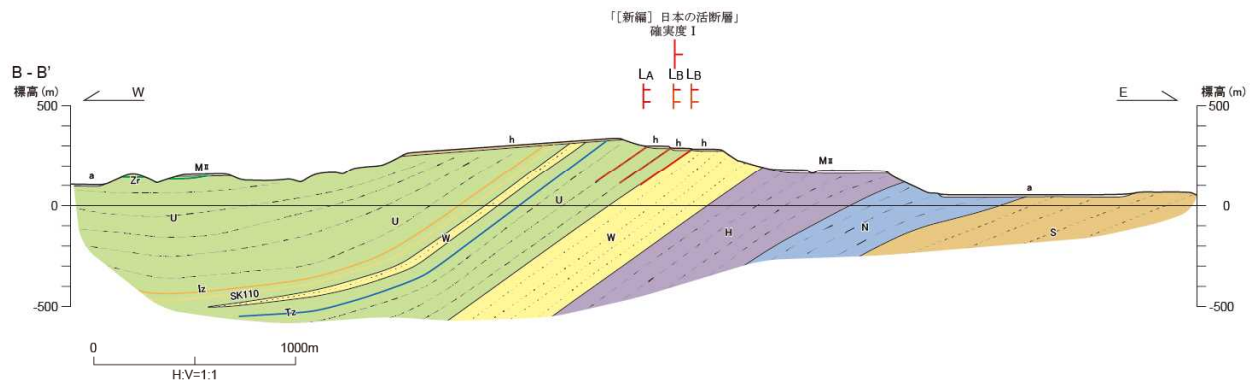
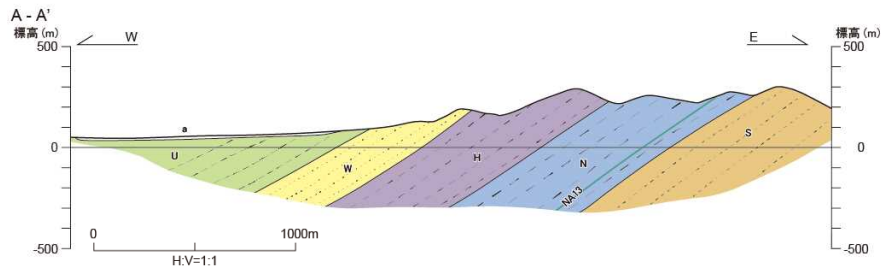
ランク	LA	LB	LC	LD
凡 例				

← 短線は低い側を、矢印の方向は横ずれの方向を示す。
 ← 段丘面上の急傾斜部
 ← 矢印の方向は傾斜方向を示す。

この地図は、国土地理院発行の2万5千分の1地形図(小千谷:1971年、岩沢:1977年発行)を使用したものである。

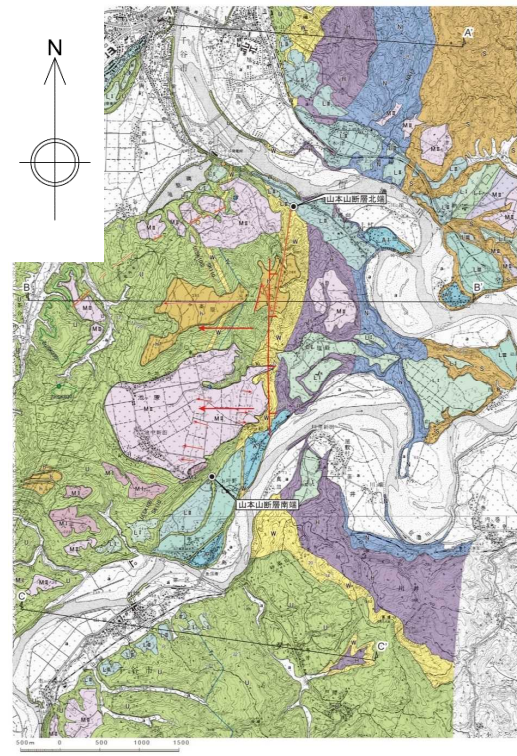
山本山断層周辺の地質図

6.4.1.3 山本山断層 (地質断面図)



山本山断層周辺の地質断面図

- H面上の低崖に認められるリニアメントに対応して断層が推定される。
- 同断層は、魚沼層の層面すべり断層であると判断される。



山本山断層周辺の地質図

凡 例

a	沖積層
A I	A I 面堆積物
L III	L III 面堆積物
L II	L II 面堆積物
L II+	L II+ 面堆積物
L I	L I 面堆積物
L I+	L I+ 面堆積物
M II'	M II' 面堆積物
M II	M II 面堆積物
M I	M I 面堆積物
h	H面群堆積物
U	魚沼層
W	和南津層
H	灰爪層
N	西山層
S	椎谷層

リニアメント

ランク	LA	LB	LC	LD
凡 例				

短線は低い側を、矢印の方向は横ずれの方向を示す。
段丘面上の急傾斜部
矢印の方向は傾斜方向を示す。

この地図は、国土地理院発行の2万5千分の1地形図(小千谷:1971年、岩沢:1977年発行)を使用したものである。

Z/(SK030) テフラ
Iz(SK100) テフラ
Sk110 テフラ
Tz テフラ
NA13 テフラ (○は観測地点)

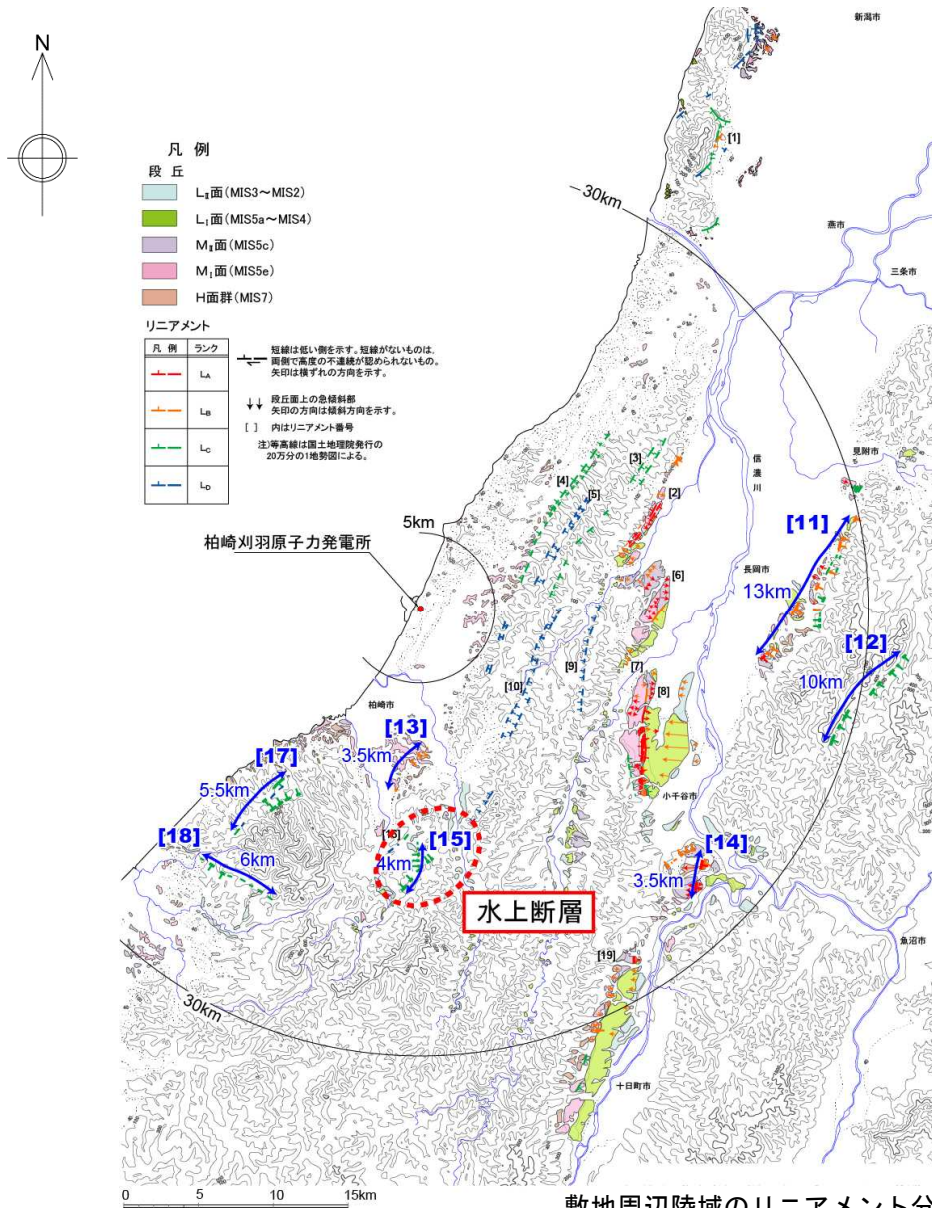
層理面の走向・傾斜
地質断面線

6.4.1.3 山本山断層（評価）

山本山断層の評価

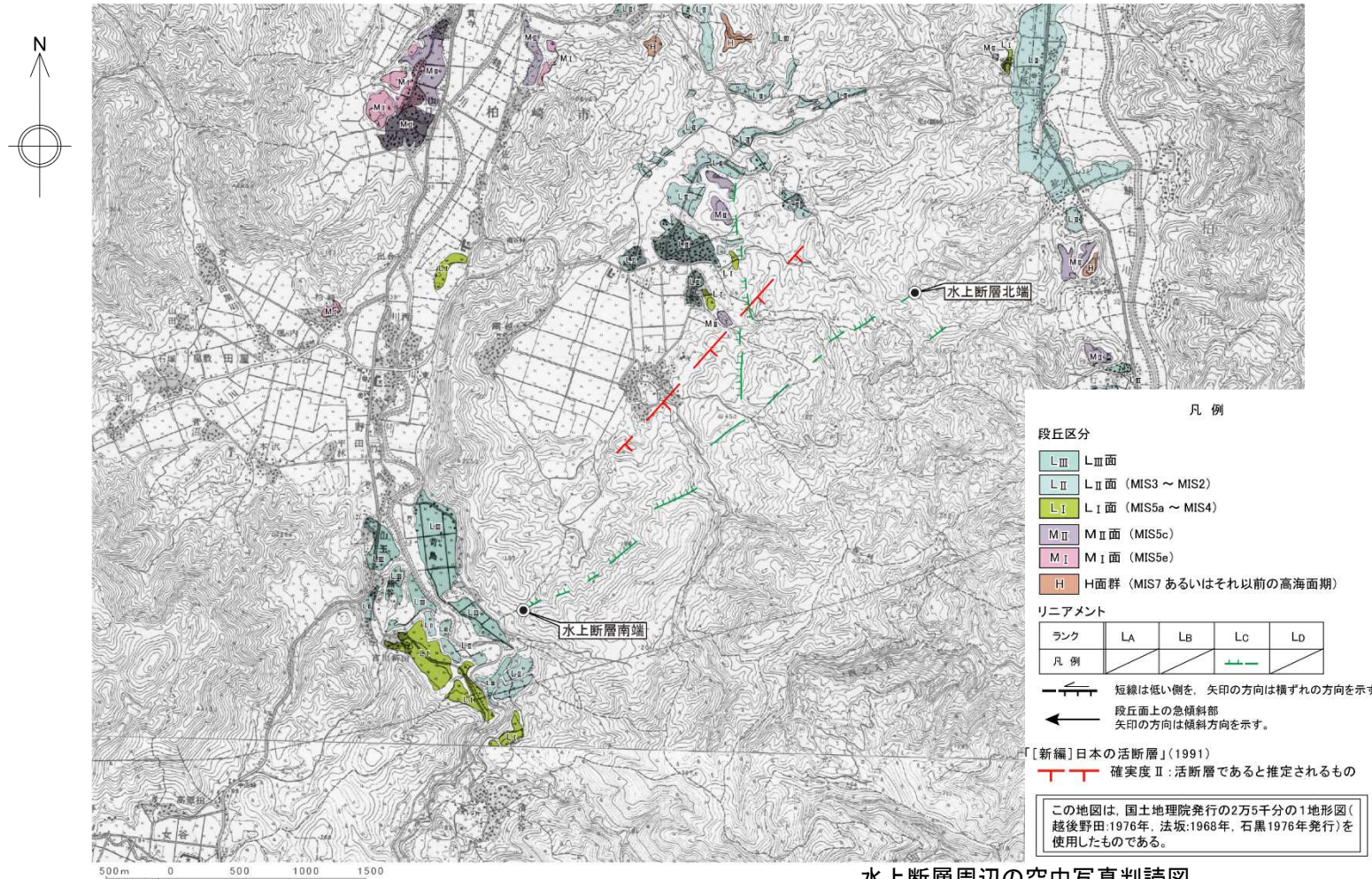
断層・リニアメント名	空中写真判読結果				文献調査結果		評価
	ランク	長さ	地形形態	変位基準	[新編] 日本の活断層	活断層詳細 デジタルマップ	
[14] 山本山断層	L _A , L _B	3.5	逆傾斜	H面群	確実度Ⅱ [3km]	活断層 3.5km	・ 小千谷市山本山付近から同市池中新田に至る間に認められる撓曲構造には東上がりの断層が推定され、後期更新世以降における活動があったものと判断され、その長さは約3.5kmである。
			撓み状の崖	M _Ⅱ 面			
			崖・撓み状の崖	H面群・M _Ⅱ 面			

6.4.1.4 水上断層（位置図）



■ 黒姫山丘陵北端部に、L_Cリニアメントが判読される。

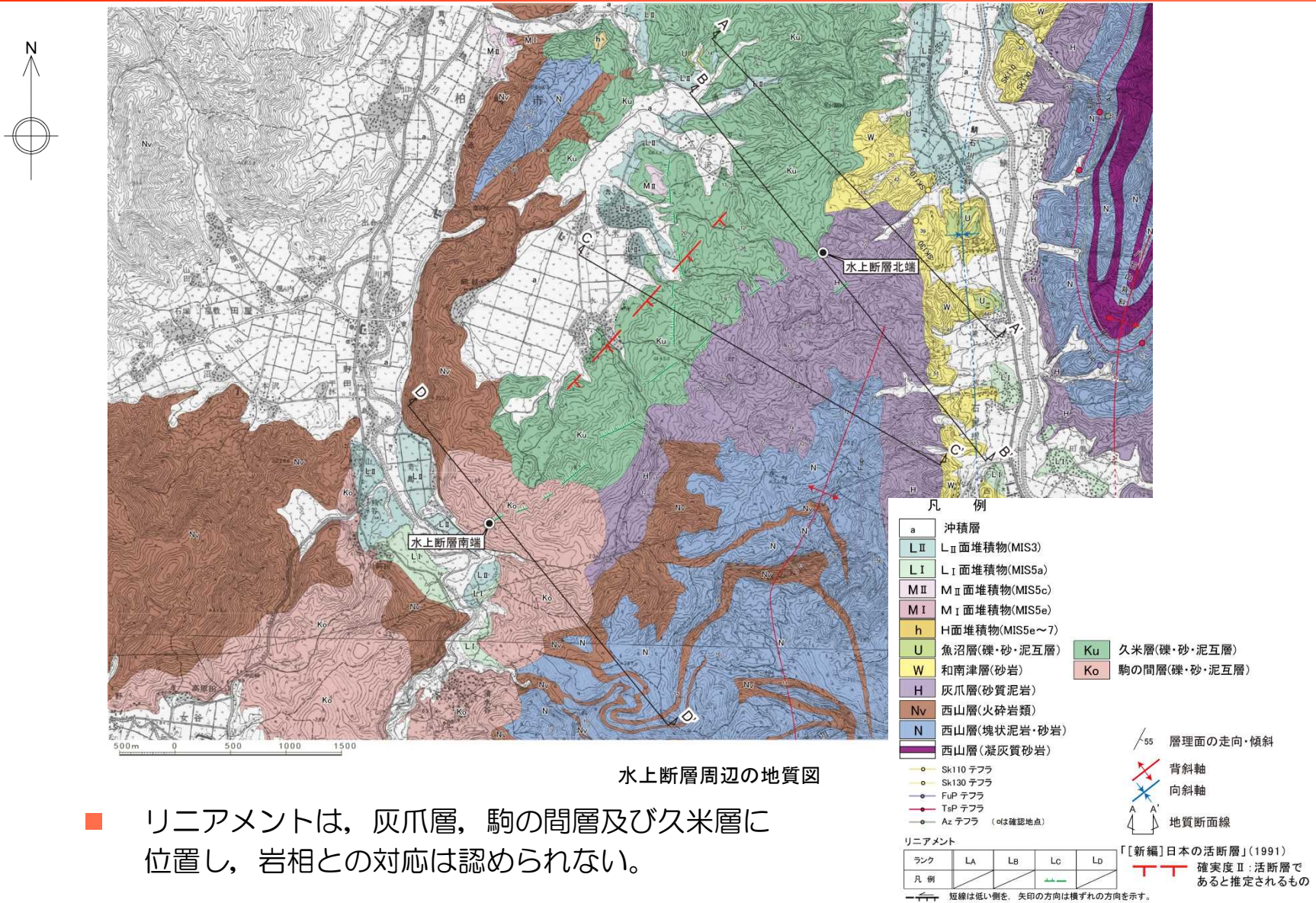
6.4.1.4 水上断層（文献調査・空中写真判読図）



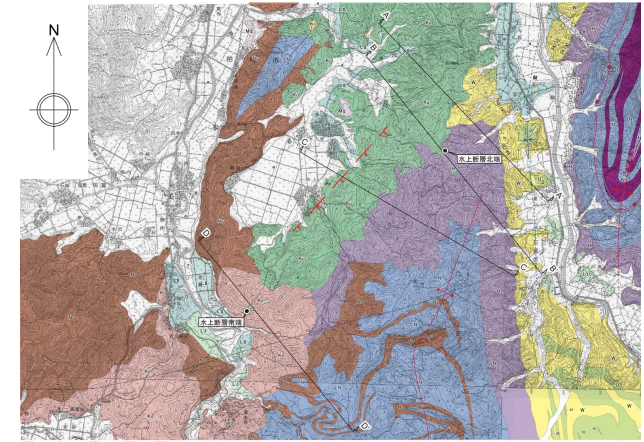
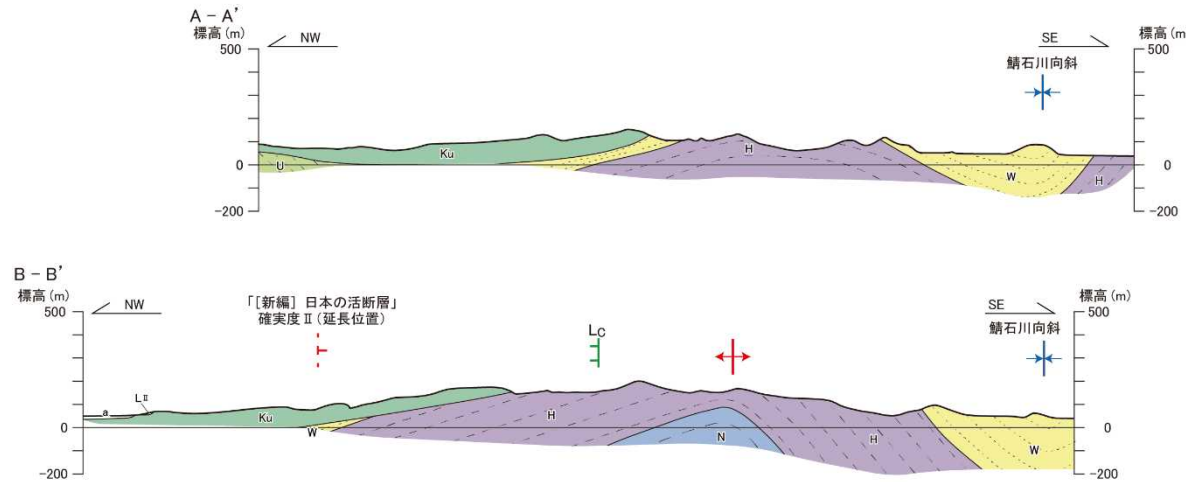
水上断層周辺の空中写真判読図

- 「【新編】日本の活断層」(1991)は、NE-SW方向の「活断層であると推定されるもの(確実度II)」を示している。
- 上記の推定活断層に並行してL_Cリニアメントが断続的に判読され、これらに斜交するN-S方向のL_Cリニアメントが判読される。

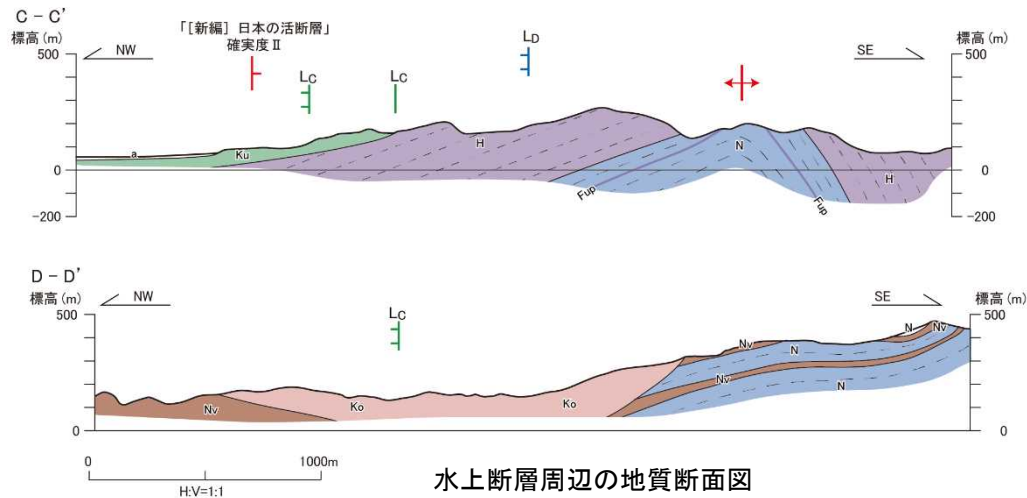
6.4.1.4 水上断層 (地質図)



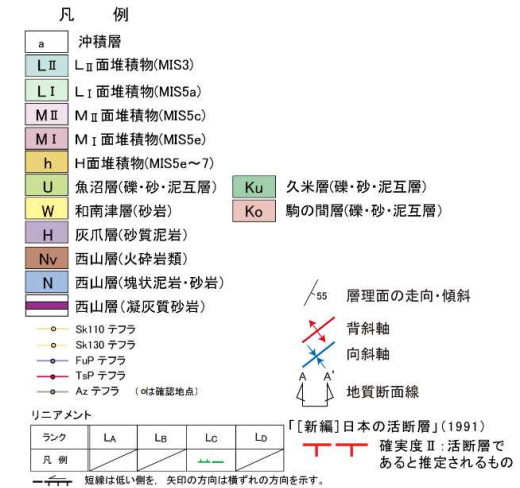
6.4.1.4 水上断層（地質断面図）



水上断層周辺の地質図



水上断層周辺の地質断面図



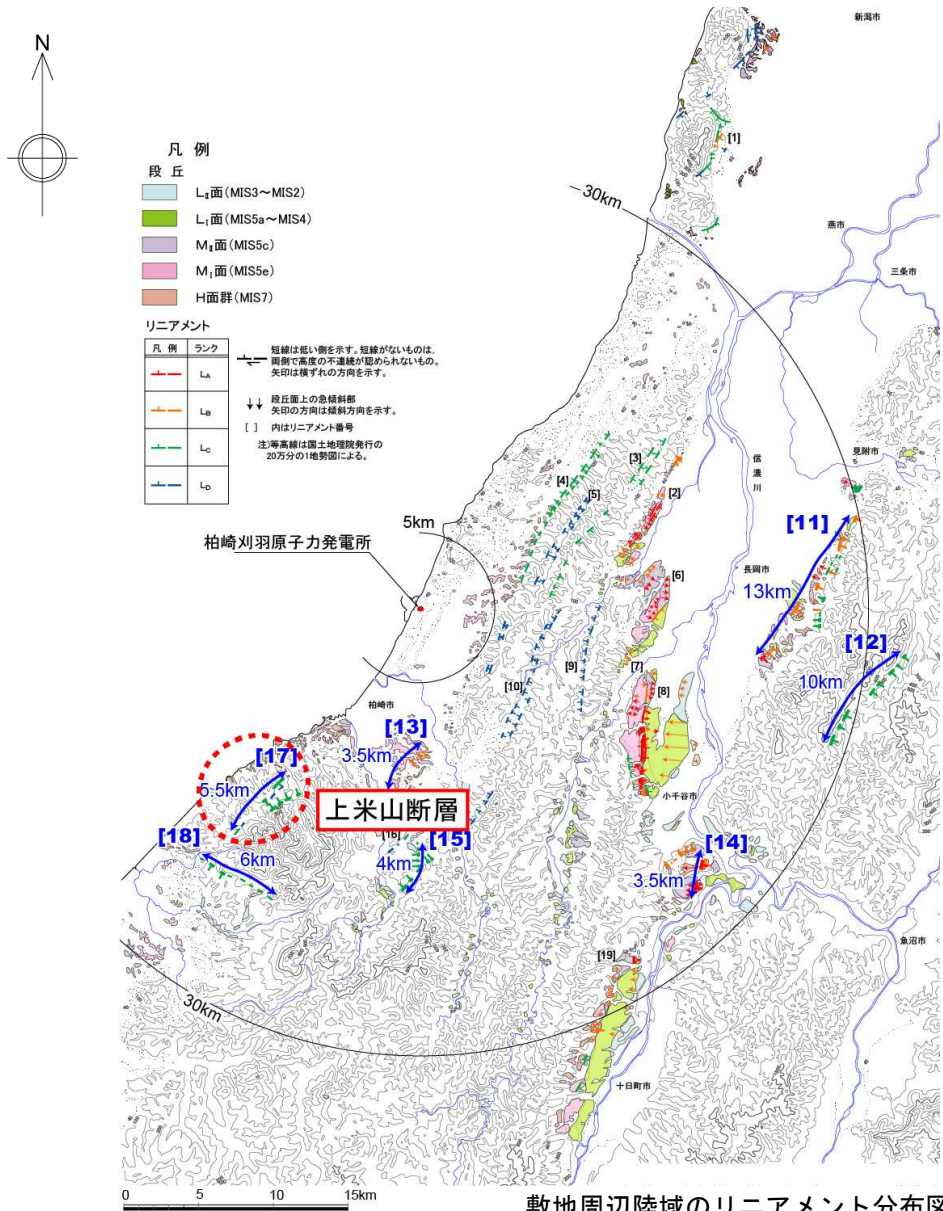
- リニアメントは、一部で灰爪層と久米層との岩相境界に対応するものの、大部分で岩相との対応は認められない。
- リニアメントに対応する断層の存在を否定することはできない。

6.4.1.4 水上断層（評価）

水上断層の評価

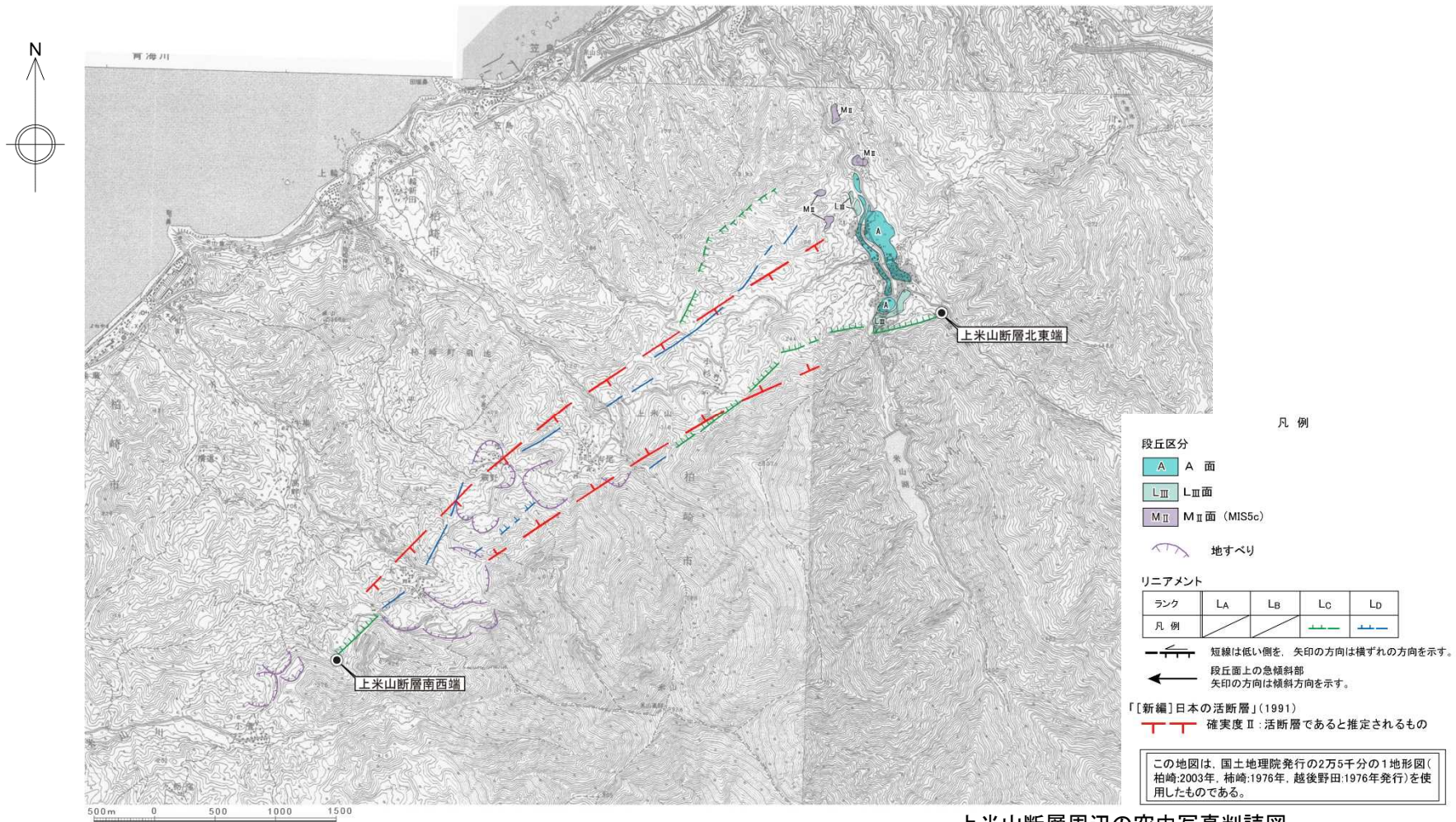
断層・リニアメント名	空中写真判読結果				文献調査結果		評価
	ランク	長さ	地形形態	変位基準	[新編] 日本の活断層	活断層詳細 デジタルマップ	
[15] 水上断層	L _c	4	崖・鞍部・溝状凹地	丘陵斜面	確実度Ⅱ [2km]	—	・判読されたリニアメントの一部は、侵食地形と推定されるが、その他の部分の成因は不明であり、その長さは約4kmである。

6.4.1.5 上米山断層（位置図）



■ 米山山塊に、L_C及びL_Dリニアメントが判読される。

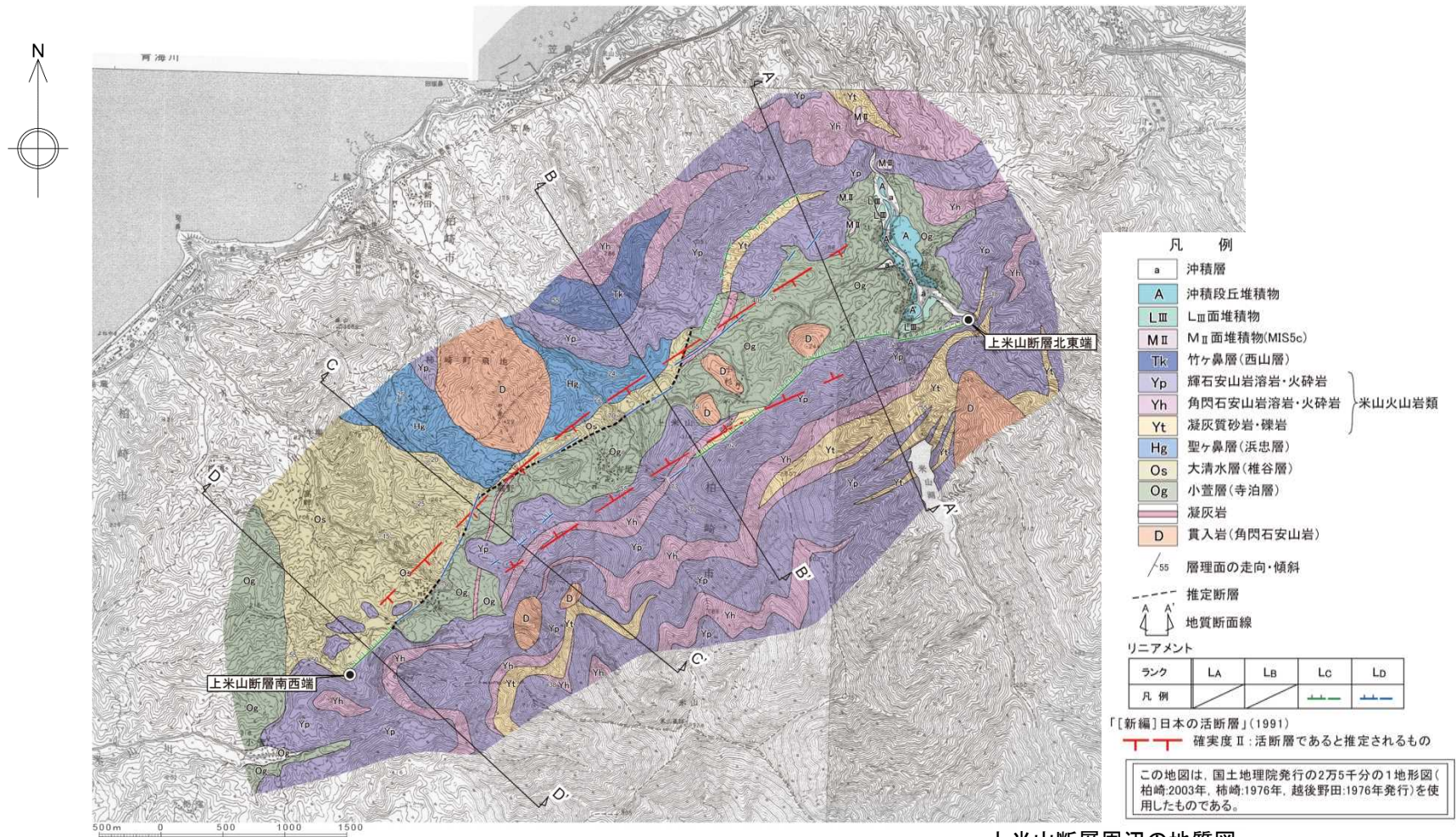
6.4.1.5 上米山断層（文献調査・空中写真判読図）



上米山断層周辺の空中写真判読図

- 「[新編]日本の活断層」(1991)は、2条のENE-WSW方向の「活断層であると推定されるもの(確実度Ⅱ)」を示している。
- 上記の推定活断層の位置にほぼ対応して、 L_C 及び L_D リニアメントが判読される。

6.4.1.5 上米山断層 (地質図)



上米山断層周辺の地質図

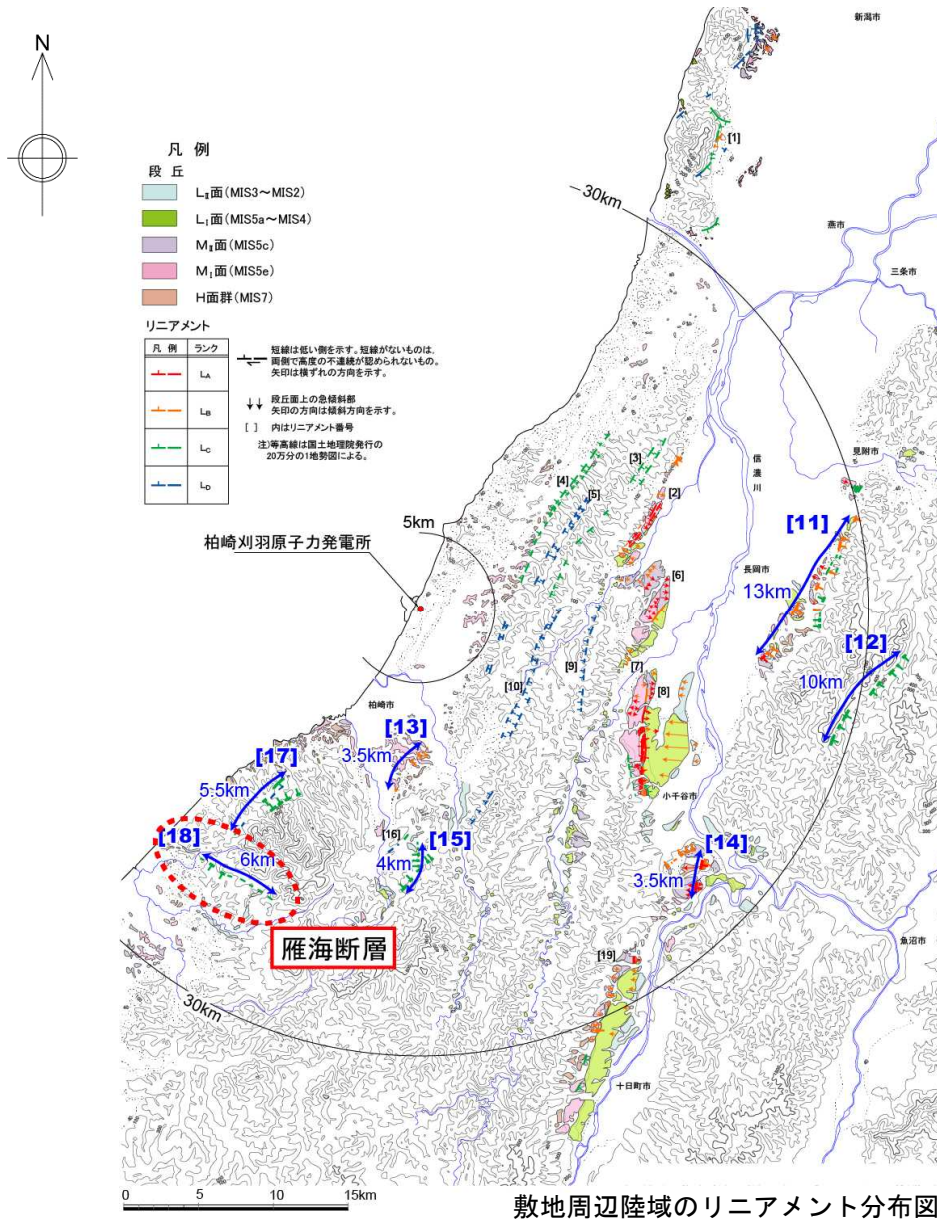
- 北西側のリニアメントの中央部は、小萱層と大清水層との間の推定断層にほぼ対応するものの、その北東端部は輝石安山岩溶岩・火砕岩と小萱層あるいは凝灰質砂岩・礫岩との岩相境界に対応する。
- 南東側のリニアメントの北東部は、輝石安山岩溶岩・火砕岩と小萱層あるいは凝灰質砂岩・礫岩との岩相境界に対応するものの、南西部では岩相境界との対応は認められない。

6.4.1.5 上米山断層（評価）

上米山断層の評価

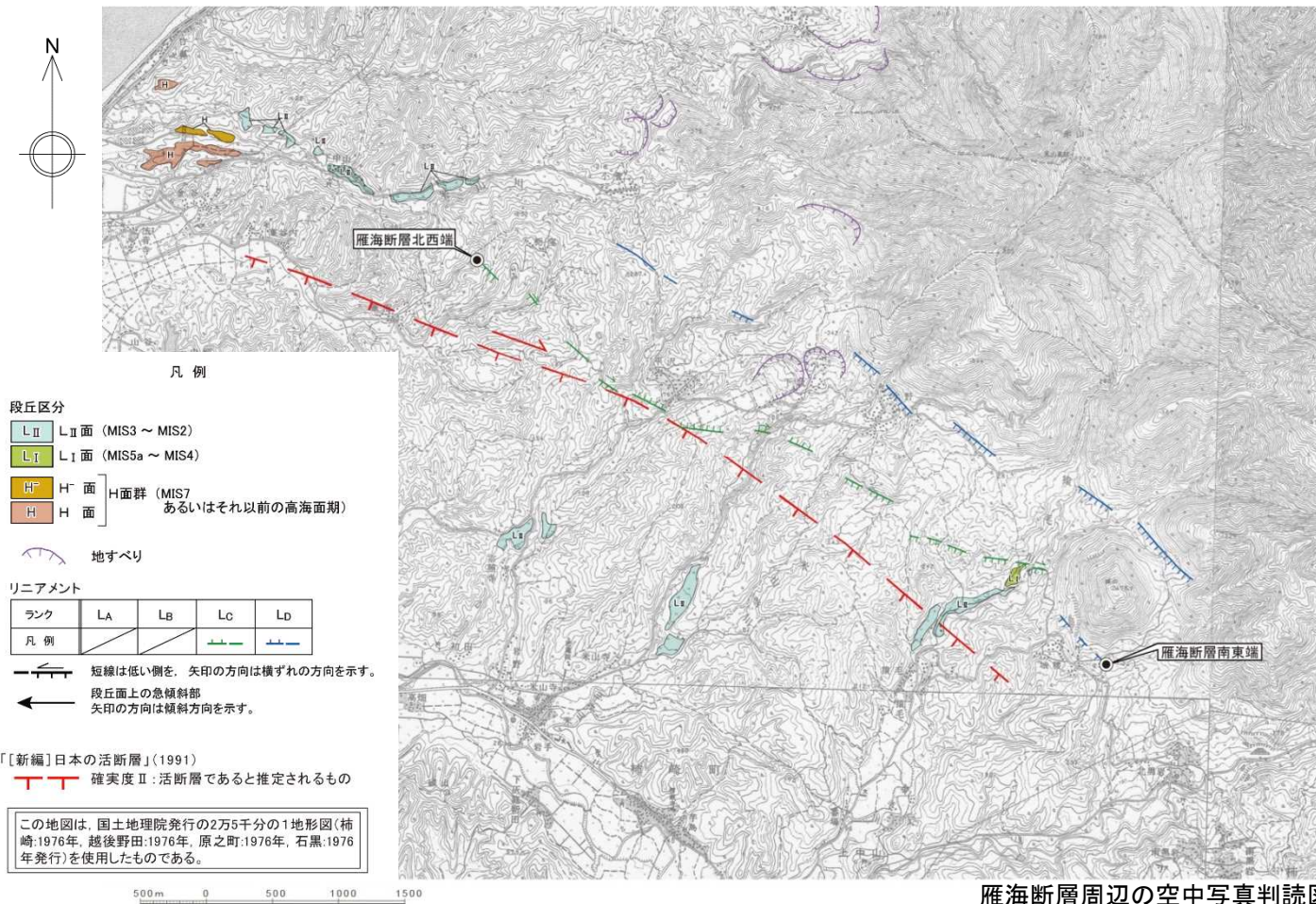
断層・リニアメント名	空中写真判読結果				文献調査結果		評価
	ランク	長さ	地形形態	変位基準	[新編] 日本の活断層	活断層詳細 デジタルマップ	
[17] 上米山断層	L _c , L _b	6	崖・鞍部	山地斜面	確実度 II [5km]	推定活断層 5km	・判読されたリニアメントは、侵食地形と推定されるが、断層の存在を確実には否定できず、その長さは約 6 km である。

6.4.1.6 雁海断層（位置図）



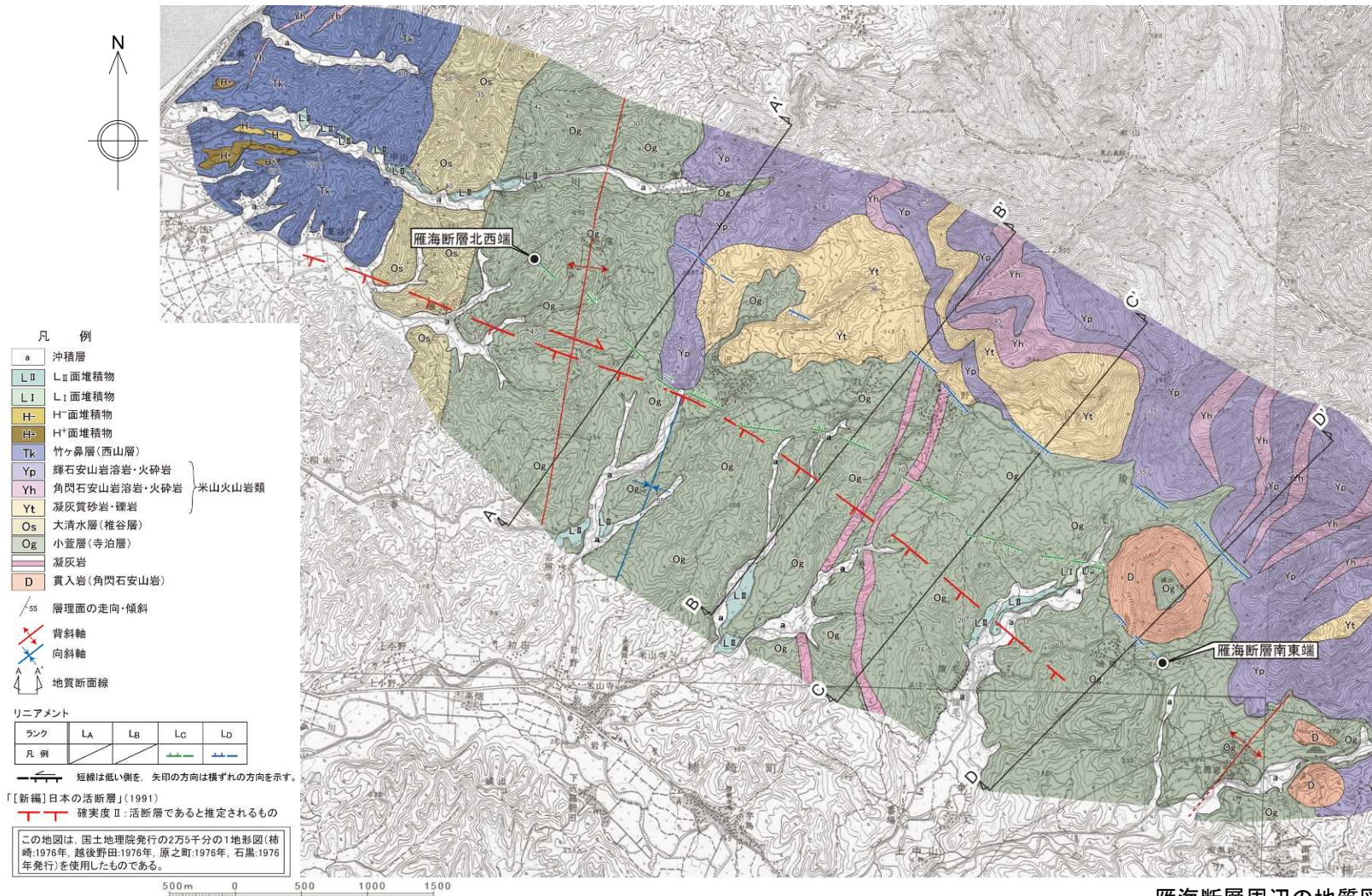
■ 米山山塊に、L_C及びL_Dリニアメントが判読される。

6.4.1.6 雁海断層（文献調査・空中写真判読図）



- 「[新編]日本の活断層」(1991)は、WNW-ESE~NW-SE方向の「活断層であると推定されるもの(確実度Ⅱ)」を示している。
- 上記の推定活断層の位置に並行して、2条のリニアメントが断続的に判読される。北西側のものはL_Dリニアメントからなり、南東側のものはL_Cリニアメントからなり、その南東端部でL_Dリニアメントが判読される。

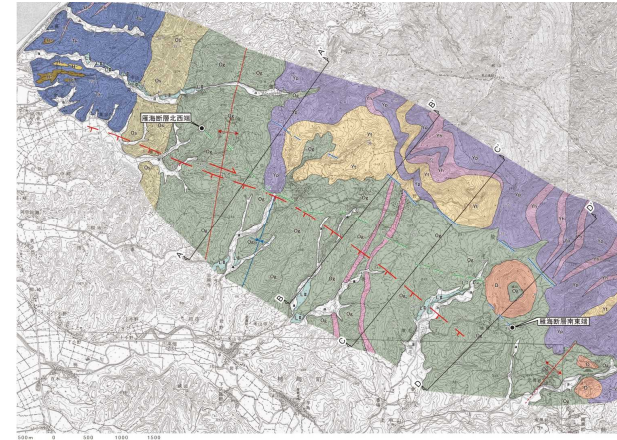
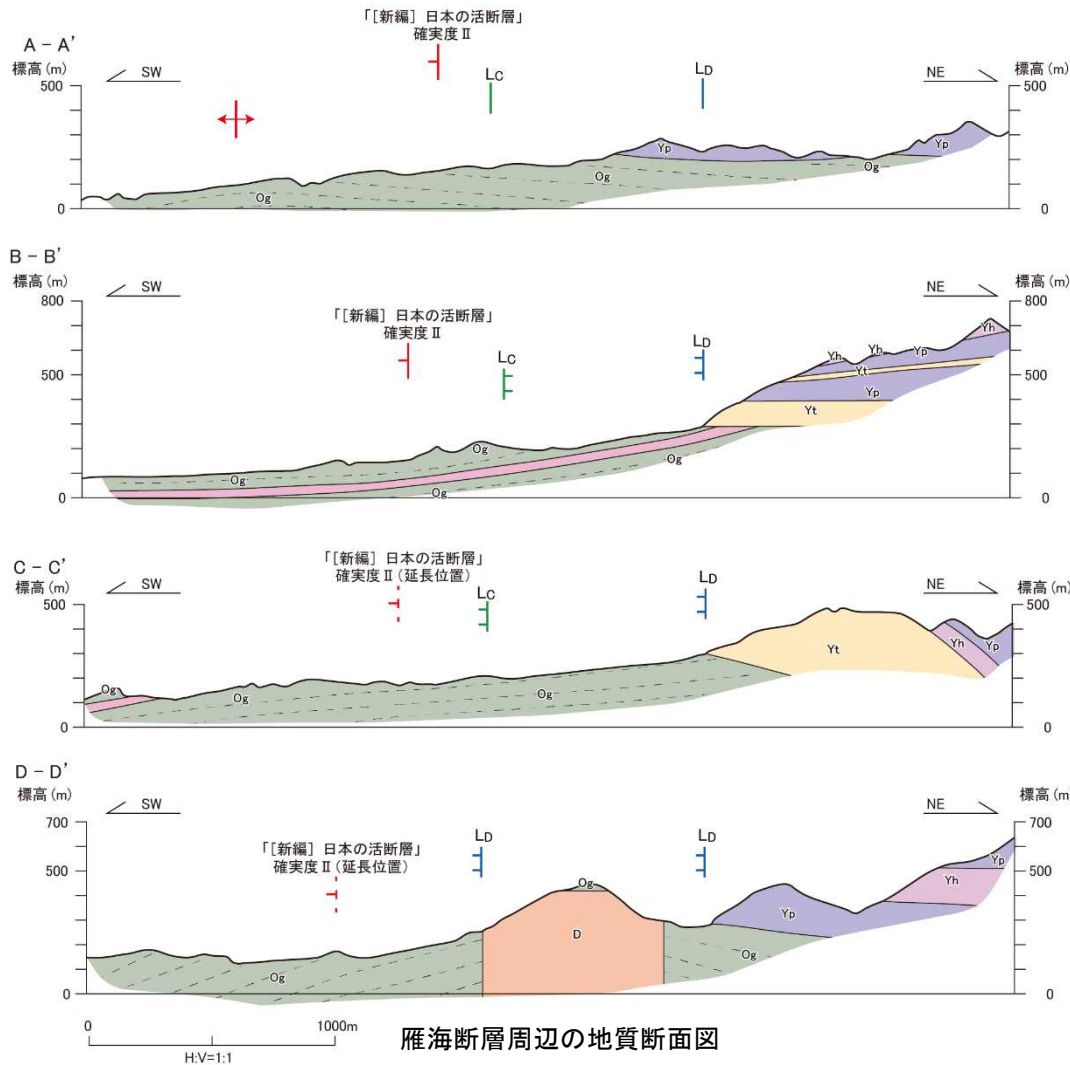
6.4.1.6 雁海断層（地質図）



雁海断層周辺の地質図

- 南西側のリニアメントは小萱層に位置する。
- 北東側のリニアメントは、一部で、小萱層と凝灰質砂岩・礫岩との間の岩層境界に対応するものの、大部分で岩相との対応は認められない。

6.4.1.6 雁海断層（地質断面図）



雁海断層周辺の地質図

凡 例

a	沖積層
LII	LII面堆積物
LI	LI面堆積物
H-	H-面堆積物
H+	H+面堆積物
Tk	竹ヶ鼻層(西山層)
Yp	輝石安山岩溶岩・火砕岩
Yh	角閃石安山岩溶岩・火砕岩
Yt	凝灰質砂岩・礫岩
Og	大清水層(椎谷層)
Og	小笠層(寺泊層)
凝灰岩	凝灰岩
D	貫入岩(角閃石安山岩)

米山火山岩類

リニアメント

ランク	LA	Lb	Lc	Ld
凡 例				

短線は低い側を、矢印の方向は積ずれる方向を示す。

「[新編] 日本の活断層」(1991)

「[新編] 日本の活断層」(1991)
確実度 II : 活断層であると推定されるもの

この地図は、国土地理院発行の2万5千分の1地形図(補
崎:1976年, 越後野田:1976年, 原之町:1976年, 石黒:1976
年発行)を使用したものである。

ss 層理面の走向・傾斜

背斜軸

向斜軸

地質断面線

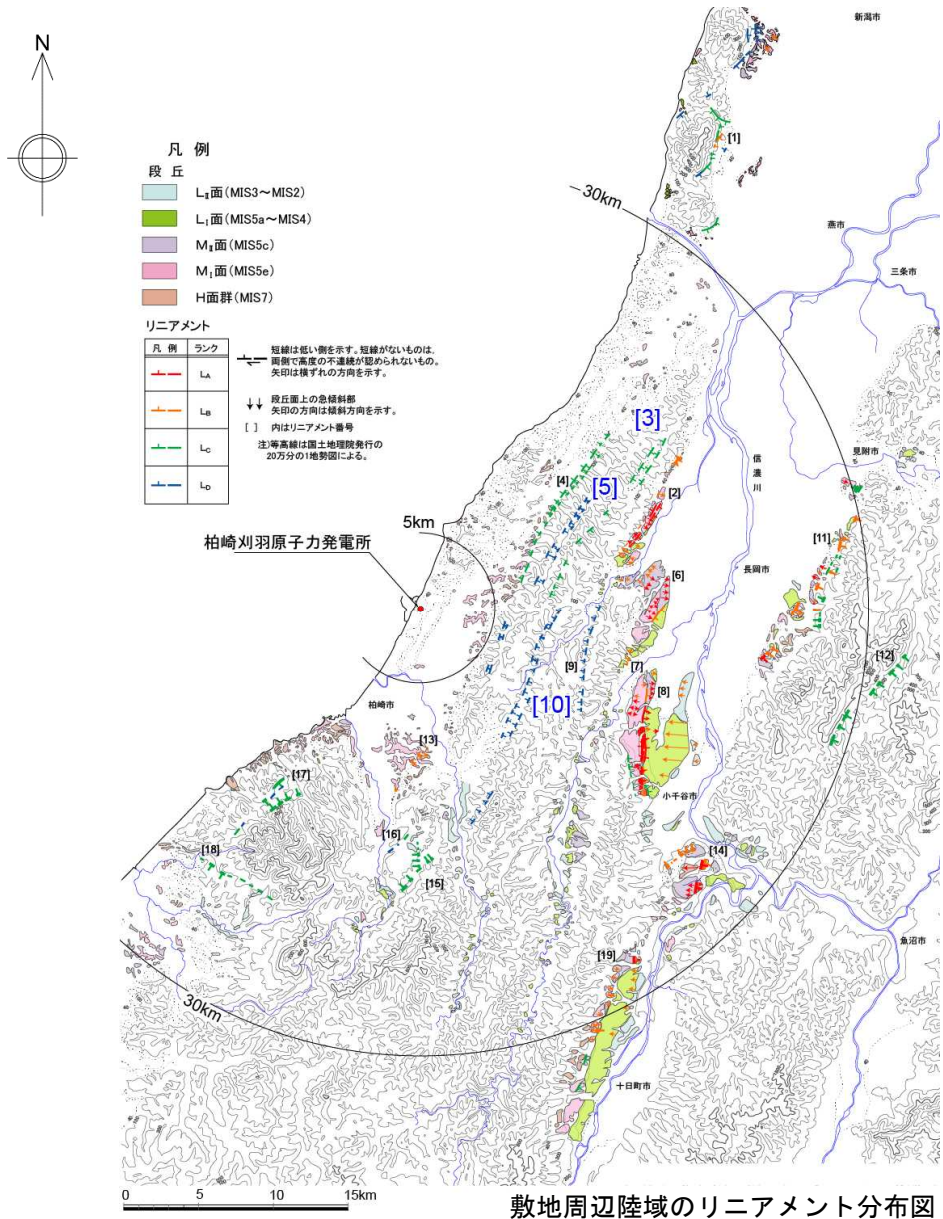
- リニアメントは、一部で岩相境界に対応する。
- リニアメントに対応する断層の存在を否定することはできない。

6.4.1.6 雁海断層（評価）

雁海断層の評価

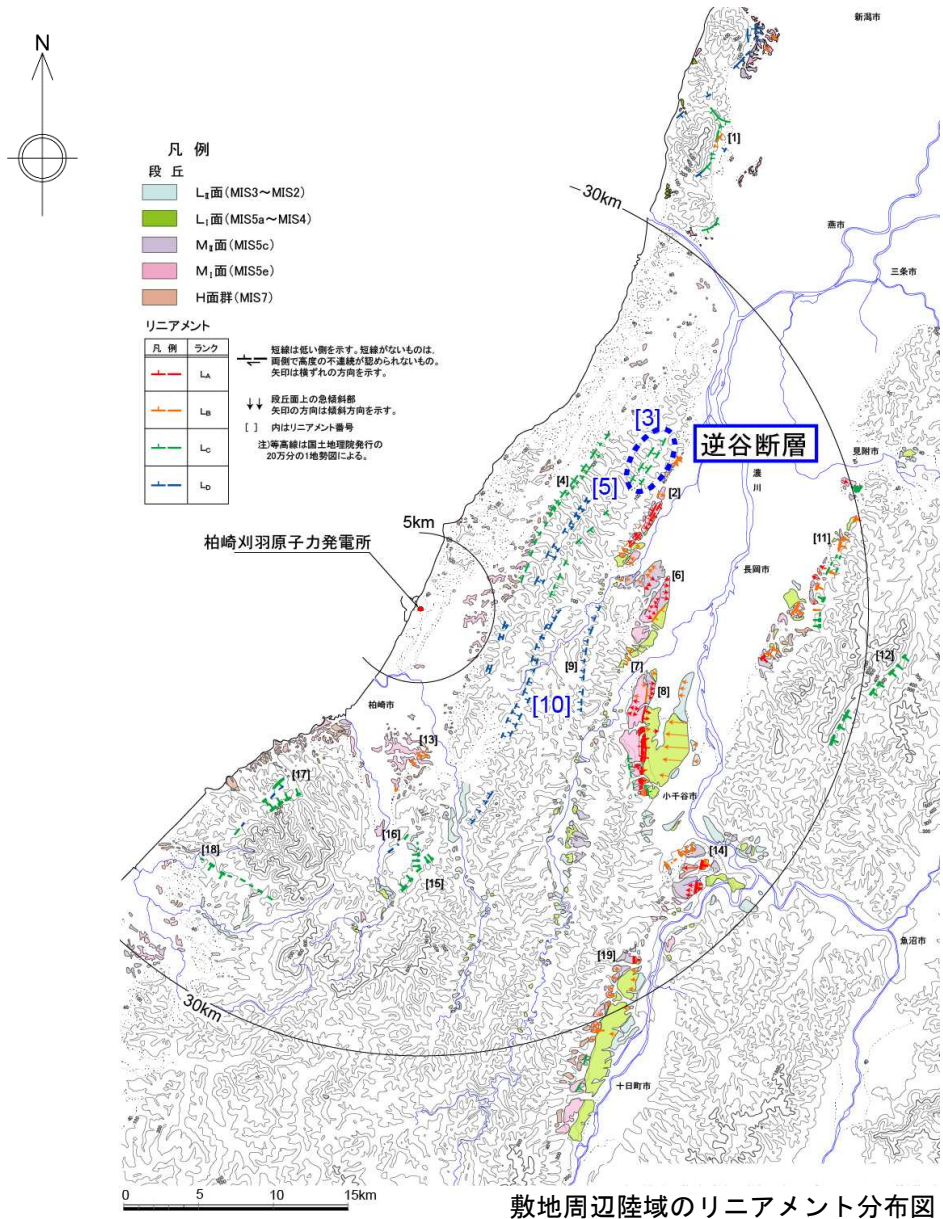
断層・リニアメント名	空中写真判読結果				文献調査結果		評 価
	ランク	長さ	地形形態	変位基準	[新編] 日本の活断層	活断層詳細 デジタルマップ	
[18] 雁海断層	L _c , L _D	6	崖・鞍部・直線状の谷 屈曲	丘陵斜面 尾根・河川	確実度 II [7km]	—	・判読されたリニアメントは、その成因が不明であることから、同地形に対応する断層の活動性を否定できず、文献で示される長さは約7kmである。

6.4.2 侵食地形と判断したリニアメント



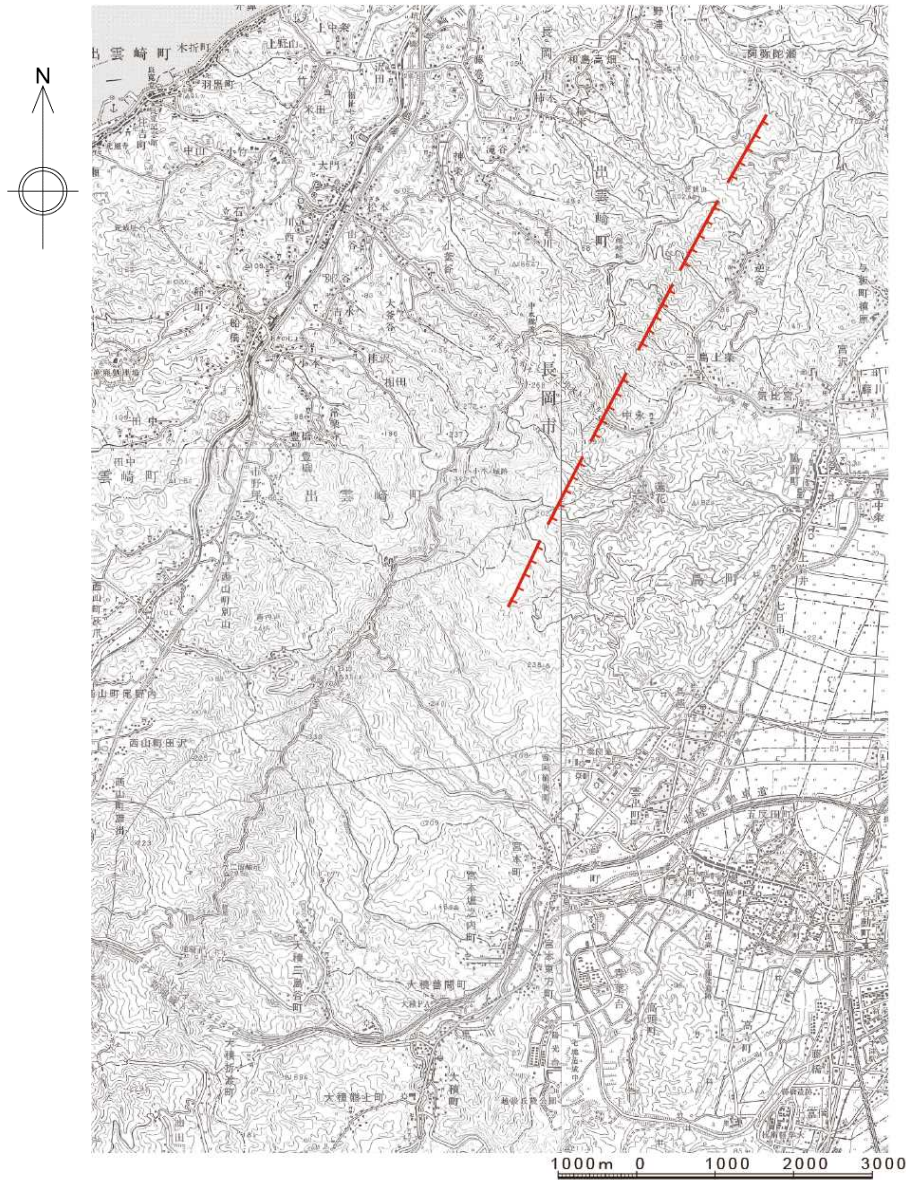
- [3] 逆谷断層
- [5] 中央油帯背斜軸部のリニアメント
- [10] 鯖石川向斜部のリニアメント

6.4.2.1 逆谷断層（位置図）



■ 中央丘陵北部にL_Cリニアメントが判読される。

6.4.2.1 逆谷断層（文献調査）



- 「[新編] 日本の活断層」(1991)によると、「活断層であると推定されるもの(確実度Ⅱ)」が長さ約7km間に示されており、その活動度はB級とされている。
- 「信越地域活構造図」(1979), 「活構造図-新潟」(1984)によると, 推定活断層が示されている。

凡例

- 活断層*
- 推定活断層*
- 活断層の疑のあるリニアメント**

★ 「日本活断層図」(1978), 「信越地域活構造図」(1979), 「活構造図-新潟」(1984), 「[新編]日本の活断層」(1991)及び吉岡ほか(1987)による。
 ** 「[新編]日本の活断層」(1991)による。

注)等高線は国土地理院発行の20万分の1地勢図による。

「活断層詳細デジタルマップ」(2002)

活断層の位置・不確か・不明の表示

- 活断層 (赤い実線)
- 推定活断層 (赤い点線)
- 活断層の疑のあるリニアメント (赤い破線)
- 活断層の位置 (赤い実線)
- 不確か (赤い点線)
- 不明 (赤い破線)
- 活断層 (赤い実線)
- 推定活断層 (赤い点線)
- 活断層の疑のあるリニアメント (赤い破線)
- 活断層 (赤い実線)
- 推定活断層 (赤い点線)
- 活断層の疑のあるリニアメント (赤い破線)

「第四紀逆断層アトラス」(2002)

- 活断層 (破線は推定断層)

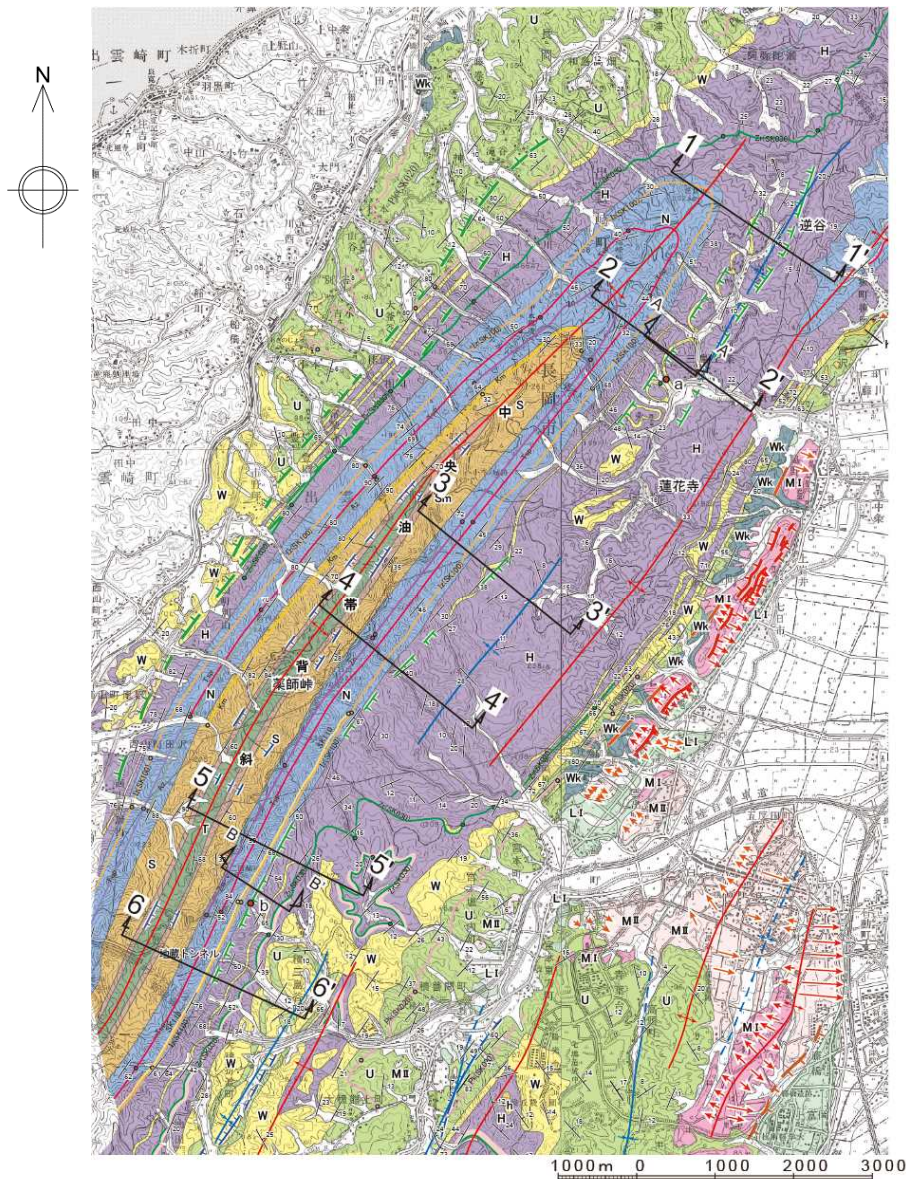
「都市圏活断層図」(「長岡」「小千谷」「十日町」)(2001)

- 活断層
- 推定活断層

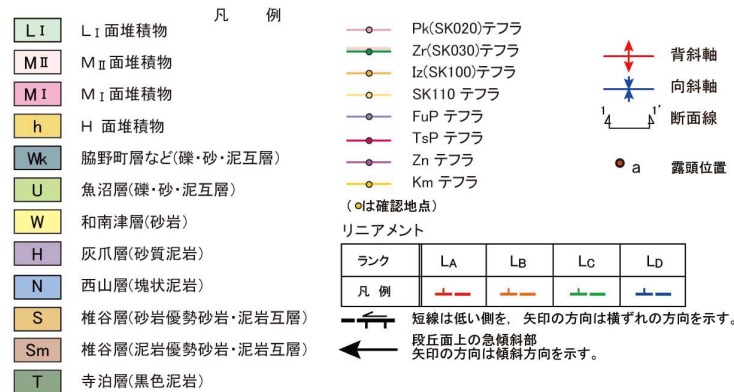
注)等高線は国土地理院発行の20万分の1地勢図による。

文献による逆谷断層

6.4.2.1 逆谷断層（空中写真判読図・地質図）

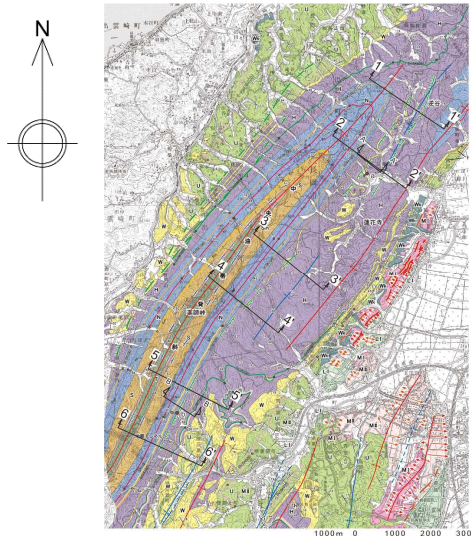


- 文献に示される推定活断層にほぼ対応して、中央油帯背斜東翼に断続的にL_Cリニアメントが判読され、同背斜東方の向斜軸東翼にも、上記と並行して連続性の悪いL_Cリニアメントが判読される。
- リニアメントは、西山層と灰爪層との岩相境界、あるいは灰爪層と和南津層との岩相境界に対応する。

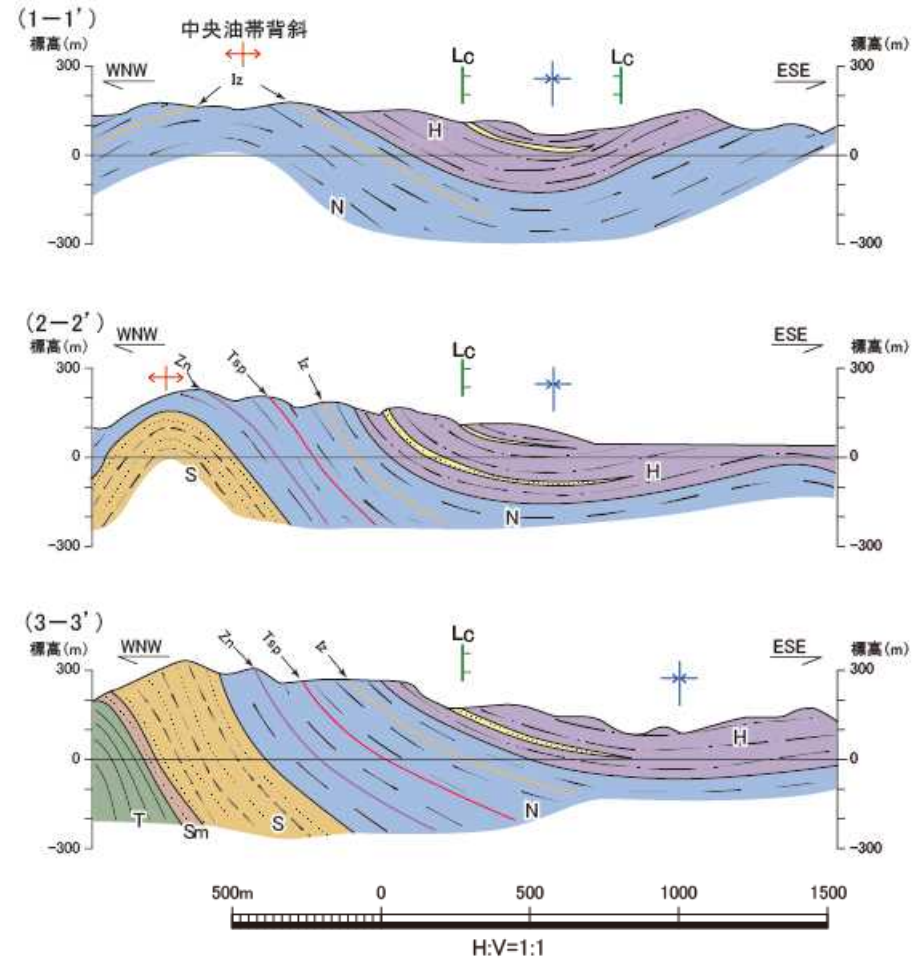
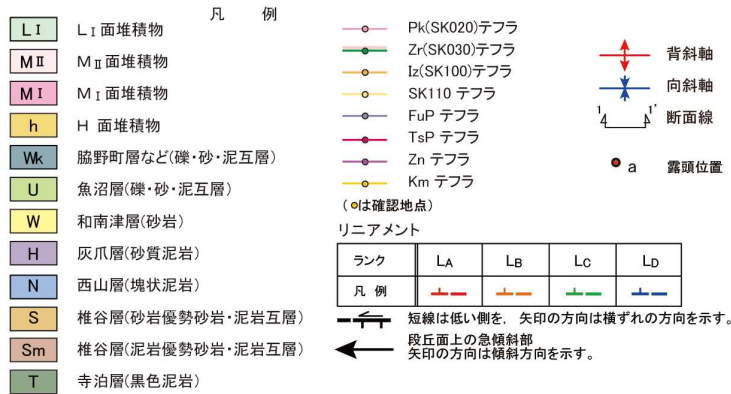


逆谷断層周辺の地質図

6.4.2.1 逆谷断層 (地質断面図)



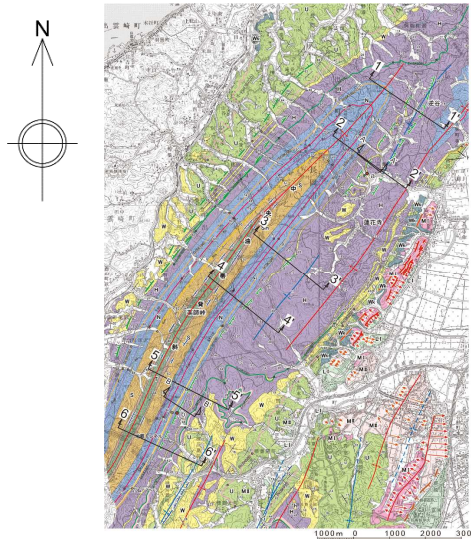
逆谷断層周辺の地質図



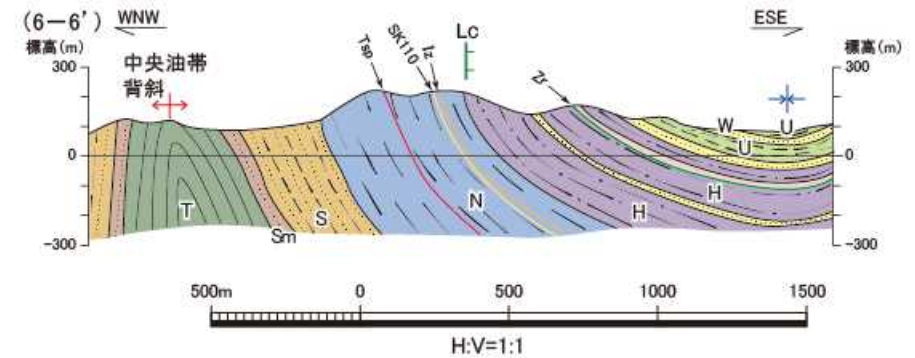
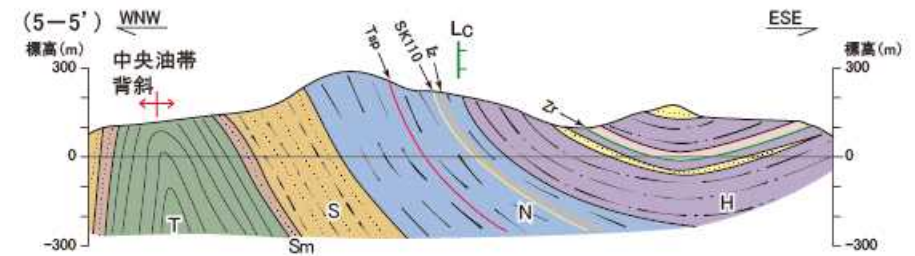
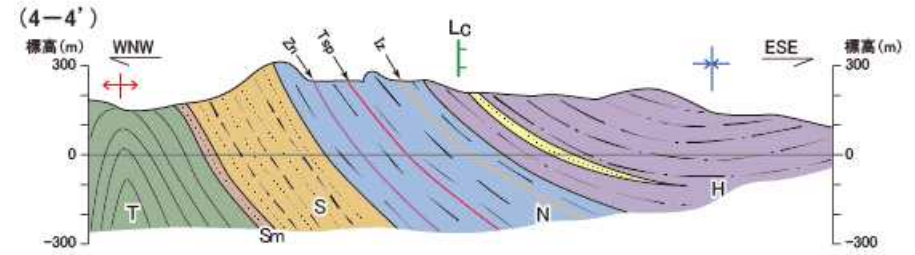
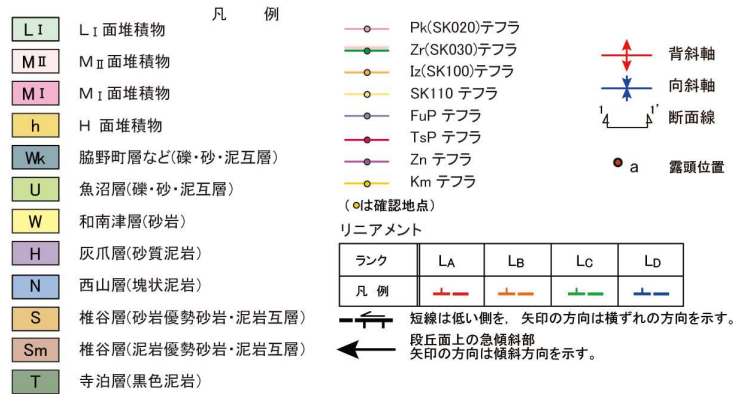
逆谷断層周辺の地質断面図

- リニアメントは、西山層と灰爪層との岩相境界、あるいは灰爪層と和南津層との岩相境界に対応する。

6.4.2.1 逆谷断層 (地質断面図)



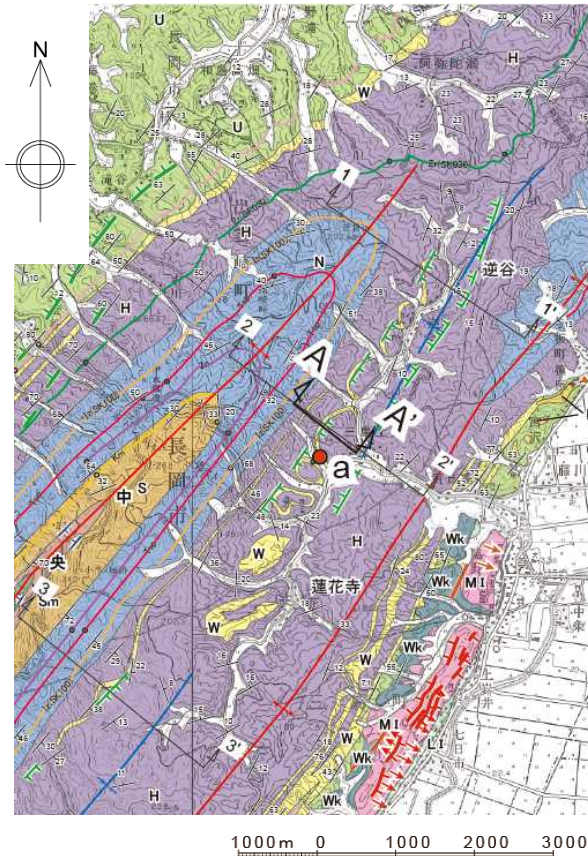
逆谷断層周辺の地質図



逆谷断層周辺の地質断面図

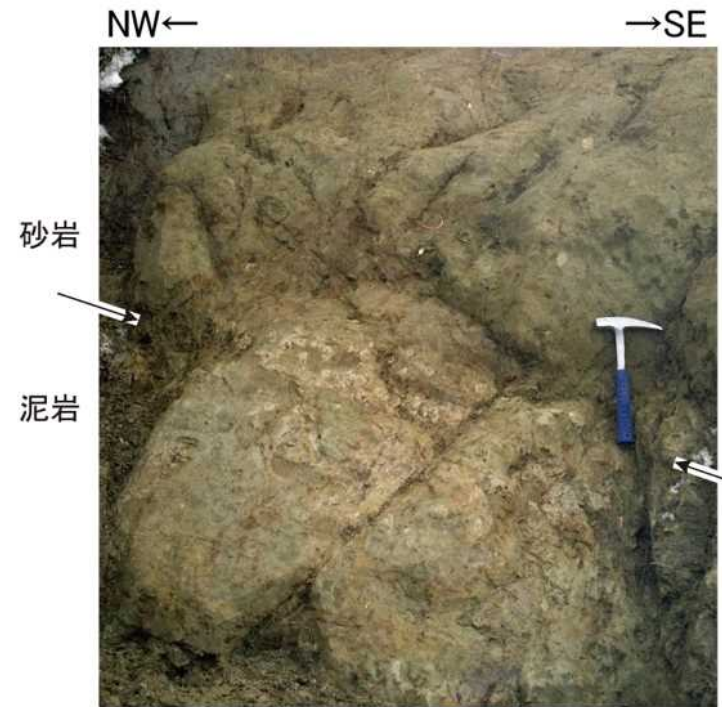
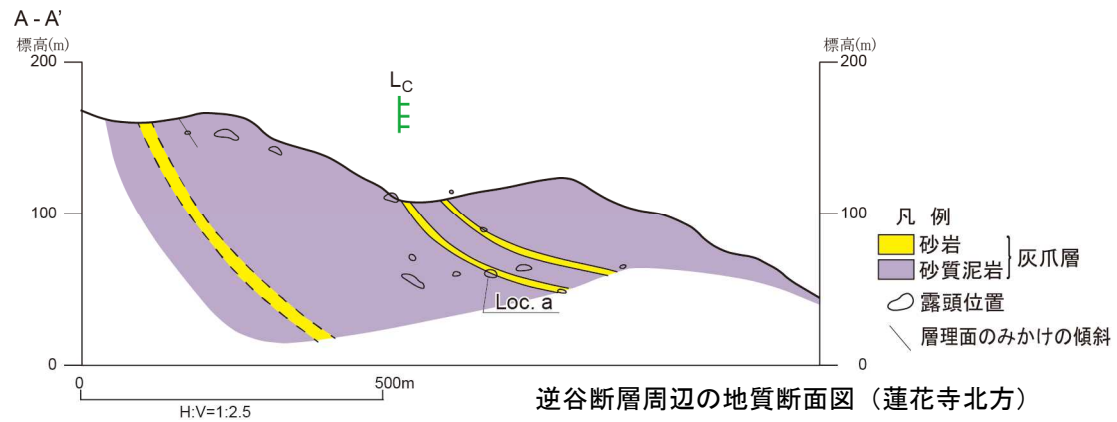
- リニアメントは、西山層と灰爪層との岩相境界、あるいは灰爪層と和南津層との岩相境界に対応する。

6.4.2.1 逆谷断層（露頭写真：Loc. a）



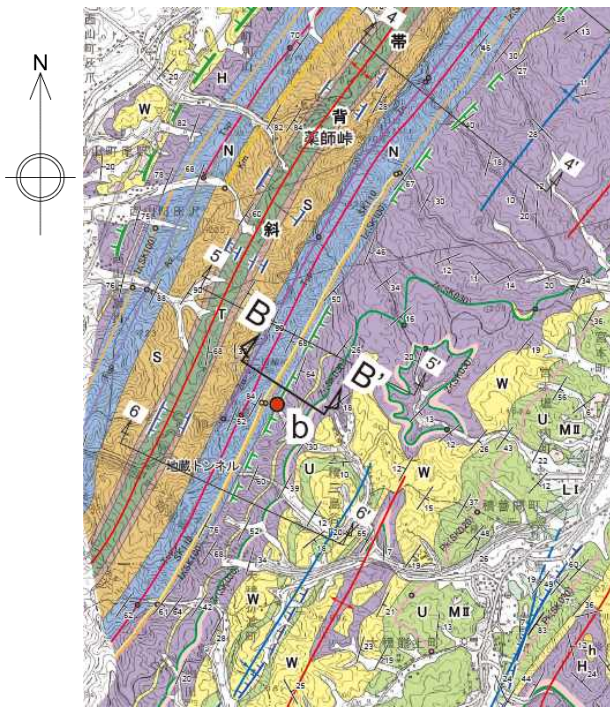
逆谷断層周辺の地質図

- リニアメントの位置は、北西側の灰爪層砂質泥岩と南東側の灰爪層砂岩との境界に対応しているが、同境界に断層は認められない。

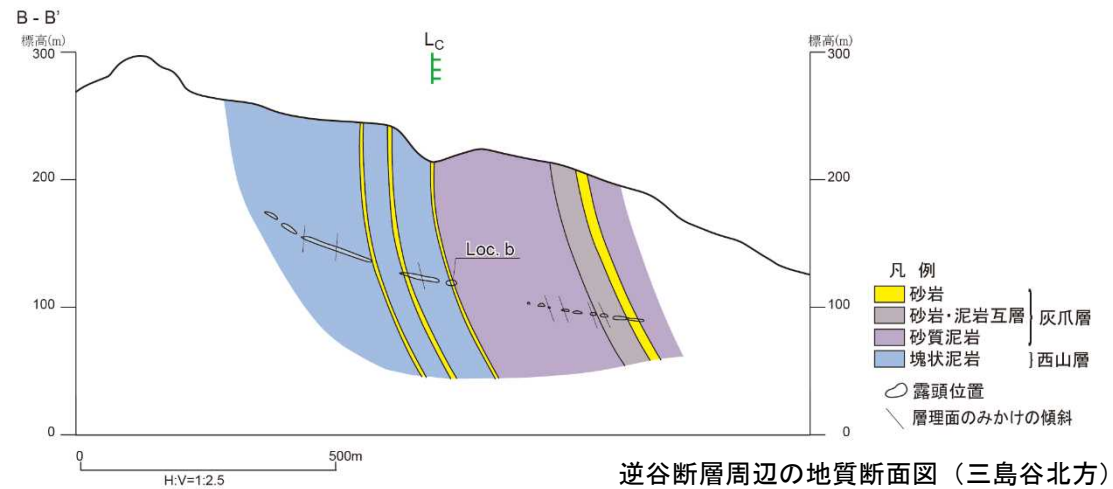


露頭写真（Loc. a, 蓮花寺北方）

6.4.2.1 逆谷断層（露頭写真：Loc. b）



逆谷断層周辺の地質図



逆谷断層周辺の地質断面図（三島谷北方）



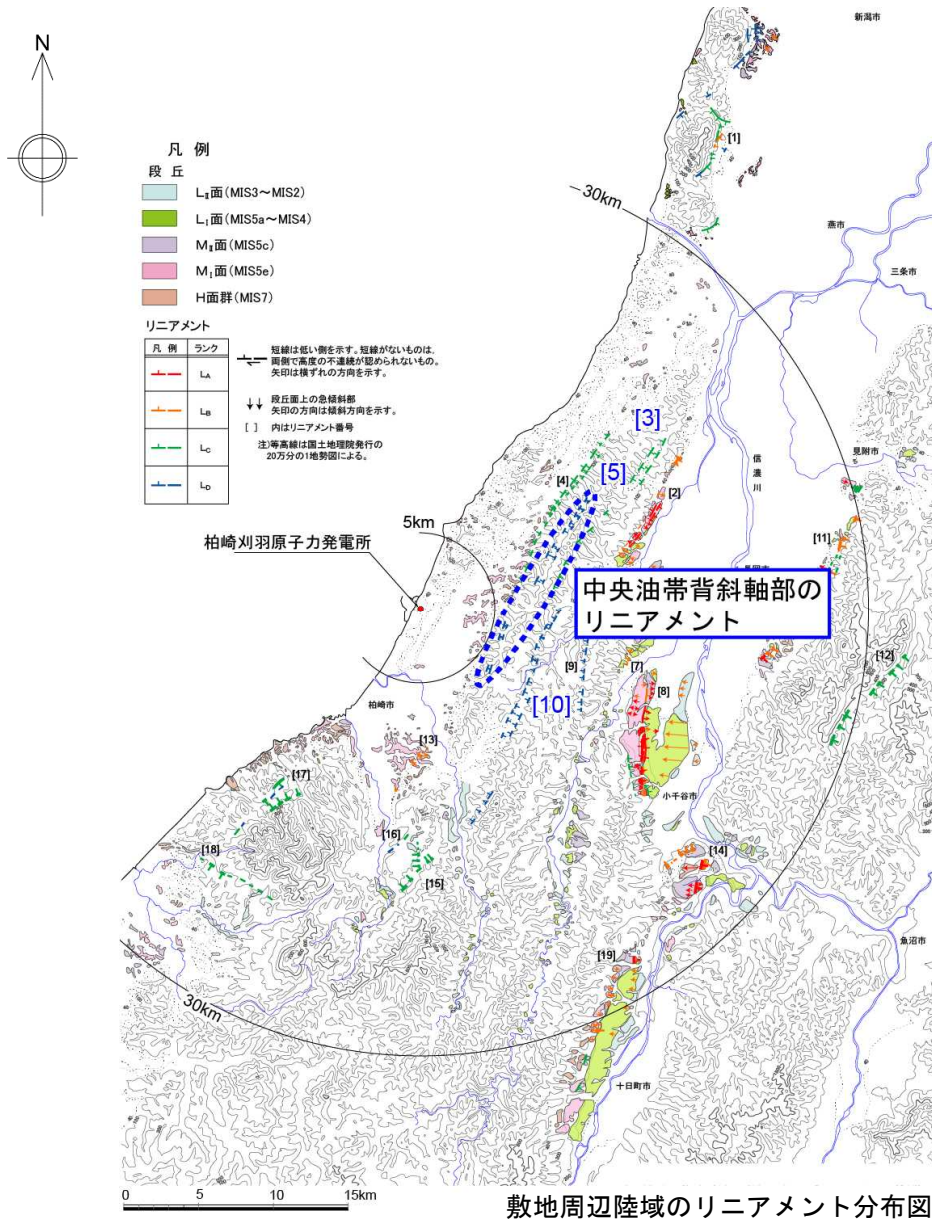
露頭写真（Loc. b, 三島谷北方）

- リニアメントの位置は、北西側の西山層塊状泥岩と南東側の灰爪層砂質泥岩との境界に対応しているが、同位置に断層は認められない。

6.4.2.1 逆谷断層（評価）

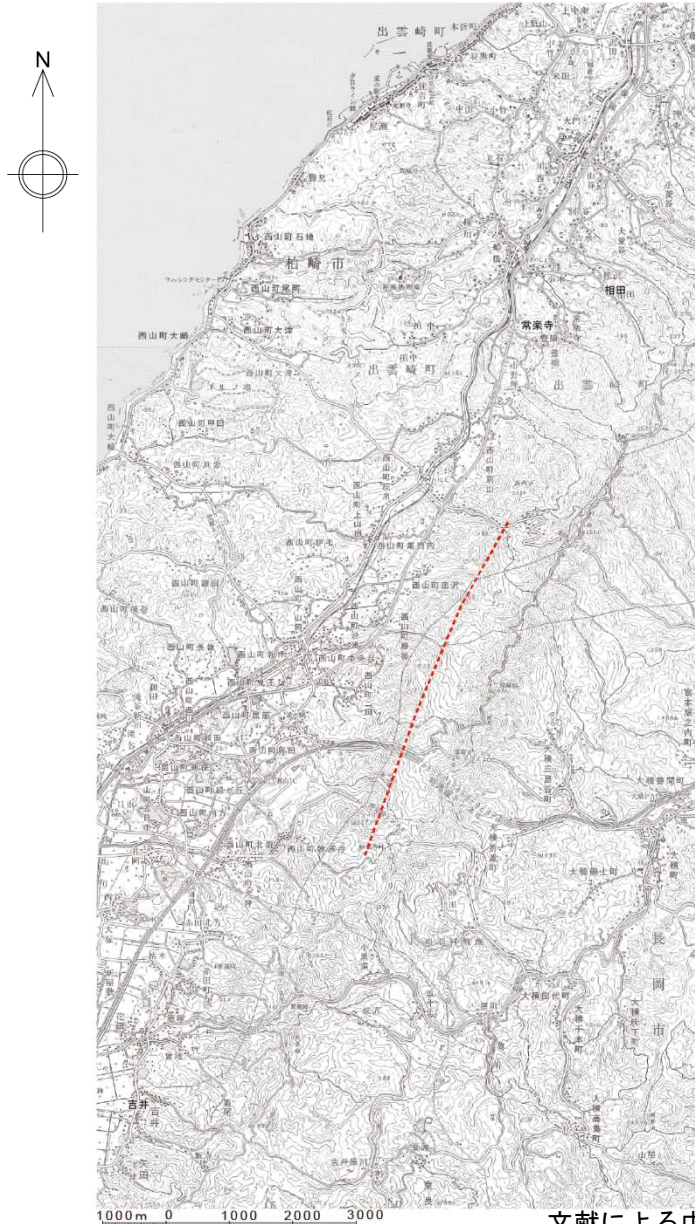
- 地表地質調査結果によると、逆谷断層が示されている位置に断層は認められず、リニアメントは岩相境界に対応していることから、リニアメントはその両側に分布する岩石の岩質の差に起因した侵食地形と判断される。

6.4.2.2 中央油帯背斜軸部のリニアメント（位置図）



- 中央丘陵に、L_Dリニアメントが判読される。

6.4.2.2 中央油帯背斜軸部のリニアメント（文献調査）



- 「[新編]日本の活断層」(1991)によると、「活断層の疑のあるリニアメント(確実度Ⅲ)」が約5.5km間に示されている。

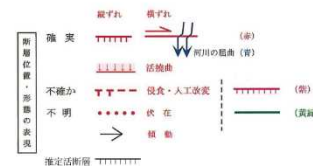
凡例

- 活断層*
- 推定活断層*
- 活断層の疑のあるリニアメント**

★ 「日本活断層図」(1978)、「信越地域活断層図」(1979)、「活断層図-新潟」(1984)、「[新編]日本の活断層」(1991)及び吉岡ほか(1987)による。
 ★★ 「[新編]日本の活断層」(1991)による。

注)等高線は国土地理院発行の20万分の1地勢図による。

「活断層詳細デジタルマップ」(2002)



「第四紀逆断層アトラス」(2002)

活断層 (破線は推定断層)

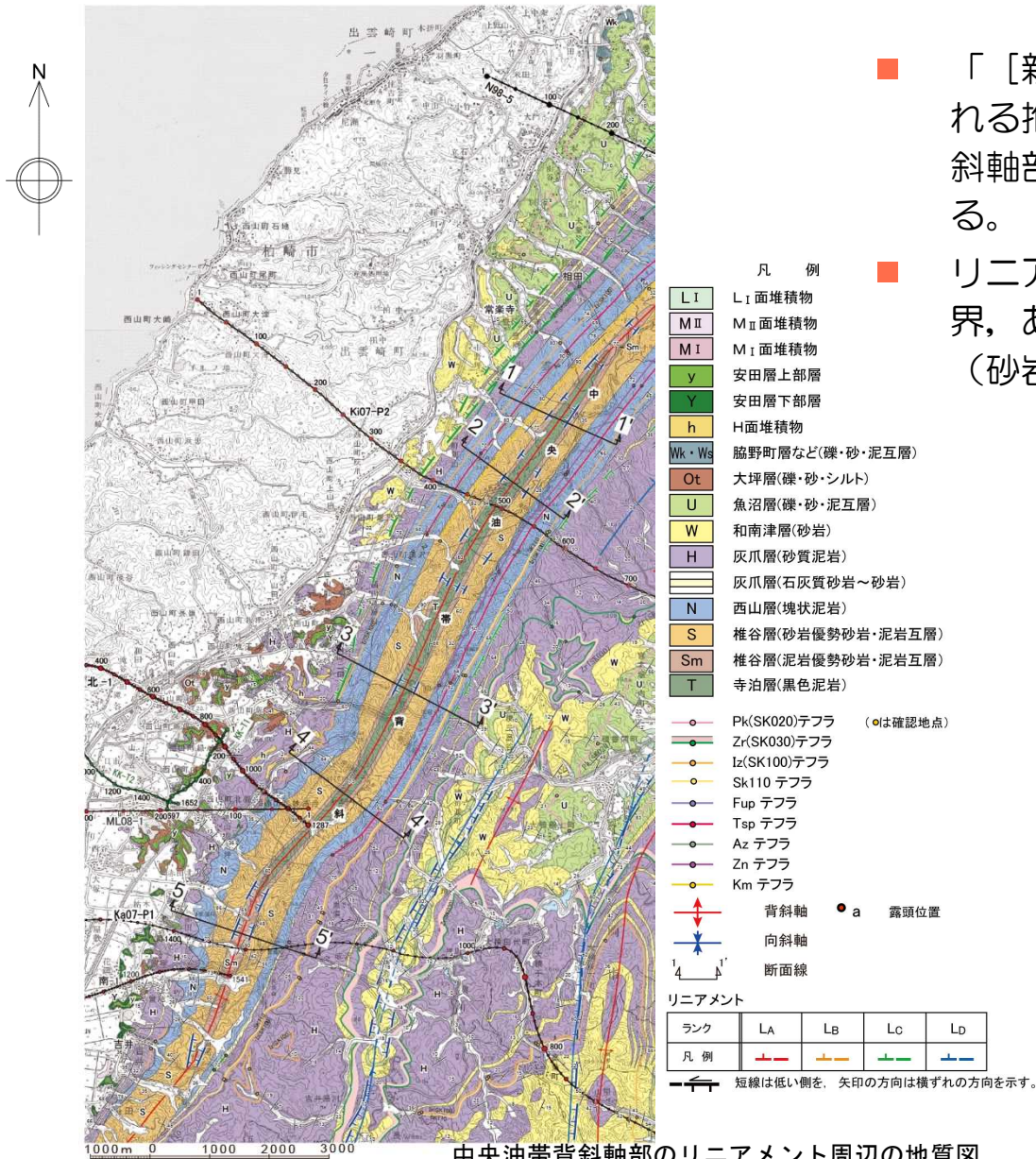
「都市圏活断層図」[「長岡」「小千谷」「十日町」(2001)]

活断層
 推定活断層

注)等高線は国土地理院発行の20万分の1地勢図による。

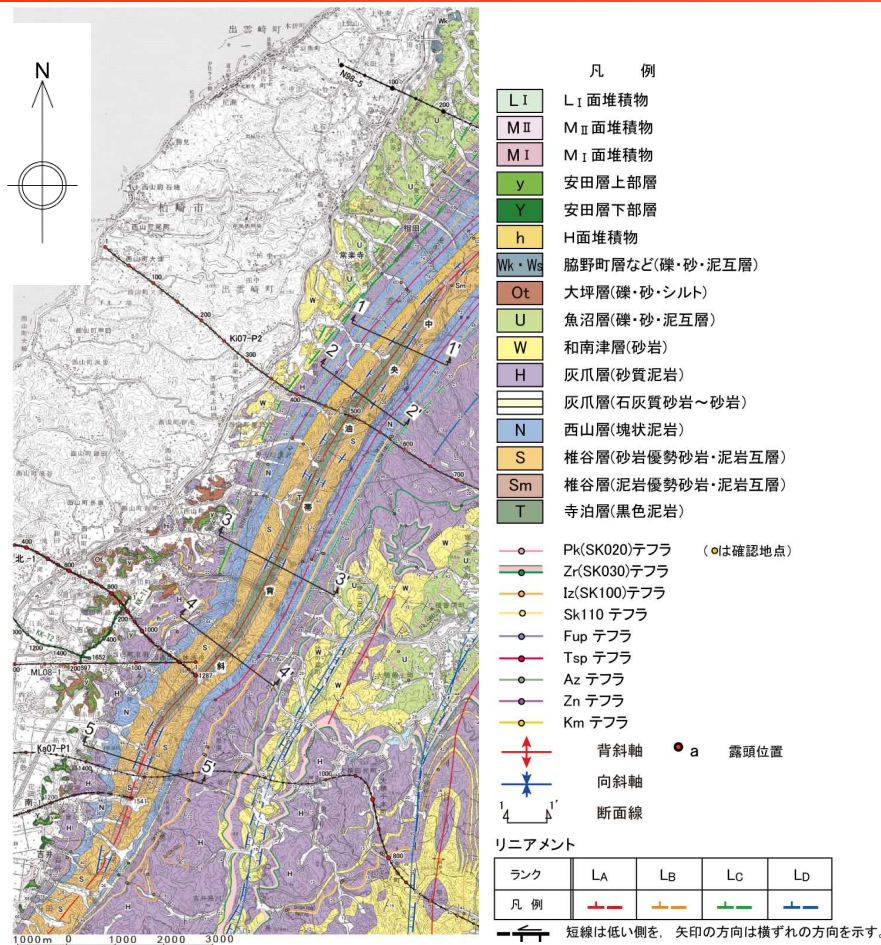
文献による中央油帯背斜軸部のリニアメント

6.4.2.2 中央油帯背斜軸部のリニアメント (空中写真判読図・地質図)

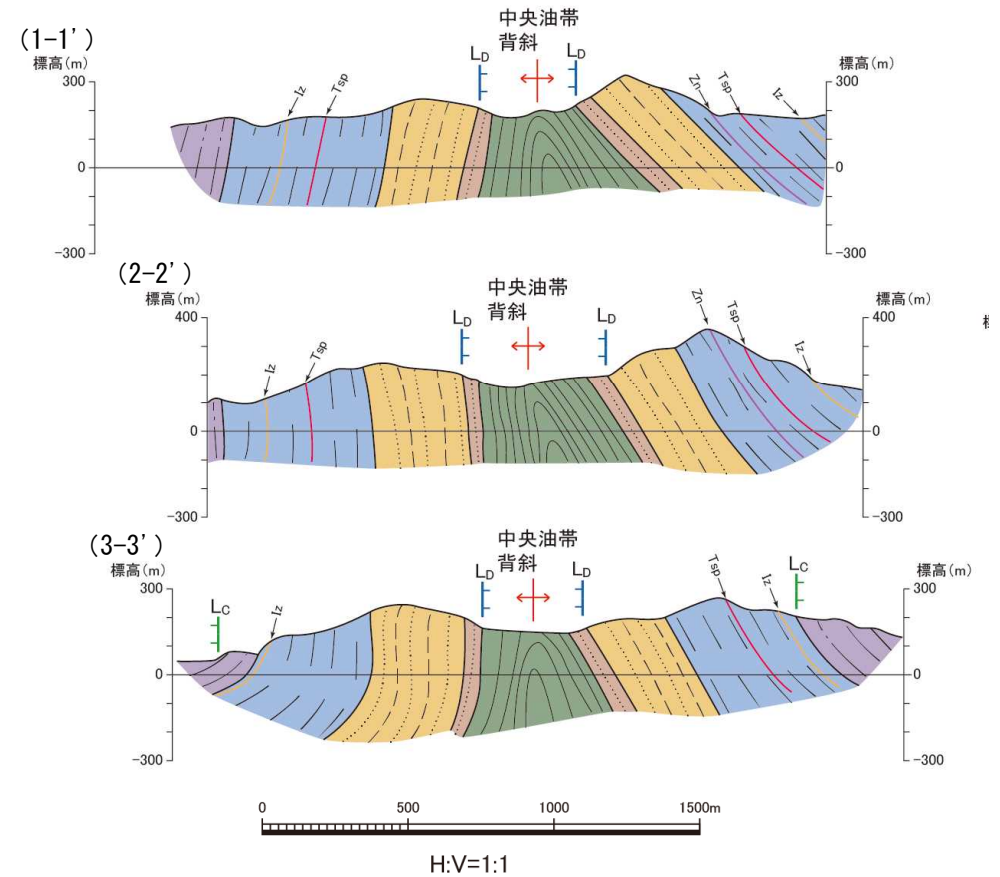


- 「[新編] 日本の活断層」(1991)に示される推定活断層にほぼ対応して、中央油帯背斜軸部に断続的にL_Dリニアメントが判読される。
- リニアメントは、寺泊層と椎谷層との岩相境界、あるいは椎谷層(泥岩優勢層)と椎谷層(砂岩優勢層)との岩相境界に対応する。

6.4.2.2 中央油帯背斜軸部のリニアメント（地質断面図）



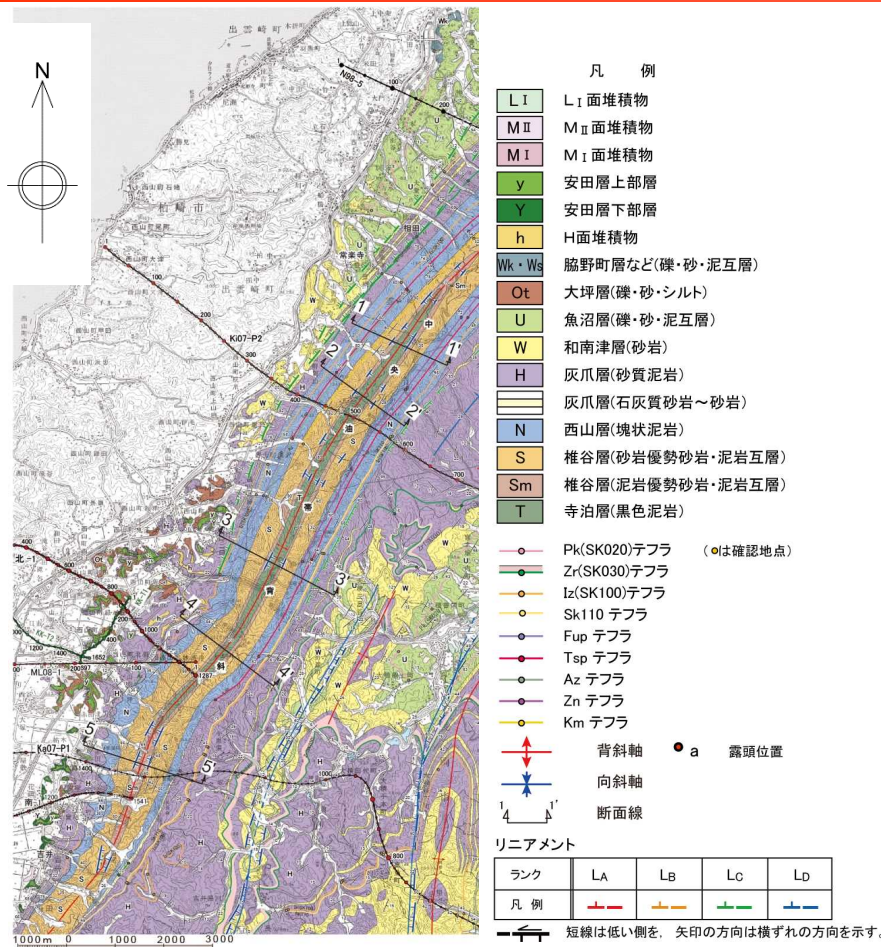
中央油帯背斜軸部のリニアメント周辺の地質図



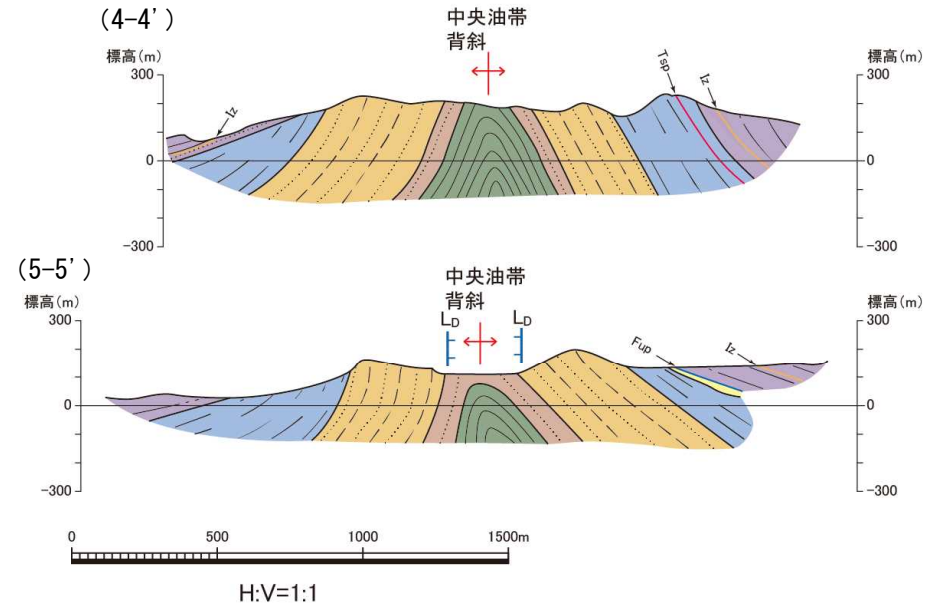
中央油帯背斜軸部のリニアメント周辺の地質断面図

- リニアメントは、寺泊層と椎谷層との岩相境界、あるいは椎谷層（泥岩優勢層）と椎谷層（砂岩優勢層）との岩相境界に対応する。

6.4.2.2 中央油帯背斜軸部のリニアメント（地質断面図）



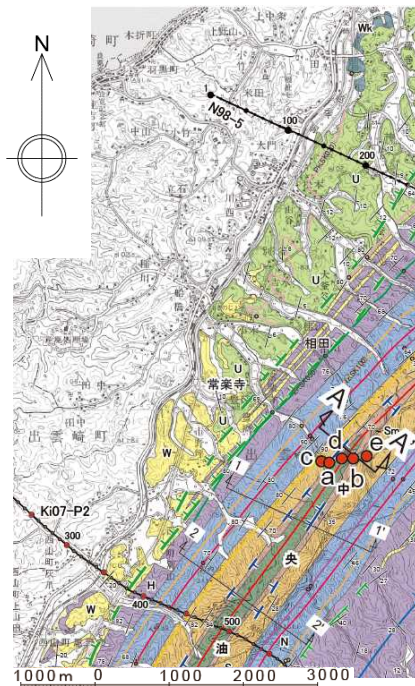
中央油帯背斜軸部のリニアメント周辺の地質図



中央油帯背斜軸部のリニアメント周辺の地質断面図

- リニアメントは、寺泊層と椎谷層との岩相境界、あるいは椎谷層（泥岩優勢層）と椎谷層（砂岩優勢層）との岩相境界に対応する。

6.4.2.2 中央油帯背斜軸部のリニアメント (リニアメント周辺の地質状況)



中央油帯背斜軸部の
リニアメント周辺の地質図



露頭写真 (Loc. a, 常楽寺南東)

Loc. a

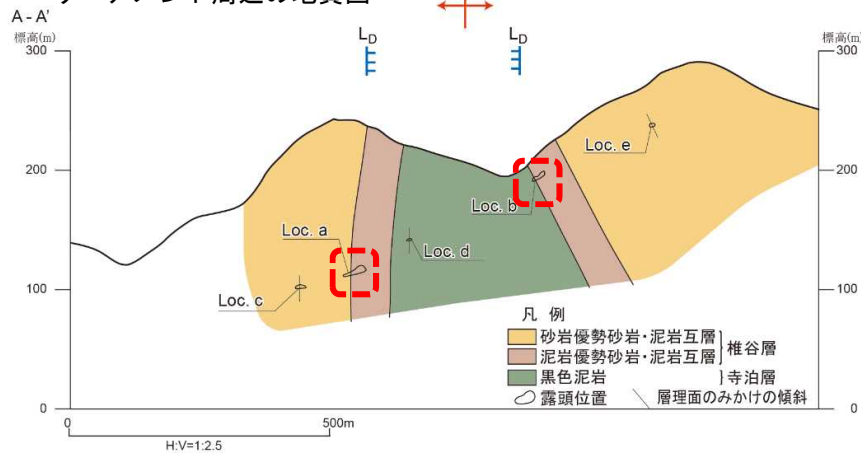
西側のリニアメントは、北西側の椎谷層砂岩優勢砂岩・泥岩互層と南東側の同層泥岩優勢砂岩・泥岩互層との境界に対応しており、両者の間に断層は認められない。



露頭写真 (Loc. b, 常楽寺南東)

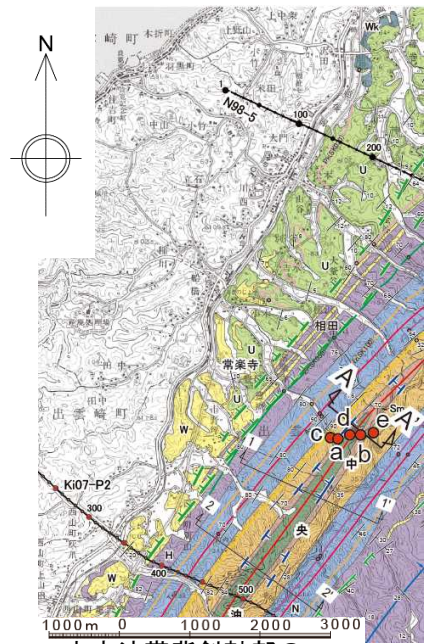
Loc. b

東側のリニアメントは、北西側の寺泊層泥岩と南東側の椎谷層泥岩優勢砂岩・泥岩互層との境界に対応しており、両者の間に断層は認められない。

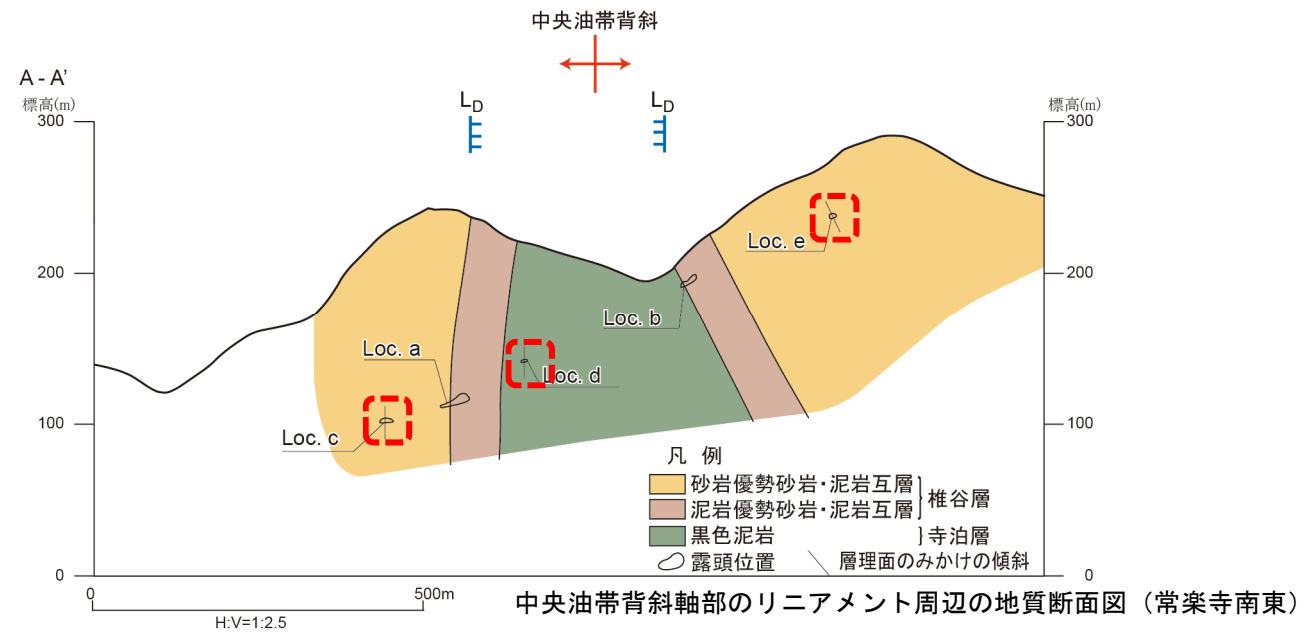


中央油帯背斜軸部のリニアメント周辺の地質断面図 (常楽寺南東)

6.4.2.2 中央油帯背斜軸部のリニアメント（椎谷層及び寺泊層）



中央油帯背斜軸部の
リニアメント周辺の地質図
N←



中央油帯背斜軸部のリニアメント周辺の地質断面図（常楽寺南東）



露頭写真 (Loc. c, 常楽寺南東)
Loc. c (反転)
椎谷層砂岩優勢砂岩・泥岩互層



露頭写真 (Loc. d, 常楽寺南東)
Loc. d
寺泊層泥岩

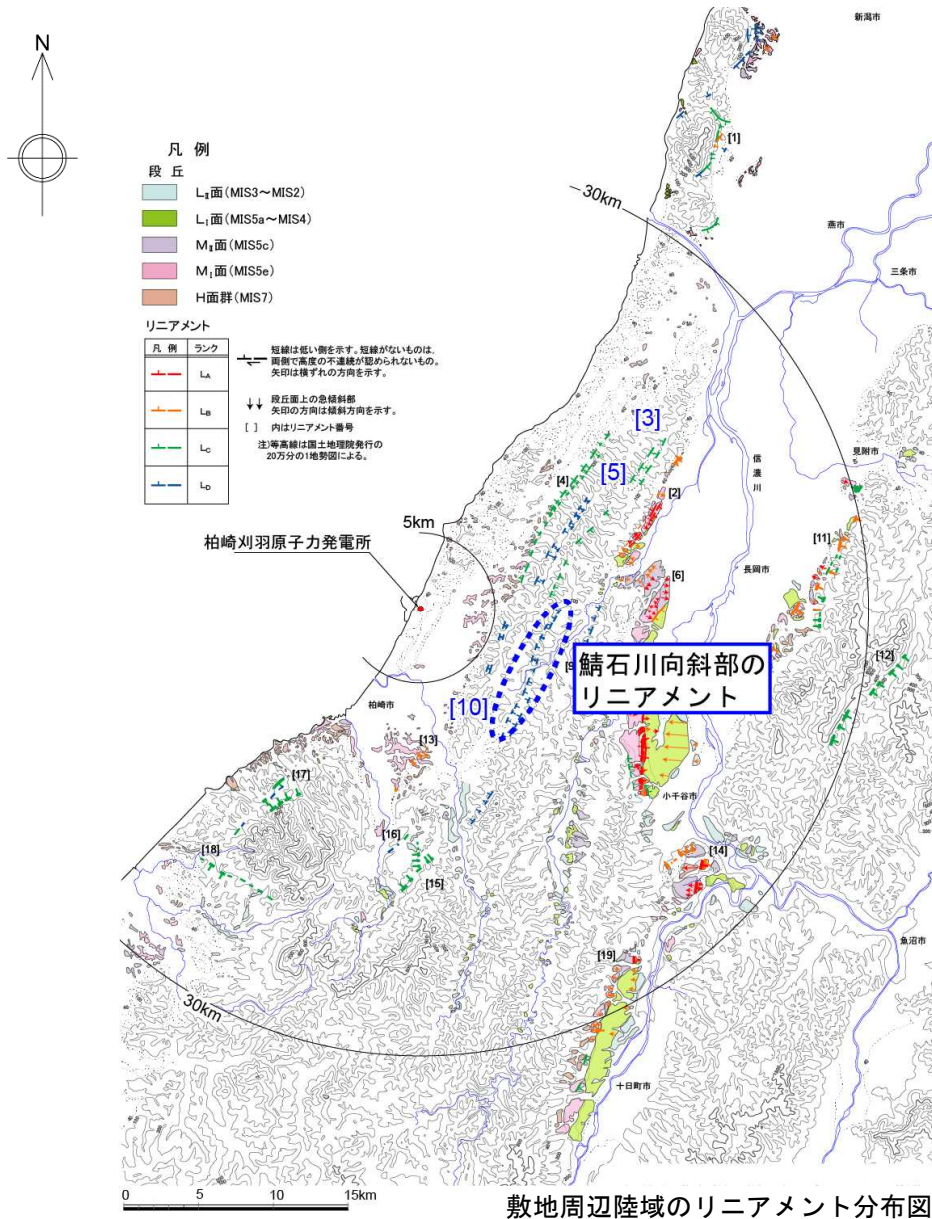


露頭写真 (Loc. e, 常楽寺南東)
Loc. e (反転)
椎谷層砂岩優勢砂岩・泥岩互層

6.4.2.2 中央油帯背斜軸部のリニアメント（評価）

- 地表地質調査結果によると、中央油帯背斜軸部のリニアメントが示されている位置に断層は認められず、リニアメントは岩相境界に対応していることから、リニアメントはその両側に分布する岩石の岩質の差に起因した侵食地形と判断される。

6.4.2.3 鯖石川向斜部のリニアメント（位置図）



■ 八石山丘陵西部に、L_Dリニアメントが判読される。

6.4.2.3 鯖石川向斜部のリニアメント（文献調査）



- 「[新編] 日本の活断層」（1991）によると、「活断層の疑のあるリニアメント（確実度Ⅲ）」が約9.5km間に示されている。

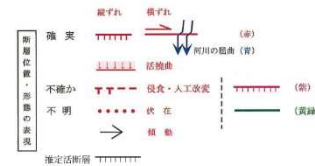
凡例

- 活断層*
- - - 推定活断層*
- - - 活断層の疑のあるリニアメント**

★ 「日本活断層図」（1978）、「信越地域活断層図」（1979）、「活断層図—新潟」（1984）、「[新編]日本の活断層」（1991）及び吉岡ほか（1987）による。
 ★★ 「[新編]日本の活断層」（1991）による。

注）等高線は国土地理院発行の20万分の1地勢図による。

「活断層詳細デジタルマップ」（2002）



「第四紀逆断層アトラス」（2002）

——— 活断層 (破線は推定活断層)

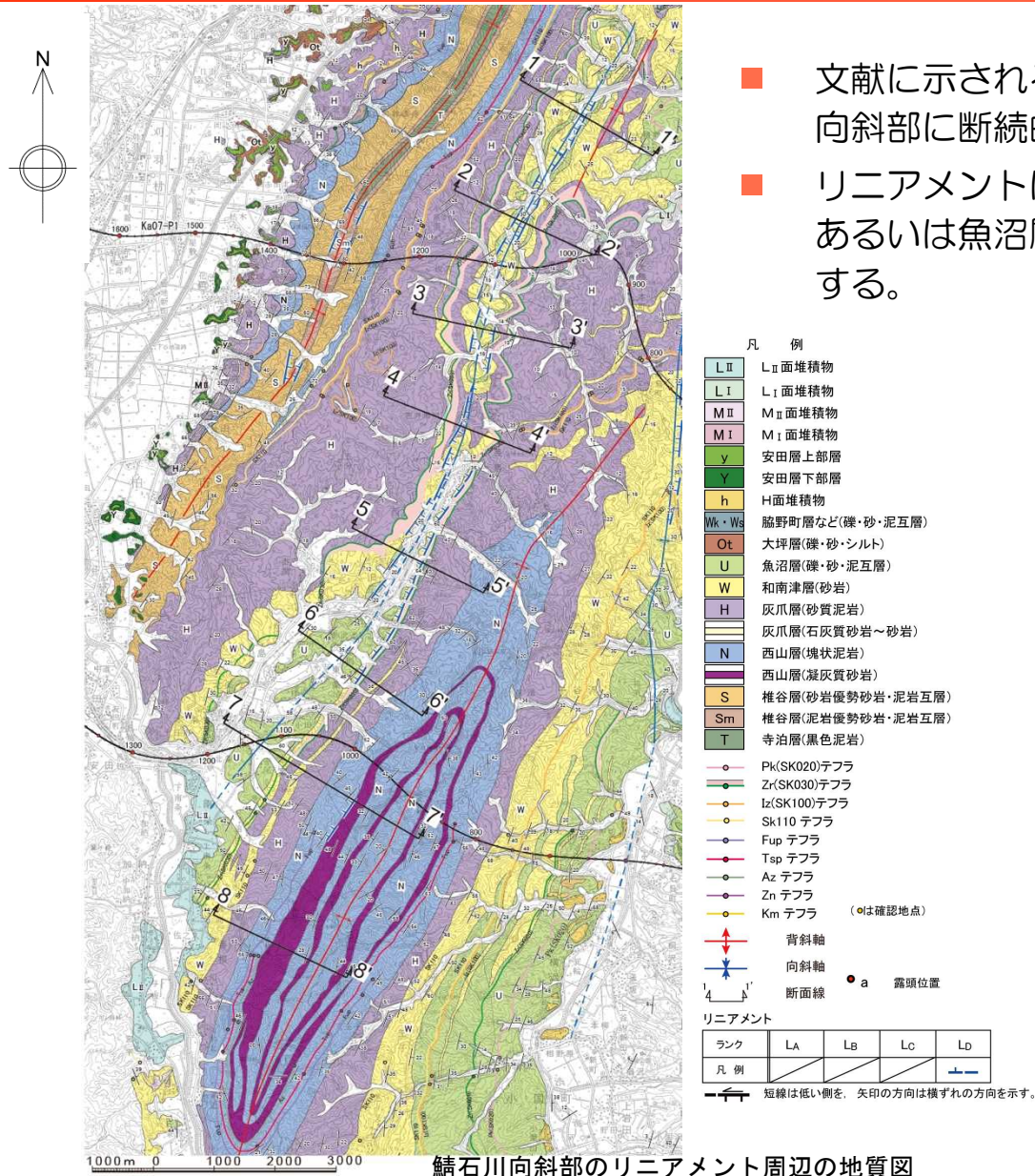
「都市圏活断層図」【「長岡」「小千谷」「十日町」】(2001)

——— 活断層
 - - - 推定活断層

注）等高線は国土地理院発行の20万分の1地勢図による。

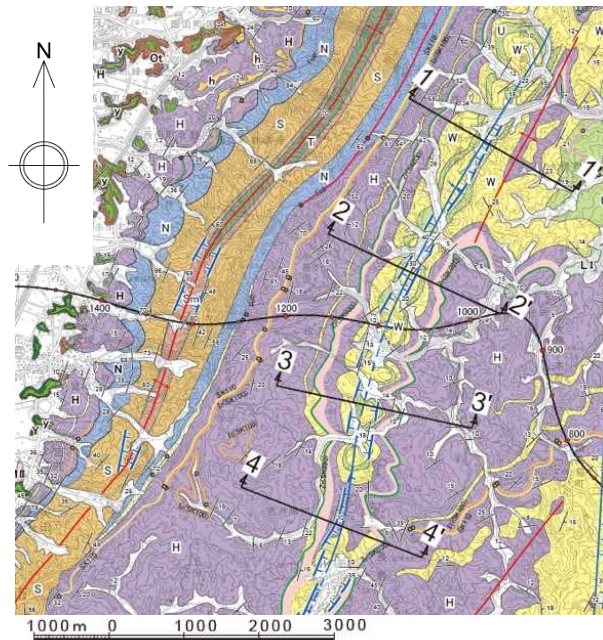
文献による鯖石川向斜部のリニアメント

6.4.2.3 鯖石川向斜部のリニアメント (空中写真判読図・地質図)

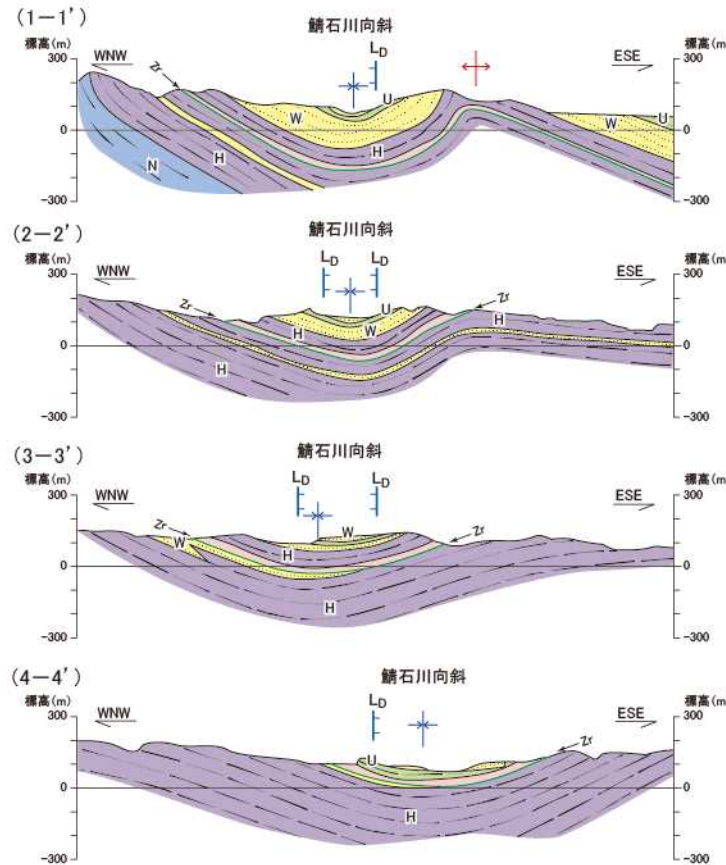


- 文献に示される推定活断層にほぼ対応して、鯖石川向斜部に断続的にL_Dリニアメントが判読される。
- リニアメントは、灰爪層と和南津層との岩相境界、あるいは魚沼層泥岩と同層砂岩との岩相境界に対応する。

6.4.2.3 鯖石川向斜部のリニアメント（地質断面図）



鯖石川向斜部のリニアメント周辺の地質図

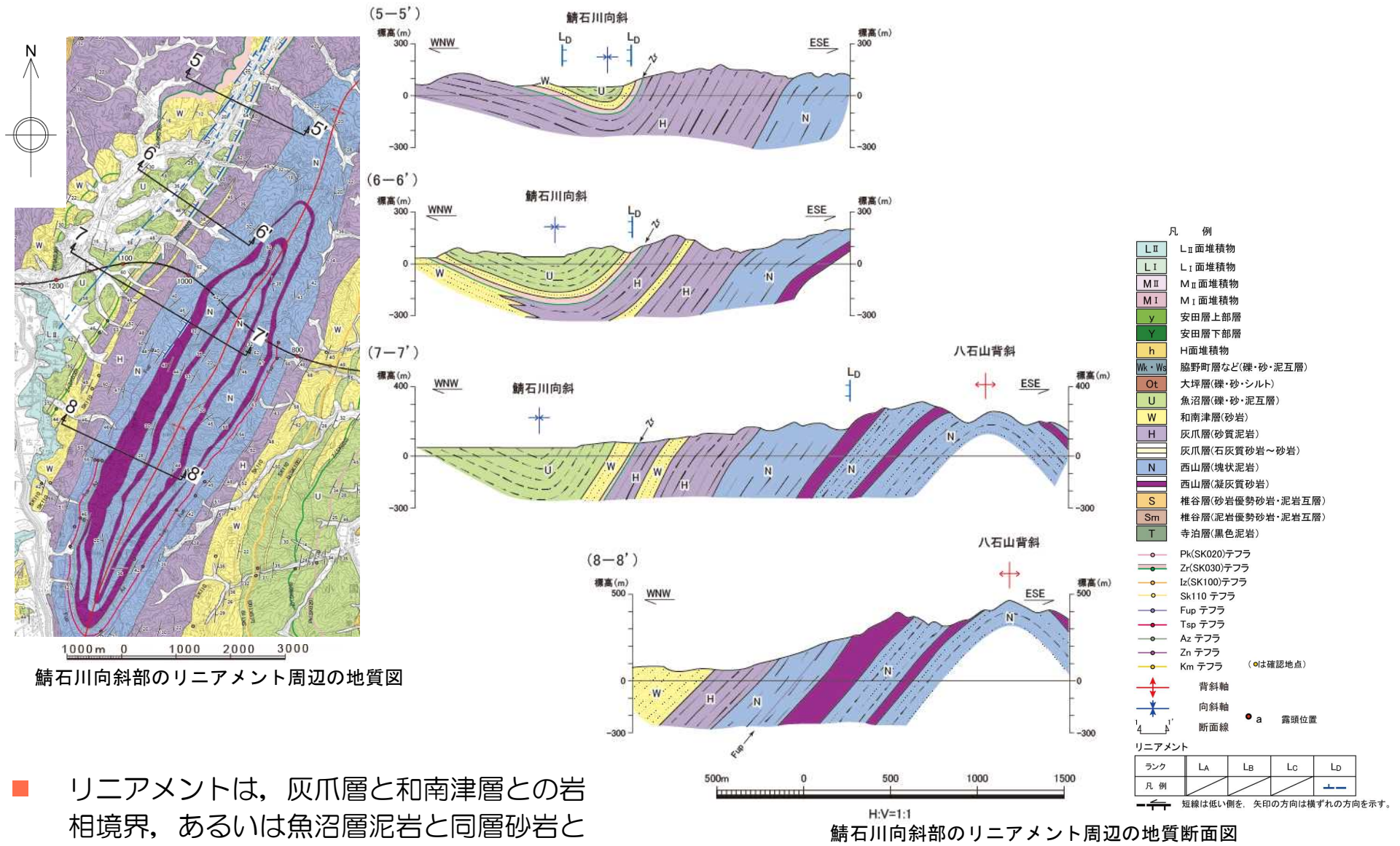


鯖石川向斜部のリニアメント周辺の地質断面図



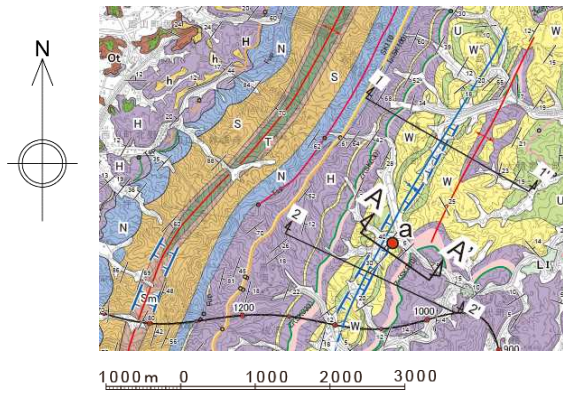
- リニアメントは、灰爪層と和南津層との岩相境界，あるいは魚沼層泥岩と同層砂岩との岩相境界に対応する。

6.4.2.3 鯖石川向斜部のリニアメント（地質断面図）

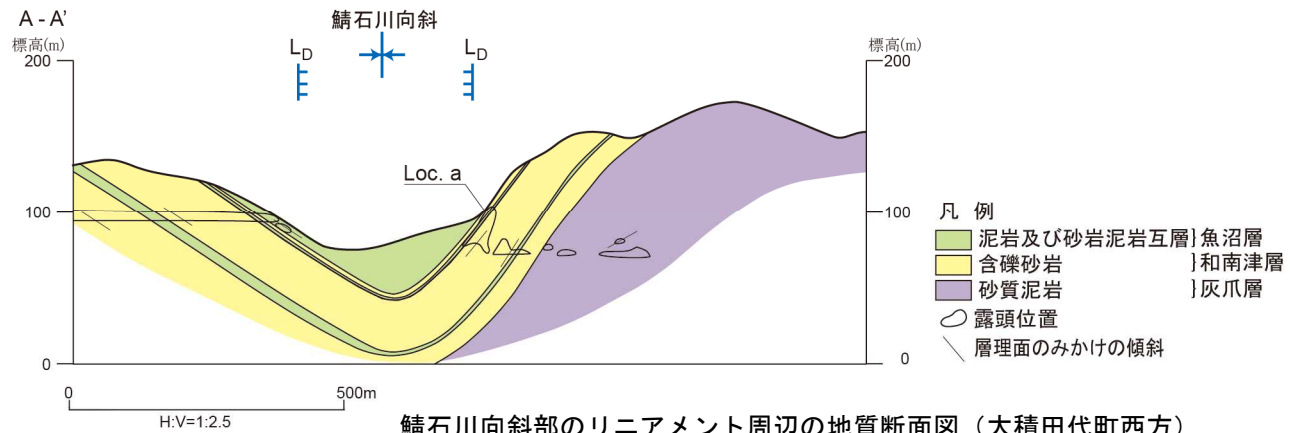


- リニアメントは、灰爪層と和南津層との岩相境界、あるいは魚沼層泥岩と同層砂岩との岩相境界に対応する。

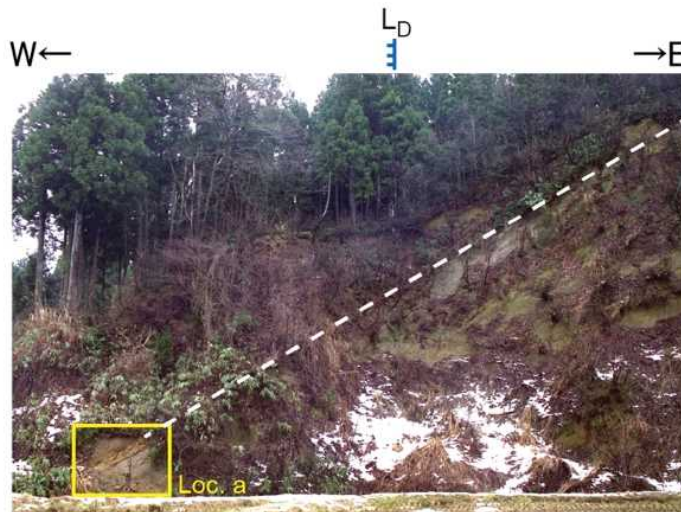
6.4.2.3 鯖石川向斜部のリニアメント（露頭写真:Loc. a）



鯖石川向斜部のリニアメント周辺の地質図



鯖石川向斜部のリニアメント周辺の地質断面図（大積田代町西方）



露頭写真（Loc. a, 大積田代町西方）

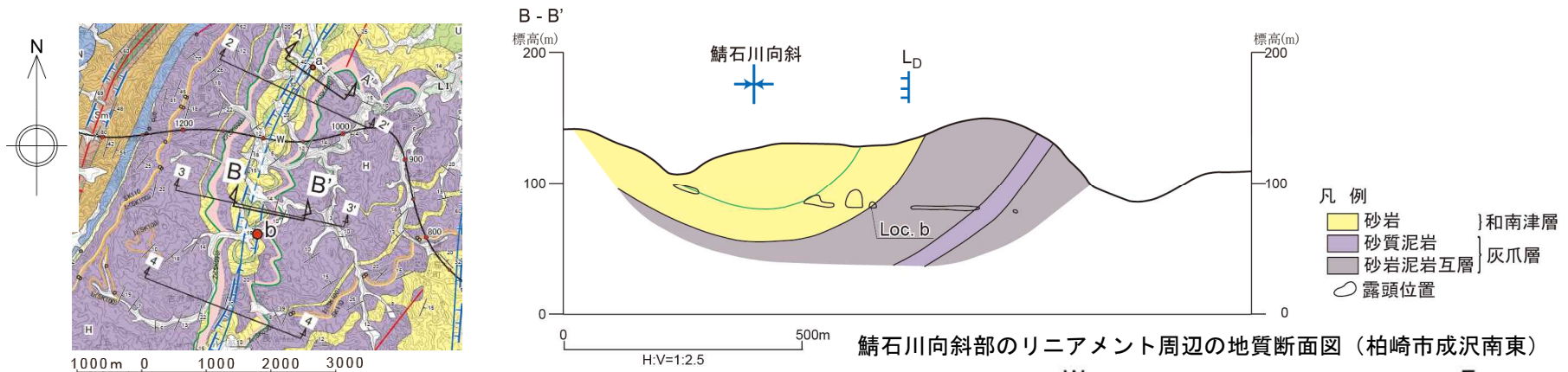


露頭写真（Loc. a, 大積田代町西方）

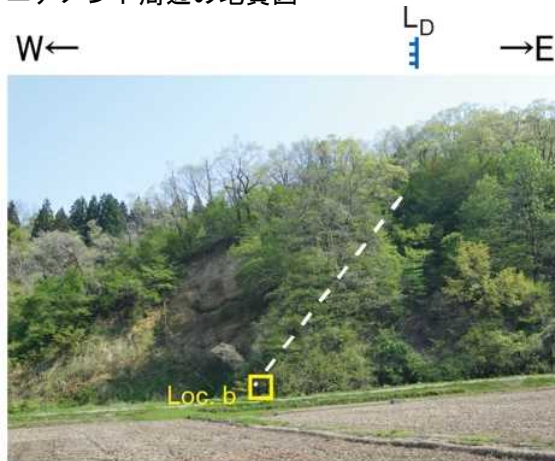
Loc.a（反転）

- リニアメントは西側の魚沼層礫岩と東側の同層泥岩との境界に対応しており、礫岩が侵食されてケスタ状の地形を呈する。

6.4.2.3 鯖石川向斜部のリニアメント（露頭写真:Loc. b）



鯖石川向斜部のリニアメント周辺の地質図



露頭写真（Loc. b, 柏崎市成沢南東）

Loc.b（反転）

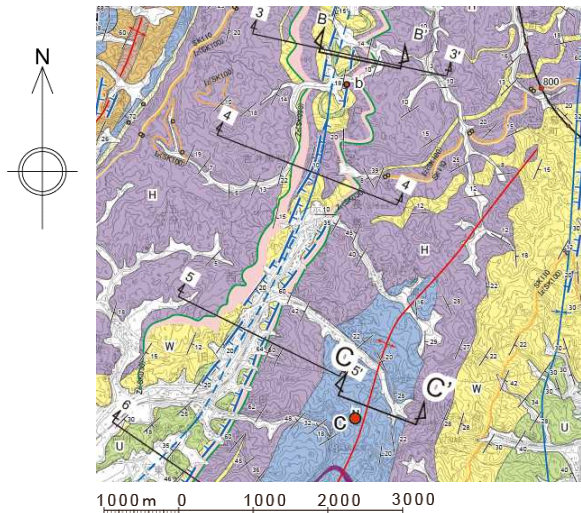
- リニアメントは西側の和南津層砂岩と東側の灰爪層砂質泥岩との境界に対応しており，和南津層が侵食されてケスタ状の地形を呈する。



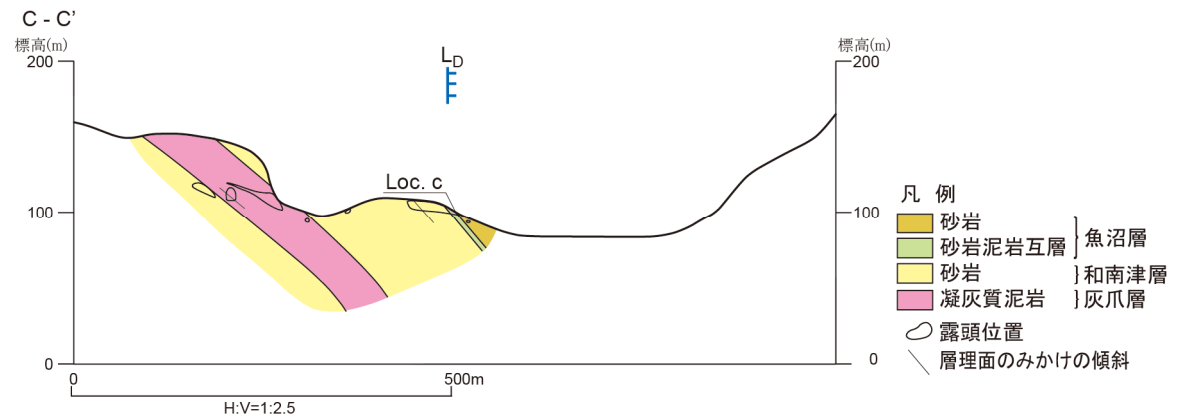
露頭写真（Loc. b, 柏崎市成沢南東）

Loc.b（拡大，反転）

6.4.2.3 鯖石川向斜部のリニアメント（露頭写真:Loc. c）



鯖石川向斜部のリニアメント周辺の地質図



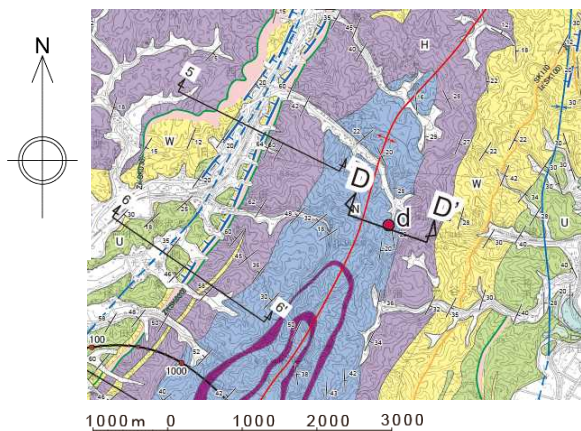
鯖石川向斜部のリニアメント周辺の地質断面図（柏崎市大広田東方）



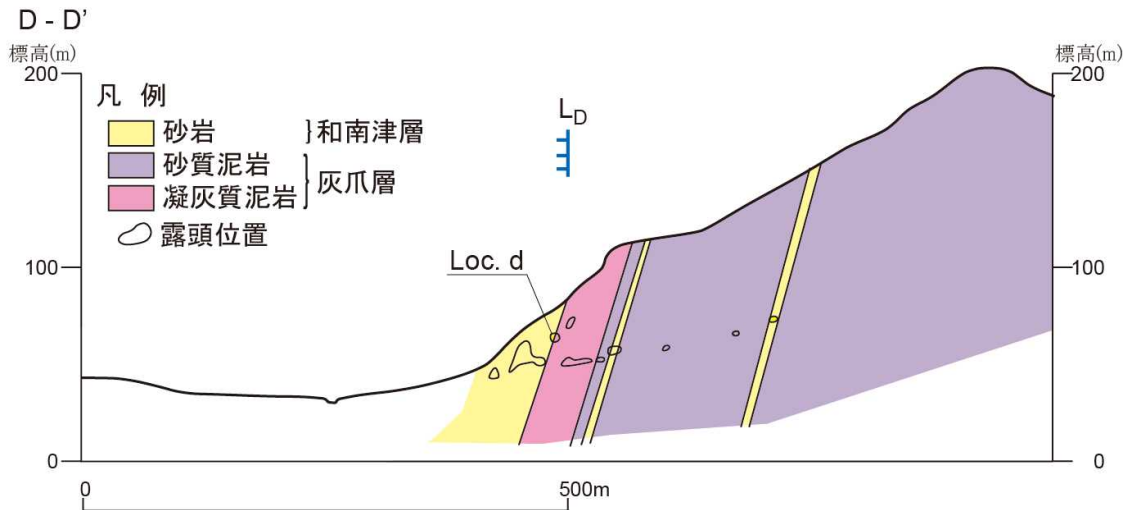
Loc.c 露頭写真（Loc. c, 柏崎市大広田東方）

- リニアメントは西側の魚沼層泥岩と東側の魚沼層砂岩との境界に対応しており，東側の砂岩が侵食されてケスタ状の地形を呈する。

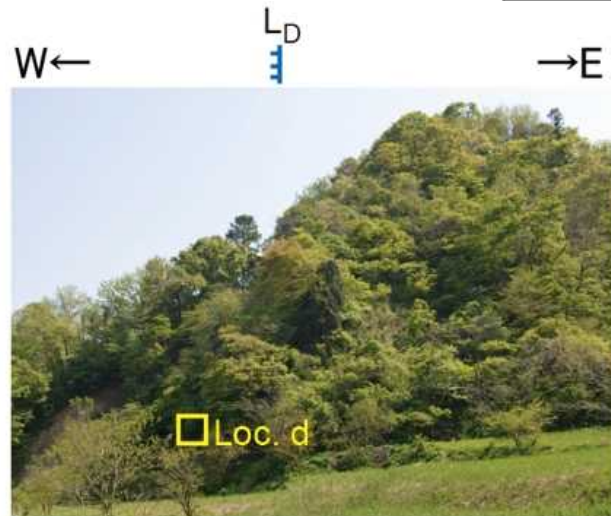
6.4.2.3 鯖石川向斜部のリニアメント（露頭写真:Loc. d）



鯖石川向斜部のリニアメント周辺の地質図



H:V=1:2.5 鯖石川向斜部のリニアメント周辺の地質断面図（柏崎市大広田東方）



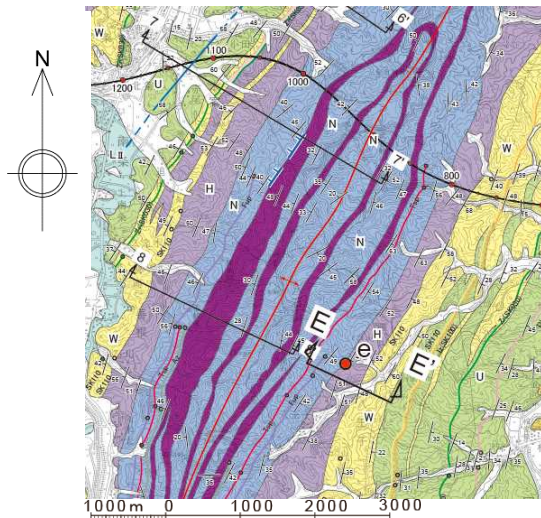
露頭写真（Loc. d, 柏崎市大広田東方）
Loc.d（反転）



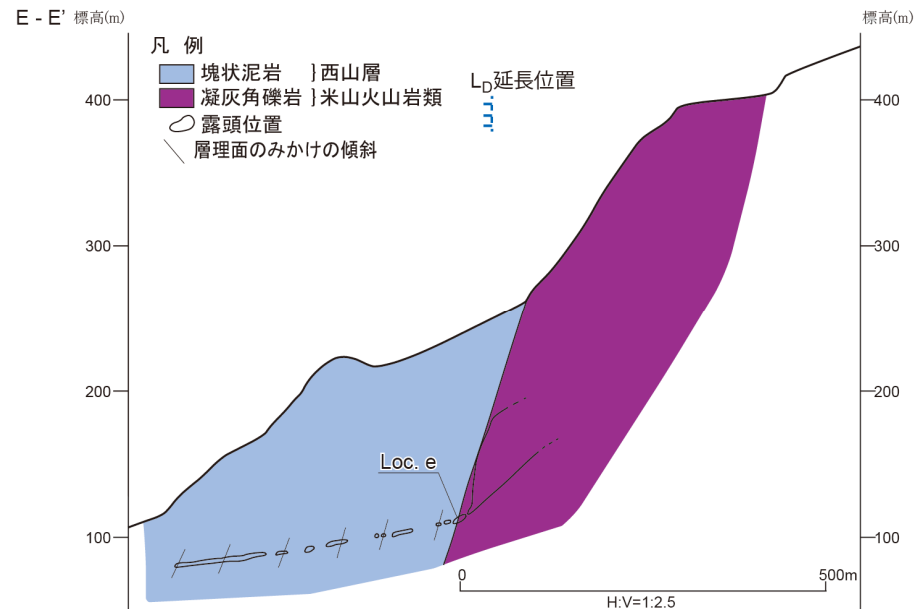
露頭写真（Loc. d, 柏崎市大広田東方）
Loc.d（拡大，反転）

- リニアメントは西側の和南津層砂岩と東側の灰爪層凝灰質泥岩との境界に対応しており、ケスタ状の地形を呈する。

6.4.2.3 鯖石川向斜部のリニアメント（露頭写真:Loc. e）



鯖石川向斜部のリニアメント周辺の地質図



鯖石川向斜部のリニアメント周辺の地質断面図（小国町八王子）



Loc.e（反転）

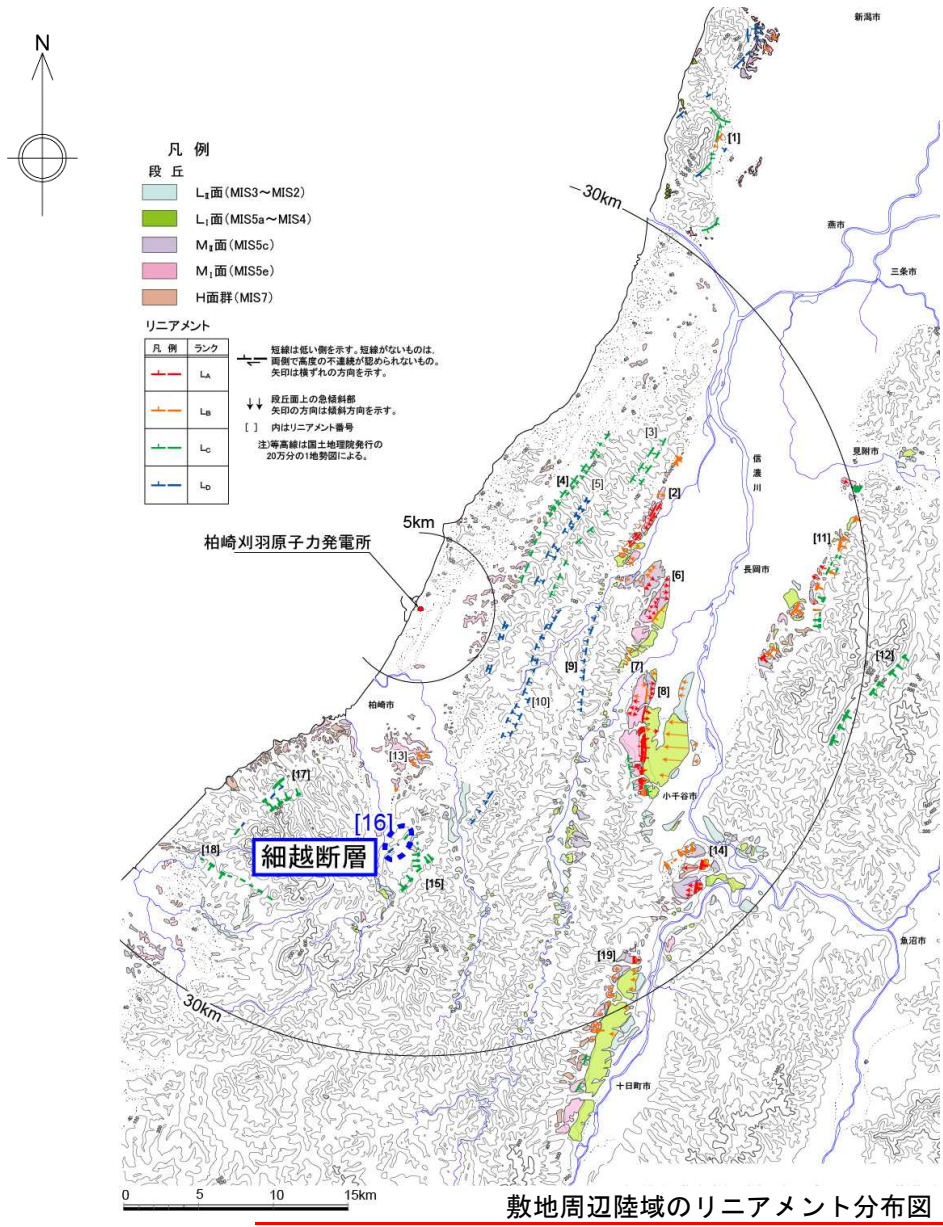
露頭写真（Loc. e, 小国町八王子）

- リニアメントの延長位置は、西側の西山層泥岩と東側の米山火山岩類との境界に対応し、西山層泥岩が侵食されてケスタ状の地形を呈する。

6.4.2.3 鯖石川向斜部のリニアメント（評価）

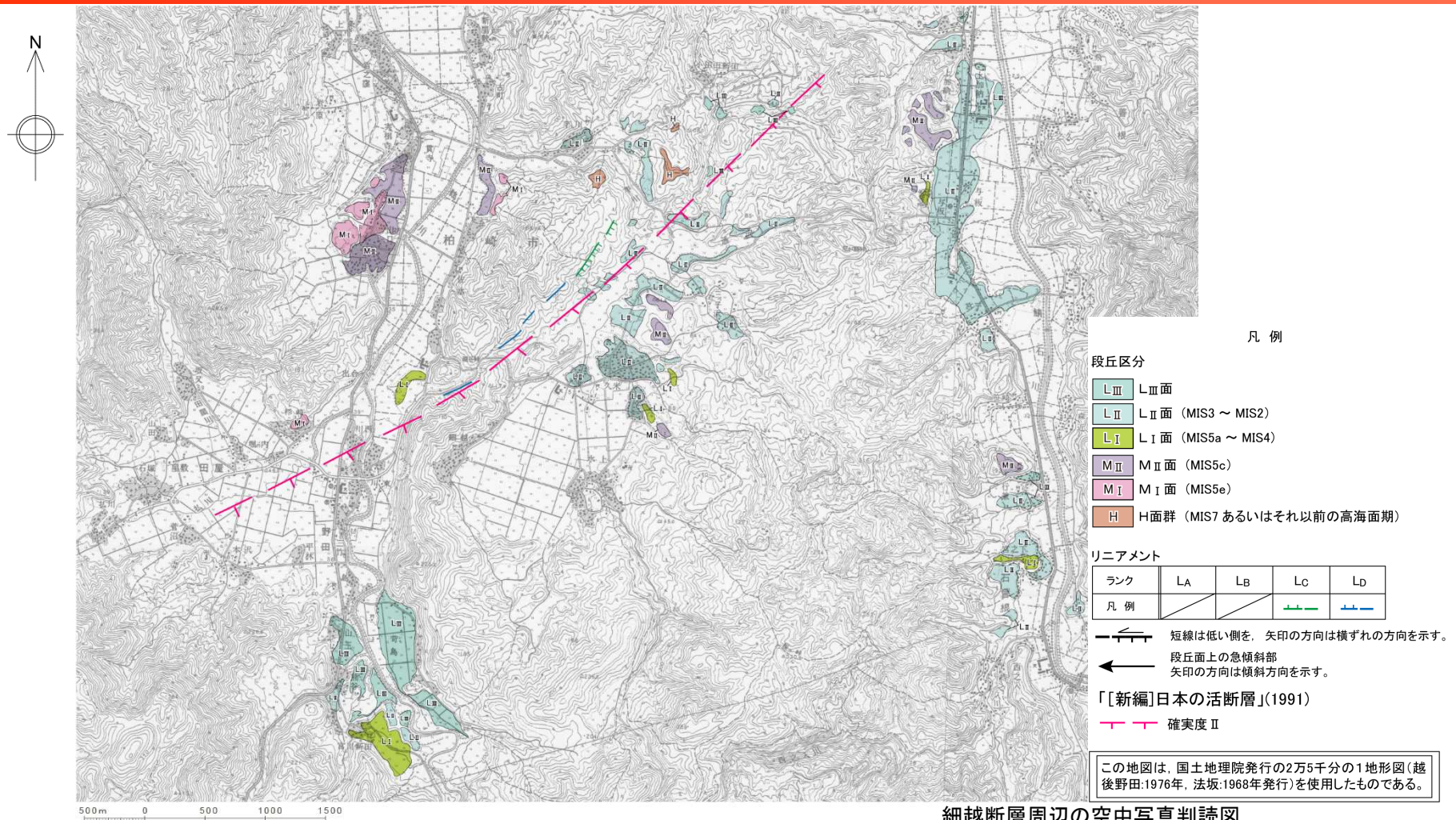
- 地表地質調査結果によると、鯖石川向斜部のリニアメントが示されている位置に断層は認められず、リニアメントは岩相境界に対応していることから、リニアメントはその両側に分布する岩石の岩質の差に起因した侵食地形と判断される。

6.4.3 細越断層



■ 米山山塊東部に、L_C及びL_Dリニアメントが判読される。

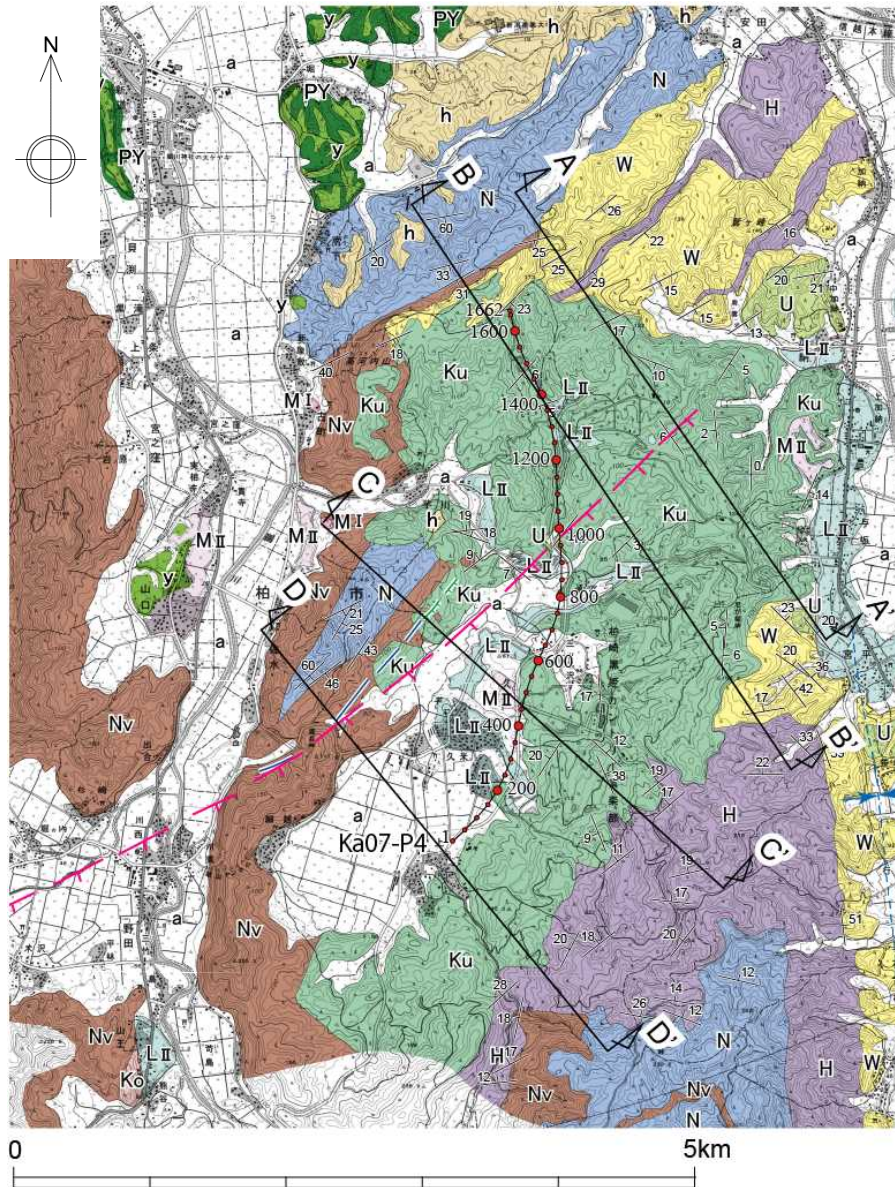
6.4.3 細越断層（文献調査・空中写真判読図）



細越断層周辺の空中写真判読図

- 「[新編]日本の活断層」(1991)は、「活断層であると推定されるもの(确实度II)」を長さ約7km、活動度B級として細越断層を示している。
- 同文献に示される断層にほぼ対応して、長さ約2km間に、L_Cリニアメント及びL_Dリニアメントがほぼ連続的に判読される。

6.4.3 細越断層 (地質図)



- 細越断層周辺において、丘陵部は和南津層・灰爪層以下の地層からなり、丘陵斜面に久米層（前期更新世末期）が広く分布する。
- 丘陵斜面基部には段丘堆積物が分布し、低地は沖積層からなる。

凡 例

LII	LII面堆積物(MIS3)
LI	LI面堆積物(MIS5a)
MII	MII面堆積物(MIS5c)
MI	MI面堆積物(MIS5e)
y	安田層(MIS5e)
PY	古安田層(MIS7)
h	H面堆積物(MIS5e~7)
U	魚沼層(礫・砂・泥互層)
W	和南津層(砂岩)
H	灰爪層(砂質泥岩)
Nv	西山層(火砕岩類)
N	西山層(塊状泥岩・砂岩)
a	沖積層
Ku	久米層(礫・砂・泥互層)
Ko	駒の間層(礫・砂・泥互層)

層理面の走向・傾斜
 向斜軸
 断面線
 東京電力ホールディングス株式会社 地球環境部 地質調査課 (P波・バイブレーター)

「[新編]日本の活断層」(1991)

確実度 II

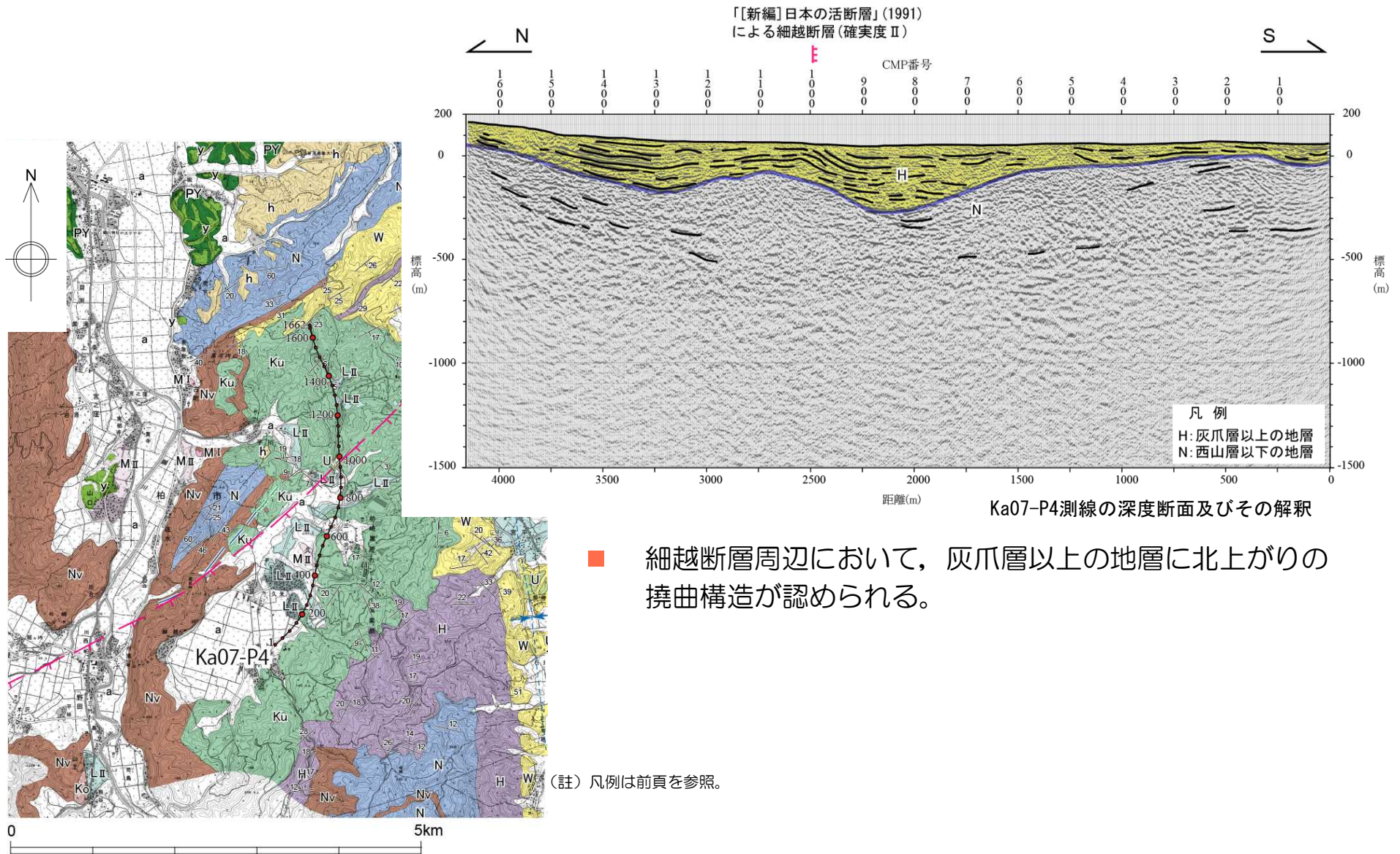
リニアメント

ランク	LA	LB	LC	LD
凡 例			—	—

短線は低い側を、矢印の方向は横ずれの方向を示す。

細越断層周辺の地質図

6.4.3 細越断層（反射法地震探査：Ka07-P4測線）



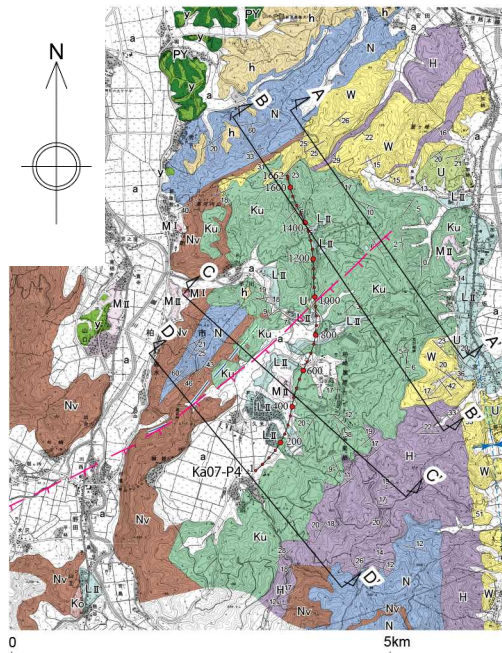
Ka07-P4測線の深度断面及びその解釈

- 細越断層周辺において、灰爪層以上の地層に北上がりの撓曲構造が認められる。

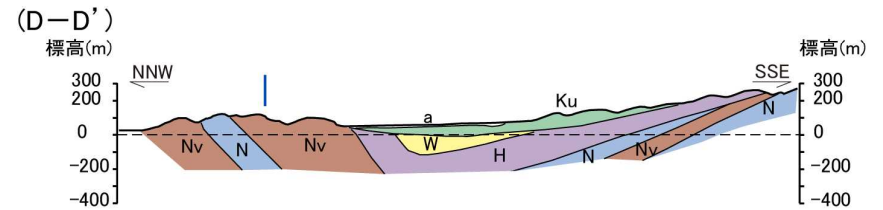
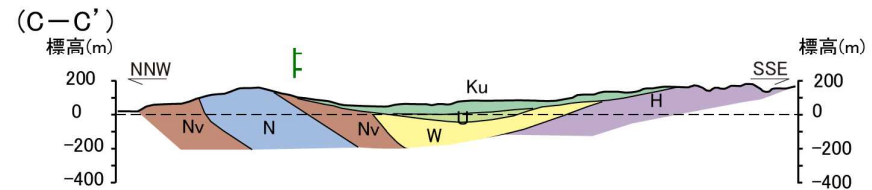
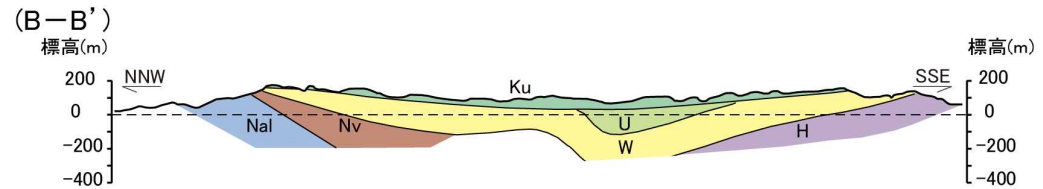
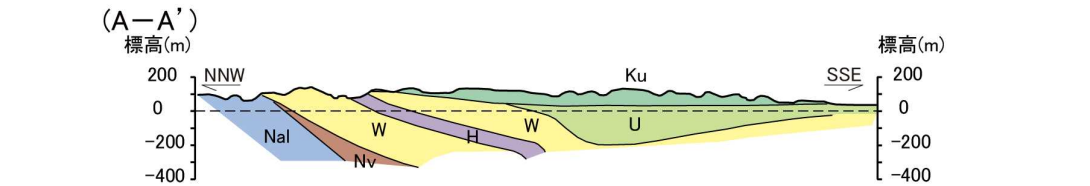
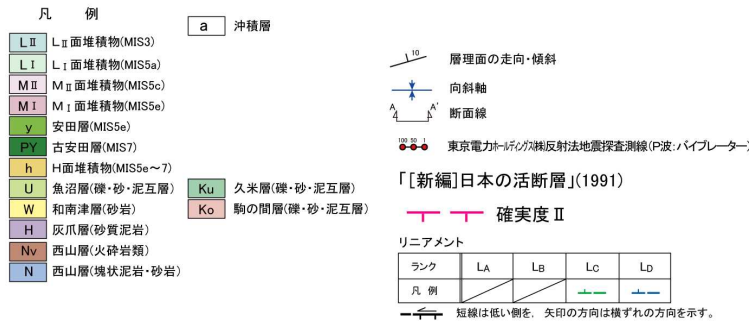
(註) 凡例は前頁を参照。

細越断層周辺の地質図

6.4.3 細越断層（地質断面図）



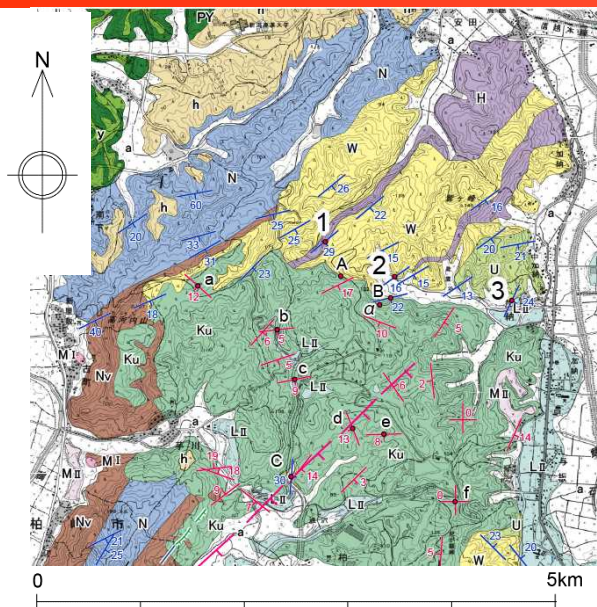
細越断層周辺の地質図



細越断層周辺の地質断面図

- 文献に示される断層周辺に認められる北西上がりの撓曲構造を横断して、久米層はほぼ水平に分布する。
- リニアメントの一部は、久米層と西山層との岩相境界に対応することから、その両側に分布する岩石の岩質の差に起因した侵食地形と判断される。

6.4.3 細越断層（灰爪層・和南津層・魚沼層）



細越断層周辺の地質図



Loc.1 露頭写真 (Loc. 1, 柏崎市加納西方)
灰爪層砂質泥岩, 層理面の走向・傾斜は
 $N61^{\circ}E, 29^{\circ}S$ 。

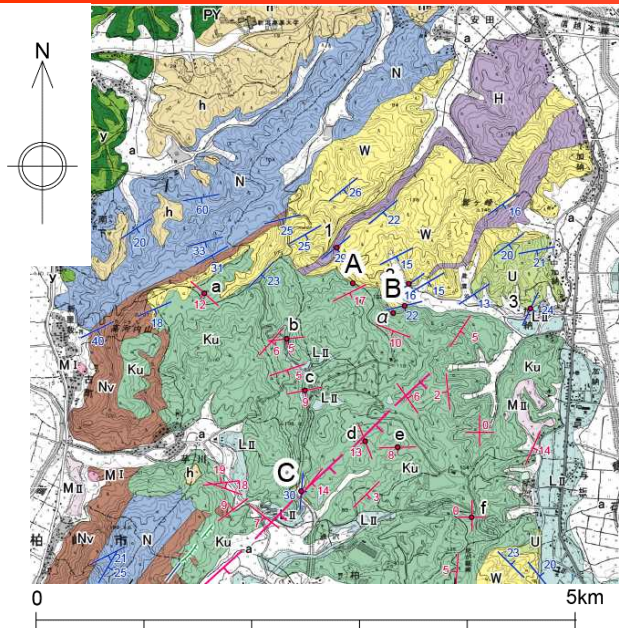


Loc.2 露頭写真 (Loc. 2, 柏崎市加納西方)
和南津層砂岩, 層理面の走向・傾斜は
 $N55^{\circ}E, 16^{\circ}SE$ 。

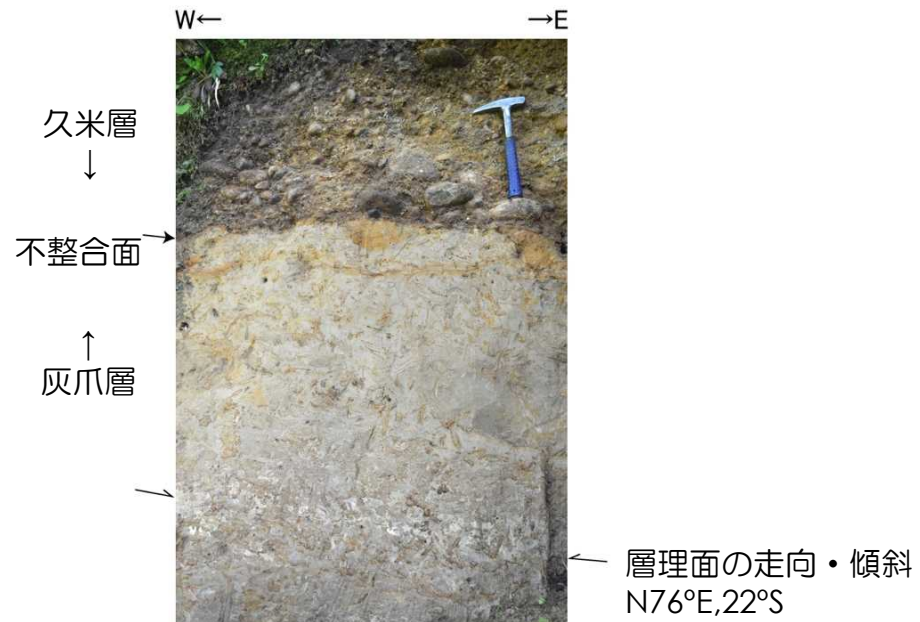


Loc.3 露頭写真 (Loc. 3, 柏崎市加納)
魚沼層砂岩・礫岩互層, 層理面の走向・
傾斜は $N26^{\circ}E, 24^{\circ}E$ 。

6.4.3 細越断層（久米層基底の不整合）



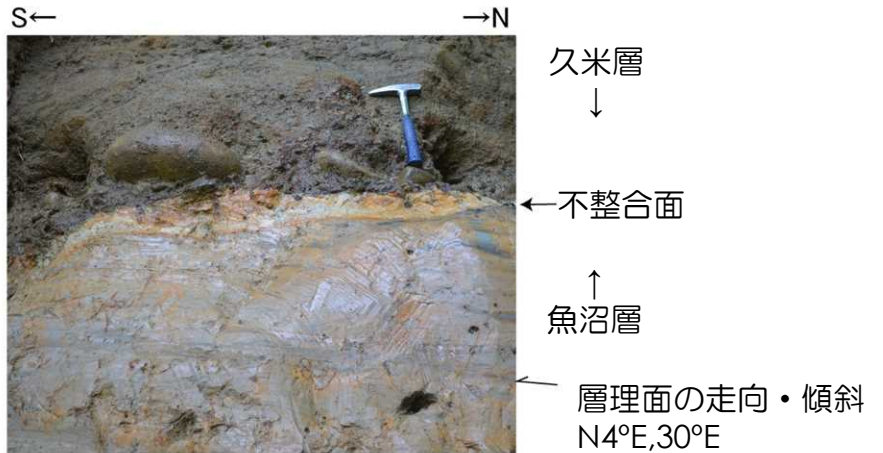
細越断層周辺の地質図



露頭写真 (Loc. B, 柏崎市加納西方)
Loc.B (反転)

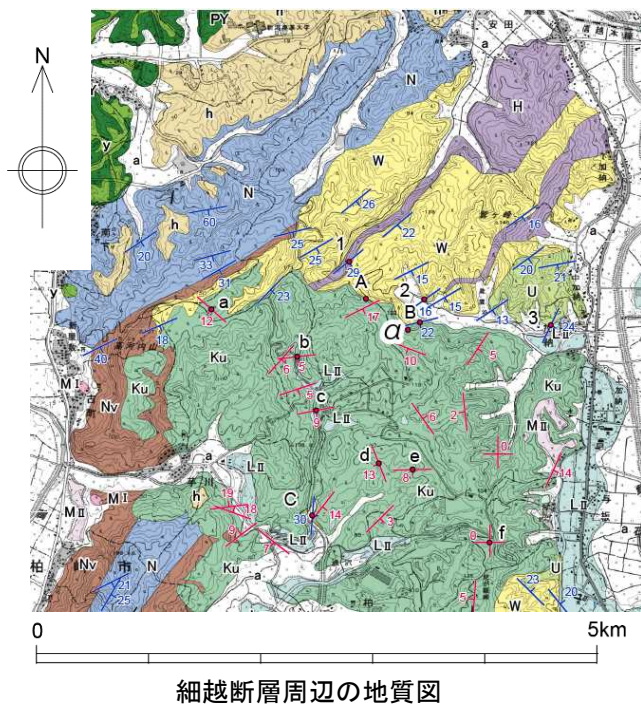


露頭写真 (Loc. A, 柏崎市加納西方)
Loc.A (反転)



露頭写真 (Loc. C, 柏崎市久米北方)
Loc.C (反転)

6.4.3 細越断層 (吉水 (Ys) テフラ)

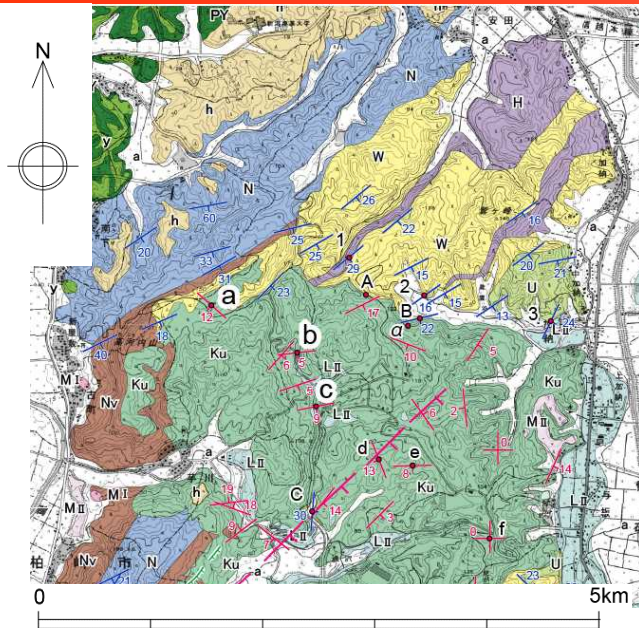


Loc. α

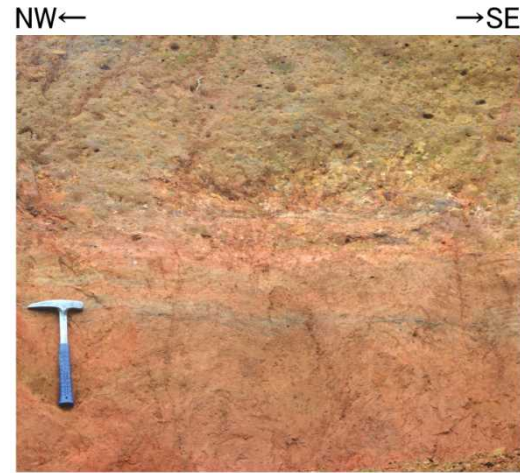
久米層下部に挟在する吉水 (Ys) テフラ

(註) 吉水 (Ys) テフラは、安井ほか (1983) の油田Ⅱ火山灰層 (約0.9Ma) に対比される。

6.4.3 細越断層（久米層）



細越断層周辺の地質図



露頭写真 (Loc. a, 柏崎市細越北方)
Loc.a (反転)
礫・シルト互層, 12° SW傾斜を示す。

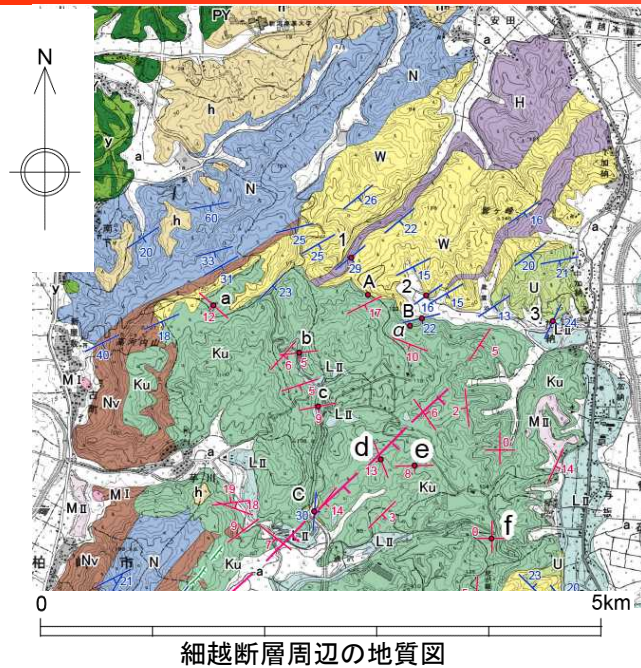


露頭写真 (Loc. b, 柏崎市細越北方)
Loc.b
シルト, 5° S傾斜を示す。



露頭写真 (Loc. c, 柏崎市細越北方)
Loc.c
礫・シルト互層, 9° S傾斜を示す。

6.4.3 細越断層（久米層）



露頭写真 (Loc. d, 柏崎市細越北東)
Loc.d (反転)
シルト, 13° SW傾斜を示す。



露頭写真 (Loc. e, 柏崎市細越北東)
Loc.e
シルト, 8° S傾斜を示す。



露頭写真 (Loc. f, 柏崎市細越北東)
Loc.f
シルト, 水平傾斜を示す。

6.4.3 細越断層（評価）

- 地表地質調査及び反射法地震探査結果によると、魚沼層以下の地層に撓曲構造が認められるものの、これを覆って広く久米層（前期更新世末期）が分布しており、同層はほぼ水平な構造を示す。
- 以上のことから、細越断層は前期更新世末期以降の活動はないものと判断される。

1.	文献調査	• • •	4
2.	敷地周辺陸域の地形	• • •	7
3.	敷地周辺陸域の地質	• • •	9
4.	敷地周辺陸域の変動地形	• • •	11
5.	敷地周辺陸域の地質構造	• • •	14
6.	断層の評価		
6.1	概要	• • •	18
6.2	活断層の評価	• • •	20
6.2.1	角田・弥彦断層	• • •	20
6.2.2	気比ノ宮断層	• • •	36
6.2.3	上富岡断層・親沢断層・片貝断層	• • •	52
6.3	副次的な構造に関する評価	• • •	81
6.3.1	中央丘陵西縁部断層	• • •	83
6.3.2	渋海川向斜部のリニアメント	• • •	98
6.4	その他のリニアメント・断層に関する評価	• • •	103
7.	断層の連動可能性評価		
7.1	長岡平野西縁断層帯	• • •	176
7.2	長岡平野西縁断層帯と十日町断層帯西部	• • •	183

7.1 長岡平野西縁断層帯（他機関の評価）

「活断層データベース」（2013）による長岡平野西縁断層帯の評価

活動セグメント名	一般走向	一般傾斜	長さ(km)	断層型	変位の向き(隆起側)	平均変位速度(m/千年)	単位変位量(m)	平均活動間隔(千年)	最新活動時期(西暦) 野外調査結果
弥彦	N20°E	45°W	48	逆	W	5.9	5.6	1.0	
鳥越	N30°E	45°W	20	逆	W	3.1	4.3	1.4	1234~1868年
片貝	N10°E	45°W	15	逆	W	1.2	1.7	1.4	

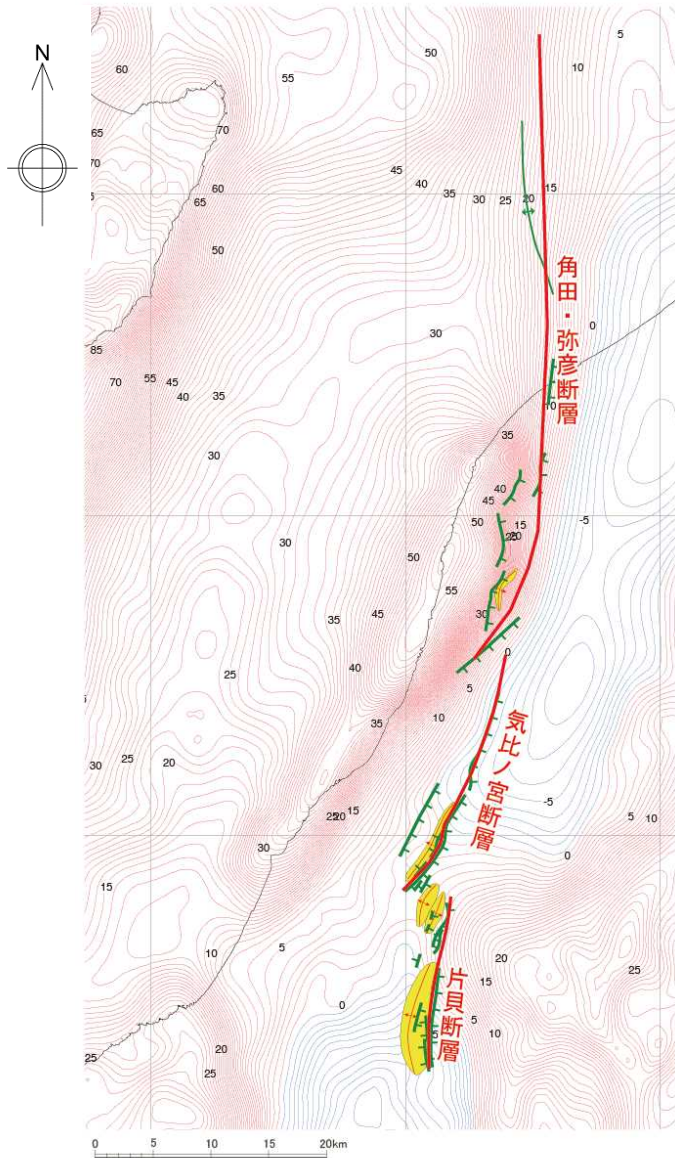


- 地震調査委員会（2004）によると、長岡平野西縁断層帯は、北から、新潟市沖合と日本海沿岸付近の断層及び角田山東縁断層（角田・弥彦断層），鳥越断層（気比ノ宮断層），逆谷断層，関原断層（上富岡断層），親沢断層及び片貝断層から構成される西側隆起の逆断層帯であり、その長さは約83kmとされている。
- 「活断層データベース」（2013）は、本断層帯を、弥彦、鳥越及び片貝の3つの活動セグメントに区分している。

1：鳥越地点 2：宮本町地点
A-J：反射弾性波探査測線
A-C：文献5 D、E：文献6 F-J：文献7
●：断層帯の北端と南端
断層の位置は文献1、3及び4に基づく。
ただし、文献6、7により断層の延長が確かめられるa、b、cの部分。
反射弾性波探査で明らかになった断層の位置を括弧で追加した。
基図は国土地理院発行数値地図200000「相川」「長岡」「高田」「高田」を使用。

地震調査委員会（2004）による長岡平野西縁断層帯

7.1 長岡平野西縁断層帯（重力異常との対応性）



- 角田・弥彦断層は、西側の高重力域と東側の低重力域との境界部の直線的な重力異常の急変帯に位置している。
- 気比ノ宮断層は、低重力域の西縁付近に位置しているものの、急変帯は認められず、等重力線の走向ともやや斜交する。
- 片貝断層は、断層の東沈降側は高重力域、西側隆起側は低重力域となっており、重力異常との対応は認められない。
- 3つの断層の重力異常との対応はそれぞれ異なる。

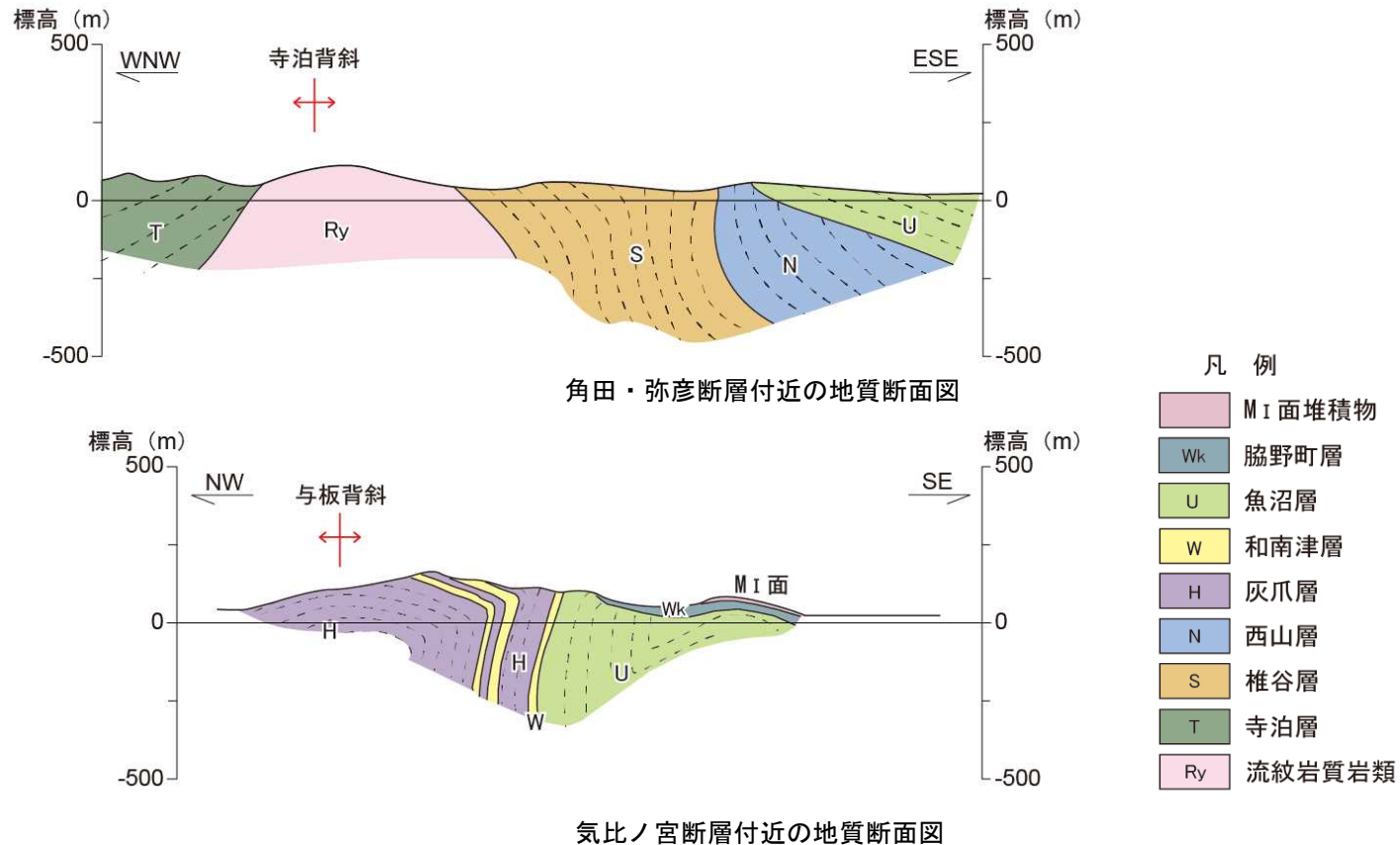
凡 例

-  地震調査委員会(2004)による長岡平野西縁断層帯
-  活動性を考慮する断層
-  段丘面に変形が認められる断層上盤側の活背斜

*「地質調査総合センター編(2013)日本重力データベース DVD版」のグリッドデータベースを用いて等重力線を作成した。
 (コンター間隔1mgal, 仮定密度2.67g/cm³)

角田・弥彦断層、気比ノ宮断層及び片貝断層の重力異常との関係

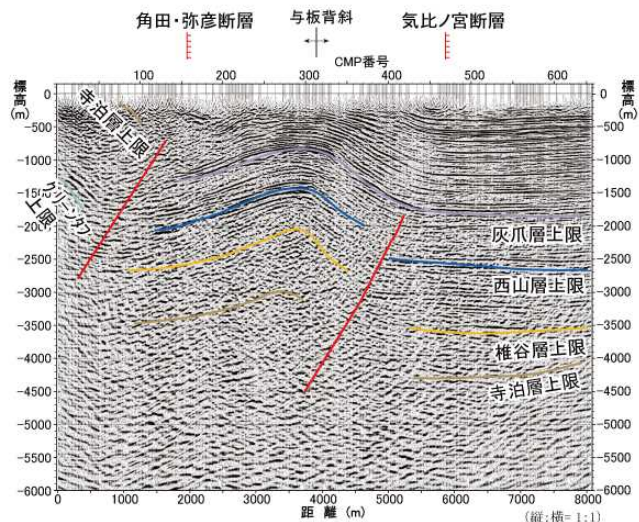
7.1 長岡平野西縁断層帯（角田・弥彦断層と気比ノ宮断層の活動時期）



- 角田・弥彦断層の上盤側では直立ないし逆転した西山層を緩傾斜の魚沼層が不整合に覆っており、魚沼層堆積以降の活動は穏やかである。
- 気比ノ宮断層の上盤側では魚沼層上部層が60°程度まで上下が逆転する過褶曲構造を示しており、魚沼層堆積以降の活発な活動が認められる。
- 角田・弥彦断層及び気比ノ宮断層の主活動時期は異なっているものと判断される。

7.1 長岡平野西縁断層帯（気比ノ宮断層と片貝断層の活動時期）

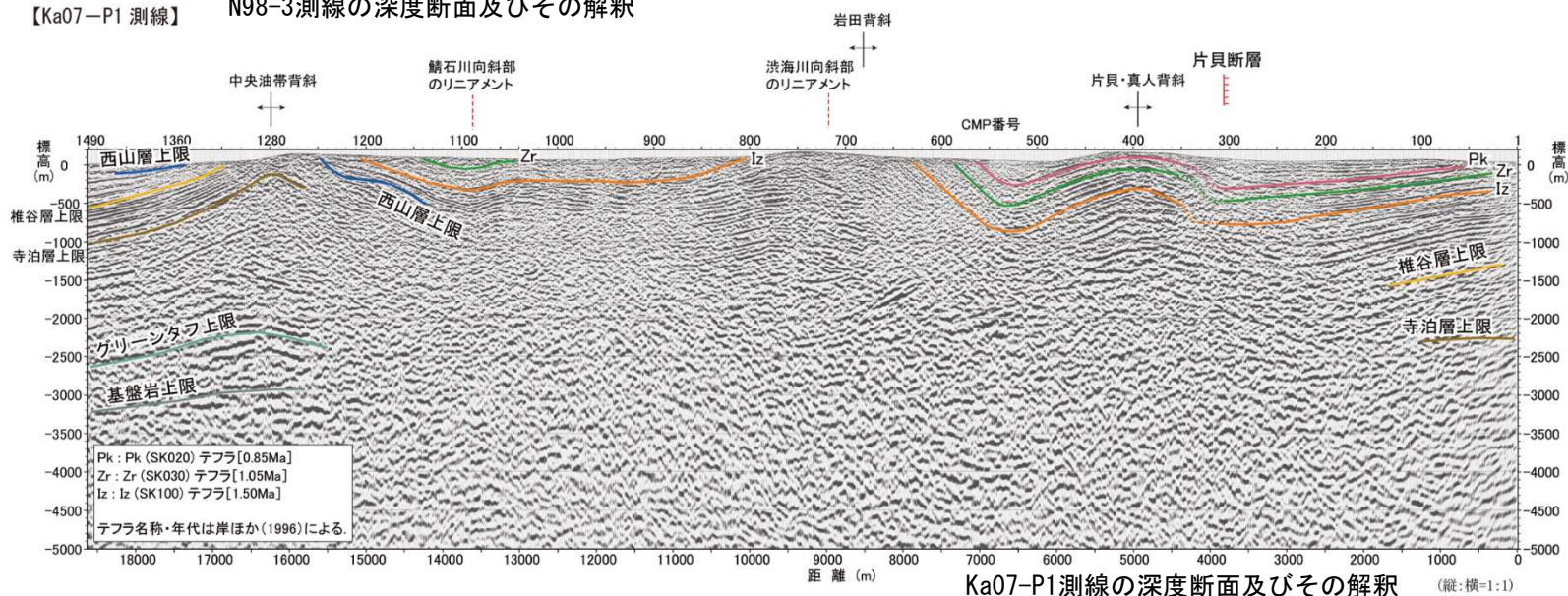
【N98-3 測線】



この図は、平成10年度国内石油・天然ガス基礎調査陸上基礎物理探査「西山・中央油帯」の地震探査記録を基に、東京電力エネルギー・システムが独自に再処理・解析し、作成したものです。

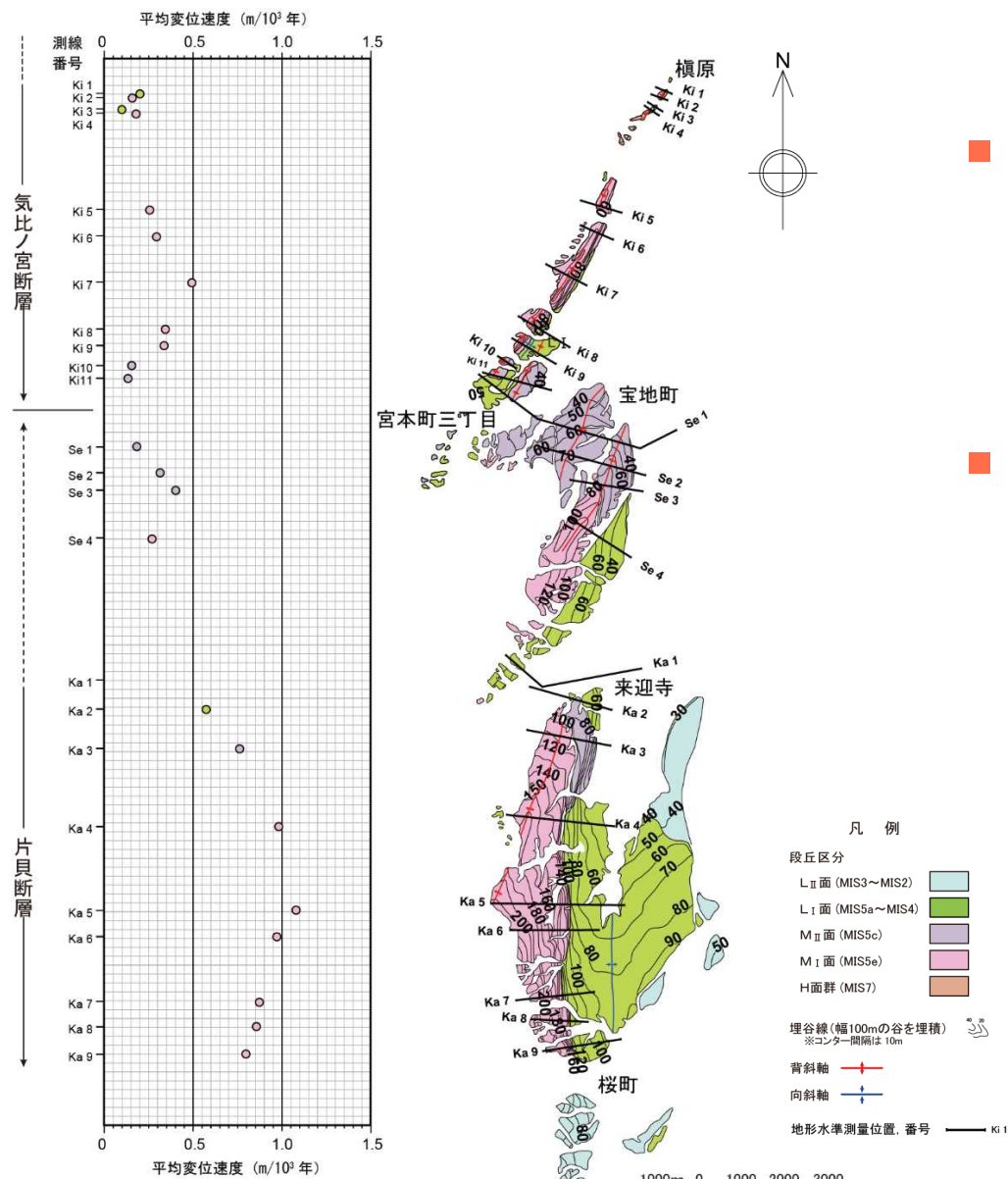
- 気比ノ宮断層は灰爪層（下部更新統）基底以上の地層に累積的な変位を与えている（N98-3測線）。
- 片貝断層はPkテフラ（約0.85Ma）層準以下の地層がほぼ平行な撓曲構造を示すことから、同断層の活動開始時期は約0.85Ma以降と判断される（Ka07-P1測線）。
- 気比ノ宮断層及び片貝断層の活動開始時期は異なっていると判断される。

【Ka07-P1 測線】 N98-3測線の深度断面及びその解釈



Ka07-P1測線の深度断面及びその解釈 (縦:横=1:1)

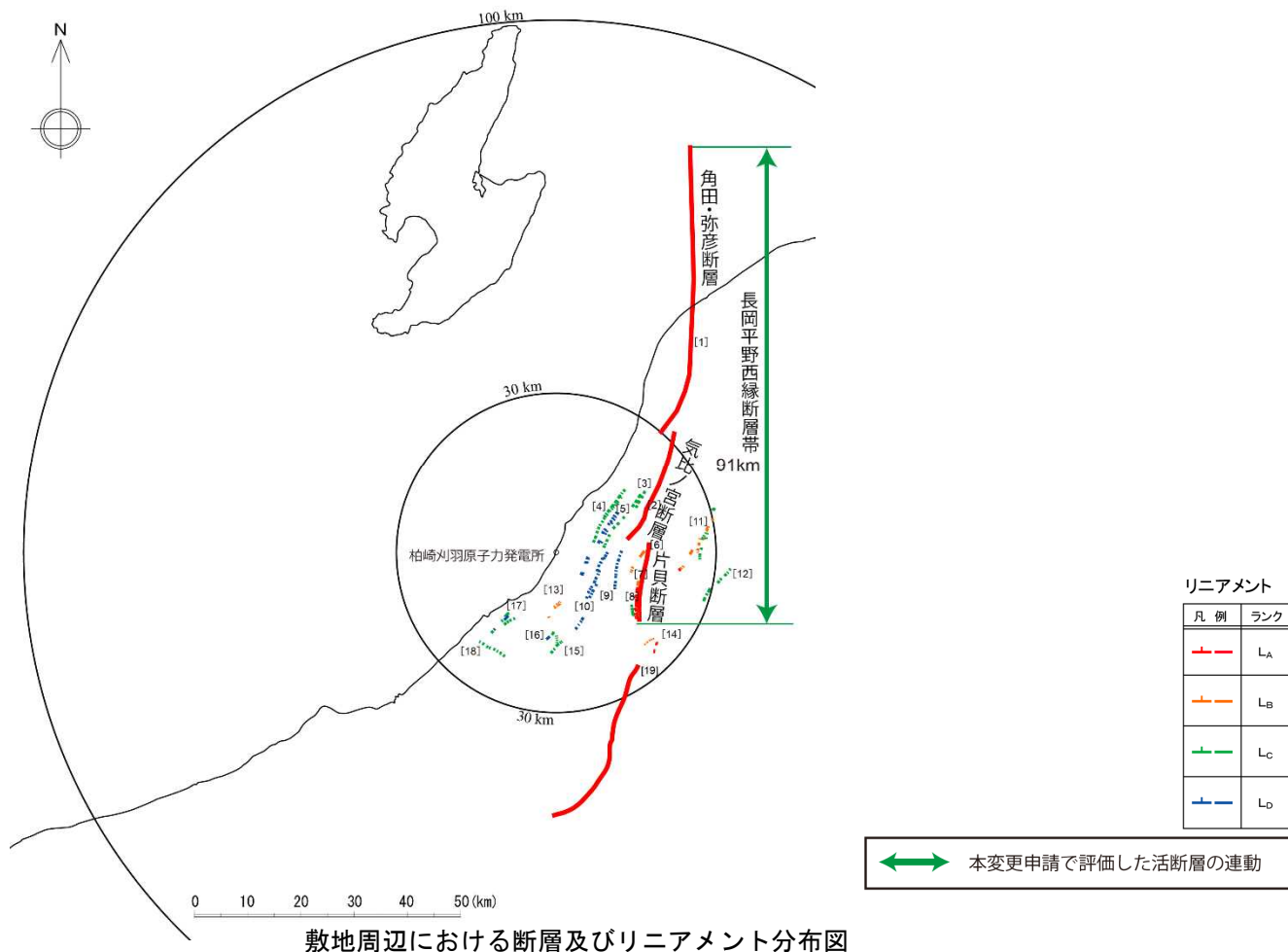
7.1 長岡平野西縁断層帯（気比ノ宮断層と片貝断層の平均変位速度）



気比ノ宮断層及び片貝断層の平均変位速度分布図

- 気比ノ宮断層及び片貝断層の平均変位速度の分布は、それぞれの断層端部に向かって減少しており、最大の平均変位速度も、片貝断層では約1.2m/千年、気比ノ宮断層では約0.5m/千年の値を示し、大きな差異が認められる。
- なお、角田・弥彦断層については、その全般にわたり撓曲部も含めて沖積面下に没しているため、後期更新世以降における平均変位速度を地形から求めることはできない。

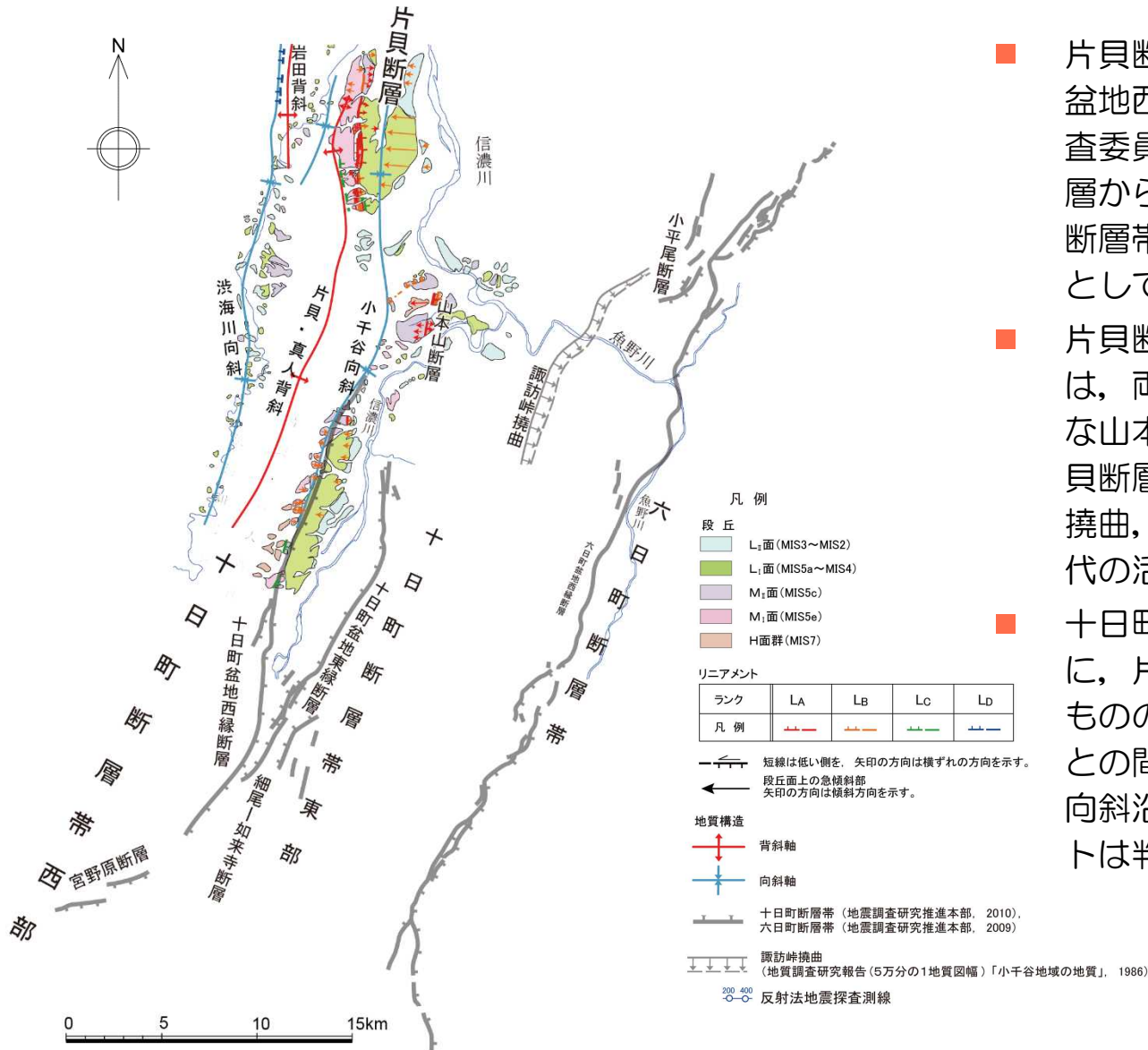
7.1 長岡平野西縁断層帯（評価）



- 角田・弥彦断層，気比ノ宮断層及び片貝断層は，重力異常との対応，主活動時期，活動開始時期，平均変位速度などがそれぞれ異なることから，長岡平野西縁断層帯は，基本的にはそれぞれが単独で活動する分割放出型の断層帯と判断される。
- ただし，3断層の同時活動についても考慮することとし，その長さを約91kmと評価する。

1.	文献調査	・・・	4
2.	敷地周辺陸域の地形	・・・	7
3.	敷地周辺陸域の地質	・・・	9
4.	敷地周辺陸域の変動地形	・・・	11
5.	敷地周辺陸域の地質構造	・・・	14
6.	断層の評価		
6.1	概要	・・・	18
6.2	活断層の評価	・・・	20
6.2.1	角田・弥彦断層	・・・	20
6.2.2	気比ノ宮断層	・・・	36
6.2.3	上富岡断層・親沢断層・片貝断層	・・・	52
6.3	副次的な構造に関する評価	・・・	81
6.3.1	中央丘陵西縁部断層	・・・	83
6.3.2	渋海川向斜部のリニアメント	・・・	98
6.4	その他のリニアメント・断層に関する評価	・・・	103
7.	断層の連動可能性評価		
7.1	長岡平野西縁断層帯	・・・	176
7.2	長岡平野西縁断層帯と十日町断層帯西部	・・・	183

7.2 長岡平野西縁断層帯と十日町断層帯西部

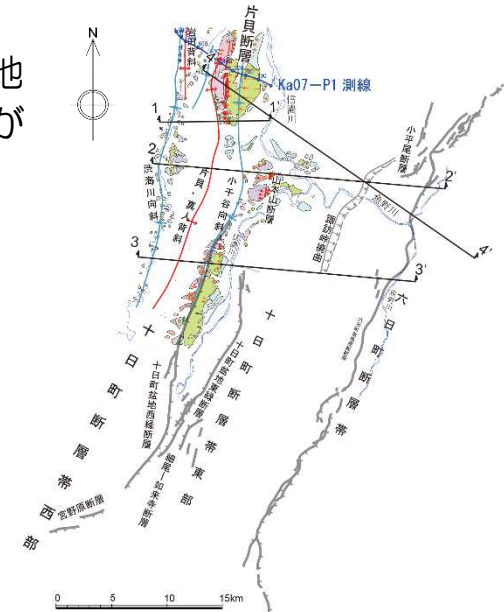
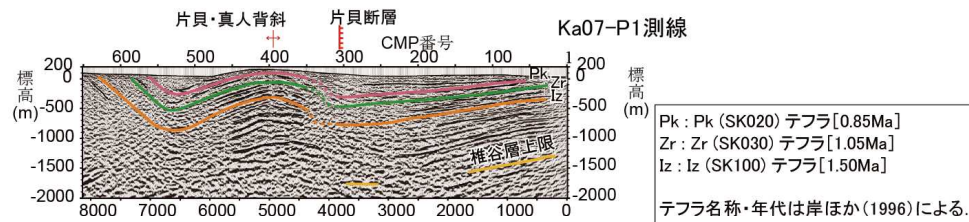


片貝・真人背斜周辺の空中写真判読図及び文献による断層分布図

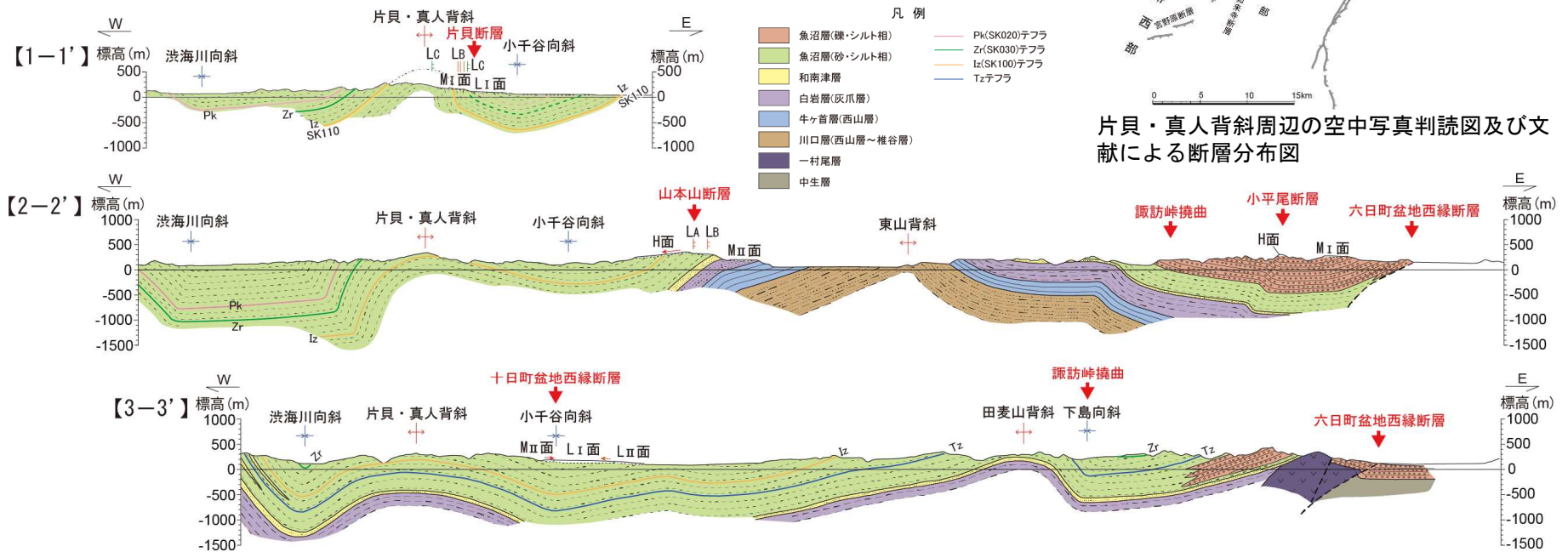
- 片貝断層の南方には、西側隆起の十日町盆地西縁断層帯が分布しており、地震調査委員会（2010）は十日町盆地西縁断層から宮野原断層に至る断層帯を十日町断層帯西部と呼び、その長さを約33kmとしている。
- 片貝断層と十日町盆地西縁断層との間には、両断層の延長位置より東側に小規模な山本山断層が分布している。なお、片貝断層の南東には、小平尾断層、諏訪峠撓曲、六日町盆地西縁断層等の新しい時代の活発な活動がみられる。
- 十日町盆地西縁断層は、片貝断層と同様に、片貝・真人背斜の東翼に認められるものの、片貝断層と十日町盆地西縁断層との間の約10km間については、小千谷向斜沿いに分布する段丘面にリニアメントは判読されない。

7.2 長岡平野西縁断層帯と十日町断層帯西部 (地質構造)

- 片貝断層及び十日町盆地西縁断層の分布域で、片貝・真人背斜東翼の地層が急傾斜を示すのに対し、両断層の間においては同背斜西翼の地層が急傾斜を示し、地質構造が異なっている。

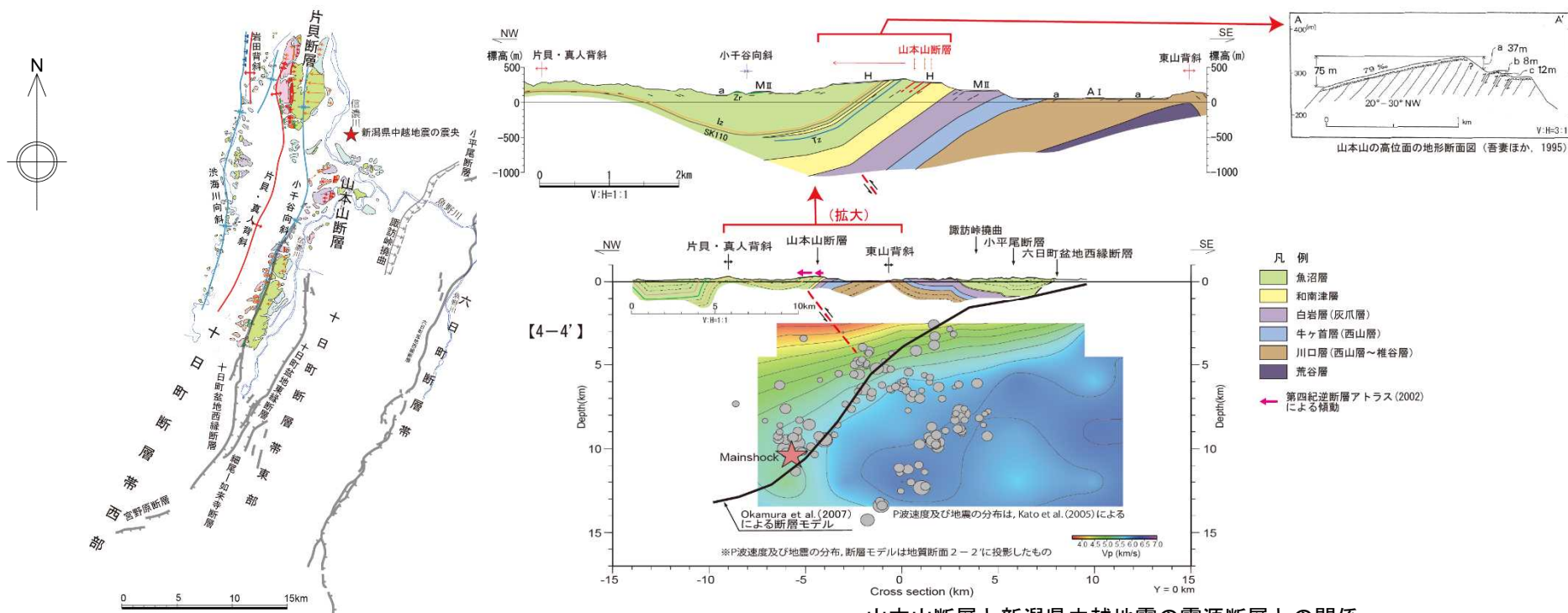


片貝・真人背斜周辺の空中写真判読図及び文献による断層分布図



片貝・真人背斜及び東山背斜の構造

7.2 長岡平野西縁断層帯と十日町断層帯西部（評価）

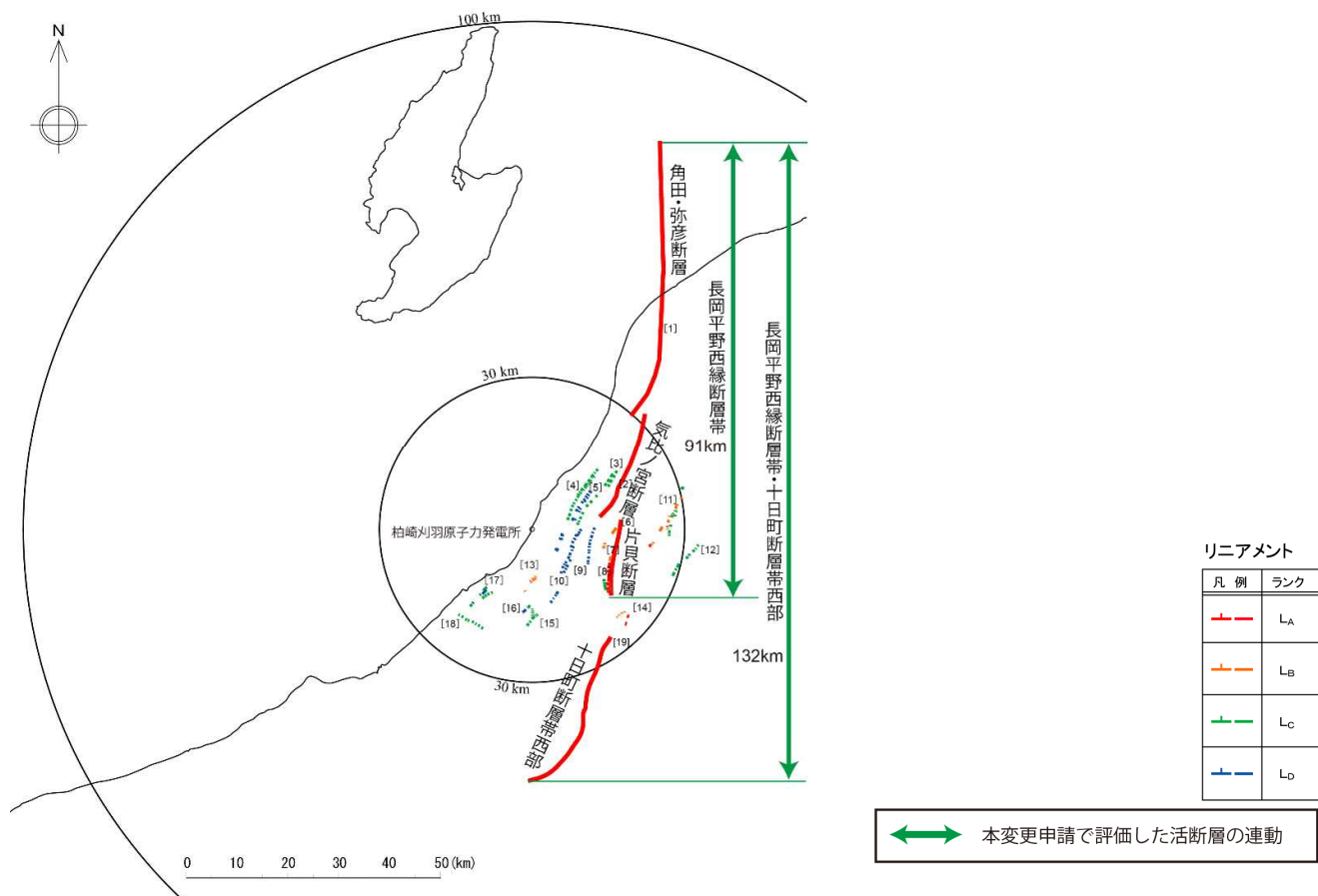


片貝・真人背斜周辺の空中写真判読図及び文献による断層分布図

山本山断層と新潟県中越地震の震源断層との関係

- 山本山断層は、片貝・真人背斜東方の東山背斜西翼において、東側低下の崖及びその西側の段丘面の西方への傾斜として認められる。その付近においては、魚沼層以下の地層が $30^{\circ} \sim 40^{\circ}$ 程度の西傾斜を示し、段丘面も西方へ傾動していることから、その地下には東傾斜の逆断層が推定され、東側低下の崖については西急傾斜する層理面に沿った層面すべり断層によるものと考えられる。
- Okamura et al. (2007)は、バランス断面法により、新潟県中越地震の震源断層モデルとして、東山背斜を成長させるような西傾斜の逆断層を示しており、その位置関係から、前述の東傾斜の逆断層は新潟県中越地震の震源断層のバックスラストと考えられる。
- 山本山断層は、長岡平野西縁断層帯及び十日町断層帯西部との関連性がないものと考えられる。

7.2 長岡平野西縁断層帯と十日町断層帯西部（評価）



- 長岡平野西縁断層帯及び十日町断層帯西部は、両断層帯の間にリニアメントの判読されない区間が約10kmあり、この区間では背斜構造の形態も異なること、両断層帯の中間付近に位置する山本山断層が新潟県中越地震の震源断層に関連する断層であり、両断層との関連性がないと考えられることから、長岡平野西縁断層帯と十日町断層帯西部とが連動する可能性は低いものと判断される。
- ただし、地震動評価においては、不確かさの考慮として、両断層帯の同時活動について考慮するものとし、その長さを約132kmとする。

参考文献

- 池田安隆・今泉俊文・東郷正美・平川一臣・宮内崇裕・佐藤比呂志(2002):第四紀逆断層アトラス.東京大学出版会.
- 垣見俊弘・衣笠善博・加藤碩一(1978):日本活断層図(1/200万).地質調査所.
- 活断層研究会編(1991):[新編]日本の活断層.東京大学出版会.
- 加藤碩一・山崎晴雄(1979):信越地域活構造図(1/20万).地質調査所.
- 加藤碩一・粟田泰夫・下川浩一(1984):活構造図-新潟(1/50万).地質調査所.
- 岸 清・宮脇理一郎・宮脇明子(1996):新潟県柏崎平野における上部更新統の層序と古環境の復元.第四紀研究,vol.35,no.1,pp.1-16.
- 鈴木康弘・東郷正美・渡辺満久・金幸隆・佐藤尚登(2001):1/25,000都市圏活断層図「十日町」.国土地理院技術資料,D・1-No.388.
- 地震調査研究推進本部地震調査委員会(2004):長岡平野西縁断層帯の長期評価について.地震調査委員会(平成16年10月13日).
- 地質調査総合センター(2013):活断層データベース.
- 茅原一也(1974):新潟地区の火山層序.地質調査所報告・新潟第三系堆積盆地の形成と発展;層序編,250-1,pp.183-234.
- 地震調査研究本部地震調査委員会(2010):十日町断層帯の長期評価の一部改訂について;地震調査委員会(平成22年3月18日).
- 堤 浩之・東郷正美・渡辺満久・金幸隆・佐藤尚登(2001):1/25,000都市圏活断層図「長岡」.国土地理院技術資料,D・1-No.388.
- 天然ガス鉱業会・大陸棚石油開発協会(1992):改訂版日本の石油・天然ガス資源.
- 中田高・今泉俊文編(2002):活断層詳細デジタルマップ.東京大学出版会.
- 中西利典・宮地良典・田辺 晋・安井 賢・中島 礼(2010):沖積層コア(GS-KNM-1)の解析による角田・弥彦断層の活動.月刊地球,vol.32,no.6,pp.383-389.
- 安井賢・小林巖雄・立石雅昭(1983):新潟県八石油帯・中央油帯に分布する魚沼累層の層序.地球科学,37,pp.22-37.
- 吉岡敏和・加藤碩一(1987):新潟県長岡市南西,親沢町における活断層露頭及び断層変位地形.地質学雑誌,vol.93,no.5,pp.361-367.

参考文献

- 渡辺満久・太田陽子・鈴木郁夫・沢 祥・鈴木康弘(2000):越後平野西縁,鳥越断層群の完新世における活動性と最新活動時期.地震第2輯,vol.53,no.2,pp.153-164.
- 渡辺満久・太田陽子・栗田泰夫(2001):鳥越断層群の群列ボーリング調査.活断層・古地震研究報告,no.1,pp.87-96.
- 渡辺満久・堤 浩之・鈴木康弘・金幸隆・佐藤尚登(2001):1/25,000都市圏活断層図「小千谷」.国土地理院技術資料,D・1-No.388.
- Aitaro Kato, Eiji Kurashimo, Naoshi Hirata, Shinichi Sakai, Takaya Iwasaki, Toshihiko Kanazawa (2005) : Imaging the source region of the 2004 mid-Niigata prefecture earthquake and the evolution of a seismogenic thrust-related fold, Geophys. Res., 111, B08308, doi:10.1029/2005GL022366.
- <http://riodb02.ibase.aist.go.jp/activefault/index.html>
- Yukinobu Okamura, Tatsuya Ishiyama, Yukio Yanagisawa (2007): Fault-related folds above the source fault of the 2004 mid-Niigata Prefecture earthquake, in a fold-and-thrust belt caused by basin inversion along the eastern margin of the Japan Sea. JOURNAL OF GEOPHYSICAL RESEARCH, 112, B03S08, doi:10.1029/2006JB004320.